

# SELEZIONE 4

DI TECNICHE ELETTRONICHE

APRILE 1984

L. 3.500

**Speciale:  
laser  
a semiconduttori**

**SINTETIZZATORE DI VOCE PROGRAMMABILE  
FILO MAGNETICO CHE PRODUCE IMPULSI  
REGOLE PER IL CORRETTO IMPIEGO DEL GTO**





# Bandridge

BY **ARROW**

## AUTORADIO AM/FM CON RIPRODUTTORE STEREO AUTOREVERSE

### PROLINE VII

Funzioni: LO/DX, Loudness, Mono/Stereo,  
Selettore nastri metal.

Autoreverse: Sintonia digitale, Indicatore di potenza  
a LED.

Equalizzatore a 5 bande grafiche.

Potenza: 20 W per canale.

14/0230-51

### PROLINE IX

Funzioni: LO/DX, Loudness, Mono/Stereo,  
selettore nastri metal.

Autoreverse: Sintonia digitale, Indicatore di potenza  
a LED. Dolby, ricerca automatica della frequenza

Controllo volume e sintonia con tasti microsensibili.

Potenza: 15 W per canale.

14/0260-51







# RCF

# AUTOPARLANTI

Quando la qualità e l'affidabilità sono requisiti fondamentali, un altoparlante RCF è la scelta sicura. Trent'anni di esperienza in campo elettroacustico, materiali altamente selezionati, una tecnologia d'avanguardia sono la garanzia assoluta di un prodotto superiore.

RCF s.p.a.  
42029 S. Maurizio (Reggio Emilia)  
via G. Notari, 1/A - tel. (0522) 91840  
telex 531381 RCFRE I

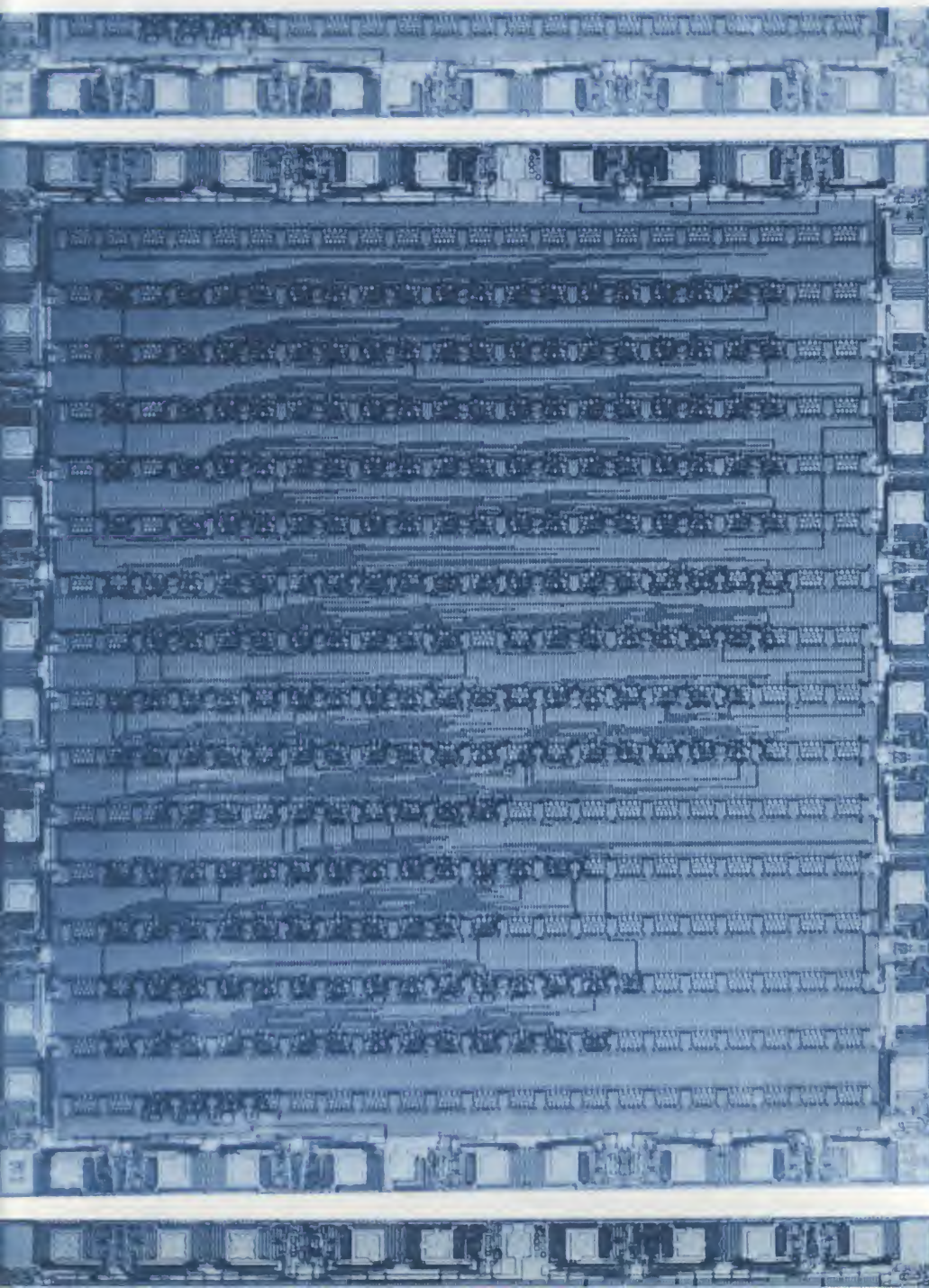


# PHILIPS



**Electronic  
Components  
and Materials**

## PHILIPS/ELCOMA IL VOSTRO PARTNER NELLO SVILUPPO DI GATE ARRAY... ...IN EUROPA, NATURALMENTE



- Se cercate l'ALTERNATIVA LOGICA in termini di economia e spazio
- Se volete combinare ALTA INTEGRAZIONE con SEMPLICITÀ di PROGETTAZIONE
- Se volete avere un effettivo RISPARMIO DI TEMPO nello sviluppo di un circuito semicustom

... allora PHILIPS/Elcoma è il vostro partner

La Philips/Elcoma produce GATE ARRAY in tre tecnologie e con diverse complessità:

Ritardo di propagazione tipico	
ECL	0,35 ns
ISL	4 ns
C-MOS/HC-MOS	8 ns/4 ns

Potenza dissipata/gate	
ECL	3 mW
ISL	0,25 mW
C-MOS/HC-MOS	5/4 $\mu$ W/MHz

Complessità (gate equivalente)	
ECL	600 ÷ 2200
ISL	1200 ÷ 2100
C-MOS/HC-MOS	330 ÷ 1100

**È disponibile una documentazione dettagliata di tutti i suddetti componenti**

*Indirizzare le richieste a:*

**PHILIPS S.p.A.  
SEZ. ELCOMA**

Ufficio Documentazioni Tecniche  
P.za IV Novembre 3 - Tel. 02/67521  
20124 MILANO





DIRETTORE RESPONSABILE  
Ruben Castelfranchi

DIRETTORE TECNICO  
Lodovico Cascianini

COORDINATORE  
Salvatore Lionetti

REDATTORE  
Sergio Cirimbelli

FOTOGRAFIA  
Luciano Galeazzi  
Tommaso Merisio

PROGETTAZIONE ELETTRONICA  
Angelo Cattaneo  
Filippo Pipitone

CONTABILITA'  
Claudia Monti  
M. Grazia Sebastiani  
Orietta Duroni

DIFFUSIONE E ABBONAMENTI  
Pinuccia Bonini  
Rosella Cirimbelli  
Patrizia Ghioni  
Giovanna Quarti

COLLABORATORI  
Paolo Bozzola  
Ennio De Lorenzo  
Fabio Gherel  
Vincenzo Parenti  
Maurizio Morini  
Oscar Prelz  
Sergio Saporiti  
Edoardo Romano

PUBBLICITA'  
Concessionario per l'Italia e l'Estero  
SAVIX S.r.l.  
Tel. (02) 6123397

Concessionario per USA e Canada:  
International Media  
Marketing 16704 Marquardt  
Avenue P.O. Box 1217 Cerritos,  
CA 90701 (213) 926-9552

DIREZIONE, REDAZIONE,  
AMMINISTRAZIONE  
Via dei Lavoratori, 124  
20092 Cinisello Balsamo - Milano  
Tel. (02) 61.72.671 - 61.72.641

SEDE LEGALE  
Via V. Monti, 15 - 20123 Milano  
Autorizzazione alla pubblicazione  
Trib. di Monza n. 239 del 17.11.73

FOTOCOPOSIZIONE  
Lineacomp s.r.l.  
Via Rosellini, 12 - 20124 Milano

STAMPA  
Gemina Grafica s.r.l.  
Via Magretti - Paderno Dugnano (MI)

DIFFUSIONE  
Concessionario esclusivo  
per l'Italia e l'Estero:  
SODIP - Via Zuretti, 25 - 20125 Milano  
V. Serpieri, 11/5 - 00197 Roma

Spediz. in abbon. post. gruppo III/70

Prezzo della Rivista L. 3.500 -  
Numero arretrato L. 4.500

Abbonamento annuo L. 29.000  
Per l'estero L. 49.000

I versamenti vanno indirizzati a:  
JCE  
Via dei Lavoratori, 124  
20092 Cinisello Balsamo - Milano  
mediante l'emissione di assegno  
circolare cartolina vaglia o utilizzando  
il c/c postale numero 315275

Per i cambi d'indirizzo allegare  
alla comunicazione l'importo di  
L. 500, anche in francobolli, e indicare  
insieme al nuovo anche il vecchio  
indirizzo.

\* Tutti i diritti di riproduzione e  
traduzione degli articoli pubblicati  
sono riservati.



Mensile associato all'USPI  
Unione Stampa  
Periodica Italiana



In copertina:  
*Laser a semiconduttori per  
telecomunicazioni mediante fibre ottiche.*  
(Foto THOMSON-CSF).

## Sommario

APRILE 1984

<b>NEWSLETTER</b>	6
<b>SPECIALE LASER</b>	
Generalità sul laser e sue applicazioni	12
Laser a semiconduttore per collimatore	20
Laser allo stato solido per la lettura di informazioni digitali	24
<b>ELETTRONICA INDUSTRIALE</b>	
Rivelatori di prossimità a induzione alimentati da alternata	30
<b>IDEE DI PROGETTO</b>	
Sistema di controllo della temperatura con sensore a termocoppia	35
Sistema economico di controllo della velocità per motori universali	36
Due caricabatterie: 15 AH e 50 AH	37
<b>SENSORI</b>	
Filo magnetico che produce impulsi	38
<b>AUDIO</b>	
Ancora sui pannelli di Bessel	43
<b>PROGETTI</b>	
Tester per circuiti integrati CMOS - I parte — Multimetro digitale — Generatore di segnali video per laboratorio ed assistenza TV - IV parte — Radiocuffia per la banda degli 80 metri — Più che un semplice provatransistori — Organo elettronico a due tastiere con componenti modulari - II parte	48
<b>MICROCOMPUTER</b>	
SEL-COM CP/M - Il computer di Selezione - II parte	70
<b>THE RITMAN COLLECTION OF WIRELESS EQUIPMENT</b>	77
<b>COMPONENTI</b>	
Bipolare o powermos in inverter per motori in C.A.?	80
Sintetizzatore di voce programmabile	86
Regole per l'impiego corretto del G.T.O.	92
<b>DENTRO AL COMPONENTE</b>	
Varistori:	90
<b>TECNOLOGIE AVANZATE</b>	
Stampante ottica veloce, silenziosa ed a elevata definizione	104
<b>NUOVI PRODOTTI</b>	108



## VTR e PC gli assi nuovi della Corea

**L**a Corea del Sud è conosciuta, nel settore dell'elettronica, soprattutto per la produzione di televisori bianco/nero e di altri apparecchi di largo consumo e a basso contenuto tecnologico. L'industria coreana si appresta ora a modificare strategia inserendosi in filoni di attività più promettenti: televisori a colori, videoregistratori e personal computers. Le quattro grandi "zaibat-su" (le conglomerate) coreane - Samsung, Daewoo, Hyundai e Gold Star - inizieranno quest'anno ad esportare videoregistratori, con prodotti qualitativamente alla pari rispetto a quelli giapponesi, ma presumibilmente più a buon mercato. Le industrie, inoltre, programmano di produrre VTR negli Stati Uniti e forse anche in Europa. Il computer per la casa è fra i prodotti più promettenti, considerando anche il boom nei consumi interni, favorito dalle stesse industrie che mettono a disposizione di tutti gli studenti, strutture e apparecchi per apprendere l'uso delle macchine e i linguaggi di programmazione. Il governo ha bloccato le importazioni di apparecchi assemblati allo scopo di costruire una industria nazionale forte, capace domani di andare a caccia nei mercati esteri. Quest'anno si prevede che il consumo interno di personal e home computer salirà a circa 200.000 unità, quasi il quadruplo del 1983.

## Olivetti entra nella Dixy (gruppo Sony)

**L**a Olivetti, dopo una serie di accordi tecnologici con partner americani, ha dirottato le sue attenzioni verso il mercato giapponese, avviando una collaborazione con Sony per lo sviluppo e la produzione di schermi piatti. Più precisamente l'operazione è stata siglata con la Dixy, una società di recente costituzione per lo sviluppo di schermi piatti al plasma (gas ionizzato) destinati a terminali, personal computer e posti di lavoro portatili. "Quello della Olivetti — riferisce un comunicato ufficiale — è il primo investimento da parte di un gruppo straniero in venture capital giapponese". I partners della Olivetti, in questa iniziativa sono la Sony e l'americana Pacific Technology Venture Fund. Si tratta di una iniziativa di grande importanza. Soprattutto sul piano tecnologico. La Dixy permetterà infatti all'Olivetti di accedere ad una tecnologia "avanzata" in un settore, quello degli schermi piatti che consente una larga applicazione. L'investimento iniziale della Olivetti è stato di circa 500 mila dollari, pari al 20% del capitale: la società ha come obiettivo la commercializzazione entro l'anno di un nuovo tipo di schermo con caratteristiche tecniche decisamente innovative e a costi di gran lunga inferiori a quelli correnti.

## Il telesoccorso

**U**n nuovo contributo della Sip alla soluzione di problemi sociali e di assistenza ai bisognosi è il servizio di "Telesoccorso". Destinato a persone colpite da handicap di vario tipo, a persone anziane o malate e sole, il servizio (per ora in fase di sperimentazione) è realizzabile in due versioni: la prima, più semplice, consiste in una apparecchiatura da installare a casa dell'utente e che su comando, anche a distanza, è capace di selezionare i numeri telefonici predisposti (parenti, amici e personale per l'assistenza) inviando un messaggio fonico pre-registrato di soccorso. La seconda richiede un'apparecchiatura identica, ma capace di inviare segnali in codice, in sostituzione del messaggio registrato. Quest'ultimo sistema è utilizzabile in collegamento con un centro di servizio (ospedale o centro medico) dotato di apposita apparecchiatura atta a colloquiare in codice con i terminali d'utente per fornire al personale del centro i dati relativi al chiamante. Sia nella prima che nella seconda versione le apparecchiature da installare a casa dell'utente sono: un inviatore di allarme su rete commutata e un emettitore di comando via radio, di dimensioni non superiori a un pacchetto di sigarette.



# VUOI DIVENTARE TECNICO ELETTRONICO?



Sui 30 Corsi di Scuola Radio Elettra 10 sono dedicati alle specializzazioni elettroniche, e sono garantiti da una esperienza internazionale unica, ottenuta con metodi sperimentatissimi, sempre aggiornati, pratici e vivaci. Da oltre trent'anni Scuola Radio Elettra sa quali opportunità di lavoro specializzato offre il mercato, e l'ha insegnato a oltre 400.000 giovani in Europa.

Scuola Radio Elettra fa parte della più importante Organizzazione europea di scuole per corrispondenza.

## 4

### BUONE RAGIONI PER ISCRIVERTI AI NOSTRI CORSI.

- ① Decidi tu il ritmo di studio e la durata del Corso.
- ② Paghi solo le lezioni che fai e i materiali già ricevuti.
- ③ Diventi proprietario del materiale di sperimentazione che ti inviamo.
- ④ Alla fine del Corso riceverai un Attestato a conferma della preparazione acquisita.

## CON NOI PUOI.



**Scuola Radio Elettra**  
Via Stellone 5-10126 Torino

Compila, ritaglia, e spedisce solo per informazioni a:

**SCUOLA RADIO ELETTRA - Via Stellone 5 - X19 - 10126 Torino**

Vi prego di farmi avere, gratis e senza impegno, il materiale informativo relativo al Corso di:

#### CORSI DI ELETTRONICA

- ☐ Tecnica elettronica sperimentale\*
- ☐ Elettronica digitale\*
- ☐ Microcomputer\*
- ☐ Elettronica radio TV
- ☐ Elettronica industriale
- ☐ Televisione b/n
- ☐ Televisione a colori
- ☐ Amplificazione stereo
- ☐ Alta fedeltà

#### Strumenti di misura

#### CORSI TECNICO-PROFESSIONALI

- ☐ Elettrotecnica
- ☐ Disegnatore meccanico progettista
- ☐ Assistente e disegnatore edile
- ☐ Motorista autoriparatore
- ☐ Tecnico d'officina

#### Elettrauto

- ☐ Programmazione su elaboratori elettronici
- ☐ Impianti a energia solare\*
- ☐ Sistemi d'allarme antifurto\*
- ☐ Impianti idraulici-sanitari\*

#### CORSI COMMERCIALI

- ☐ Esperto commerciale
- ☐ Impiegata d'azienda
- ☐ Dattilografia

- ☐ Lingua inglese
- ☐ Lingua francese
- ☐ Lingua tedesca

#### CORSI PROFESSIONALI E ARTISTICI

- ☐ Fotografia
- ☐ Disegno e pittura\*
- ☐ Esperta in cosmesi\*

\*NOVITA'

(Indicare con una crocetta la casella che interessa)

COGNOME \_\_\_\_\_

NOME \_\_\_\_\_

VIA \_\_\_\_\_ N° \_\_\_\_\_

LOCALITÀ \_\_\_\_\_

CAP \_\_\_\_\_ PROV. \_\_\_\_\_ N. TEL. \_\_\_\_\_

ETÀ \_\_\_\_\_ PROFESSIONE \_\_\_\_\_

MOTIVO DELLA RICHIESTA: \_\_\_\_\_ PER LAVORO ☐ PER HOBBY ☐

Chiedi informazioni più precise compilando e spedendo l'unito tagliando.

Preso d'atto del Ministero della Pubblica Istruzione N. 1391.



# MINI o PORTATILI

## gli oscilloscopi

### Hitachi significano sicurezza

Il vostro lavoro vi impone strumenti con doti di portatilità notevoli?

Scegliete allora con sicurezza nella gamma dei portatili Hitachi. Sono sei modelli con banda passante da 15, 20, 30, 35, 50 e 100 Mhz, a doppia traccia (il 100 Mhz ha quattro tracce), sensibilità verticale di 1 mV/div. e con moltissime altre caratteristiche di avanguardia: trigger automatico e manuale, TV line e field, somma e sottrazione dei canali, linea di ritardo verticale a partire dal 30 Mhz e velocità di sweep di 20 ns (5 ns per il 50 Mhz con doppia base tempi e trigger view e 2 ns per il 100 Mhz, anch'esso con doppia base tempi). Tutti offrono un MTBF di 20.000 ore.

Vi occorre un oscilloscopio veramente compatto e leggero, da usare senza problemi nel lavoro di field più impegnativo?

Uno strumento in grado di darvi prestazioni ottime e con magnifiche caratteristiche di affidabilità?

Per questo Hitachi vi propone la sua nuovissima linea mini. I due stru-

menti che la compongono, il V-209 e il V-509 sono caratterizzati da 20 e, rispettivamente, 50 Mhz di banda passante, sensibilità di 1 mV/div., velocità della base tempi di 10 ns/div., base tempi ritardata con trigger separato dalla principale, circuito separatore di sincronismi TV, focalizzatore automatico della traccia, single sweep e hold off. Tutte queste caratteristiche e dispositivi sono raccolti in un contenitore di appena 25 centimetri di larghezza, 35 di profondità e solo 11 di altezza, con un peso totale di meno di 5 chili e un'autonomia di 2 ore di funzionamento continuo con il power pack opzionale AD-509. E con un MTBF di ben 20.000 ore.



## HITACHI



**Pesa solo  
5 Kg!**

# MELCHIONI ELETTRONICA

20135 Milano - Via Colletta 37 - tel. 57941 Filiali, agenzie e punti vendita in tutta Italia



## Cresce la domanda di TVC accessoriati e di qualità

**T**utto quel che sa di elettronico si vende molto bene. Questo slogan, di provenienza da oltre-Atlantico, conferma che nello scorso anno l'industria del consumer elettronico ha registrato impennate di sviluppo superiori alle previsioni più rosee e tali da compensare ampiamente la recessione dei due anni precedenti. Un caso particolarmente significativo è quello dei TVC. Considerato fino a pochi anni fa un prodotto maturo e senza possibilità di rilevanti sviluppi, il televisore a colori ha conosciuto nello scorso anno un piccolo boom: negli Stati Uniti ne sono stati venduti circa 14 milioni di unità, con un incremento di oltre il 20% rispetto al 1982. La crescita dovrebbe continuare quest'anno. Le fonti accreditate prevedono un assorbimento fino a 15 milioni di apparecchi corrispondenti ad un valore ai prezzi in fabbrica di 5,6 miliardi di dollari, poco più di 370 dollari ciascuno. Neanche tanto considerata la tendenza dell'utenza ad acquistare televisori accessoriati e di qualità. Ciò ha permesso alle quattro principali industrie americane (Zenith, RCA, General Electric e Magnavox (Philips), di aumentare la loro quota rispetto al prodotto di importazione orientale. La tendenza all'acquisto di apparecchi accessoriati, prevedono gli esperti, continuerà anche quest'anno; la preferenza sarà accordata a TVC con più di 100 canali, adottati per essere collegati ad home computers, videoregistratori, altoparlanti hi-fi e ad altri dispositivi elettronici. La domanda di televisori a colori trova spinta anche in altre motivazioni; la diffusione della TV via cavo e l'inizio della TV via satellite implicano il possesso di ricevitori migliori e tecnologicamente avanzati. Il televisore viene visto da quote sempre più larghe di ragazzi come un supporto "non-broadcast" e anche questo elemento è motivo sufficiente per spingere al rinnovo, al secondo o terzo apparecchio. Infine con la sofisticazione dell'apparecchio cresce il costo della riparazione, che una ricerca della RCA ha quantificato mediamente intorno ai 200 dollari, ulteriore fattore di stimolo ad optare verso l'acquisto.

## Sistemi integrati audio/video per casa

**L'**integrazione di tutti gli apparecchi elettronici presenti in una abitazione costituirà il risultato finale di una serie di ricerche e di aggiornamenti tecnici nelle quali si stanno cimentando tutte le maggiori industrie del settore. Nessuna, però, sembra avere idee chiare circa la metodologia e la filosofia da proporre. Si procede a tentoni, sperimentando ora l'una ora l'altra delle soluzioni tecnicamente possibili. La RCA, ad esempio, programma di mettere in vendita una soluzione che tramite un solo telecomando tiene sotto controllo numerose apparecchiature (TVC, videoregistratore, lettore di videodischi, giradischi convenzionali o a dischi compatti, sistemi hi-fi, ecc.). L'interazione tramite telecomando avviene con il televisore che funge da elemento centrale del sistema.

## Il TV digitale è alle porte

**S**i parla sempre più frequentemente di televisore digitale. L'introduzione dei primi apparecchi completamente digitali è attesa verso la fine dell'anno o all'inizio del 1985. Segnali audio e video saranno allora elaborati secondo tecniche traslate dall'informatica con modifiche sostanziali dei concetti progettuali e costruttivi. Cambieranno anche le prestazioni degli apparecchi: le immagini saranno più nitide e quindi aumenterà la propensione a servirsi del TVC per applicazioni di teletext, di elaborazione tramite personal computers e videogames. In aggiunta a immagini migliori, il televisore digitale elimina ogni tipo di interferenza e permette operazioni come lo zoom e l'ingrandimento di sezioni dello schermo, più una serie di altri accorgimenti di cui oggi si fatica perfino ad immaginarli mentre diventeranno caratteristiche degli apparecchi televisivi nel corso degli anni novanta.



## In forte sviluppo il servizio radiomobile in Italia

**A**lla fine del 1983 gli utenti del servizio radiomobile Sip (il telefono in auto) risultavano in Italia circa seimila, contro 4.152 alla fine del 1982 (1.500 nel 1979). Dovrebbero salire, secondo previsioni Sip, a 19.000 alla fine del 1988 e a 30.000 nel 1990. Per soddisfare le numerose domande inevase, dovute alla saturazione del vecchio sistema a 160 MHz, la Sip sta sviluppando un nuovo sistema nella gamma dei 450 MHz, recentemente approvato dal Ministero Pt, che dovrebbe entrare in servizio entro il 1984 in Lombardia e Lazio (la Italtel, fornitore unico del sistema attuale e dei telefoni, ha progettato il sistema di nuova generazione il cui lancio è previsto entro il 1984). Il mercato dei radiotelefonisti è in rapido sviluppo anche nei principali Paesi europei; al giugno 1982 risultavano in funzione 38.500 apparecchi in Norvegia, 31.100 in Finlandia, 24.000 in Svezia, 19.000 in Danimarca, 18.500 in Germania, 7.300 in Gran Bretagna, 6.500 in Francia e 5.500 in Svizzera.

## Accordo Intesi - S.I.S.AV.

**T**ra la Intesi, divisione Distribuzione della Deutsche ITT Industries GmbH Filiale Italiana e la S.I.S.AV., Società Italiana Sistemi Avanzati S.r.l. entrambe con sede al Centro Direzionale Milanofiori di Assago, è stato stipulato un accordo di collaborazione per il quale la S.I.S.AV. metterà a disposizione dei clienti Intesi il proprio bagaglio di esperienza e know-how nella progettazione e sviluppo sia hardware che software di apparecchiature e sistemi a microprocessore.

## TV via satellite: il programma italiano

**L'**Italia avrà un suo satellite per la televisione diretta. La promessa è di un politico: il ministro delle Poste e Telecomunicazioni Antonio Gava, il quale, durante un intervento parlamentare, ha anche annunciato la costituzione di un comitato di esperti per lo studio di fattibilità. Si dovrebbe e vorrebbe così garantire continuità al satellite L-Sat, la cui permanenza in orbita è prevista fino al 1995. Gava ha anche annunciato l'indirizzo operativo del governo che si caratterizza per un duplice obiettivo: favorire da un lato ogni azione che sia rivolta alla compatibilità internazionale dei sistemi, per non rimanere isolati nel tessuto reticolare delle comunicazioni mondiali, prevenire dall'altro lato l'eventualità che il mercato italiano possa subire l'immissione massiccia di prodotti esteri, che comprometterebbero non solo la produzione nazionale ma anche la stessa definizione degli standard italiani, necessaria perché l'industria possa realizzare in tempo utile la produzione di serie delle apparecchiature. I propositi sono lodevoli, anche troppo se si considera un altro punto della relazione, quello della partecipazione attiva di rappresentanti italiani in tutti gli organismi internazionali.

## I "Panzer" tedeschi della TV via cavo

**N**ella prima rete di TV via cavo della Germania, che interessa la città di Ludwigshafen nello stato Renania-Palatinato, saranno investiti circa 60 miliardi di lire. Tale somma sarà investita in parte rilevante dalla PKS (Programmgesellschaft Kabel und Satellitenfunk) per mettere a disposizione di circa 1.200 abbonati del servizio sperimentale, la cui durata è fissata in tre anni, 19 canali. Il costo per l'utente è di 125 marchi (72.000 lire circa) a titolo di canone e di 11 marchi (6.700 lire circa) al mese per l'abbonamento. Quello di Ludwigshafen è uno dei quattro progetti di TV via cavo autorizzati dalla Bundespost (gli altri tre riguardano le città di Monaco, Dortmund e Berlino).



# UNAOHM

## PROMOTIONAL !!

### OSCILLOSCOPIO Mod. G 505 DT

DOPPIA TRACCIA 20MHz./5mv.

### IN OMAGGIO A SCELTA:

TESTER 40.000  $\Omega$  / V

PROBE X1/X10

**£it.**  
**650.000**  
+ IVA



Disponibilità: presso il Vostro rivenditore, o direttamente alla Unaohm

**UNAOHM**  
DELLA  
**START** S.P.A.

uffici commerciali

via f. brioschi, 33 - 20136 milano  
telefoni (02) 8322852 (4 linee)  
indirizzo telegrafico: unaohm milano  
stabilimento - uffici assistenza

via g. di vittoria 45 - 20068 peschiera borromeo (mi)  
telefoni (02) 5470424 (4 linee) - telex unaohm 310323



# GENERALITA' SUL LASER E SUE APPLICAZIONI

**SPECIALE  
LASER**

*Hans Koeber e Winfried Knöblock*

Quando Aladino voleva soddisfare i suoi desideri bastava che toccasse la sua lampada. Il raggio laser pur non avendo un potere così straordinario, ha permesso di realizzare in tutti i campi dell'attività umana progressi significativi, specialmente in medicina dove il suo raggio ultrasottile e "pieno" di calore si è dimostrato un bisturi dalle proprietà taumaturgiche.



**I**laser (Laser = *Light Amplification by Stimulated Emission of Radiation*: amplificazione della luce mediante emissione stimolata di radiazione) sono "componenti" che amplificano una oscillazione luminosa avente una data fase producendo una luce monocromatica coerente. Questa luce ha lunghezze d'onda che possono andare da 100 nm ( $1 \text{ nm} = 10^{-9} \text{ m}$ ), e pertanto nella gamma dell'ultravioletto, e 700  $\mu\text{m}$  ( $1 \mu\text{m} = 10^{-6} \text{ m}$ ), e cioè nel campo dell'infrarosso. Il laser produce quindi una gamma di lunghezze d'onda molto più estesa di quelle che l'occhio umano può vedere. Il raggio laser non si disperde ma rimane con lo stesso "spessore" anche dopo aver percorso grandissime distanze.

Le caratteristiche fisiche del laser

permettono di poter focalizzare il suo fascio in un punto di dimensioni estremamente ridotte, e di concentrare quindi su questo punto enormi quantità di energia, dell'ordine di Terawatt/cm<sup>2</sup> (1 Terawatt =  $10^{12} \text{ W}$ ). Grazie alla ridotta "apertura", il raggio laser può essere utilizzato per trasmettere informazioni a grandi distanze e attualmente è possibile modularlo con frequenze dell'ordine delle frequenze video.

#### Luce laser e luce normale

La caratteristica principale della luce-laser è la *coerenza*. La luce laser è inoltre più intensa, più monocromatica e più collimata (e cioè altamente rettilinea e parallela a se stessa) di qualsiasi altra sorgente di luce.

La coerenza è quella proprietà in base alla quale le oscillazioni che attraversano un piano ad esse perpendicolare (fronte dell'onda), lo attraversano *tutte* con lo stesso angolo di fase. Un fascio di luce coerente può essere quindi considerato come formato da un'onda ideale le cui proprietà, in funzione dello spazio e del tempo, possono essere facilmente descrivibili e riproducibili. L'apparenza granulosa, caratteristica della luce laser, è dovuta a fenomeni di interferenza prodotti a loro volta dalla coerenza.

La luce ordinaria non è coerente; il che significa che le sue oscillazioni attraversano il piano del fronte dell'onda sotto angoli di fase di valore differente e con differente ampiezza. Un raggio di luce non coerente può considerarsi es-





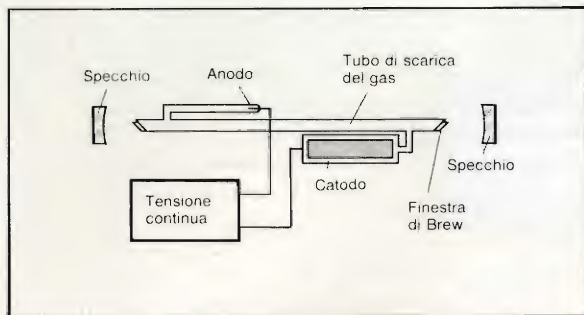


Fig. 1 - Schema semplificato di laser a gas.

senzialmente un miscuglio disordinato di onde.

L'intensità di un raggio laser può raggiungere valori molto elevati. È possibile infatti ottenere concentrazioni di potenza superiori a  $1000 \text{ MW/cm}^2$ . A questi valori di potenza, un raggio laser è in grado di tagliare e vaporizzare qualsiasi materiale.

## Emissione stimolata ed emissione spontanea

La produzione di luce-laser si basa sull'emissione *stimolata*, un fenomeno questo osservato soltanto nel laser. L'emissione *spontanea* è al contrario il sistema normalmente usato per produrre luce mediante eccitazione di atomi o di molecole.

È noto che in un atomo, gli elettroni risultano distribuiti su determinate orbite alle quali corrispondono determinati livelli di energia. Quando un atomo è investito da una forma di energia (calore, luce ...), alcuni elettroni che si trovano ad un livello *inferiore* possono trasferirsi su un livello *superiore*. Qui però non rimangono molto tempo perché, per natura, tendono a ritornare nel loro livello naturale o livello-base. Durante questo "salto" essi cedono, sotto forma di luce (fotoni), l'energia che era servita a loro per "saltare" sul livello superiore.

Fatta questa premessa, supponiamo che l'atomo del materiale-laser abbia livelli di energia sui quali possono trasferirsi elettroni, e che il livello più basso (livello o stato-base) sia occupato dai suoi normali elettroni e che il livello immediatamente superiore sia invece vuoto. Sotto l'azione di una eccitazione (di natura calorica, ottica o elettrica) potrà succedere che un elettrone possa trasferirsi dal livello più basso al livello immediatamente superiore. Questo elettrone però, dopo un certo tempo, tenderà a ritornare sul suo livello *emettendo un fotone*, e cioè luce. La direzione e la fase dell'onda luminosa associata a questo fotone sono però *irregolari*,

ed inoltre, l'energia posseduta dal fotone corrisponderà alla differenza di energia esistente tra due livelli di energia. La durata della permanenza dell'elettrone nel livello superiore potrà essere breve (meno di 10 picosecondi) oppure lunga (più di 1 microsecondo), nel quale caso il livello viene chiamato *metastabile* e l'emissione di luce, *fluorescenza*.

L'emissione *stimolata* si ha quando, trovandosi l'elettrone di un atomo eccitato, sul livello di energia immediatamente superiore, esso viene *costretto* a ritornare nel suo livello naturale da un fotone *esterno*. (Nell'emissione spontanea esso ritornava *da solo* nel suo livello, emettendo un fotone). In particolare, se l'elettrone di un atomo che in seguito all'eccitazione viene a trovarsi nel livello superiore viene colpito da un'onda luminosa (e cioè da un fotone esterno) la cui lunghezza d'onda corrisponde alla differenza di energia tra i due livelli, questo elettrone sarà *stimolato* dall'onda luminosa a portarsi nel livello di energia inferiore emettendo nello stesso tempo un fotone. Questo fotone però e l'onda ad esso associata, verranno emessi nella *stessa direzione e con la stessa fase della luce incidente* (fotone stimolatore). Verrà prodotta in questo modo un'onda luminosa avente una frequenza ben determinata, la quale attraverserà il materiale eccitato e aumenterà in ampiezza in quanto essa stessa stimola l'emissione.

## Pompaggio e inversione della popolazione

Il processo al quale prima abbiamo accennato tendente ad *eccitare* il materiale-laser, a trasferire cioè gli elettroni dai livelli di energia inferiori ai livelli di energia superiori viene chiamato *pompaggio*. Questo pompaggio degli elettroni può essere realizzato con sistemi ottici ricorrendo, per esempio, a lampade particolari, a scariche elettriche, a reazioni chimiche, oppure, come avviene nel caso del laser a semi-

conduttore (diodo laser), iniettando gli elettroni nel livello di energia superiore dell'atomo ricorrendo ad una corrente elettrica.

Nel laser questa *inversione* della "popolazione" è necessaria per dare inizio e mantenere l'azione-laser. Inversione di popolazione significa in termini generali portare in una zona, elementi (popolazione) che *normalmente* non risiedono in quella zona.

Nel caso del laser, si parla di inversione di popolazione in quanto, sotto l'azione di una eccitazione (luminosa o calorica) vengono trasferiti nel livello superiore elettroni che *normalmente* si trovano invece nel livello di energia inferiore.

Normalmente, il livello di energia inferiore è quasi completamente *pieno* di elettroni mentre il livello superiore (supponendo che si trovi a qualche decimo di elettrovolt al di sopra del livello inferiore, a temperatura ambiente) è *essenzialmente vuoto* di elettroni.

Sotto l'azione di una eccitazione energetica, l'atomo del materiale del laser *inverte* il numero degli occupanti di questi due livelli, e così il livello superiore viene ad essere pieno di elettroni.

È questa *inversione di popolazione* mantenuta dal *pompaggio* che mantiene l'effetto laser in quanto l'onda luminosa esterna di adatta frequenza potrà

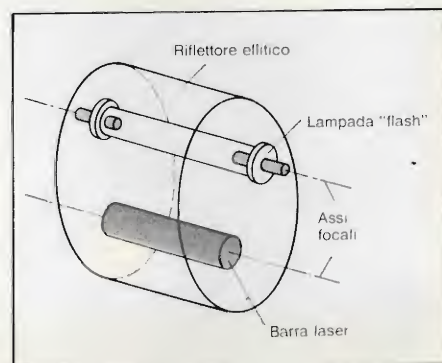


Fig. 2 - Sistema di "pompaggio" nei laser a cristallo.

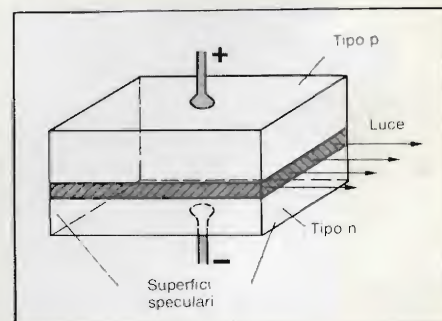


Fig. 3 - Le superfici a specchio dei diodi-laser sono parallele alla direzione di uscita del raggio laser.



stimolare e costringere questi elettroni *pompati* ad andare nel livello di energia inferiore e produrre durante questa transizione la luce-laser.

### Laser a gas

I laser a gas (*figura 1*) vengono per lo più prodotti mediante una scarica di corrente continua tra due elettrodi; una successiva eccitazione a frequenza elevata provvede ad aumentare la potenza. La luce laser va avanti e indietro riflessa dai due specchi di cui uno è in parte trasparente. Appena l'amplificazione del laser riesce a superare le perdite che la luce laser incontra in questo andare avanti e indietro, si instaura l'autoeccitazione, e il laser diventa un vero generatore.

In questo laser a specchi si producono, per interferenza, effetti di risonanza che tendono ad esaltare determinate lunghezze d'onda. Se, come indicato in *figura 1*, il sistema laser viene munito della cosiddetta *finestra di Brew*, sarà possibile effettuare la polarizzazione del fascio, e di conseguenza una sua modulazione ricorrendo ai normali sistemi elettronici.

I laser a gas sono realizzati per lo più con elio e neon, e irradiano su una lun-

ghezza d'onda di 632,8 nm: è il noto raggio rosso del laser. Altre miscele sono fatte con i gas nobili argon, cripton, neon e xenon e con il "meno nobile" azoto. I laser che lavorano con anidride carbonica ( $\text{CO}_2$ ) compressa a molte atmosfere possono produrre impulsi laser la cui potenza può raggiungere i Gigawatt.

### Laser a cristallo

È stato il primo tipo di laser. Nel 1960 Maimon introdusse infatti il suo laser a barra di rubino. I laser a cristallo vengono "pompati" otticamente per lo più mediante lampi di luce prodotti da una lampada alimentata con le correnti ottenute da scariche di un condensatore (*figura 2*). Anche in questo caso quindi siamo in presenza di un funzionamento ad impulsi.

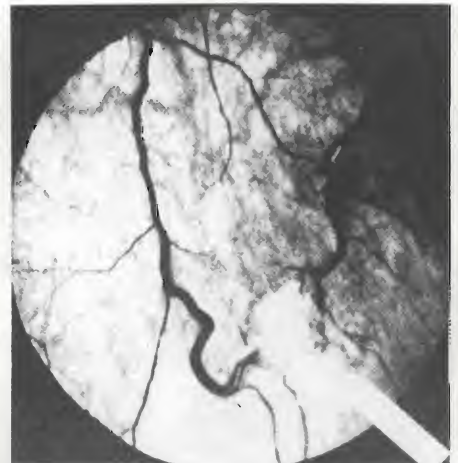
Altri cristalli utilizzati sono il neodim-YAG (granato di yttrio e di alluminio), capaci di dare impulsi di energia dell'ordine di 5000 joule.

### Laser a semiconduttore

Sono i cosiddetti diodi-laser (*figura 3*). Il loro principio di funzionamento assomiglia a quello dei LED. Possono ir-



Fig. 4 - Il raggio laser taglia una lastra di acciaio spessa 3 cm. Il taglio è netto e senza sbavature.



a)



b)

Fig. 5 - (a) La freccia indica un tumore angiomatoso che si è sviluppato su una grossa vena del fondo dell'occhio. (b) La foto indica che il tumore è stato distrutto mediante coagulazione attuata con un laser a argon.

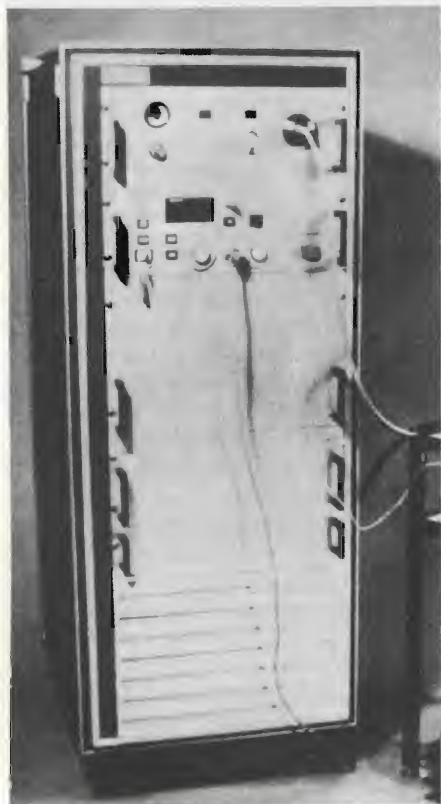
radiare un'ampia gamma di lunghezze d'onda di luce *non coerente* anche a bassi valori di densità di corrente. Questi LED diventano laser solo dopo che è stata raggiunta una certa densità di corrente per cui le perdite nel risuonatore vengono compensate dall'effetto dell'amplificazione.

La potenza laser fornita dipende dall'entità delle perdite nel materiale semiconduttore. Per aumentare la potenza di uscita si usa collegare in serie più chip. In questa maniera è possibile ottenere impulsi laser con potenze dell'ordine del kilowatt ma di breve durata. Come materiale-base, i diodi-laser utilizzano principalmente materiali semiconduttori come il gallio, l'arsenico e l'alluminio. Per ridurre le perdite di irradiazione, al posto della singola giunzione (*figura 3*), attualmente vengono impiegati sistemi a più giunzioni.





Fig. 6 - Esempio di fotocoagulazione realizzata mediante laser a argon in una malattia vascolare della retina. I punti di coagulazione sono riconoscibili dai minuscoli puntini.



a)



b)

Fig. 7 - (a) Laser a YAG-Neodim per effettuare esami endoscopici dell'intestino, dei bronchi e della vescica. (b) Laser a CO<sub>2</sub>, impiegato nelle operazioni chirurgiche e in ginecologia.

## Le applicazioni del laser

Nel 1960, quando Mainon per primo riuscì a produrre il raggio laser, subito si parlò di cosa *meravigliosa* e subito dopo di *raggio della morte*. In realtà, oggi in medicina ed in particolare nel campo dell'oculistica, il raggio laser viene utilizzato per curare disfunzioni e malattie che prima venivano curate con mezzi inadatti e poco affidabili.

Il primo raggio-laser fu quello a cristallo di rubino. Attualmente, il laser a rubino viene utilizzato per misurare, per esempio, la distanza intercorrente tra la terra e la luna. In questo caso, il *riflettore* del laser viene puntato sulla luna. La luce-laser, raggiunta la superficie della luna, viene riflessa: conoscendo la velocità di propagazione della luce e il tempo impiegato dal raggio laser nel cammino di andata-ritorno, sarà possibile valutare con una approssimazione di qualche metro, la distanza esistente tra la terra e la luna.

## Potenza del laser

Le tre differenti sorgenti di luce-laser suddette (e cioè a gas, a cristallo e a diodo) danno potenze laser di differente valore. Per esempio, la potenza di appena 0,5 mW fornita dal laser a miscela di gas elio e neon (He-Ne) non è in grado di temperare l'acciaio; ciò invece può essere fatto ricorrendo ai laser a cristallo. Con un laser a diodo non sarà mai possibile saldare e forare metalli. Ricorrendo invece alla potenza fornita dal laser ad anidride carbonica (CO<sub>2</sub>) sarà possibile fondere e vaporizzare metalli durissimi, come il quarzo, il diamante, materiali come teflon e così via. Non esiste materiale che non possa essere "bruciato" da questo tipo di laser. È un po' di "fuoco" che l'uomo ha sottratto al sole!

Il raggio laser deve essere sempre messo a fuoco sia che si tratti di fare un foro nell'acciaio sia che si tratti di distruggere un tumore nel cervello. Per fare ciò occorre che il raggio laser venga focalizzato in un punto ben preciso servendosi di una lente. Così per esempio, sistemando opportunamente vari laser a gas Neodym e concentrando in un unico punto i raggi laser prodotti, è stato possibile raggiungere a Livermore (USA) temperature dell'ordine di 80 milioni di gradi Celsius (°C)!

Quando sarà possibile raggiungere con raggi-laser focalizzati potenze dell'ordine di 100 milioni di gradi, si potrà fare a meno delle attuali centrali atomiche. Avrà inizio infatti l'era della fusione nucleare ottenuta mediante laser.



### Il laser che tutti conoscono

La tecnica del laser ha assunto un posto ben definito in campo industriale. Inizialmente, ci si rese conto che con il laser a rubino si potevano forare con estrema velocità, i cosiddetti *rubini* degli orologi a molla. Nell'industria tessile e in quella delle macchine si lavora con il laser. I fabbricanti americani e inglesi di cartone tagliano i vari tipi di cartoni con il raggio laser. Anche gli angolari degli sci vengono lavorati con il raggio laser che in questo caso funziona da taglierina e da trapano. A tutti è noto l'utilizzo del laser nella messa in opera e nella misura di cavi e tubi sia in superficie che sott'acqua, nella costruzione di tunnel ecc. Nella geodesia, il laser è lo strumento più usato per la misura di distanze.

Il fatto che il laser "risponda" al calore e al fumo lo rende un sistema di allarme estremamente sicuro, specialmente se utilizzato in locali di grandi dimensioni.

In campo artistico, il laser viene usato come mezzo per verificare l'autenticità di un'opera d'arte in quanto esso è in grado di rilevare pitture sovrapposte all'originale aventi spessori estremamente sottili. Nella chimica, è incominciata con il laser una nuova era; il laser consente infatti di analizzare e scomporre composti chimici e sintetizzarne dei nuovi.

Con il laser è possibile proiettare su uno schermo immagini di grandi dimensioni. In America, i ciechi reduci dalla guerra nel Vietnam utilizzano per muoversi un "bastone a laser". In campo aeronautico, tutte le parti soggette a vibrazioni vengono controllate con il laser.



Fig. 8 - Il dr. R.L. Goode dirige, servendosi del microscopio, il raggio laser sul timpano dell'orecchio.

Moltissimi sono gli impieghi del laser! Esso si è dimostrato un "utensile" che semplifica il lavoro in tutti i campi. Naturalmente, non si è fatto qui cenno ai suoi impieghi in campo militare che sono molti e sofisticati.

### Applicazioni del laser in campo medico

Il settore biomedico è stato uno dei primi campi dove il laser ha trovato la sua pratica applicazione. Infatti, subito dopo la sua scoperta (1960), alcuni biologi utilizzarono la finezza estrema del raggio laser per "operare" a livello delle cellule viventi. Gli oftalmologi

s'impadronirono subito di questo mezzo che presentava indubbi vantaggi sulla lampada alla Xenon. Il riattacco della retina sul fondo dell'occhio non presentava più pericoli e diventava un'operazione dall'esito sicuro. A partire dal 1975, il laser è diventato il bisturi ideale per eliminare porri ed altre affezioni tumorali della pelle, il sistema elegante per ricucire ferite da operazioni senza lasciare alcuna traccia sulla pelle. Attenzione! Osservare il raggio laser è pericoloso perché può bruciare la retina. Di questo occorre tenere presente nelle dimostrazioni didattiche e nelle discoteche. ■

### Bibliografia

- 1) Hubert Smillet: *Il laser in medicina* - Revue Française de l'Électricité, pag. 18.

## 700.000 TVC per teletext nel 1985

Il teletext sembra avviato ad un futuro irto di minori ostacoli di quelli che ne hanno fino ad oggi condizionato la crescita. La differenza fra gli standard, ad esempio, non pare più un grande ostacolo alla sua diffusione. L'industria di semiconduttori, infatti, ha sviluppato chip che hanno permesso la costruzione di decodificatori multistandard capaci di risolvere la visibilità dell'utente. Questi e altri motivi hanno ritardato in Italia la diffusione del servizio teletext da parte della RAI che ha anche individuato nella possibilità di scelta fra tipi di informazione uno dei fattori di attecchimento del teletext nel nostro Paese. Si prevede che la presenza, nel nostro Paese, di un sistema televisivo molto concorrenziale, farà scattare assai probabilmente una moltiplicazione di sistemi teletext, considerati anche gli investimenti limitati (da 200 a 500 milioni di lire) mediamente necessari da parte di una emittente televisiva. Uno sviluppo sostenuto del teletext accelererebbe il turn-over del parco televisori e creerebbe quindi all'industria televisiva un tessuto operativo più tranquillo dell'attuale. Secondo valutazioni della RAI a due anni dalla introduzione del servizio teletext, quindi a fine 1985, la metà dei televisori a colori venduti in Italia (700 mila unità circa) avrebbe in dotazione il decodificatore.



## COMUNICATO STAMPA

# IL REDIST

DIVISIONE della GBC Italiana

e la **ZETRONIC**

hanno stipulato un contratto di distribuzione su tutto il territorio Italiano. L'accordo riguarda i seguenti prodotti:

A) Zoccoli per circuiti integrati

**«Low Cost»**

B) Connettori ad inserzione diretta  
**«Edge connectors»**  
passo 2,54 3 3,96 mm.

Tutti i prodotti sopraccitati sono disponibili a stock.

La TRIO  
produce anche



CS-1562A (10 MHz)



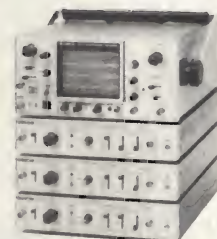
CS-1022 (20 MHz)



CS-2150 (150 MHz)



CS-1352 (15 MHz «portatile»)



CS-1650B (memoria digitale)

### RIVENDITORI AUTORIZZATI CON MAGAZZINO:

**BOLOGNA:** Radio Ricambi (307850); **BOLZANO:** Technolasa Elettronica (930500); **CAGLIARI:** ECOS (373734); **CASTELLANZA:** Vematron (504064); **CATANIA:** IMPORTEX (437086); **COSENZA:** Franco Angotti (34192); **FIRENZE:** Paoletti Ferrero (294974); **GENOVA:** Gardella Elettronica (873487); **GORIZIA:** B & S Elettronica Professionale (32193); **LA SPEZIA:** Antei & Paolucci (502359); **LATINA:** KEY-BIT Elettronica (489551); **LIVORNO:** Giuliano Mangoni (504398); **MAGENTA:** ERRE.D (9794490); **MILANO:** Hi-Tec (3271914); **I.C.C.** (405197); **NAPOLI:** Bernasconi & C. (223075); **GISA Elettronica** (610974); **TESAI** (282718); **PADOVA:** RTE Elettronica (605710); **Ing. Zaramella** (43711); **PALERMO:** Elettronica Agrò (250705); **PIOMBINO:** Alessi (39090); **REGGIO CALABRIA:** Importex (94248); **ROMA:** GB Elettronica (273759); **GIUPAR** (578734); **IN.DI.** (9314819); **ROVERETO:** C.E.A. (35714); **TARANTO:** RATVEL Elettronica (321551); **TORINO:** Petra Giuseppe (597663); **UDINE:** P.V.A. Elettronica (297827).

**Vianello**



# A questi prezzi, mai prima d'ora

- ✓ 3 versioni: 40-60-100 MHz
- ✓ 3 canali/6 tracce\*
- ✓ Sensibilità 1 mV/div.
- ✓ Doppio sweep ritardato ed espanso

**100 MHz**  
**2.660.000**

SONDE COMPRESSE

**40 MHz**  
**1.425.000**

SONDE COMPRESSE

**60 MHz**  
**1.828.000**

SONDE COMPRESSE

**100 MHz**  
**2.660.000**

SONDE COMPRESSE

INSTANTI PREZZO RIFERITO A YEN = L. 7. PAGAMENTO IN CONTANTI PREZZO



**TRIO**

TRIO-KENWOOD CORP.

I nuovi modelli CS-1040, CS-1060 e CS-1100 rappresentano, anche per le esclusive innovazioni tecnologiche, il meglio della già affermata serie di oscilloscopi CS-1000.

\* Per il 100 MHz: 2 canali/4 tracce

**vianello**

Sede : 20121 Milano - Via T. da Cazzaniga, 9/6  
Tel. (02) 6596171 (5 linee) - Telex 310123 Viane I  
Filiale: 00185 Roma - Via S. Croce in Gerusalemme, 97  
Tel. (06) 7576941/250 - 7555108

Agente per le Tre Venezie - Bergamo - Brescia:

**LUCIANO DESTRO**

37134 Verona - Via Dei Castelbarco, 13 - Tel. (045) 585396

**40 MHz**  
**1.425.000**

SONDE COMPRESSE

**60 MHz**  
**1.828.000**

SONDE COMPRESSE

**100 MHz**  
**2.660.000**

SONDE COMPRESSE

Tagliare e spedire in busta chiusa alla Vianello S.p.A. - 20121 Milano - Via T. da Cazzaniga, 9/6  
INVIATEMI SENZA IMPEGNO MAGGIORI INFORMAZIONI  
CAP \_\_\_\_\_  
TEL. \_\_\_\_\_  
ELETTO RIFERITO A YEN = L. 7. PAGAMENTO IN CONTANTI PREZZO



Elementi della penna collimatrice. Partendo da destra: laser a semiconduttore e relativo supporto, tubetto di alluminio contenente le lenti per la collimazione del fascio, parte meccanica e distanziatori, ed infine, lente cilindrica per la correzione delle tolleranze.



# LASER

## A SEMICONDUTTORE PER COLLIMATORE

I sistemi di scrittura-lettura dei dischi digitali (VLP e Compact disc, per esempio) richiedono fasci laser con dimensioni estremamente rigorose. Anche il fenomeno dell'astigmatismo deve essere ridotto al minimo. A questo scopo è stata di recente introdotta una nuova versione di laser a semiconduttore, il CQL10A, che munito di ottica opportuna è in grado di soddisfare le esigenze di questi sistemi. L'ottica di correzione richiesta viene inserita in un tubetto, assieme al laser, e costituisce la cosiddetta penna di collimazione.

L.J. Van Ruyven - Philips S.p.A.

**P**er incidere in un disco un'informazione digitale si utilizza attualmente un'intensa sorgente di luce laser ad impulsi di durata variabile. L'informazione digitale così prodotta è a forma di minuscole fessure (pozzi), di lunghezza variabile, disposte sulla superficie del disco in forma di una spirale che inizia dal centro e termina alla periferia del disco (fase di scrittura).

Per recuperare questa informazione

viene utilizzata ancora una sorgente di luce laser (in questo caso non modulata) che viene diretta sulla spirale dei pozzi. L'interferenza tra il raggio incidente e quello riflesso produrrà una variazione di intensità della luce laser dalla quale si potrà ricavare l'informazione digitale impressa nel disco (fase di lettura).

Per questa operazione di scrittura e di lettura viene usata come sorgente di luce laser, quella a semiconduttore, la

quale presenta notevoli vantaggi nei confronti dei laser a gas neon-elio. Il laser a semiconduttore ha infatti un rendimento più elevato e richiede una tensione di alimentazione di pochi volt (si pensi ai 1500 V che occorrono ai laser all'elio-neon); non presenta problemi quando occorre modulare la sua luce, specialmente quando la modulazione è a forma di impulsi. Anche la potenza d'uscita è relativamente elevata (intorno ai 50 mW).



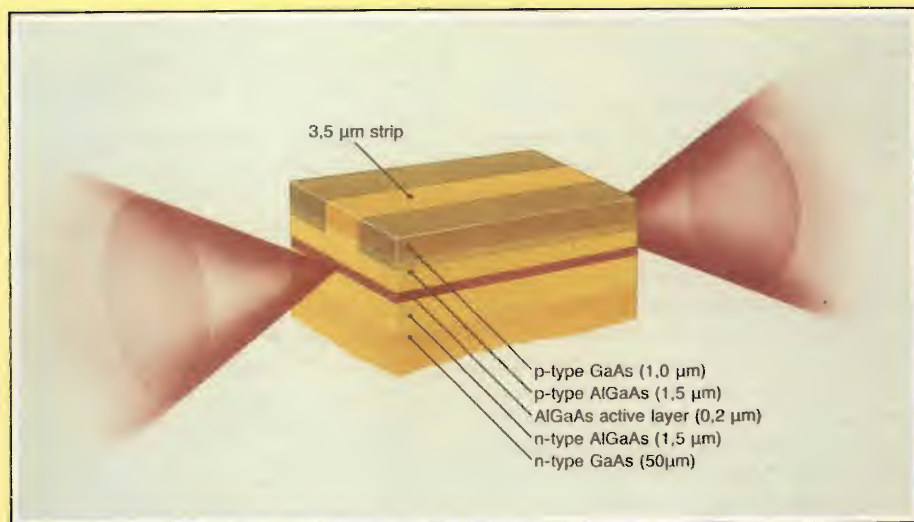


Fig. 1 - Laser a semiconduttore CQL10 Philips in sezione. Si notino lo strato attivo (in rosso), dal quale fuoriesce dai lati opposti il raggio laser, racchiuso tra due strati di rivestimento rispettivamente di tipo p e di tipo n. Per far sì che la corrente che attraversa lo strato attivo rimanga entro una regione ben definita, la zona di conduzione degli strati p viene confinata, grazie ad un impianto di protoni, entro una regione (strip) molto stretta degli strati p.

In altra parte di questa rivista viene presentato un laser a semiconduttore il CQL10 (Philips), la cui fortuna è dovuta al fatto di essere utilizzato come *laser di lettura* nel "Compact disc", l'ultimo traguardo nel settore delle riproduzioni Hi-Fi audio.

Il CQL10 (figura 1) è un laser a semiconduttore a più giunzioni i cui materiali-base sono l'alluminio (Al), il gallio (Ga) e l'arsenico (As). Nell'articolo citato si dice che questo laser, come del resto tutti i laser a semiconduttore, ha l'inconveniente di produrre un

fascio di luce molto *divergente* e di conseguenza, richiede sistemi ottici tendenti a limitare detta divergenza (sistemi collimatori). La realizzazione pratica di questi sistemi di collimazione da parte di chi vuole utilizzare un laser a semiconduttore è particolarmente complessa e laboriosa nella sua messa a punto. Per rendere pertanto più immediato l'impiego di questi laser è stata introdotta dalla Philips-Elcoma la cosiddetta *penna-collimatore*, nella quale si trovano opportunamente sistemati sia la sorgente di luce laser sia l'ottica per la collimazione del fascio di luce emesso.

Qui di seguito descriveremo brevemente questo nuovo componente.

### Le caratteristiche del laser

Il fascetto di luce-laser emesso dal CQL10 è, come già detto estremamente divergente; la sezione parallela di questo "cono" di luce che ha il suo apice in corrispondenza dello strato attivo del laser non è un cerchio ma un'ellisse (figura 1). Il fascio presenta quindi un certo astigmatismo.

Il centro virtuale da cui dipartono i raggi che giacciono lungo l'asse minore-

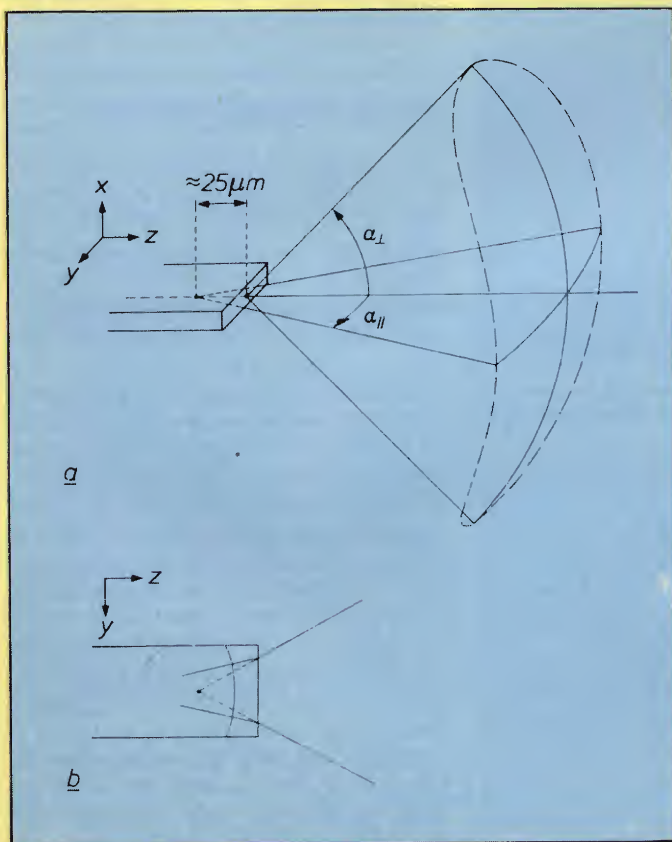


Fig. 2 - Il fascio laser in uscita dallo strato intermedio è fortemente astigmatico (ellisse). I raggi che giacciono lungo l'asse minore dell'ellisse partono da un centro virtuale situato all'interno dello strato attivo.

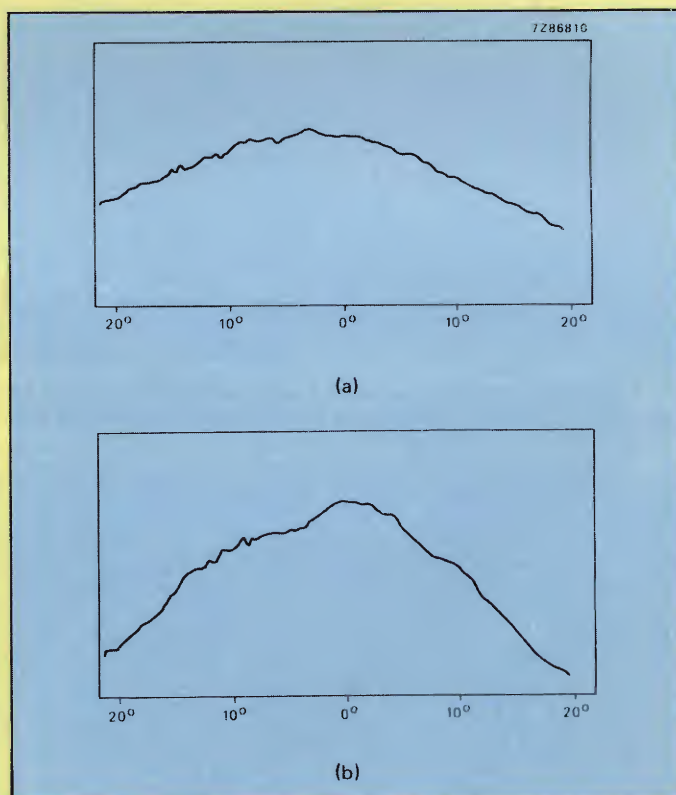


Fig. 3 - Andamento dell'intensità del raggio laser in uscita dal chip lungo gli assi ortogonali di un piano che taglia il fascio laser. Il piano è parallelo alla superficie attiva del chip: (a) = andamento lungo l'asse perpendicolare al piano dello strato attivo, (b) = andamento lungo l'asse parallelo al piano dello strato attivo.



re dell'ellisse si trova infatti all'interno del blocchetto del laser (figura 2), distante circa 20 ... 30  $\mu\text{m}$  della faccia attiva del CQL10, (finestra di emissione).

## Un laser con le caratteristiche migliorate

Abbiamo visto che il fascio di luce emesso da un laser a semiconduttore è divergente e astigmatico. Per poter leggere l'informazione digitale presente in un disco occorre che questo fascio venga focalizzato sulla superficie del disco. A ciò provvede il sistema ottico di collimazione. È ovvio però che se si riesce a ridurre la divergenza e l'astigmatismo già a livello del laser a semiconduttore, il lavoro del collimatore risulterà semplificato. Ci si è dunque sforzati di rendere più circolare possibile la sezione del cono di luce emessa dal laser. Ciò vuol dire che gli angoli dei piani rispettivamente parallelo e normale alla faccia attiva del CQL10 dovranno essere uguali. In un laser a guadagno guidato come lo è appunto il

tipo CQL10 non è difficile realizzare queste condizioni. La figura 1 riporta il chip del laser. Qui si vede che lo strato attivo (indicato in rosso) risulta inserito tra 4 strati, cosiddetti di rivestimento, 2 di tipo n e 2 di tipo p, rispettivamente. Inoltre per far sì che la corrente che attraversa lo strato attivo risulti contenuto entro limiti ben definiti, si provvede ad effettuare negli strati di tipo p un impianto di protoni il cui scopo è quello di confinare il flusso della corrente che attraversa lo strato attivo entro una regione molto stretta (la cosiddetta strip). È la corrente che attraversa questa stretta regione e quella molto ridotta che "trasborda" negli strati di rivestimento di tipo p che regola il grado di astigmatismo del fascio laser che esce dal chip.

Il grado di astigmatismo dipende dallo spessore dello strato attivo, e ciò per il fatto che lo spessore di quest'ultimo è piccolo (circa 0,2  $\mu\text{m}$ ) rispetto alla lunghezza d'onda della luce laser emessa (0,82  $\mu\text{m}$ ), e di conseguenza, una parte di luce-laser passerà attraverso gli strati di rivestimento, i quali avendo

un indice di rifrazione inferiore a quello dello strato attivo, tenderanno anch'essi a produrre una quota di astigmatismo.

Conclusione: per ridurre l'astigmatismo del fascio laser in uscita dal chip occorrerà:

- calibrare bene la larghezza della regione entro la quale avviene il passaggio della corrente attraverso il chip;
- ridurre le correnti disperse negli strati di rivestimento (regolando la loro resistività);
- calibrare al meglio lo spessore dello strato attivo.

Attuali questi accorgimenti costruttivi nella prima "edizione" di laser (e cioè il CQL10), si è riusciti ad ottenere una nuova "edizione" (il CQL10A) nella quale il fenomeno dell'astigmatismo è ridotto al minimo, e di conseguenza un piano immaginario parallelo alla faccia attiva del chip taglierà il fascio laser secondo una sezione pressoché circolare e non ellittica.

Nella figura 3 si può vedere la ripartizione dell'intensità del raggio laser secondo i due assi ortogonali passanti per il centro della sezione circolare suddetta. Tali intensità non sono perfettamente uguali lungo i due assi ortogonali, ma comunque più che sufficienti per realizzare una penna-collimatore.

## Sistema ottico del collimatore

È riportato in sezione nella figura 4. Il laser a semiconduttore è qui presentato in un contenitore SOT-148. Il fascio di luce laser divergente viene collimato da un sistema ottico a tre lenti e successivamente corretto nell'astigmatismo residuo da una lente cilindrica.

La figura 5 riporta la distribuzione dell'intensità del raggio laser collimato in uscita dalla penna-collimatrice. Questi sono i valori di intensità lungo i due assi ortogonali giacenti in un piano parallelo alla faccia attiva del laser, la faccia cioè dalla quale esce il raggio laser. L'ottica è stata calibrata in maniera da realizzare una collimazione del raggio laser adatta alla lettura/scrittura ottica dei segnali digitali impressi su disco (dischi VLP e Compact disc).

La figura 6 riporta lo spettro di emissione, in (a) del solo CQL10A, in (b) del CQL10A inserito nel collimatore. In questo secondo caso, si nota uno spostamento di tutto lo spettro verso lunghezze d'onda più lunghe. Questo spostamento del picco dello spettro è dovuto

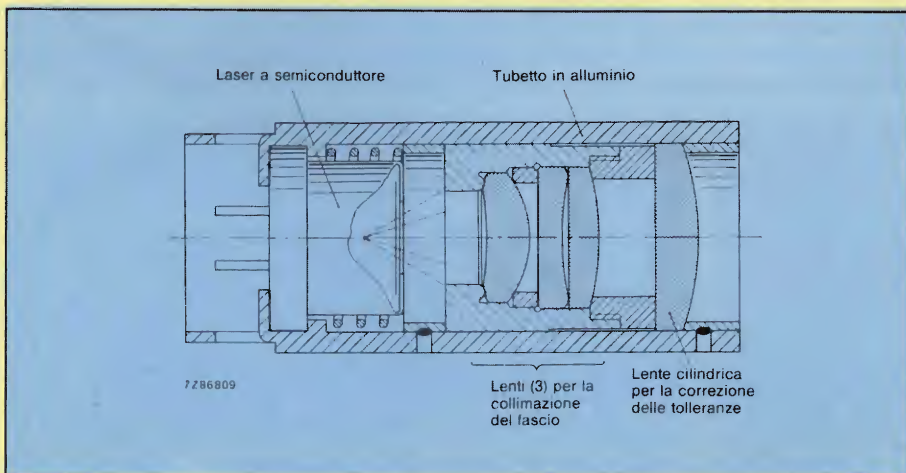


Fig. 4 - Penna-collimatrice in sezione. A causa delle tolleranze di produzione vi potrà essere una differenza tra i valori di astigmatismo. Questi vengono però corretti dalla lente cilindrica di uscita che varia da un esemplare all'altro.

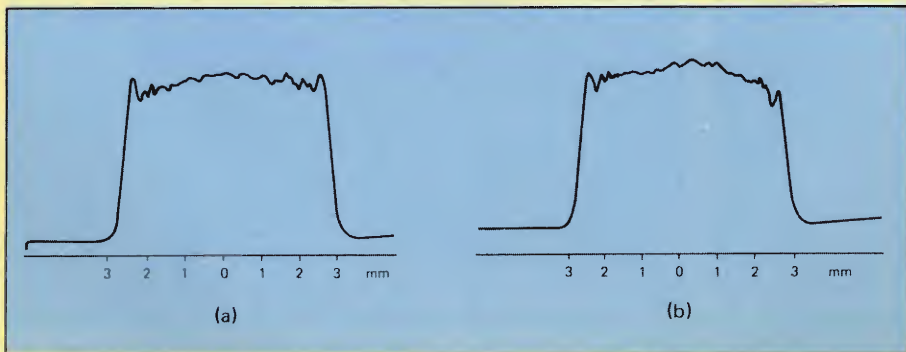


Fig. 5 - Andamento dell'intensità del raggio laser in uscita dalla penna collimatrice (a) = lungo l'asse perpendicolare allo strato attivo. (b) = lungo l'asse parallelo allo strato attivo. Queste misure sono state effettuate sullo stesso laser sul quale sono state fatte le misure riportate in fig. 3.



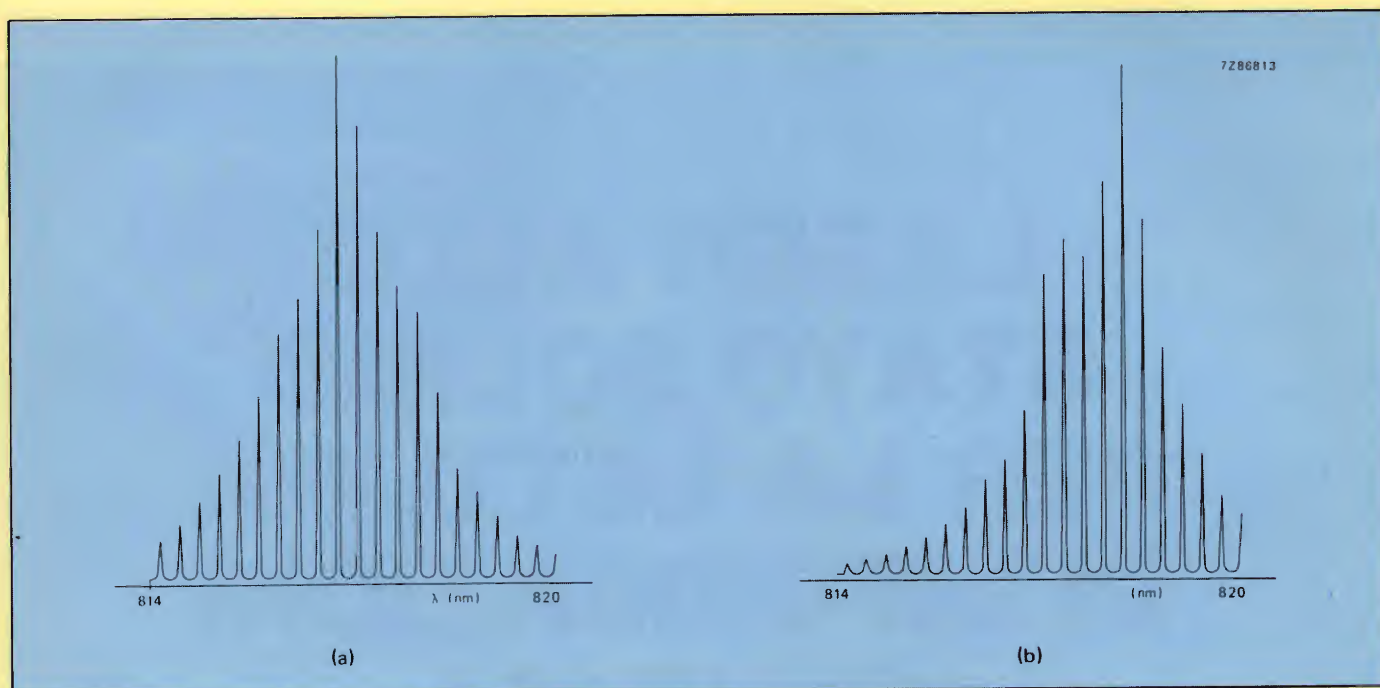


Fig. 6 - Andamento dello spettro del fascio laser emesso dal CQL10A. (a) = del CQL10A da solo. (b) = del CQL10A inserito nella penna collimatrice.

to a fenomeni di interferenza prodotti da riflessioni che hanno luogo sulle superfici delle lenti.

Attualmente esistono tre versioni di penne-collimatrici destinate alla lettura delle informazioni digitali su disco: in una, il picco del raggio laser si trova a 790 nm, in una seconda a 820 nm, e in una terza a 870 nm. Tutte e tre le versioni emettono un flusso di luce laser continuativo con potenza massima di 2 mW e possono lavorare entro il campo

delle temperature compreso tra 10° e 60 °C. In condizioni di massima emissione, le tre versioni hanno una vita media superiore alle 2000 ore.

#### Laser ad impulsi per impieghi di scrittura

Le applicazioni nelle quali il laser viene utilizzato per scrivere le informazioni digitali, richiedono una potenza-

laser superiore a quella del laser a fascio costante, utilizzato per impieghi di lettura. Per queste applicazioni sono previste due versioni di penna-collimatrice, munite di laser ad impulsi di potenza. Questi dispositivi danno in corrispondenza della larghezza d'onda di 820 nm e 850 nm, una potenza di picco di 20 mW (a 60 °C e con un ciclo di utilizzazione del 10%). La durata di vita, in funzionamento al massimo picco di potenza, supera le 1000 ore. ■

## Un prototipo italiano di antenna TV per ricevere programmi dai satelliti

**U**n'antenna parabolica di meno di un metro di diametro consentirà di ricevere direttamente programmi televisivi di alta qualità su tutto il territorio nazionale e, in buona parte di esso, anche emissioni di paesi limitrofi. Un'antenna leggermente più grande potrà permettere comunque la ricezione di programmi estesi anche nelle zone italiane più decentrate.

Queste e altre applicazioni, dallo sviluppo di nuovi servizi televisivi e di telematica a nuove forme di quelle esistenti, saranno permesse dalla diffusione delle tecniche di trasmissione diretta via satellite che promettono una rapida espansione a partire dalla seconda metà degli anni '80.

All'avanguardia in campo internazionale in quest'area di attività è il gruppo Face, che ha presentato un prototipo di antenna parabolica come primo risultato di un progetto avviato all'inizio degli anni '80. Consociata della ITT, la Face ha progettato e sviluppato il prototipo nei propri laboratori di Pomezia e, secondo i responsabili del progetto, è prevedibile in futuro una produzione su vasta scala con mercati a livello almeno europeo.

Se oggi la trasmissione via satellite - al di là dell'area pubblica delle telecomunicazioni e della televisione - ha un carattere esclusivamente professionale, (si pensi alle reti dati e TLC dedicate di grandi imprese o ad ambienti particolari come la Difesa), stime ricorrenti lasciano intravedere un consistente mercato che per la fine degli anni '80 potrà essere di diverse decine di milioni di unità in Europa.

Il prototipo presentato dalla Face Teleinformatica è orientato nella sua concezione alla riduzione dei costi di produzione in confronto con i ricevitori professionali che impiegano antenne del diametro di alcuni metri e il cui costo è di diverse migliaia di dollari. Tale obiettivo, secondo i progettisti, potrà essere raggiunto operando sulla componentistica elettronica e la parte circuitale.

L'antenna da 90 cm che il laboratorio di Pomezia ha messo a punto prevede la ricezione dei segnali da satelliti geostazionari di alta potenza (tale da consentire ridotti diametri dell'antenna) nella fascia di frequenza da 11,9 a 12,5 GHz. In tale fascia di frequenza opereranno tutti i satelliti ad alta potenza attualmente previsti e cioè tedesco, francese e inglese.



# LASER ALLO STATO SOLIDO PER LA LETTURA DI INFORMAZIONI DIGITALI

Questo laser a semiconduttori è formato da tre strati drogati in proporzioni differenti. Lo strato centrale (strato attivo) produce un raggio di luce laser divergente sulla lunghezza d'onda di 780 nm. La temperatura di lavoro può arrivare fino a 60 °C. Questo laser è stato studiato per sistemi di lettura ottica delle informazioni digitali. È più piccolo e più efficiente dei convenzionali laser al neon-elio e può essere alimentato con soli 2 o 3 V.

M. Van der Laak e J.K. Schrama

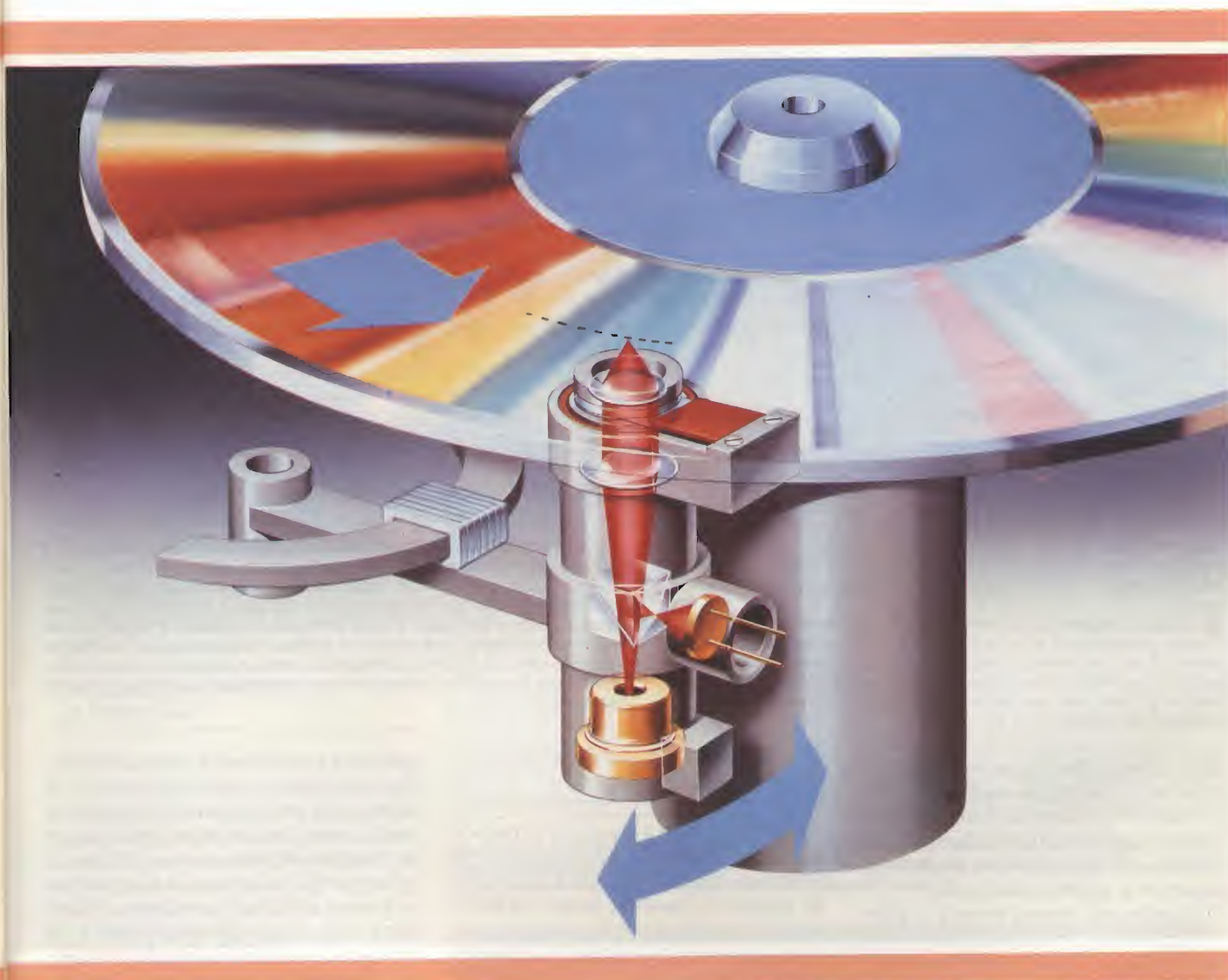


Cristallo del laser a semiconduttore CQL10 visto al microscopio. Le dimensioni del cristallo sono 250 x 300 x 80  $\mu\text{m}$ .

**N**ei dischi attualmente utilizzati nel settore dell'elaborazione dei dati e nel settore audio, l'informazione impressa è in forma digitale e viene incisa nel disco sotto forma di una fila di "pozzi" più o meno lunghi disposti lungo una linea a spirale che inizia dal centro del disco e termina alla periferia. La lettura di questa particolare informazione digitale è effettuata da un sistema di scansione ottico che invia un raggio di luce su questo particolare solco del disco mentre questo ruota. Le variazioni della intensità della luce riflessa, prodotte per interferenza tra raggio incidente e raggio riflesso, vengono dirette verso un fotodiodo che provvederà a trasformarle in corrispondenti segnali elettrici (*figura 1*).

L'elevata densità d'informazione di cui questo particolare sistema di registrazione è capace, viene sfruttata per la registrazione di informazioni video e





audio (sistema VLP e Compact Disc) ed in genere in tutti i sistemi di registrazione e di memorizzazione nei settori più svariati di elaborazione dei dati (EDP).

Nei suddetti sistemi, per avere un rapporto segnale/disturbo accettabile, la sorgente luminosa dovrà avere una intensità di radiazione di circa 2500 W/(steradiante cm<sup>2</sup>). Soltanto una sorgente

di luce laser può soddisfare questa esigenza. Fino a non molto tempo fa, questi sistemi di registrazione utilizzavano come sorgente di luce, laser all'elio-neon. Questo tipo di laser è però abbastanza ingombrante in quanto è lungo circa 20 cm, e richiede inoltre una tensione di alimentazione di circa 1500 V.

In questo articolo verrà illustrato un laser a semiconduttore.

Questo infatti è realizzato con i materiali semiconduttori come gallio (Ga), alluminio (Al) e arsenico (As). La sua sigla commerciale è CQL 10 (Philips). È lungo circa 1 cm e richiede una tensione di alimentazione di appena 2 ... 3 V. Produce un raggio di luce coerente la cui lunghezza d'onda (780 nm) rimane costante anche a temperature ambientali di 60 °C. Quest'ultima è una caratteristica molto importante per il sistema audio digitale Compact Disc.

La lunghezza del raggio coerente è

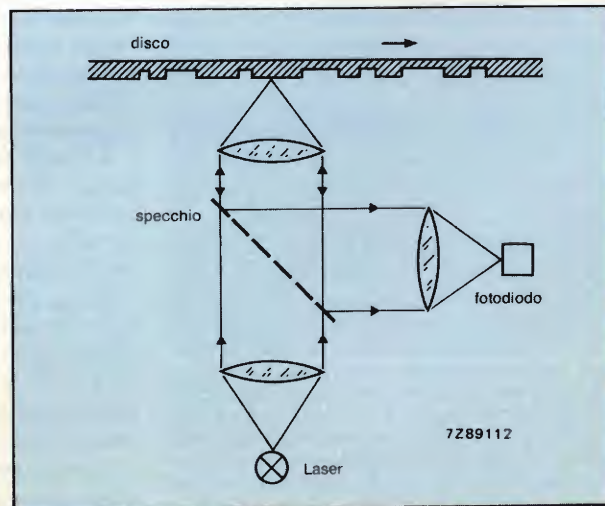


Fig. 1 - Sistema di lettura ottica dell'informazione digitale presente in un disco VLP o Compact Disc. L'informazione digitale viene incisa nel solco del disco sottoforma di "pozzi" più o meno lunghi.



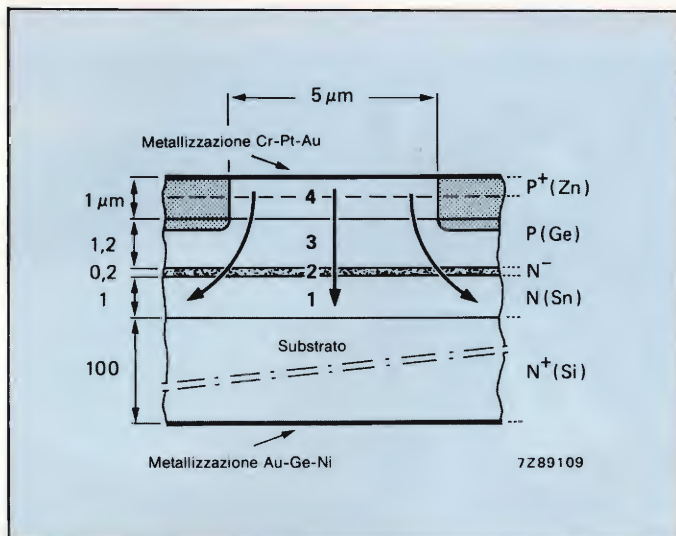
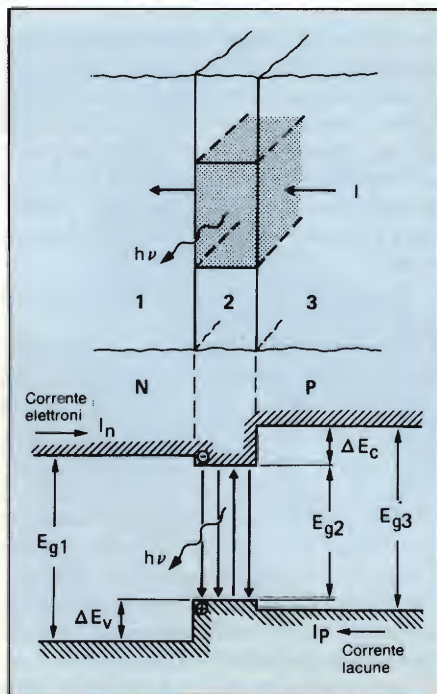


Fig. 2 - Cristallo del laser CQL10 in sezione. A sinistra della figura è indicato lo spessore dei vari strati; a destra, il tipo di conduzione e l'elemento drogato. Lo strato 2 non viene drogato: ciononostante, le impurità residue gli conferiranno una debole conducibilità di tipo n. Una forte diffusione di zinco (Zn) dà allo strato 4 una spiccata conducibilità di tipo p. Il processo di impianto di protoni effettuato negli strati superiori, indicati in grigio, rende quest'ultimi isolanti, fa eccezione una finestrella lunga appena 5  $\mu\text{m}$ . Un forte drogaggio attuato nel substrato e nello strato superiore permette di realizzare un perfetto contatto elettrico fra il cristallo e gli altri strati metallizzati (Cr-cromo; Pt-platino; Au-oro; Ge-germanio; Ni-nichel).

relativamente breve per cui questo laser a semiconduttore sarà insensibile ai "rumori" prodotti da fenomeni di riflessione esterna. Il laser allo stato solido CQL 10 ha infine un rendimento superiore a quello al neon-elio.

Attualmente viene prodotto in grandi serie in quanto, come già detto, è la sorgente di luce laser standard utilizzata negli attuali sistemi di riproduzione audio Compact Disc.



### L'effetto laser nel CQL10

Nella figura 2 è riportato il laser a semiconduttore CQL 10 in sezione. Un substrato di gallio-arsenico (GaAs) fa da supporto a quattro strati (da ricordare che gli elementi Ga e As sono rispettivamente trivalente il primo e pentavalente il secondo). Lo strato 4 è formato da gallio e arsenico puri, negli altri 3 strati (1, 2 e 3), il gallio viene sostituito in parte da alluminio (Al), anch'esso trivalente: e precisamente nella misura del 46% negli strati 1 e 3, e del 16% nello strato 2 che è lo strato attivo, quello cioè che produce luce laser. Queste percentuali di alluminio introdotte in ciascuno dei suddetti strati (operazione di drogaggio) determineranno i salti di energia (energy gap) di ciascun strato.

Facendo circolare una data corrente (I) in direzione indicata dalla freccia, i livelli di energia assumeranno la configurazione riportata in figura 3.

Qui osserviamo che lo strato 2 diventa in pratica un "pozzo" (pozzo di ener-

Fig. 3 - Schema semplificato dei livelli di energia che si stabiliscono nel cristallo del CQL10 quando una corrente molto intensa scorre dallo strato 3 allo strato 1. Le barriere di energia  $\Delta E_v$  e  $\Delta E_c$  intrappolano elettroni e lacune nello strato 2, producendovi un'inversione di popolazione che, a sua volta, tenderà ad incrementare l'emissione stimolata.

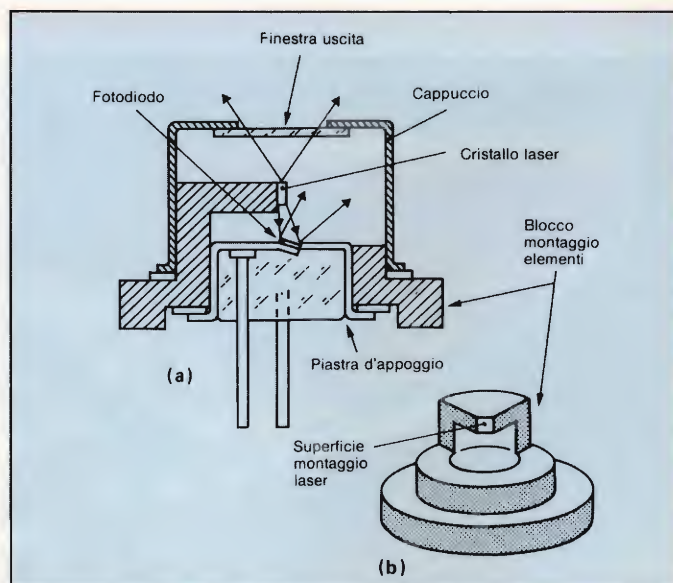


Fig. 4 - (a) Spaccato del laser CQL10. Il raggio-laser lascia il contenitore attraverso una finestra di vetro praticata in alto. Per proteggere il cristallo-laser, il contenitore viene riempito con azoto secco ed ermeticamente sigillato. (b) Il basamento del cristallo è costituito da un blocchetto di rame dal quale è stato eliminato l'ossigeno. Il cristallo-laser viene saldato sulla parte superiore del blocco di montaggio in modo che lo strato attivo (il 2) venga a trovarsi a diretto contatto con la superficie del blocco in modo da consentire uno smaltimento più rapido possibile del calore.

gia) dove confluiscono sia gli elettroni che provengono dallo strato 1, sia le lacune che provengono dallo strato 3. Nello strato 2 assisteremo pertanto ad un incontro di elettroni e di lacune, e conseguente *inversione di popolazione* in quanto abbiamo un eccesso di elettroni nella banda di conduzione e un eccesso di cavità nella banda di valenza. (Il concetto "inversione di popolazione" è illustrato più in dettaglio nell'articolo "Principio di funzionamento del laser", trattato in altra parte di questa rivista n.d.r.).

Fotoni di particolare frequenza  $\nu$  ( $h\nu = E_{R2}$ , figura 3) potranno stimolare all'interno dello strato 2 la ricombinazione degli elettroni con le lacune. Queste *ricombinazioni-stimolate* daranno luogo a emissione di fotoni questa volta però *coerenti*, ed in definitiva all'amplificazione di un'onda di luce che attraverserà lo strato stesso.

All'interno dello strato 2 avrà inoltre luogo un fenomeno di riflessione che cercherà di trattenere i fotoni all'interno dello strato stesso. Questo fenomeno di riflessione è causato dai piani di clivaggio del cristallo sistemati ai due lati opposti del medesimo i quali si comportano come specchi: in definitiva quindi lo strato 2 a causa di questo feedback ottico si comporterà come un risonatore.

Questa *emissione stimolata* aumenterà via via che aumenterà la corrente



I. Superato un certo valore di corrente (corrente di soglia  $I_{th}$ ), l'amplificazione diventerà abbastanza grande da superare le perdite interne e quelle che si verificano sulle pareti a specchio dello strato. A questo punto, il risonatore comincerà ad oscillare innescando in questo modo l'azione laser, e cioè l'emissione di un raggio di luce intensa coerente.

Al di sotto della corrente di soglia ( $I_{th}$ ), l'emissione stimolata viene fortemente attenuata. Gli elettroni e le lacune saranno però in grado di ricombinarsi ancora *spontaneamente* emettendo però solo fotoni incoerenti, e il dispositivo si comporterà allora come un semplice LED.

Per essere sicuri che all'interno dello strato 2 scorra un ben definito valore di corrente, si provvede ad impiantare negli strati 3 e 4, dei protoni come indicato in figura 2, i quali fanno sì che la zona conduttrice vera e propria del chip assuma in pratica uno spessore di appena  $5 \mu m$ .

### Realizzazione pratica del diodo laser

È indicata in figura 4. Un blocchetto di rame fa da supporto al cristallo laser e nello stesso tempo funziona da dissipatore di calore. Due incavi praticati su questo supporto consentono di posizionare il laser nella maniera richiesta dalla particolare applicazione. Per proteggere il cristallo, si provvede a riempire il contenitore con azoto secco.

Le superfici del cristallo vengono ricoperte con un sottile strato di oro allo scopo di impedire una loro eventuale ossidazione.

Alla stabilizzazione della potenza ottica del laser provvede una rete di reazione (figura 5) comprendente un fotodiodo. Il fotodiodo è disposto dalla parte opposta della finestra da cui fuoriesce il raggio laser (figura 4), ed è leggermente inclinato rispetto all'asse ottico del raggio laser di uscita; ciò allo scopo di impedire che una eventuale luce riflessa possa compromettere il funzionamento del laser.

### Il laser CQL10 in funzione

Il raggio del laser CQL10 ha una lunghezza d'onda di  $780 \text{ nm}$ , la quale è leggermente più lunga di quella del laser al neon-elio ( $630 \text{ nm}$ ) utilizzato per la scansione dei dischi VLP. Ciononostante, il laser CQL10, può essere impiegato senza problemi nella lettura di qualsiasi disco digitale.

La figura 6 riporta alcune curve che

indicano come varia l'intensità del raggio laser in funzione della corrente che attraversa il CQL10; il parametro in questo caso sono i differenti valori di temperatura.

Si nota immediatamente come per ciascun valore di temperatura, una volta oltrepassata la corrente di soglia  $I_{th}$  (in corrispondenza della quale, come abbiamo visto, il laser inizia ad oscillare), il raggio-laser aumenti rapidamente di intensità. Dalle curve si ricava inoltre come l'innescò del raggio-laser

dipenda marcatamente dal valore della temperatura del cristallo: infatti, un aumento di temperatura di  $30 \text{ K}$  richiede un corrispondente aumento del 30% del valore di corrente ( $I_{th}$ ) necessaria all'innescò del raggio-laser. Si comprende allora come sia estremamente importante mantenere il cristallo, o almeno la sua parte attiva (strato 2), più fredda possibile; diversamente il laser, potrebbe entrare in un ciclo termico distruttivo (il noto thermal runaway) che causerebbe una forte diminuzione

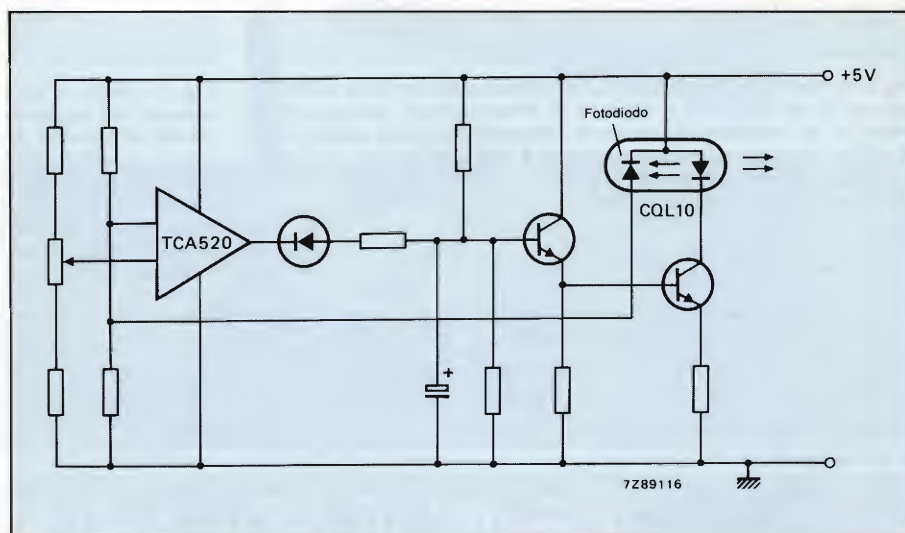
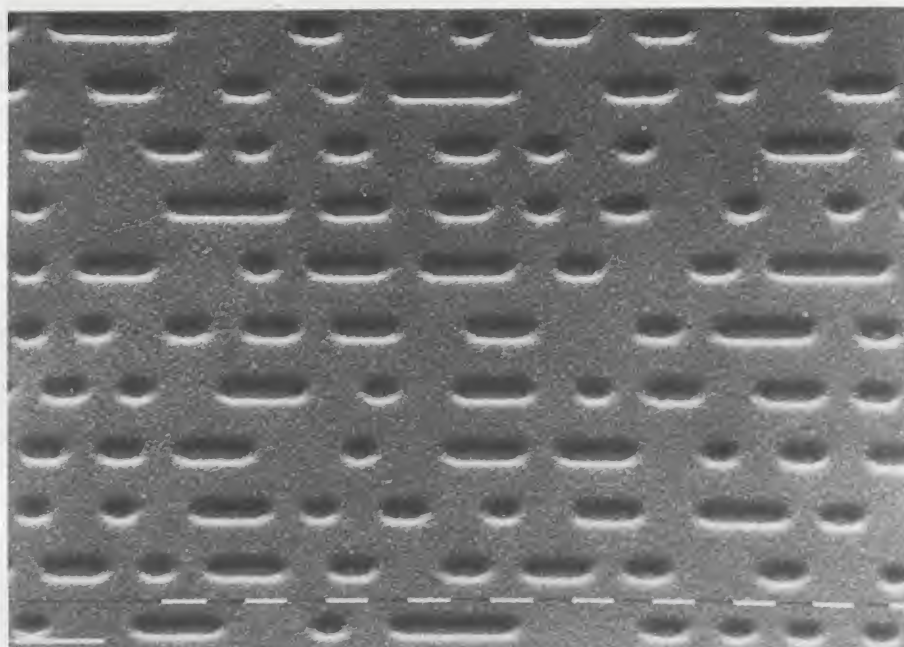


Fig. 5 - Circuito di reazione provvisto di un fotodiodo la cui funzione è quella di stabilizzare il flusso di luce proveniente dal laser. Il fotodiodo controlla la corrente di alimentazione del laser in modo da permettere di avere un raggio laser con intensità costante.



L'informazione digitale registrata sul disco del Compact Disc è costituita da una successione di incavi oblunghi, detti "pozzi" che si succedono lungo una spirale che inizia dal centro e termina alla periferia del disco. Tra una spirale e l'altra la distanza è  $1,6 \mu m$ ; la larghezza e la profondità dei pozzi è  $0,5$  e  $0,12 \mu m$  rispettivamente. La lunghezza di un pozzo e la distanza intercorrente tra due pozzi successivi (land) ha un valore minimo di  $0,9$  e uno massimo di  $3,3 \mu m$ . La scala riportata in fondo alla figura indica intervalli di  $1 \mu m$ .



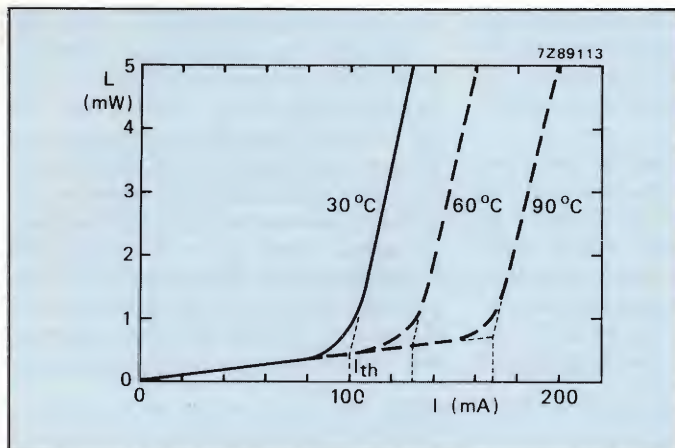


Fig. 6 - Intensità del raggio laser (L) in funzione della corrente di alimentazione (I) nel CQL10. La corrente di alimentazione, oltrepassata la soglia  $I_{th}$ , fa crescere bruscamente l'intensità luminosa dando inizio all'azione laser. Questo comportamento è molto influenzato dalla temperatura; infatti un aumento di soli 30 K richiede un aumento del 30% della corrente d'innesco del laser.

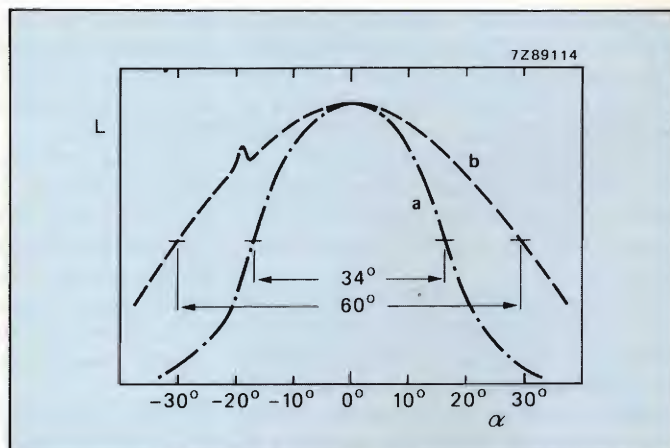


Fig. 7 - Intensità del raggio laser (L) in funzione dell'angolo  $\alpha$  (angolo formato dal raggio-laser rispetto all'asse ottico del laser stesso); (a) riferito all'intensità assunta dalla radiazione lungo il piano dello strato attivo; (b) riferito all'intensità di radiazione lungo il piano perpendicolare al primo. Il picco che si nota in corrispondenza di  $-20^\circ$  è prodotto dalla riflessione sul fotodiode. Il raggio laser presenta divergenza e astigmatismo molto accentuati; sul piano dello strato attivo, la massima divergenza è  $34^\circ$ ; sul piano perpendicolare ad esso, la divergenza massima è  $60^\circ$ .

dell'intensità del raggio e nello stesso tempo, una inutile conversione in calore della sua energia. La figura 7 indica l'andamento del raggio laser (L) in funzione dell'angolo che esso forma rispetto all'asse ottico (angolo  $\alpha$ ).

Il laser allo stato solido CQL10 a differenza del laser all'elio-neon, possiede un raggio fortemente divergente e astigmatico.

Ciò è dovuto a fenomeni di rifrazione

che hanno luogo in corrispondenza della finestra di uscita. Divergenza e astigmatismo possono comunque essere facilmente corretti mediante un sistema di lenti (vedi articolo "Laser a semiconduttore con collimatore").

I laser a semiconduttore tendono a deteriorarsi col passare del tempo in quanto la corrente di soglia (o di innesco)  $I_{th}$  tende ad aumentare, ed inoltre la curva caratteristica, uscita luce-

laser/corrente tende ad assumere un andamento meno ripido di quello indicato nella figura 6. La velocità di un tale deterioramento dipende in gran parte dalla temperatura a cui si fa lavorare il laser: un aumento di temperatura di 30 K, per esempio, può ridurre la vita del laser di un fattore di 15.

Si conclude quindi che riuscendo a tenere sotto controllo la temperatura di funzionamento del laser, il suo invecchiamento sarà molto lento. Così per esempio ad una temperatura ambiente di  $30^\circ\text{C}$ , e con un livello di luce di 5 mW, ci si può aspettare dal CQL10 un funzionamento pressoché stabile per una durata di 10.000 ore.

#### Bibliografia

- 1) L. Cascianini - *Lettura a laser e decodifica nel Compact disc*. SELEZIONE di tecniche elettroniche N. 10/1982, pag. 30.

## Hantarex monitors "un primato italiano"

La Società Hantarex in continua e costante evoluzione nella specializzazione relativa al settore Monitors Monocromatici e Colore, consolida la sua presenza sul Mercato Europeo e mondiale potendo realizzare Monitors per ogni specifico cliente, producendoli in grandi e piccole serie in rapporto alle esigenze e per tutti i campi di applicazione, dove esista la necessità di visualizzare dati o immagini.

Fra i settori più significativi: controlli di processo; controlli numerici industriali; l'informatica; l'home e personal computer; la robotica; i sistemi di trasmissione video; i sistemi di sicurezza; la telematica; i video giochi.

Oltre a queste non indifferenti possibilità, l'Hantarex dispone di un ampio catalogo con Monitors Cabinati che trovano la loro ottimale collocazione abbinati ai più noti personal computer esistenti sul mercato, fra i quali: Apple, Commodore, IBM, Atari, Texas, Sharp, Linx, Sinclair, ecc. fornendo inoltre, nei casi ove necessiti, la relativa interfaccia.

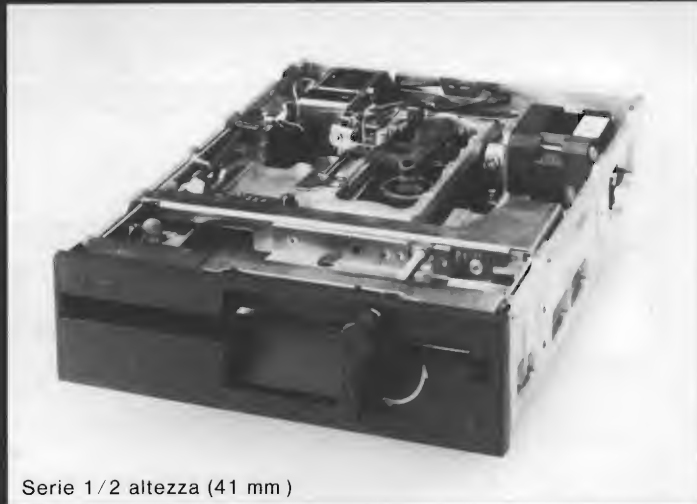
Forte di questa sua strategia produttiva, l'Hantarex, (Società interamente Italiana nonostante il nome) ha potuto coraggiosamente espandersi, costituendo sedi dirette con uffici-laboratori e magazzini in: USA, Inghilterra, Germania, Grecia, Spagna e Giappone, esportando buona parte della sua produzione, anche in virtù della costante presenza, con propri stands e personale, a tutte le più importanti fiere e mostre mondiali di Informatica quali: Fiera di Milano; Electronic display di Londra; Electronic display di Francoforte; Compec di Bruxelles; Elektronica di Monaco di Baviera; AMOA di Chicago; Printemps informatique di Parigi; Sonimag di Barcellona.



# Basso consumo grazie alla nuova tecnica LSI



"Floppy Disk 3"



Serie 1/2 altezza (41 mm)

## TEAC

...il meglio  
ancora  
migliorato!!

### FD-30 A

- ☐ Piena compatibilità con i floppy 5 1/4"
- ☐ Capacità 250 kbytes su 40 tracce e densità 100 tpi
- ☐ Registrazione FM e MFM
- ☐ Classica affidabilità TEAC
- ☐ Acquisizione su cartuccia

### FD-55

- ☐ Perfetta registrazione
- ☐ Motore DC senza spazzole
- ☐ Accesso dati ad alta velocità
- ☐ Sistema di sensori a foto-diodo

### FD-55 A

Singola faccia  
Singola densità 48 tpi  
250 kbytes

### FD-55 B

Doppia faccia  
Singola densità 48 tpi  
500 kbytes

### FD-55 E

Singola faccia  
Doppia densità 96 tpi  
500 kbytes

### FD-55 F

Doppia faccia  
Doppia densità 96 tpi  
1 Mbytes

### FD-55 G

Doppia faccia  
Doppia densità 96 tpi  
1,6 Mbytes  
compatibile 8"

## con le due unità in tandem backup completo effettuabile in un'unica fase



## TEAC

### SD-510

- ☐ Winchester 1/2 altezza (41 mm)
- ☐ 5 1/4" 10 Mbytes formattati
- ☐ Motore DC senza spazzole ad azionamento diretto
- ☐ Velocità del motore estremamente precisa e costante, assenza di vibrazioni
- ☐ 2 dischi
- ☐ 4 testine
- ☐ MTBF 10000 ore
- ☐ Tempo d'accesso traccia/ traccia 3 ms

### MT-2 ST

- ☐ Sistema di backup con registratore a cassette digitali
- ☐ 1/2 altezza (41 mm)
- ☐ Capacità di memoria 20 Mbytes formattata
- ☐ Densità di registraz. 10000 frpi
- ☐ Registrazione GCR
- ☐ Singola traccia a serpentina (4 tracce)
- ☐ MTBF 8000 ore
- ☐ Motore DC ad azionamento diretto



**A.E.S.S.E.** S.p.A.

20135 MILANO/V.le Umbria, 34/36  
Tel. 5464741 (8 linee ric. aut.)  
Telex 312293

00142 ROMA/Via Benozzo Gozzoli, 62  
Tel. 5038530/5038560



# RIVELATORI A INDUZIONE ALIMENTATI DA

I rivelatori di prossimità vengono impiegati in campo industriale per la rivelazione, il conteggio e la misura degli oggetti metallici più svariati. Possono essere utilizzati anche come rivelatori di livello dei liquidi, come interruttori di limite ed anche per il posizionamento dei componenti e delle apparecchiature. Le due versioni descritte utilizzano il nuovo circuito integrato rivelatore di prossimità TCA 305 associato ad un transistor SIPMOS che funziona da interruttore.

**I** rivelatori di prossimità a induzione sono particolari sensori capaci di avvertire o meno la presenza di oggetti metallici che transitano nelle loro vicinanze. Essenzialmente sono costituiti da una bobinetta nella quale circola una corrente prodotta da un oscillatore solitamente realizzato sotto forma di circuito integrato.

L'avvicinarsi di un oggetto metallico, e il suo "penetrare" all'interno del campo magnetico prodotto dalla corrente alternata circolante nella bobina, produrrà un'attenuazione dell'intensità del campo, e di conseguenza anche delle correnti circolanti nella bobinetta. Un rivelatore di soglia incorporato nell'integrato sarà in grado di rivelare

questa variazione di ampiezza, e il segnale da esso prodotto potrà essere utilizzato per eccitare, per esempio, la bobina di un relè.

Grazie alle ridotte dimensioni, al loro funzionamento sicuro, non facilmente influenzabile dall'ambiente esterno, (urti, sollecitazioni meccaniche, temperature elevate), questi rivelatori sono da tempo impiegati in campo industriale dove vengono utilizzati, per esempio, per rivelare la presenza/assenza di un oggetto metallico, il suo conteggio, il controllo delle sue dimensioni ecc.

Molto utilizzato in campo industriale è il circuito integrato, rivelatore di prossimità, TCA 205 (Siemens), la cui versione migliorata è rappresentata attualmente dal tipo TCA 305 (Siemens), che richiede una corrente di funzionamento più bassa (circa 0,7 mA), e possiede tolleranze della distanza di percezione dell'oggetto metallico ancora più ridotte di quelle del TCA 205, tali da soddisfare finalmente le specifiche delle norme DIN al riguardo (DIN EN 50040).

## Principio di funzionamento

Nella figura 1 sono riportate le funzioni contenute nell'integrato TCA 305. Si notino: l'oscillatore che invia corrente alternata nella bobina esterna, il raddrizzatore di questa alternata,

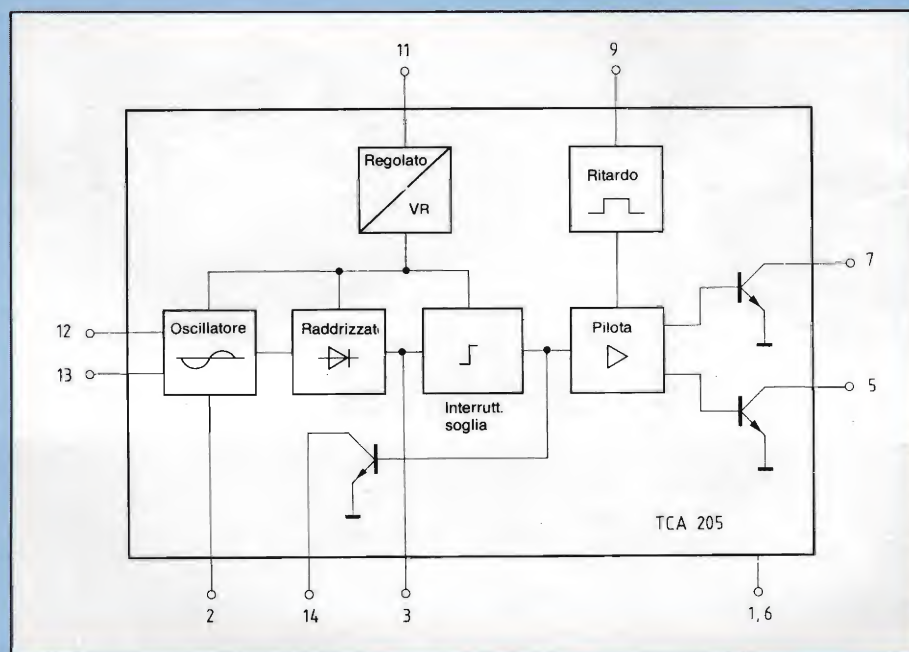


Fig. 1 - Funzioni contenute nell'integrato TCA 305. Terminali: 11 = Vs; 9 = Ritardo entrata in funzione; 7 = Uscita Q; 5 = Uscita Q; 1,6 = Massa; 3 = Capacità integrazione; 14 = Isteresi; 2 = Distanza 12-13 = Oscillatore.



## DI PROSSIMITA'

## ALTERNATA

Alfred Haunstein - Siemens S.p.A.

il rivelatore di soglia e lo stadio pilota finale.

Nella figura 2, in alto, si vede l'oggetto metallico che si trova relativamente distante, e non può quindi influenzare il campo magnetico prodotto dalla bobina; in basso, il penetrare dell'oggetto metallico all'interno del campo magnetico produce un'attenuazione dell'intensità del campo, la quale, a sua volta farà "scattare" l'interruttore di soglia, e alla fine farà circolare una corrente di uscita sul terminale Q dell'integrato. Nella figura 3, sono riportati alcuni particolari circuitali riguardanti, l'oscillatore, il circuito che provvede a ritardare l'azione dell'integrato, la funzione del condensatore integratore, ed infine, gli stadi di uscita dell'integrato.

Questo integrato (sia nella versione DIP 14 che in quella miniatura - MIKROPAK) consente di realizzare rivelatori di prossimità cosiddetti a due fili, in quanto attraverso questi ultimi può essere applicata al rivelatore la tensione di alimentazione (continua o alternata 220 V, 110 V, 48 V). In serie ad un terminale va inserito il carico, dopodiché il sistema è pronto a funzionare.

Il principio di funzionamento di un rivelatore di prossimità a due fili è indicato in figura 4. Nel circuito d'uscita, alimentato dalla tensione  $V_B$  si trova il

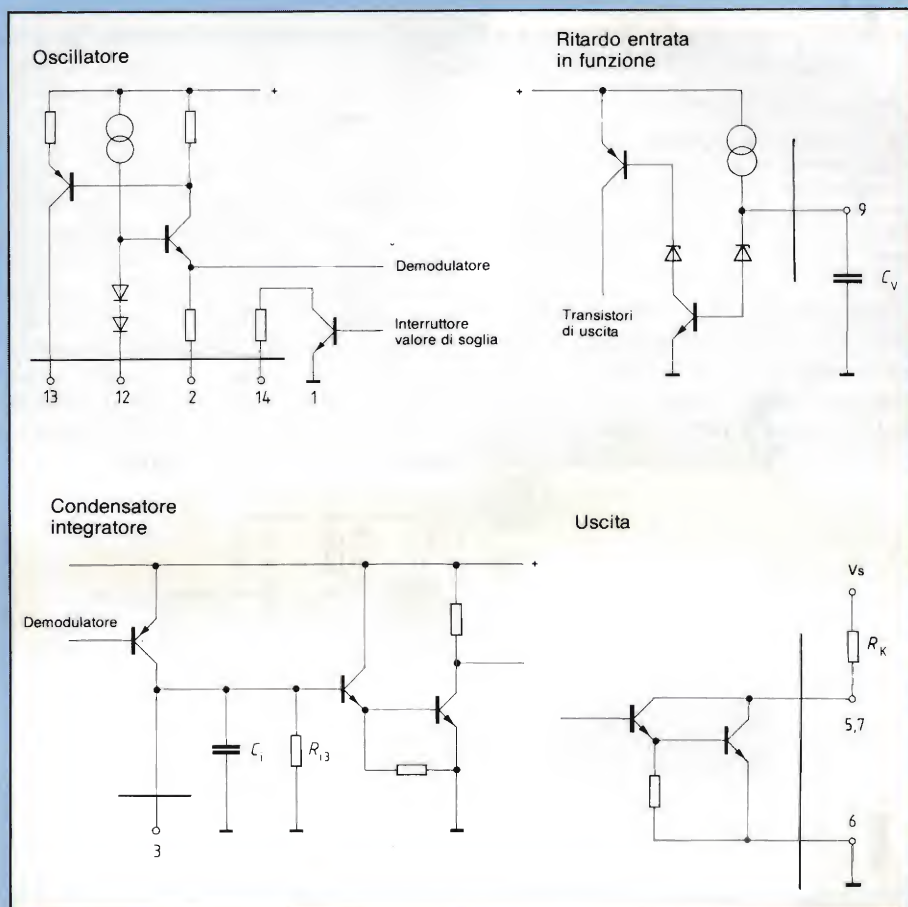


Fig. 3 - Struttura dei circuiti che presiedono alle funzioni più importanti dell'integrato.

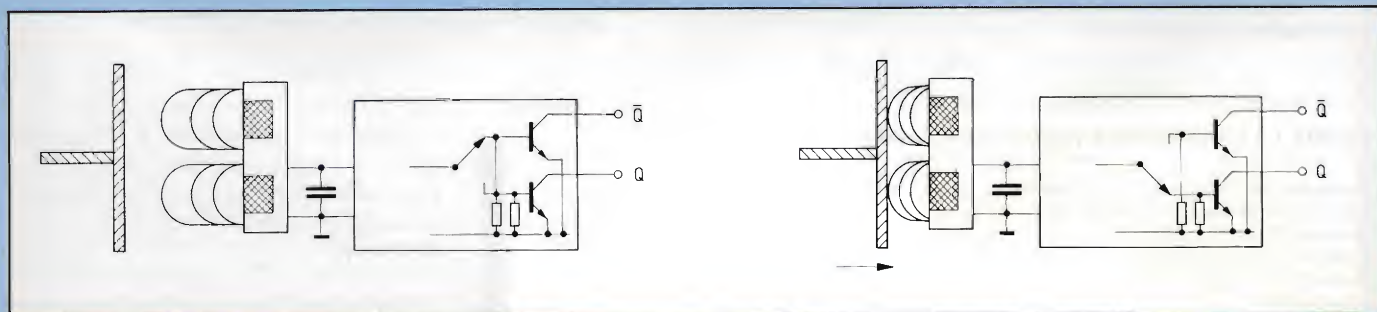
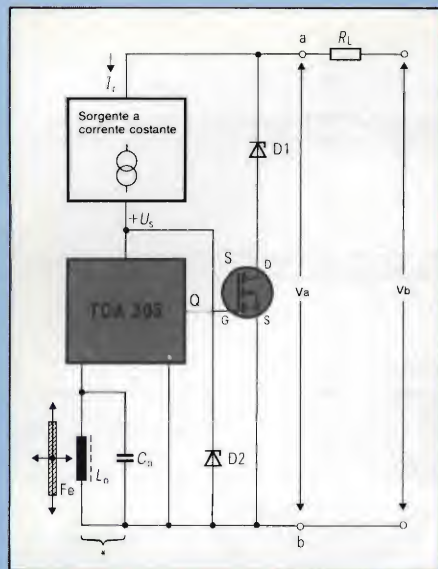


Fig. 2 - Principio di funzionamento di un rivelatore di distanza di oggetti metallici. È la perturbazione (smorzamento) del campo magnetico prodotta dall'oggetto metallico che si avvicina alla bobina che fa scattare il relè d'uscita del sistema.





**Fig. 4 - Principio di funzionamento di un rivelatore di prossimità a induzione, detto a due fili.** L'“interruttore” che chiude il circuito dove si trova il carico ( $R_L$ ) è costituito dal transistor SIPMOS (S), comandato a sua volta dall'integrato TCA 305.

carico  $R_L$  (costituito per lo più dalla bobina di un relè), e un “interruttore statico” costituito dal FET/MOS D, il quale può, a sua volta, essere aperto o chiuso da un segnale proveniente dall'integrato.

grato. L'integrato (che deve essere costantemente alimentato da una sorgente di corrente costante), viene a trovarsi in parallelo al transistor-interruttore. Una tensione per l'alimentazione della circuiteria dell'integrato, anche se di basso valore, bisogna che sia sempre disponibile anche quando il transistor-interruttore risulta chiuso (e cioè in piena conduzione). Questo valore minimo di tensione è assicurato dalla presenza dello zener D1.

Quando il transistor-interruttore viene aperto, la tensione  $V_a$  sui punti a e b tenderà ad assumere il valore della tensione di alimentazione  $V_b$ . Se l'integrato non venisse alimentato da una sorgente a corrente costante, l'aumento della tensione sui punti a e b distruggerebbe certamente l'integrato. Compito della sorgente a corrente costante è appunto quello di “assorbire” questo aumento di tensione mentre lo zener D2 provvede ad una aggiuntiva limitazione della medesima. Nei rivelatori di prossimità a due fili non è possibile eliminare la corrente di riposo  $I_r$  che alimenta l'integrato tramite la sorgente a corrente costante, quando il sistema non è in funzione, e cioè, quando nel carico non circola corrente. Si cerca co-

munque di ridurre questa corrente “inutile” a valori più bassi possibile. Nei circuiti che più avanti presenteremo, essa viene mantenuta ad ogni modo, al di sotto di 1 mA, e questo grazie al minor assorbimento richiesto dal TCA 305 rispetto al precedente TCA 205.

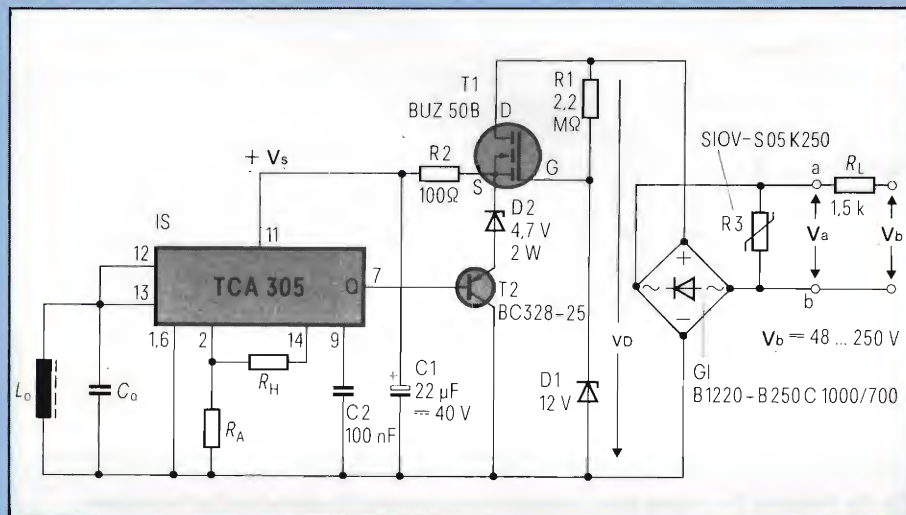
Qui di seguito vengono presentati due circuiti previsti per lavorare con una tensione di alimentazione *in alternata* con valori compresi da 48 V a 250 V. Il primo circuito lavora con una corrente di carico tanto debole (circa 10 mA), da poter essere ricavata direttamente dal terminale d'uscita del TCA 305. La corrente di carico del secondo circuito può arrivare invece, grazie alla presenza di un transistor pilota, fino al valore di 300 mA. La funzione di “interruttore” è effettuata da un transistor SIPMOS il quale funziona anche da sorgente a corrente costante.

Queste soluzioni circuitali sono di nuova concezione, e hanno lo scopo di ridurre il numero dei componenti richiesti. Fino a poco tempo fa infatti, per realizzare le due funzioni suddette (e cioè interruttore e sorgente a corrente costante) occorreva ricorrere a semiconduttori capaci di bloccare elevati valori di tensione, e tarare opportunamente la sorgente a corrente costante in modo da ridurre l'assorbimento di corrente quando il circuito non lavorava.

Qui sotto riportiamo le caratteristiche richieste dagli attuali rivelatori elettronici di prossimità a due fili. Queste sono:

- corrente a vuoto di basso valore (questa è la corrente assorbita quando il transistor-interruttore è aperto);
- tensione di saturazione di basso valore (questa è la tensione “perduta” ai capi del transistor-interruttore quando questo si trova in conduzione).
- minimo numero di componenti richiesti.

Vedremo che queste caratteristiche sono possedute dai due rivelatori di prossimità qui sotto descritti.



**Fig. 5 - Schema elettrico di un rivelatore di prossimità a induzione, a due fili.** La corrente di commutazione è 10 mA efficaci.

**Tabella 1 - Caratteristiche principali del circuito di fig. 5**

Tensione alternata di funzionamento	$V_b$ -	da 48 a 250	V
Corrente di riposo (condizione off)	$I_r$ -	0,7	mA (eff)
Corrente di commutazione	$I_a$ -	$\leq 10$	mA (eff)
Potenza di commutazione	$P_a$ -	2,2	VA
Tensione di riposo tipica sui punti a e b	$V_A$ -	10	V
Dissipazione:			
(condizione off)	$P_{V(off)}$ -	150	mW
(condizione on)	$P_{V(on)}$ -	150	mW

**Rivelatore di prossimità a induzione capace di lavorare con tensioni alternate comprese tra 48 V e 250 V e correnti di carico massime di 10 mA**

Il circuito di questo rivelatore è riportato in figura 5. La tensione alternata d'ingresso  $V_b$  può andare da 48 fino a 250 V.



Il valore più basso della tensione di lavoro, presente sui punti *a* e *b*, dipenderà esclusivamente dal minimo valore della tensione di alimentazione richiesta dall'elettronica del sistema.

Data l'ampia gamma dei valori della tensione alternata d'ingresso, è stato stabilito che la tensione di saturazione dovrà essere uguale o inferiore al 20% della più bassa tensione di lavoro del sistema. (La tensione di saturazione è la caduta di tensione tra drain e source quando il SIPMOS conduce).

Come transistorore-interruttore T1 è stato scelto il SIPMOS BUZ 50B in contenitore TO-220. Questo transistorore, quando conduce, possiede una resistenza tra sorgente e drain  $R_{DS(on)}$  uguale o inferiore a  $8 \Omega$ , il che significa che la tensione perduta (tensione di saturazione) tra source e drain è veramente trascurabile. In questo circuito poteva essere impiegato anche un transistorore avente una  $V_{DS} \leq 800 \text{ V}$  e una  $R_{DS(on)} \leq 50 \Omega$ .

Il varistore S10V R3, collegato tra i punti *a* e *b* serve a bloccare a 700 V (corrispondenti a picchi di corrente di 10 A) eventuali picchi di tensione presenti in rete o prodotti da carichi induttivi.

## Funzionamento del circuito

1) *Transistore-interruttore aperto*

Questa condizione si ha quando lo stadio finale Q del TCA 305 (collettore aperto di un transistor npn) risulta bloccato o aperto.

La tensione alternata d'ingresso viene raddrizzata ad opera del ponte G1, per cui sul drain del SIP-MOS avremo una tensione di picco di 350 V. Tramite il resistore in serie R1 da 2,2 M $\Omega$  si alimenta lo zener D1 per cui sul gate del SIP-MOS, avremo una tensione fissa di 12 V. Sul terminale della sorgente del SIPMOS avremo invece una tensione di circa 9 V ( $V_{D1} - V_{GS} = 12 - 3 = 9$  V). È questa la tensione che tramite il resistore in serie R2 da 100  $\Omega$  provvederà ad alimentare il TCA 305. L'elettrolitico C1 provvede a spianare la tensione raddrizzata del ponte.

L'assorbimento complessivo del circuito in queste condizioni (e cioè transistor-interruttore aperto) è 0,6 mA, che è la corrente richiesta dall'integrato, e da circa 0,1 mA che è la corrente circolante nel resistore in serie da 2,2 M $\Omega$ , per cui l'assorbimento complessivo sarà 0,7 mA.

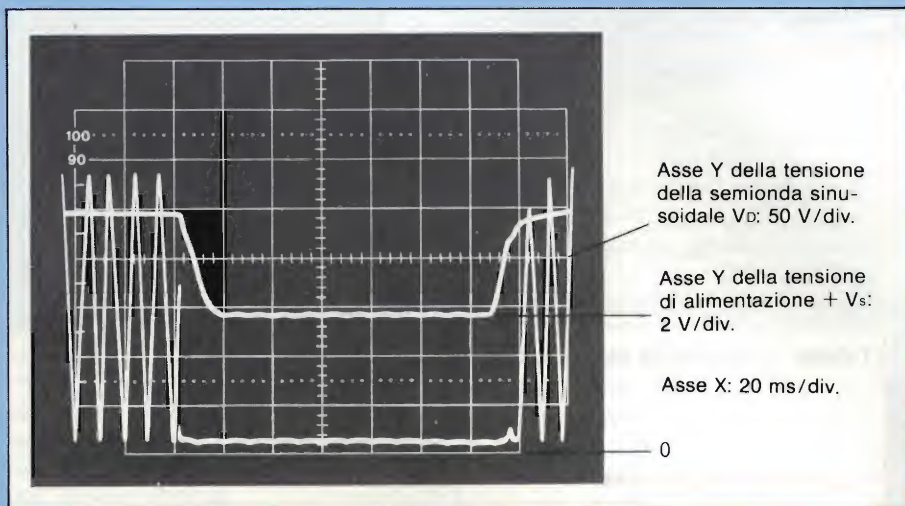


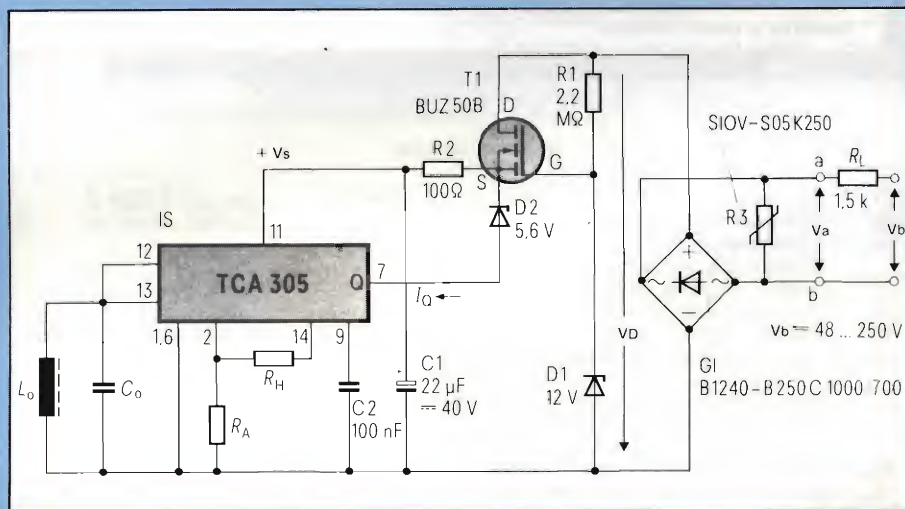
Fig. 6 - Andamento delle semionde raddrizzate  $V_D$  e della tensione di alimentazione +  $V_S$  dell'integrato TCA 305. A sinistra per la condizione "on"; a destra per la condizione "off" del transistor-interruttore del circuito di figura 5.

## 2) Transistore-interruttore chiuso

In questa condizione, il transistor d'uscita dell'integrato conduce fortemente e di conseguenza la sor-

gente del SIPMOS risulterà "collegata" a massa tramite il diodo D2 (5,6 V).

In queste condizioni avremo sul drain una tensione di circa 8,75 V.



**Fig. 7 - Schema elettrico di un rivelatore di prossimità induttivo a due fili che prevede una corrente di commutazione di 300 mA efficaci.**

**Tabella 2 - Caratteristiche principali del circuito di fig. 7**

Tensione alternata di funzionamento	V <sub>b</sub> -	da 48 a 250	V
Corrente di riposo (condizione off)	I <sub>r</sub> -	0,7	mA (eff)
Corrente di commutazione	I <sub>a</sub> -	≤ 300	mA (eff)
Potenza di commutazione	P <sub>a</sub> -	66	VA
Tensione di riposo tipica sui punti a e b	V <sub>A</sub> -	10,5	V
Dissipazione:			
(condizione off)	P <sub>V(off)</sub> -	150	mW
(condizione on)	P <sub>V(on)</sub> -	2,85	mW
diodo Zener D2		1400	mW
T1, BUZ 50B		900	mW
T2, BC328-25		250	mW
GI, Raddrizzatore		300	mW



Infatti:

$$V_{D \min} = V_{QL} + V_{D2} + V_{GS(th)} \\ \approx 0,15 + 5,6 + 3 \\ \approx 8,75 \text{ V}$$

nella quale

$V_{QL}$  = tensione minima d'uscita del TCA 305

$V_{GS(th)}$  = tensione di soglia del BUZ 50B.

Sui terminali *a* e *b* del rivelatore di soglia avremo pertanto attraverso il ponte raddrizzatore un aumento di tensione di 10 V.

La massima corrente di commutazione viene limitata dall'integrato al valore di circa 10 mA efficaci.

La figura 6 indica l'andamento della tensione raddrizzata  $V_D$  dopo il ponte (semionde della tensione alternata) e della tensione  $+V_S$  di alimentazione dell'integrato.

## Variente per 300 mA

Il circuito riportato in figura 7 è stato progettato per soddisfare le esigenze dei rivelatori di prossimità richiedenti una corrente di commutazione di valore più elevato.

Ciò è stato ottenuto inserendo tra sorgente e massa, il transistor pilota pnp BC328-25, il quale permette di portare la corrente di uscita a 300 mA efficaci. Da notare che, in questo caso, lo zener D2 dovrà essere dimensionato in modo da sopportare, quando il transistor conduce, un valore di dissipazione relativamente elevato, e cioè 1,4 W. Le perdite complessive del circuito ammontano pertanto a circa 2,85 W.

## Componenti esterni dell'integrato TCA 305

Nella tabella 3 sono riportati i valori dei componenti esterni dell'integrato TCA 305. Questi valori sono validi per un rivelatore di prossimità convenzionale inserito in tubi filettati, M30, M18 e M12 e distanza di commutazione al valore nominale.

La tolleranza della distanza di commutazione è inferiore a  $\pm 10\%$  entro le temperature comprese tra  $-25$  e  $+70$  °C. Il valore preciso della distanza di commutazione e dell'isteresi dipende dal valore dei resistori  $R_A$  e  $R_H$  rispettivamente. Il sensore della distanza è costituito da una bobinetta inserita in un nucleo ad olla SIFERRIT. Il condensatore C2 serve a produrre un certo ritardo nell'entrata in funzione del sistema quando viene applicata la tensione di alimentazione, e di conseguenza elimina condizioni di instabilità.

Tabella 3 - Dati per la realizzazione del rivelatore di prossimità

	Filettatura esterna del contenitore del rivelatore di prossimità		
	M30	M18	M12
Nucleo ad olla SIFFERIT	25 $\varnothing$ x 8,9; N22	14,4 $\varnothing$ 7,5; N32	1,35 $\varnothing$ x 3,6; M33
Numero ordin.	B65939-A-X22	B65937-A-X22	B65933-A-X33
Numero spire	100 spire	80 spire	100 spire
Filo	Litze 10 x 0,1 cuL	Litze 20 x 0,05 CuL	0,1 CuL
$L_0$	585 $\mu$ H	268 $\mu$ H	206 $\mu$ H
Co (Styroflex)	3,9 nF/63 V, $\pm 2\%$	1,2 nF/63 V, $\pm 2\%$	1 nF/63 V, $\pm 2\%$
Numero ordin.	B31861-J5392-G	B31861-J5122-G	B31861-J5102-G
Frequenza oscillatore	105 kHz	280 kHz	350 kHz
Distanza	15 mm	8 mm	4 mm
Resistore regolazione distanza $R_1^*$	25 k $\Omega$	33 k $\Omega$	8,5 k $\Omega$
Resistore regolazione isteresi $R_H^*$	470 k $\Omega$	680 k $\Omega$	180 k $\Omega$

\* Resistore a strato metallico

## Componenti e codice per l'ordinazione alla Siemens

C1	Condensatore elettrolitico in alluminio, 22 $\mu$ F/40 V	B41326-A7226-V
C2	Condensatore ceramico, 100 nF/50 V	B37985-J5104-M
Co	Condensatore Styroflex a secondo della frequenza di risonanza (vedi tabella 1)	-
D1	Diodo Z al silicio, 12 V, $\pm 5\%$ - 0,2 W	-
D2	Diodo Z al silicio, 5,6 V, $\pm 5\%$ - 0,2 W	-
G1	Raddrizzatore di piccola potenza	B1240-B250C-1000-700
C.I.	Circuito integrato rivelatore di prossimità	TCA 305 A (DIP/14) TCA 305 G (SO-14)
Lo	Bobina con nucleo ad olla SIFFERIT per rivelatore di prossimità; numero delle spire a seconda dell'induttanza (vedi tabella 1)	
R1, R2	Resistori a strato di carbone KARBOWID	
R3	Varistore ad ossido di metallo SIOV-SO5K250	Q69-X3033
$R_A$ , $R_H$	Resistori a strato di metallo SIMEXID 0207	B54321-B4
T1	Transistore di potenza SIPMOS BUZ 50B	C67078-A1307A4
T2	Transistore al silicio PNP b.f. BC328-25 (solo per il circuito di figura 7)	Q62702-C312-V4

## Annunciata la prima batteria al litio ricaricabile ad uso commerciale

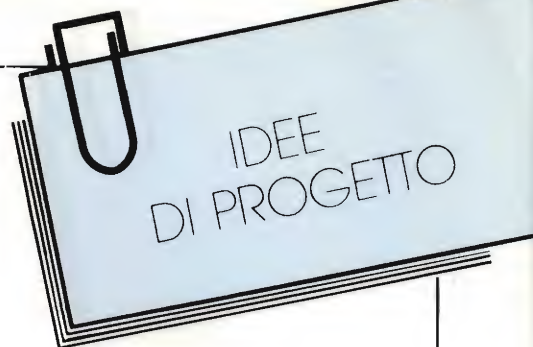
Una batteria ricaricabile al litio non più grande di una moneta è stata messa a punto recentemente dalla Matsushita Battery Industrial.

Questo nuovo prodigio della compattezza troverà enorme mercato nell'impiego comune degli orologi da polso e delle calcolatrici da polso. Infatti la batteria presentata dalla Matsushita pur essendo ricaricabile almeno un migliaio di volte prima di perdere la capacità rigenerativa non costerà più delle normali batterie al litio presenti ora sul mercato.

La Matsushita Battery ha smentito la prossima produzione di batterie particolari su licenza Polaroid anche se la domanda per impieghi consumer (televisori B/N a schermo piatto Sony o Sinclair) aveva spinto la casa giapponese ad interessarsi a questo prodotto verso la fine del 1983.



# SISTEMA DI CONTROLLO DELLA TEMPERATURA CON SENSORE A TERMOCOPPIA



Le termocoppie vengono impiegate come sensori di temperatura in tutti quei casi in cui il sistema di misura della temperatura deve essere semplice, robusto ed avere una buona linearità.

A seconda dei metalli di cui è formata, una termocoppia può fornire, una differenza di potenziale tra le sue due giunzioni il cui valore può arrivare a qualche decina di microvolt per grado centigrado; quest'ultimo è direttamente proporzionale alla differenza di temperatura esistente tra le due giunzioni

dei metalli. È evidente allora che se la termocoppia fornisce livelli così bassi di tensione di uscita, il circuito di misura "a valle" dovrà essere dimensionato in maniera da amplificare e trattare adeguatamente il "segnale" fornito dalla termocoppia.

A questo scopo vengono presentati due circuiti: quello di figura 1a, è in grado di dare una buona precisione di misura, quello di figura 1b può fornire una potenza doppia.

In particolare, il sistema di figura 1 è incentrato sull'integrato regolatore

L120 A (SGS-ATES) e, come già detto, dà una discreta precisione unitamente ai seguenti vantaggi:

- basso numero di componenti richiesti
- alimentazione ricavata direttamente dalla rete
- assemblaggio semplice e basso costo.

Il motivo per cui il circuito di figura 1 è certamente più economico è che in esso non viene impiegato né il trasformatore di rete né il trasformatore per l'accoppiamento degli impulsi di innescamento del triac.

Queste due "mancanze" ne limitano un po' l'impiego, per il fatto, per esempio, che la termocoppia non risulta isolata dalla tensione della rete, e di conseguenza non può essere montata su uno chassis "caldo".

Il sistema riportato in figura 1b non ha questi inconvenienti in quanto impiega i due trasformatori suddetti, ed inoltre è in grado di fornire una potenza doppia. È per questo motivo che è più costoso. Comunque, il vantaggio di poter montare la termocoppia in qualsiasi punto è un vantaggio che ricompensa il maggior costo.

Siccome questa configurazione circuitale non consente di rilevare il passaggio per lo zero delle correnti circolanti nel carico ( $R_L$ ), è assolutamente indispensabile che vengano impiegati solo carichi di natura ohmica (carichi resistivi). Per avere una tensione di riferimento compensata nei confronti delle variazioni della temperatura si è utilizzato un resistore a filo di rame avvolto ( $R_7$ ) avente un coefficiente di temperatura pari a  $0,4\% ^\circ\text{C}$ . Il valore di questo particolare resistore si calcola così:

$$\frac{4}{1000} (R_7 \cdot I) = 40 \text{ mV f.e.m. della termocoppia}$$

Per avere una buona compensazione occorre che gli altri resistori siano a film metallico ad elevata stabilità.

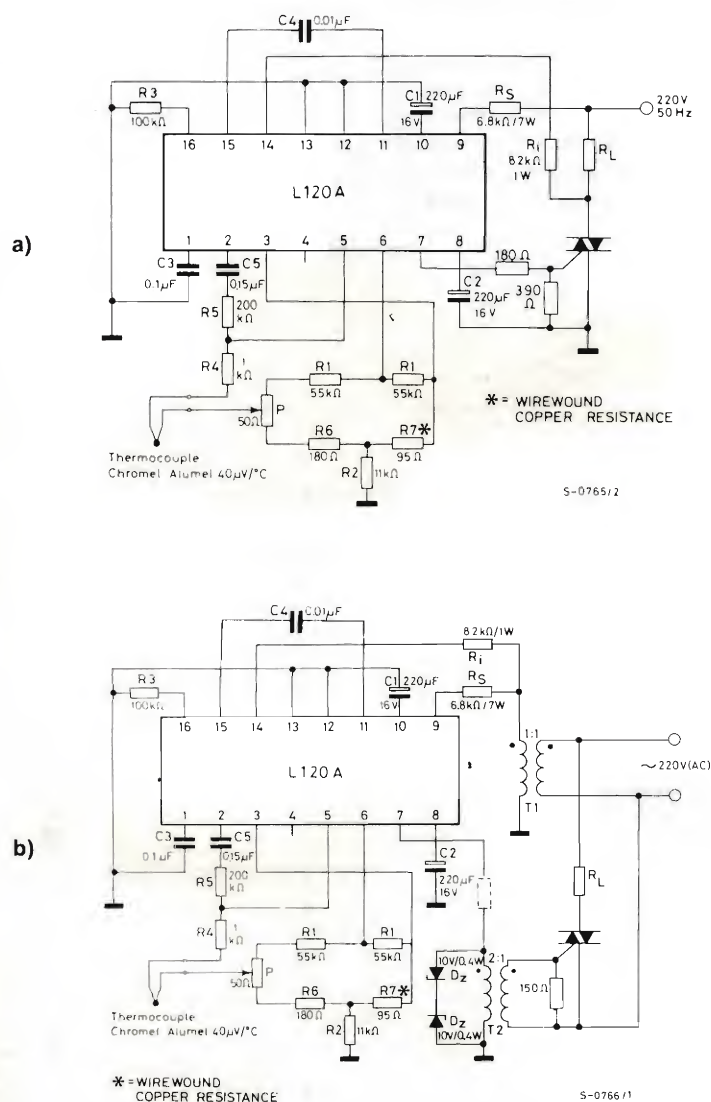


Fig. 1 - Circuito del sistema di controllo della temperatura mediante termocoppia. (a) Versione economica. (b) Versione per potenze maggiori. Viene infatti utilizzato un trasformatore di rete e un trasformatore per l'accoppiamento degli impulsi di innescamento del triac. (Schema SGS-ATES).



## SISTEMA ECONOMICO DI CONTROLLO DELLA VELOCITA' PER MOTORI UNIVERSALI

Il sistema è basato sul circuito integrato U111B (AEG-Telefunken).

Questo integrato è stato studiato per poter effettuare la regolazione della potenza delle apparecchiature collegate direttamente alla tensione della rete. Possiede una risposta pronta, ed è quindi particolarmente adatto per la regolazione della velocità di rotazione dei motori ad induzione cosiddetti universali. L'U111B consuma poco, e richiede pochi componenti esterni.

Nella figura 1 presentiamo una sua tipica applicazione riguardante la regolazione della velocità di un motore universale. L'integrato provvede a limitare automaticamente sia la corrente di spunto sia quella che si avrebbe in caso di bloccaggio improvviso del motore. Anche in caso di interruzione degli avvolgimenti del generatore tachimetrico, l'integrato "corre ai ripari" nel senso che blocca l'impulso d'innescio del triac.

Il circuito presentato è completo. Manca soltanto la rete antidisturbo. L'alimentazione in continua dell'integrato è attuata da RV, DV e C3. Si tratta di un raddrizzatore ad una sola semionda.  $R_{SynU}$  provvede a sincronizzare il confronto tra la tensione a rampa e la tensione della rete, mentre  $R_{SynI}$  provvede a segnalare se nel carico circola o meno corrente. D1, R2 e C1 provvedono a raddrizzare la tensione alternata fornita dal generatore tachimetrico, la quale, come è noto, è direttamente proporzionale al numero dei giri del motore. R8 serve a compensare le tolleranze del valore istantaneo della tensione tachimetrica. Mediante R5 si regola il valore di regime partendo dalla tensione di riferimento compensata nei confronti delle variazioni di temperatura mentre i resistori R6 e Z fissano con l'aiuto dell'amplificatore operativo interno, il comportamento operativo del sistema.

R3, R4, D2 e C2 servono a "percepire" l'intensità della corrente circolante nel carico onde consentire a R7 di fissare il valore massimo sia della corrente di spunto sia della corrente di bloccaggio.

In caso di interruzione nel circuito del generatore tachimetrico, R10 fa salire la tensione su C1 al suo valore massimo ( $V_{max}$ ), simulando in questo modo un elevatissimo numero di giri del motore, per cui l'angolo di circolazione di corrente nel triac si ridurrà praticamente a zero. Con C9 infine si regola il valore di temperatura in corrispondenza del quale il sistema si blocca.

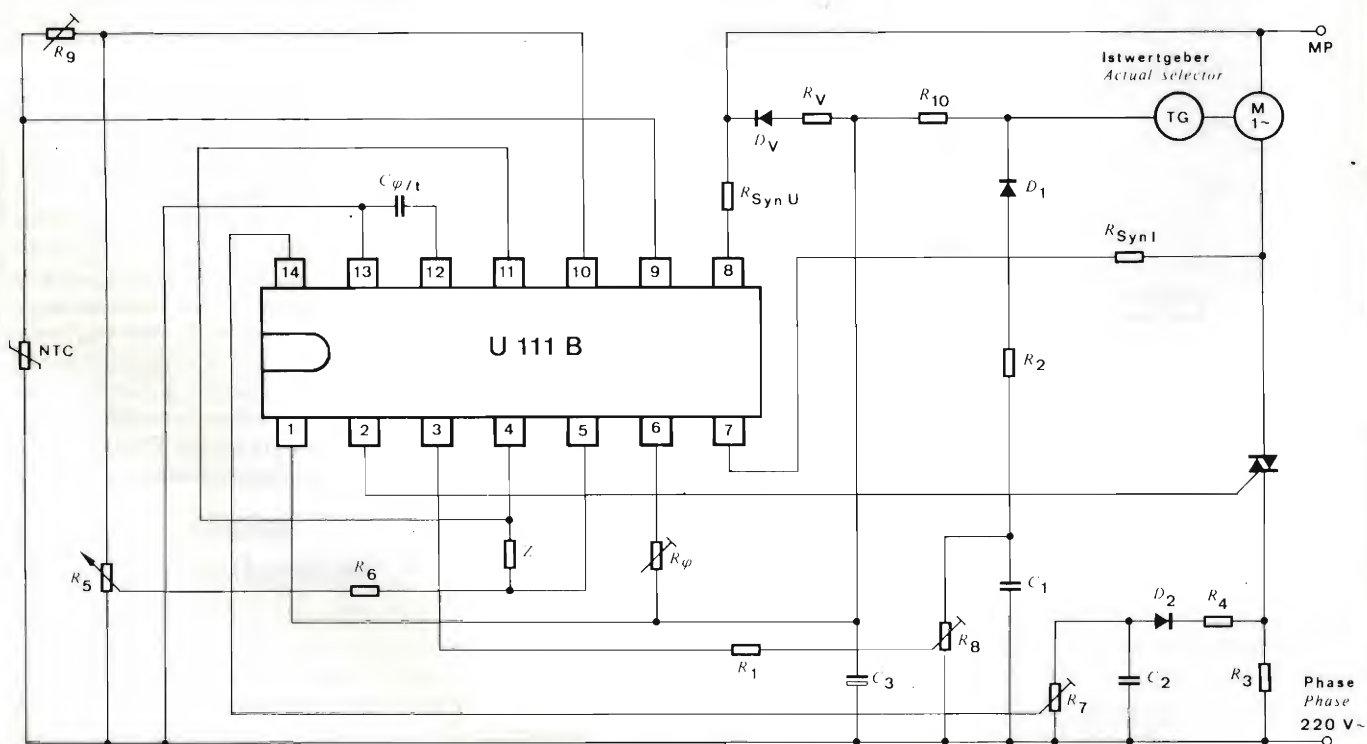


Fig. 2 - Schema del circuito per la regolazione dei giri di un motore universale. Viene utilizzato l'integrato U111B. La tensione indicante il numero dei giri è fornita da un generatore tachimetrico.



## DUE CARICABATTERIE: 15 AH E 50 AH

La figura 1 riporta il circuito di un caricabatterie relativamente semplice e dal funzionamento sicuro. Il circuito è adatto alla ricarica delle batterie al piombo. In queste, come è noto, la tensione misurata ai morsetti tende ad aumentare via via che aumenta la carica assorbita dalla batteria. Cortocircuitando il resistore R8 (da  $0,3 \Omega$ ), è possibile ottenere una corrente di carica adatta alla ricarica di batterie con capacità fino a 20 Ah (ampereora). Il regolatore di corrente è il tipo L200 (SGS-ATES).

Inizialmente, subito dopo che la bat-

teria è stata collegata, la corrente di ricarica viene limitata al valore di circa 1,5 A ad opera del resistore R8. Appena la batteria risulta ricaricata, la corrente di carica viene proporzionalmente ridotta fino a che, una volta raggiunto il limite prefissato che va da 150 a 200 mA, anche la tensione di uscita del regolatore viene ridotta in proporzione in maniera da mantenere carica la batteria anche per un lungo periodo di tempo senza incorrere nel pericolo di danneggiarla. Il resistore R10 e il diodo D3 servono a proteggere il regolatore nel caso la batteria dovesse essere col-

legata ad esso con le polarità invertite.

Nella figura 2 è indicato lo schema elettrico di un caricabatterie da 50 Ah, il quale è dimensionato essenzialmente come quello di figura 1. In questo caso, è l'aggiunta di un transistor di potenza esterno (BD907), collegato in parallelo al regolatore di corrente L200 (SGS-ATES) che permette di aumentare l'intensità della corrente fornita alla batteria in modo da raggiungere il valore di 5 A.

Come già detto, questo circuito è stato dimensionato per la ricarica di batterie da 12 V aventi una capacità di carica di 50 ampereora, (Ah). Il sistema è protetto nei confronti di accidentali cortocircuiti in quanto è munito di un circuito limitatore di corrente. È protetto inoltre anche nel caso in cui la batteria venisse accidentalmente collegata con i morsetti invertiti, e anche nel caso in cui dovesse venire a mancare la tensione di alimentazione della rete.

In linea di principio, le batterie a grande capacità di carica possono venire ricaricate ricorrendo ad un adatto transistor di potenza collegato in parallelo al regolatore come abbiamo visto (oppure a più transistori di potenza collegati in parallelo tra loro).

Qualora la batteria dovesse essere collegata con le polarità errate, sarebbe il resistore da  $15 \Omega$  (collegato tra il terminale 3 dell'L200 e massa) che verrebbe attraversato dalla corrente inversa. Ovviamente, la dissipazione di potenza che questo transistor dovrà avere (e cioè i watt dissipabili) dipenderà dal tempo in cui la batteria rimarrà collegata al carica-batteria con le polarità errate.

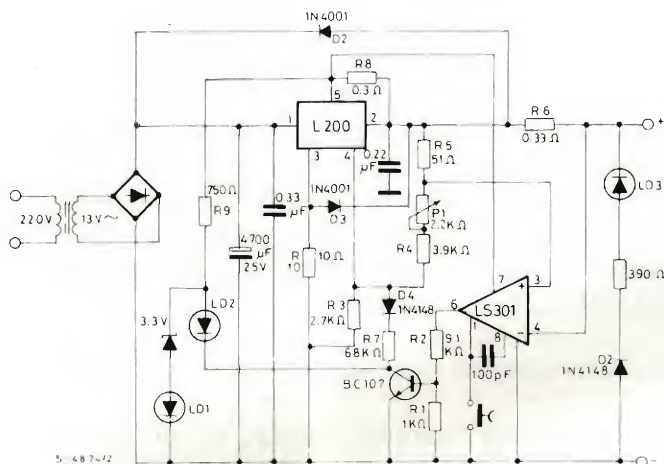


Fig. 1 - Schema del caricabatterie da 15 ampereora. L200 è un regolatore di corrente. (Schema SGS-ATES).

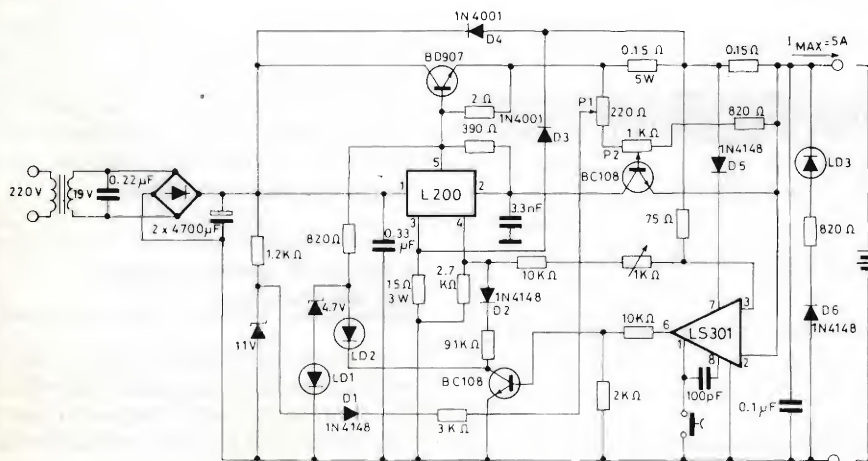


Fig. 2 - Versione per batterie con capacità di 50 ampereora (Ah). La corrente in più richiesta viene fornita dal BD907, in parallelo al regolatore di corrente. (Schema SGS-ATES).



## Sensore di posizione magnetico di nuova concezione

# FILO MAGNETICO CHE PRODUCE IMPULSI

Questo originale sensore di posizione è basato su un principio tecnologico completamente nuovo. Gli elementi semplici di cui è fatto (un filo magnetico, una bobinetta, due magneti) consentono di impiegarlo nelle più gravose condizioni ambientali (temperature elevate o basse, presenza di olio, di sporcizia, ecc.), e pertanto sarà molto adatto ad essere utilizzato in campo automobilistico per il rilevamento del numero dei giri e del punto morto superiore del motore (anticipo), come sistema di accensione elettronica senza dover ricorrere a contatti meccanici.

ing. Dierek Bush, Helmut Kanbach - AEG-Telefunken

I sensori servono a trasdurre determinate grandezze fisiche in corrispondenti grandezze elettriche. Da tempo vengono impiegati in campo industriale nei sistemi di regolazione e di controllo. In questi ultimi tempi, i sensori, specialmente quelli cosiddetti di posizione, vengono sempre più utilizzati in campo automobilistico. L'introduzione di questo tipo di sensore

nel settore dell'automobile è stata fino ad oggi ritardata a causa delle gravose condizioni nelle quali il sensore di posizione è chiamato ad assolvere il suo compito. È per questo motivo che in questo settore potranno affermarsi soltanto quei sensori di posizione capaci di lavorare, per esempio, senza entrare in contatto con gli altri elementi in gioco e di svolgere la funzione prevista

anche in condizioni di temperatura estrema (per esempio  $-70^{\circ}\text{C}$  e  $+180^{\circ}\text{C}$ ).

Un sensore di posizione che soddisfa a queste esigenze è quello sviluppato nei laboratori della AEG-Telefunken, che tra l'altro, ha il vantaggio di poter essere prodotto a prezzo compatibile con le esigenze del mercato dell'automobile. Il suo principio di funzionamento è basato essenzialmente sul noto *effetto Wiegand* (1-5); esso però differisce sostanzialmente per struttura e costruzione dagli altri sensori basati su questo stesso principio.

**Tabella 1 - Caratteristiche principali del sensore magnetico**

- La formazione dell'impulso di uscita del sensore non dipende dalla velocità delle parti in movimento del sistema (Ciò non si verifica con i convenzionali sensori a induzione magnetica).
- L'impulso di uscita si ha solo in corrispondenza di un valore ben determinato del campo magnetico (valore di soglia).
- Il sensore può lavorare entro un campo di temperature molto ampio (da  $-70^{\circ}\text{C}$  a  $+180^{\circ}\text{C}$ ).
- Rapporto segnale/disturbo eccellente.
- Il sensore non richiede per il suo funzionamento alcuna energia esterna.
- Il segnale di uscita del sensore, essendo di notevole ampiezza, può essere utilizzato direttamente.

### Il trucco di questo sensore sta nella torsione

Il "cuore" del sensore è costituito essenzialmente da un sottile pezzetto di filo di materiale ferro-magnetico, la cui caratteristica è quella di assumere due differenti *condizioni di magnetizzazione* come vedremo. Questo particolare filo magnetico viene a sua volta inserito in una bobinetta (detta bobina del



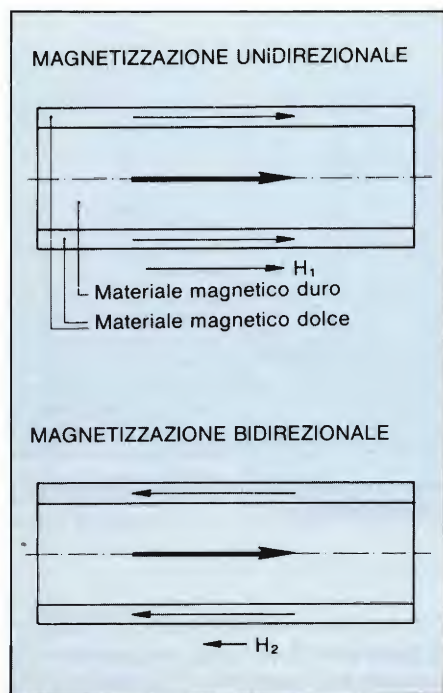


Fig. 1 - Condizioni di magnetizzazione in cui può venire a trovarsi il filo magnetico bistabile.

sensore).

Il filo è formato da una zona *interna* (nucleo), costituita da materiale magnetico duro, e da una zona *esterna* (strato esterno) formata da materiale magnetico dolce. In fase di costruzione, il nucleo del filo, costituito da materiale magnetico duro (per esempio, una lega di cobalto oppure acciaio al nichel-cromo lavorato a freddo) viene sottoposto a torsione. In queste condizioni, si provvede a ricoprirlo per via elettrolitica con uno strato esterno costituito da materiale magnetico dolce (per esempio, una lega di ferro e nichel).

Una volta formato per via galvanica

lo strato esterno, si provvede ad eliminare la torsione alla quale era stata sottoposta la parte interna del filo, e cioè il nucleo. È evidente allora che ora sarà lo strato esterno del filo a trovarsi in una permanente condizione di torsione. Questa permanente tensione elastica a cui risulta assoggettato lo strato esterno del filo fa sì che, a causa dell'effetto magnetoelastico, il ciclo di isteresi dello strato esterno assuma una maggiore pendenza quando verrà magnetizzato in direzione assiale.

Il filo così ottenuto viene successivamente tagliato in corti tronconi, lunghi qualche centimetro. Ogni troncone viene a sua volta avvolto da una bobinetta di 3000 spire circa.

### Il salto controllato di Barkausen

Disponendo un pezzo di questo particolare filo in un campo magnetico, lo strato esterno e il nucleo del filo assumeranno due condizioni di magnetizzazione ben definite (figura 1). In particolare, se l'intensità  $H_1$  di questo campo magnetico risulterà *superiore* alla coercitività (più precisamente all'intensità del campo coercitivo del materiale del nucleo), la magnetizzazione dello strato esterno e quella del nucleo del filo assumeranno la stessa direzione (magnetizzazione unidirezionale, figura 1, in alto). Se ora si inverte la direzione del campo magnetico esterno, e se la sua intensità  $H_2$  risulta *inferiore* all'intensità del campo magnetico coercitivo del materiale di cui è fatto il nucleo del filo, succederà che questo secondo campo magnetico riuscirà a cambiare la direzione di magnetizzazione *soltanto* dello strato esterno del filo, che, come già detto, è fatto di mate-

riale magnetico dolce (magnetizzazione bidirezionale). Ciò è indicato in basso in figura 1.

Il passaggio dello strato esterno del filo dalla condizione di magnetizzazione unidirezionale a quella bidirezionale avviene abbastanza lentamente (e cioè entro un'ampia varietà di valori di magnetizzazione), e dipende dalla velocità di variazione del campo magnetico esterno. Al contrario, il ritorno dello strato esterno nella direzione iniziale di magnetizzazione (e cioè nella condizione unidirezionale), avviene in modo *spontaneo*, e non dipende dalla velocità di variazione del campo magnetico esterno. Questo "salto spontaneo" della condizione di magnetizzazione dello strato esterno del filo nella condizione opposta (detto *salto controllato di Barkausen*) ha luogo in corrispondenza di una soglia ben definita dell'intensità ( $H_s$ ) del campo magnetico esterno.

In figura 2 si può vedere come varia l'induzione ( $B$ ) dello strato esterno del filo, fatto di materiale magnetico dolce, in funzione dell'intensità del campo  $H$ . Quest'ultima viene variata tra  $+H_1$  e  $-H_2$ . Un valore indicativo per l'intensità di  $+H_1$  è  $+80$  A/cm, e per  $-H_2$  è  $-30$  A/cm circa; questi valori si riferiscono ad un nucleo costituito da acciaio al nichel-cromo lavorato a freddo.

La figura 3 riporta l'andamento dei campi magnetici *esterni* asimmetrici e l'intensità delle tensioni indotte nelle bobinette al momento del cambiamento della direzione della magnetizzazione dello strato esterno del filo.

Il passaggio della magnetizzazione dello strato esterno del filo dalla condizione di unidirezionalità alla condizione di bidirezionalità (quando cioè lo strato esterno assume una direzione di magnetizzazione contraria a quella del

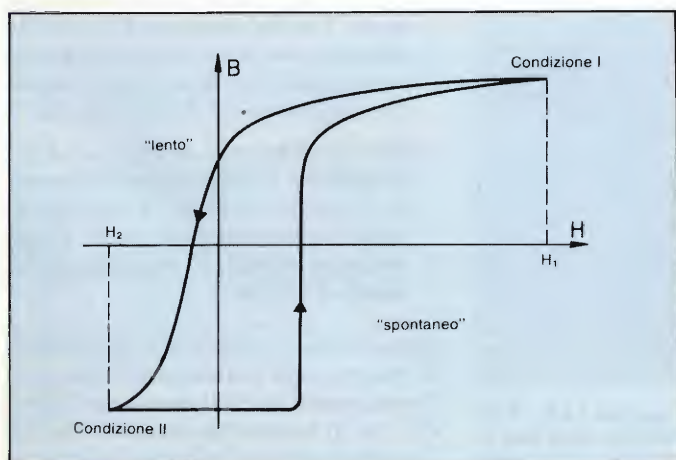


Fig. 2 - Andamento del ciclo di isteresi dello strato esterno del filo magnetico quando viene assoggettato ad una eccitazione magnetica asimmetrica.

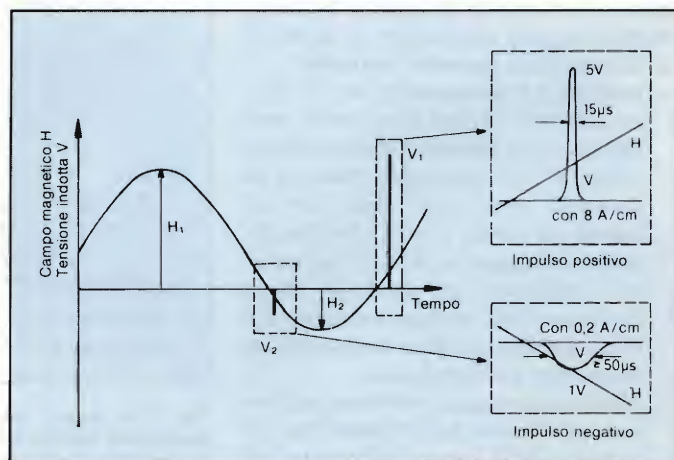
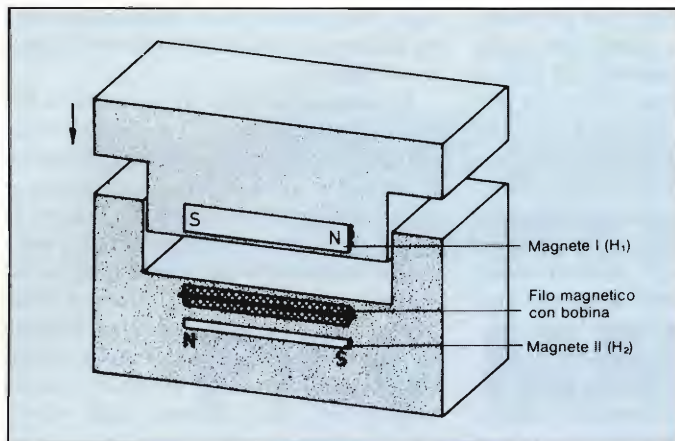
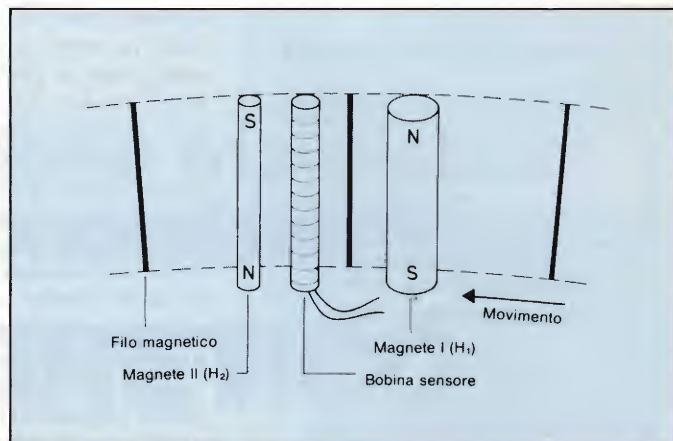


Fig. 3 - Tensioni indotte  $V_2$  e  $V_1$  nella bobina del sensore e andamento dell'eccitazione magnetica ( $H_1$  e  $H_2$ ).





**Fig. 4 -** Filo magnetico con bobina e magneti I (H<sub>1</sub>) e II (H<sub>2</sub>), utilizzato come pulsante di chiusura di un circuito. Il tasto in questo caso è privo di contatti e pertanto senza rimbalzi.



**Fig. 5 -** In questa applicazione, i due magneti I e II e la bobina sono fissi; si muove solo il filo (o i fili) magnetico.

nucleo interno), produce, per induzione, nella bobina del sensore un impulso di tensione negativa (V<sub>2</sub> in figura 3) relativamente ampio (fino a 1 V). Viceversa, il passaggio spontaneo della magnetizzazione dello strato esterno del filo nella direzione di magnetizzazione iniziale (magnetizzazioni unidirezionali) produce, per induzione, nella bobina del sensore un breve impulso positivo di tensione di circa 5 V e cioè V<sub>1</sub> in figura 3. La produzione di quest'impulso dipende dal superamento di un certo valore di soglia (H<sub>1</sub>), e non dipende dalla velocità di variazione del campo magnetico.

## **Condizioni perché il filo magnetico bistabile produca l'impulso di tensione indotta**

A seconda dell'applicazione desiderata, le variazioni dell'intensità di campo richieste (e di conseguenza, la produzione dei relativi impulsi di tensione indotta nella bobina del sensore) possono essere realizzate, in linea di principio, nelle seguenti maniere:

- mediante spostamento del filo magnetico nel campo magnetico, realizzabile, per esempio, facendo transitare il filo magnetico davanti ai magneti mantenuti fissi. Ovviamente, in questo caso, la bobina del sensore (separata dal filo) dovrà essere sistemata nel punto in cui la direzione della magnetizzazione del filo, da bidirezionale ritorna spontaneamente unidirezionale.
- Mediante passaggio dei magneti davanti al filo; anche in questo caso, la bobina dovrà essere sistemata nel punto in cui ha luogo il cambiamento spontaneo della direzione di magnetizzazione dello strato esterno del filo.

— Mediante indebolimento del campo magnetico positivo (o negativo), ottenuto, per esempio, interrompendo il flusso magnetico mediante un diaframma ferromagnetico.

Queste varie posizioni che si possono dare al filo magnetico, alla bobina e ai magneti permettono di risolvere problemi di posizionamento, di misura di angoli e di velocità. La natura bistabile del filo magnetico consente di utilizzarlo anche come memoria di informazioni.

## **Possibili applicazioni**

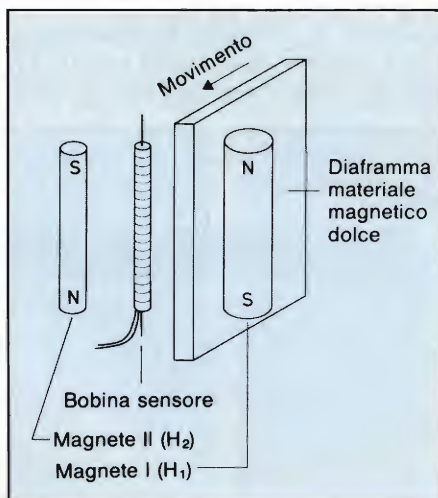
La figura 4 indica l'utilizzo di questo nuovo sensore al posto di un pulsante, ovviamente esente da fenomeni di rimbalzo dei contatti. Il pulsante lavora

con eccitazione asimmetrica. I magneti permanenti richiesti per produrre le intensità di campo H<sub>1</sub> e H<sub>2</sub> (vedi figura 3) possono essere disposti come indicato in figura 4. Sistemato in questa maniera, il sensore può essere impiegato come interruttore d'ingresso o come pulsante di una tastiera.

Altre possibilità di impiego riguardano il rilevamento di una data posizione, di un valore angolare o di una velocità. In questi casi (figura 5), il filo magnetico viene fissato sulla parte mobile del sistema. Il filo (o i fili), passando davanti al modulo di misura, costituito dai due magneti e dalla bobina, produrrà in quest'ultima un impulso di tensione, come in precedenza illustrato.

Altre possibili sistemazioni, e di conseguenza altre possibili applicazioni, non illustrate con figure, possono essere le seguenti:

- modulo di misura, costituito dal magnete I (o dal magnete II), dal filo magnetico e dalla bobina del sensore, in posizione fissa: in movimento invece il magnete II (o il magnete I);
- modulo di misura, costituito dal filo magnetico e dalla bobina del sensore, in posizione fissa: in movimento sono invece i magneti I e II. Il magnete (o i magneti) passeranno davanti al modulo.

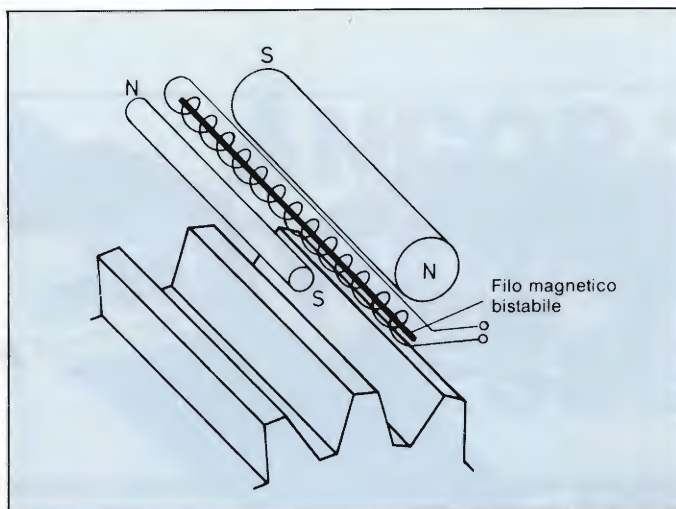


**Fig. 6 -** In questo caso, i magneti I e II e il filo magnetico inserito nella bobina sono fissi; in movimento è solo un diaframma di materiale ferromagnetico che passando tra i magneti I e II il filo magnetico produrrà una variazione dei campi magnetici come indicato in figura 3, e di conseguenza, una tensione indotta nella bobina.

Disponendo i componenti del modulo di misura come indicato nelle figure 6 e 7 sarà possibile effettuare misure di posizione, di valori angolari e di velocità. Con riferimento alla figura 6 possiamo vedere che facendo passare un diaframma, fatto di materiale magnetico dolce, tra il magnete I e la bobina con dentro il filo magnetico, il campo ma-



Fig. 7 - In questo caso, filo magnetico, bobina, magneti I e magneti II sono fissi. I denti dell'ingranaggio sottostante, al momento del loro passaggio sotto al modulo, indeboliranno il campo magnetico dei magneti, e di conseguenza, anche in questo caso, avremo nella bobina impulsi di tensione indotta come indicata in figura 3.



# Bibliografia

- 1) Wigen, Philips E., *Electronics*, Luglio 10, 1975, pagg. 100 - 105.
- 2) Gevatter, H.J., und W.A. Merl, *Regelungstechnische Praxis* 22 (1980) 3, pagg. 81-85.
- 3) Kuers, Günter, e Waldhauer, Gerhard, *Elektronik* 1980, N 7, pagg. 43-50.
- 4) Walker, Gerald M., *Electronics Australia* 41 (1979) 7, pagg. 10-13.
- 5) Marks, J. David, und Michael J. Sinko, *Automotive Engineering* 86 (1978) 2, pagg. 44-48).

gnético H<sub>1</sub> che investe il filo magnetico, prima viene indebolito e poi riassume l'intensità iniziale. In definitiva otterremo un andamento del campo magnetico identico a quello riportato in figura 3. Una possibile applicazione di questa disposizione potrebbe riguardare la produzione della scintilla nei motori a scoppio senza ricorrere ai contatti meccanici del rottore (accensione elettronica).

Avremo un andamento del campo magnetico come quello riportato in figura 3 anche disponendo gli elementi del sensore come indicato in figura 7. In questo caso, è l'indebolimento dei campi magnetici rispettivamente positivo o negativo dei due magneti fissi, prodotto dal dente dell'ingranaggio che passa nelle vicinanze del modulo che produrrà l'andamento dei campi come richiesto dalla figura 3.

Questa disposizione dei componenti del sensore potrebbe essere utilizzata per il conteggio dei giri del motore e per la determinazione del punto morto in campo automobilistico.

## PRECISAZIONE

Nell'articolo "Acquisizione di valori analogici con il CBM" dell'ing. Ennio De Lorenzo è stato per errore stampato il programma originale in BASIC in lingua tedesca. Qui di seguito riportiamo lo stesso programma "tradotto" dall'autore in lingua italiana.

```

40 rem conversione A/D
60 rem
70 rem 8.10.80
80 poke 52,0: poke 53,30
90 poke 9459,0: rem userport in entrata
100 data 56,173,65,232,141,238,131,41,8,201,8,208,243
110 data 56,173,65,232,141,237,131,41,4,201,4,208,243
120 data 56,173,65,232,141,236,131,41,2,201,2,208,243
130 data 56,173,65,232,141,235,131,41,1,201,1,208,243
150 data 173,0,4,240,6,169,0,141,0,4,96
170 data 65,119,133,94,165,120,133,95
190 data 62,0,56,161,94,201,178,240,17,24,165,94,105,
    1,133,94,165,95
200 data 105,0,133,95,162,0,240,232
220 data 62,4,94,234,131,94,234,131,94,234,131,94,234,
    131,202,208,241
240 data 24,162,10,169,5,133,106,24,165,94,101,106,
    149,94,165,95,105,0
250 data 149,95,198,106,202,202,208,237,162,3,160,3
270 data 56,189,234,131,201,10,144,2,169,0,24,105,48,
    145,94,200,202,208,237
290 data 162,0,173,238,131,56,201,14,240,35,56,201,15,
    240,30,56,201,4,240,35
300 data 56,201,11,240,40,56,201,10,240,35,56,201,0,
    240,40,56,201,7,240,45
310 data 56,201,7,240,58
330 data 69,170,129,96,169,32,129,98,208,64,169,170,
    129,96,169,49,129,98,208,54
340 data 169,171,129,96,169,32,129,98,208,44,169,171,
    129,96,169,49,129,98,208,34
350 data 169,170,129,96,169,50,129,98,169,48,129,100,
    129,102,129,104,208,16
360 data 169,171,129,96,169,50,129,98,169,48,129,100,
    129,102,129,104
365 data 162,13,169,0,149,93,202,208,249,96
370 for i=0 to 29: read a: poke i+7600,a: next i
380 print "programma per l' acquisizione dati
400 print "con il convertitore MC14433
410 print "1) con 'poke 1024,l:sys 7800' vengono
420 print " scritti i dati 01....04 nelle
430 print " locazioni 33771....33774
440 print " p.es. con 'run 10 000".
450 print "2) con 'sys 7800:xxZ(k)*****' viene
460 print " scritto il valore acquisito al posto
470 print " di *****. 'xxZ(k)' può essere qualsiasi
480 print " variabile (eccetto una stringa).
498 print " P. es. con 'run 1 000'
500 end
1000 i=0: rem ESEMPI0
1010 i=i+1: sys 7800: dd=*****:
1020 print: "o valore:" i: tab (25): dd: goto 1020
10000 i=0
10010 i=i+1: poke 1024,l: sys 7800
10020 print: "mis.": i: i: "i: "i: peek (33774): i: "i: peek (33773)
10030 print: "i: "i: peek (33772): i: "i:
10040 gosub 20000: print: peek (33771): i: "i: goto 10 010
20000 a$=" ": for p=1 to 3
20005 a$=a$+(peek (33770+p) and 240/16)*a$*next
    a
20010 i = (peek (33774) and 240)/16
20020 if i=14 or i=15 then a$=" " : return
20030 if i=10 or i=11 then a$=" " : return
20040 if i=4 then a$=" " : return
20050 if i=0 then a$=" " : return
20060 if i=7 then a$=" " : return
20070 if i=3 then a$=" " : return
ready.

```



# ALIMENTATORI STABILIZZATI



## Alimentatore stabilizzato "GBC"

Con protezione elettronica contro il cortocircuito

Tensione d'ingresso: 220 V - 50 Hz

Tensione d'uscita: 12,6 Vc.c.

Corrente max. d'uscita: 8 A

Dimensioni: 200x190x100

**NT/0091-00**



## Alimentatore stabilizzato "G.B.C."

Con strumenti di misura e protezione elettronica contro il cortocircuito.

Tensione d'ingresso: 220 V - 50 Hz

Tensione d'uscita regolabile:  $6 \div 14$  Vc.c.

Corrente max d'uscita: 12 A

**NT/0530-00**



## Alimentatore stabilizzato "GBC"

Con strumenti di misura e protezione elettronica contro il cortocircuito

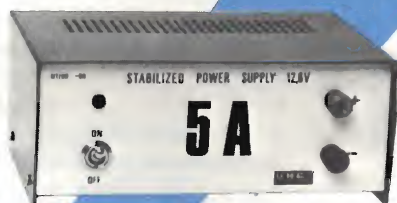
Tensione d'ingresso: 220 V - 50 Hz

Tensione d'uscita regolabile:  $6 \div 14$  Vc.c.

Corrente max d'uscita: 8 A

Dimensioni: 200x190x100

**NT/0528-00**



## Alimentatore stabilizzato "GBC"

Con protezione elettronica contro il cortocircuito

Tensione d'ingresso: 220 V - 50 Hz

Tensione d'uscita: 12,6 V

Corrente d'uscita: 5 A

Dimensioni: 180x140x78

**NT/0085-00**



## Alimentatore stabilizzato "FALKOS" autoprotetto

Lettura digitale della tensione e della corrente.

Tensione d'uscita regolabile da 3 a 14 V.

Corrente massima erogabile 5 A.

**NT/0065-00**



## Alimentatore stabilizzato "FALKOS"

Con protezione elettronica.

Tensione d'ingresso: 220 V - 50 Hz

Tensione d'uscita: 12,6 Vc.c.

Corrente d'uscita: 3,5 A

Dimensioni: 160x75x115

**NT/0055-00**



## Alimentatore stabilizzato "FALKOS"

Con protezione elettronica.

Tensione d'ingresso: 220 V - 50 Hz

Tensione d'uscita regolab.:  $3 \div 14$  Vc.c.

Corrente d'uscita: 2,5 A

Dimensioni: 160x75x115

**NT/0060-00**



## Alimentatore stabilizzato "FALKOS"

Con protezione elettronica.

Tensione d'ingresso: 220 V - 50 Hz

Tensione d'uscita: 12,6 Vc.c.

Corrente d'uscita: 2,5 A

Dimensioni: 160x75x115

**NT/0050-00**



# ANCORA SUI PANNELLI DI BESSEL

Abbiamo ricevuto ulteriori precisazioni su questo interessante ed economico sistema di diffusione sonora di potenza. Dato l'interesse destato da un precedente articolo su questo argomento pensiamo che le osservazioni che seguono contribuiranno a chiarire alcuni aspetti di questo sistema.

a cura della Redazione

L'articolo sui "Pannelli di Bessel" apparso su Selezione di dicembre ha destato una certa curiosità e il desiderio di avere maggiori informazioni al riguardo. Ciò per il fatto che questo sistema di collegamento degli altoparlanti rappresenta effettivamente una novità nei sistemi di diffusione sonora di potenza. Ci sono in questo frattempo pervenute altre informazioni al riguardo e pensiamo pertanto di fare cosa gradita comunicarle subito agli specialisti di questo settore.

## I pannelli di Bessel

Quando si desidera che il pubblico riunito in una sala (teatro, cinema, chiesa ecc.) debba udire riproduzioni sonore con alta fedeltà, le strade da

seguire sono due: impiegare un unico altoparlante di *grandi dimensioni* oppure ricorrere a pannelli sui quali vengono montati altoparlanti di *piccole dimensioni*. Gli altoparlanti capaci di irradiare 200 W di potenza sonora sono costosi e ingombranti; i pannelli realizzati con altoparlanti di piccole dimensioni non sono costosi e sono inoltre facili da installare; purtroppo presentano degli inconvenienti, dovuti principalmente alla maniera con cui essi vengono collegati tra loro.

Occorre ricordare che un certo numero  $N$  di altoparlanti, collegati in parallelo e con fase corretta, irradia, alle frequenze molto basse, una potenza  $N^2$  volte superiore a quella di un altoparlante singolo mentre alle frequenze elevate, la frequenza irradiata è solo  $N$  volte.

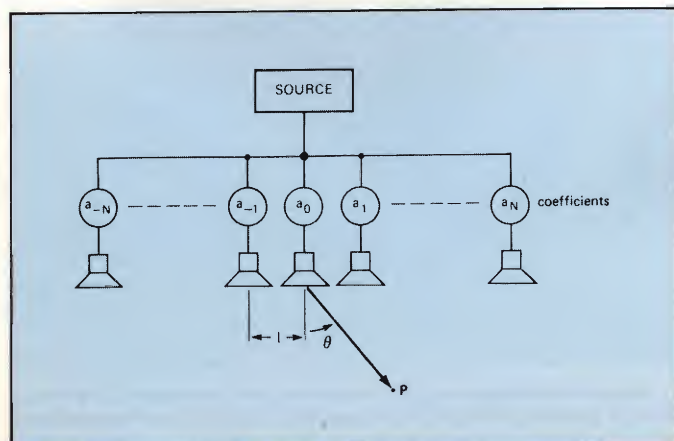


Fig. 1 - In un pannello di Bessel, gli altoparlanti non vengono tutti eccitati da un segnale della stessa ampiezza, ma da segnali la cui ampiezza è stabilita da appositi coefficienti (coefficienti di Bessel).  $l$  è la minima distanza che deve intercorrere tra gli altoparlanti.  $P$  è un punto di ascolto.

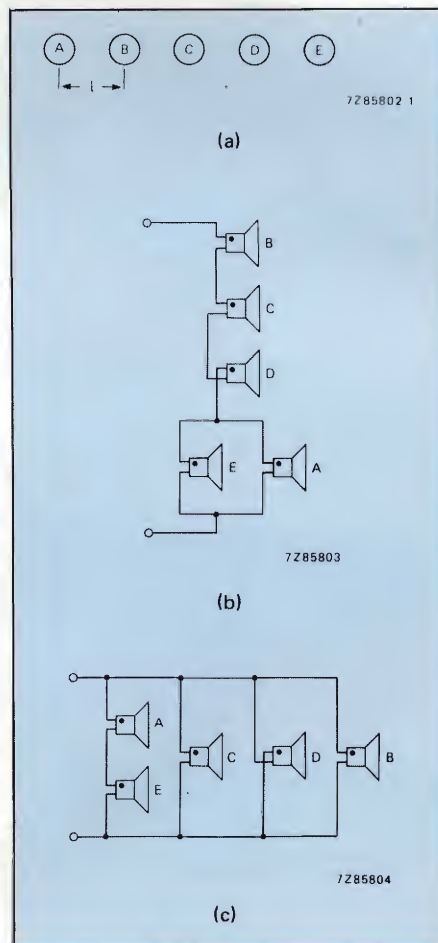
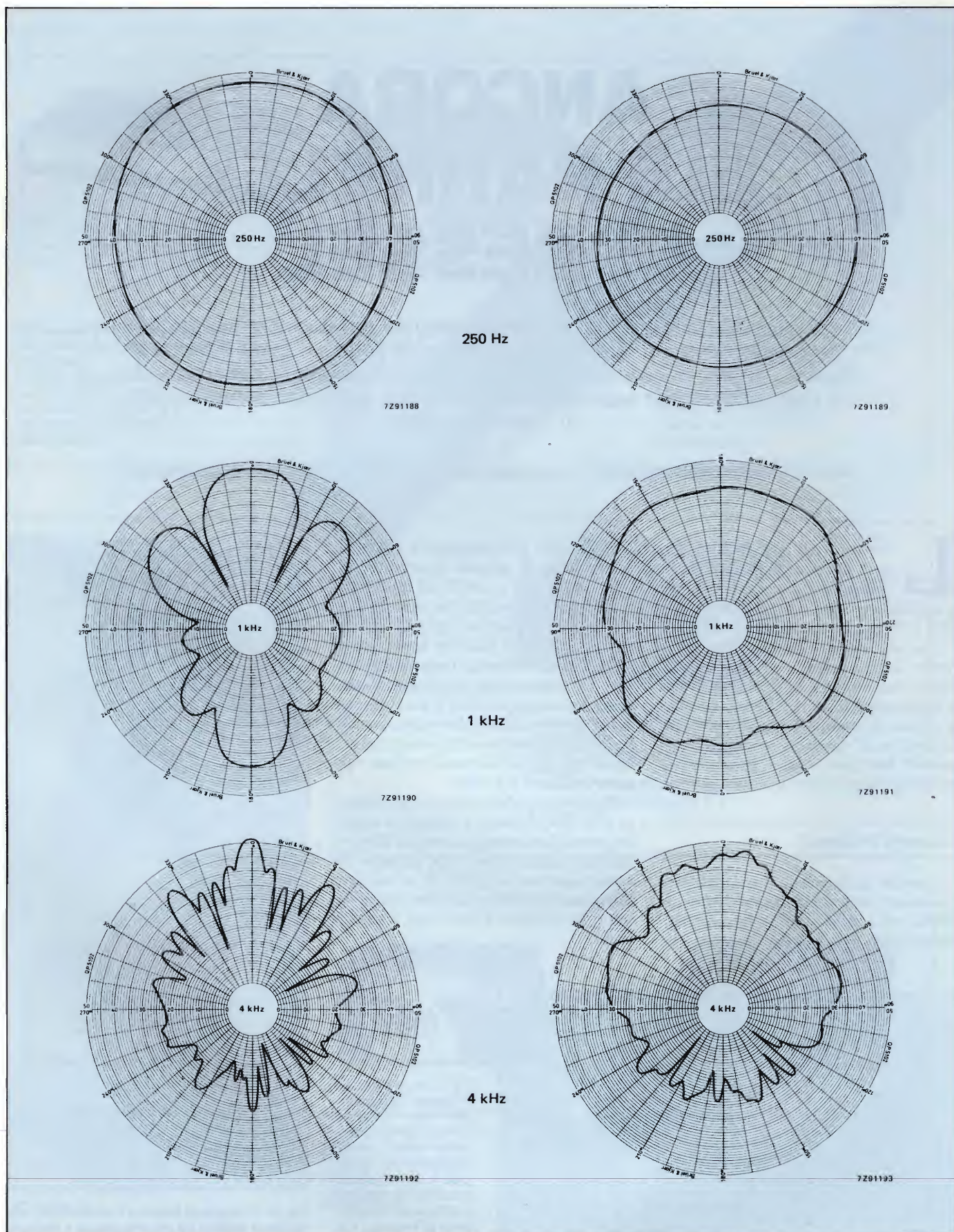


Fig. 2 - Pannello di Bessel a 5 altoparlanti.  $l$  è la distanza minima tra gli altoparlanti e dipende dalla cornice dell'altoparlante e dallo spessore del pannello. L'utilizzo della disposizione (b) piuttosto che la (c) dipende dall'impedenza di uscita dell'amplificatore.





**Fig. 3 - (a sinistra).** Diagrammi polari relativi ad un pannello convenzionale a 5 altoparlanti nel quale tutti gli altoparlanti sono eccitati con uno stesso livello di segnale (eccitazione in parallelo). **(a destra).** Diagrammi polari relativi ad un pannello di Bessel a 5 altoparlanti. I diagrammi sono stati rilevati nei due casi alle frequenze di 250 Hz, 1 kHz e 4 kHz.



Fig. 4 - Sistema di 3 pannelli di Bessel a 5 altoparlanti disposti uno sopra l'altro. Se questi pannelli sono alimentati in parallelo, essi danno una radiazione omnidirezionale solo in senso orizzontale mentre in senso verticale essa risulterà concentrata al livello degli altoparlanti.

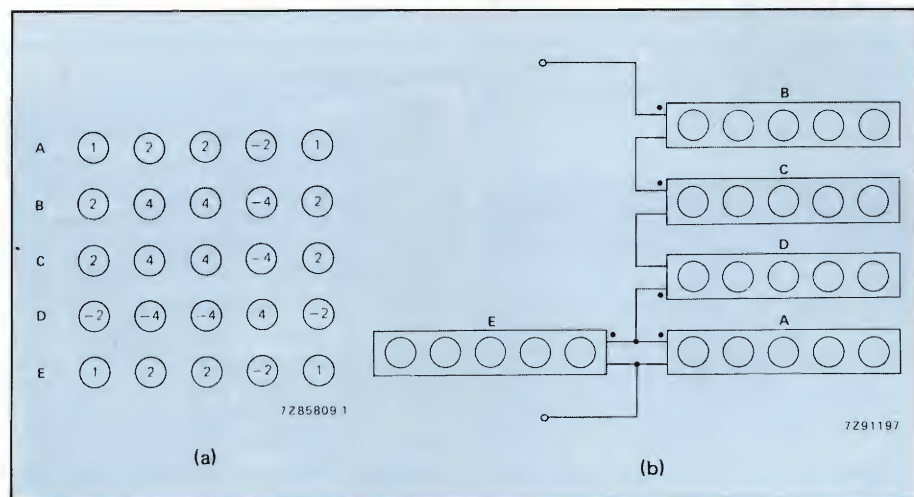
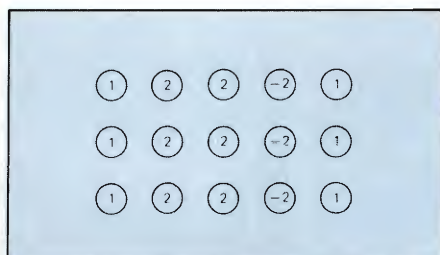


Fig. 5 - (a) Disposizione e coefficienti del segnale di pilotaggio di una struttura di pannelli di Bessel a 25 altoparlanti adatta ad una distribuzione semisferica del suono. Ciascuna fila orizzontale di altoparlanti è collegata come in (c) di figura 2; (b) sistema di collegamento degli altoparlanti per ottenere i coefficienti di pilotaggio indicati in (a). L'impedenza di tutto il sistema è uguale a quella di un altoparlante singolo.

Da quando sopra si deduce che la risposta in potenza di un pannello di altoparlanti è completamente diversa dalla risposta in potenza che un altoparlante del pannello fornirebbe da solo. Questa diversità è dovuta al fatto che un pannello di altoparlanti possiede di regola una accentuata *direttività*; così mentre la radiazione di un altoparlante singolo assume una forma pressoché *omnidirezionale*, sicuramente fino ad alcuni kilohertz, la radiazione del suono da parte di un pannello è omnidirezionale soltanto quando vengono irradiate le basse frequenze. Alle frequenze elevate, la radiazione dei suoni da parte di un pannello di altoparlanti è molto direttiva e inoltre questa direttività varia considerevolmente al variare della frequenza. Si conclude quindi che in una sala da concerto, le persone che vengono a trovarsi lontane dall'asse del pannello percepiranno i suoni con contenuto tonale completamente differente da quello percepito dagli ascoltatori fortunati che vengono a trovarsi lungo l'asse del pannello.

Questo inconveniente, caratteristico dei convenzionali pannelli di altoparlanti, può essere eliminato "dosando" opportunamente il segnale applicato ai singoli altoparlanti del pannello. Co-

## STAZIONE DI SALDATURA

**ERSA**

### STAZIONE DI SALDATURA ERS MS 6000

Nuovissima stazione di saldatura compatta e maneggevole, particolarmente indicata per laboratori e industrie. Costruita secondo la tecnica più avanzata, la stazione ERS MS 6000 comprende un alimentatore con regolazione automatica del controllo di temperatura e isolamento di sicurezza, saldatore con termocoppia incorporata e supporto porta saldatore.

### CARATTERISTICHE

#### STAZIONE ELETTRONICA

- Potenza nominale: 60 VA
- Primario: 220 V, 50/60 Hz
- Secondario: 24 Vc.a.
- Regolazione della temperatura di punta: 150 ÷ 450 °C
- Lunghezza cavo d'alimentazione in PVC: 2 m
- Indicazione di funzionamento con LED rosso

#### SALDATORE COMPLETO DI PUNTA A LUNGA DURATA

- Potenza: 40 W
- Alimentazione: 24 Vc.a.
- Tempo di riscaldamento: 60 s (350 °C)
- Peso senza cavetto: 25 g
- Lunghezza cavo, gomma al silicone: 1,5 m

LU/3715-00

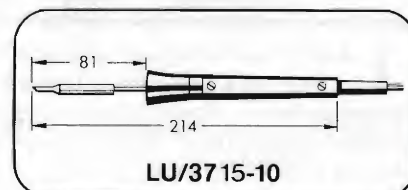
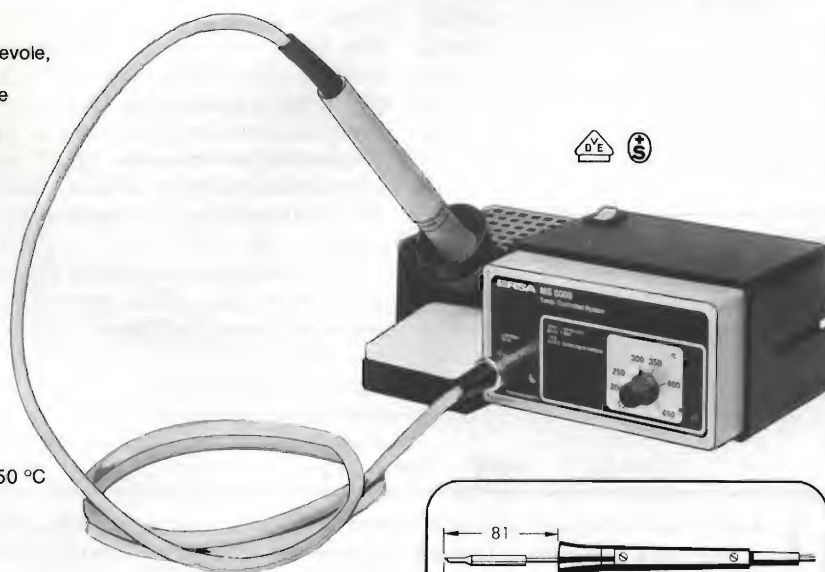






Fig. 6 - Realizzazione pratica di due strutture a 25 altoparlanti ciascuna formata da 5 pannelli di Bessel a 5 altoparlanti. I 5 pannelli di ciascuna struttura sono collegati come indicato in figura 5b.

Tabella 2 - Confronto tra il guadagno e la risposta in frequenza di pannelli normali e pannelli di Bessel

Tipo di pannello	Numero altoparlanti	Coefficienti di pilotaggio	Bassa frequenza (dB)	Alta frequenza (dB)
Normale	5	1:1:1:1:1	14	7
Bessel	5	1:2:2:-2:1	6	5,4
Normale	7	1:1:1:1:1:1:1	16,9	8,5
Bessel	7(6)	1:2:2:0:-2:2:-1	6	6,5
Normale	9	1:1:1:1:1:1:1:1:1	19	9,5
Bessel	9(7)	1:2:2:0:-2:0:2:-2:1	6	7,4

I numeri tra parentesi indicano il reale numero di altoparlanti richiesti quando uno o più coefficienti di pilotaggio è 0.

me in tutte le cose, le migliorate prestazioni di direttività dovranno essere ottenute a scapito della potenza irradiata. Le esatte proporzioni con cui vanno applicati i segnali agli altoparlanti del pannello, sono basate sulle cosiddette *funzioni di Bessel*, e i pannelli nei quali gli altoparlanti sono collegati tra loro secondo queste funzioni vengono chiamati *pannelli di Bessel* (figura 1).

## Guadagno di un pannello di Bessel

Il guadagno di un pannello nel quale sono stati montati  $n$  altoparlanti è dato da

$$G = 10 \log \frac{P_n}{P_1}$$

dove  $P_n$  indica la potenza massima irradiata dal pannello e  $P_1$  la potenza massima irradiata da un solo altoparlante. In un pannello di Bessel, la potenza  $P_n$  non è grande come quella fornita da un analogo pannello nel quale tutti gli altoparlanti sono collegati in parallelo. Il pannello di Bessel ha però il vantaggio di irradiare uno spettro di frequenza più uniforme. Quest'ultima caratteristica si ricava dalla *tabella 1* e dai diagrammi polari riportati in *figura 3*.

Se si desidera concentrare il suono in senso verticale, allora converrà sistemare tre pannelli di Bessel, (per esempio, come quello riportato in *figura 1*, uno sopra l'altro. Questa disposizione è indicata in *figura 4*. Quando invece si desidera una *distribuzione semisferica*

del suono (e cioè omnidirezionale sia in senso verticale che in senso orizzontale) allora occorrerà ricorrere alla struttura di *figura 5* dove si vede che con i coefficienti di Bessel vengono pilotati sia gli altoparlanti disposti in senso orizzontale sia quelli disposti in senso verticale. Nella *figura 6* si può vedere la realizzazione pratica della disposizione dei pannelli indicata in *figura 5*.

## Un esempio pratico

È stato già presentato nell'articolo al quale abbiamo fatto più sopra menzione ma per comodità di chi s'imbatterà per la prima volta con questo sistema, crediamo opportuno ripeterlo.

Si tratta di un pannello di Bessel a cinque altoparlanti (*figura 2*). Tralasciamo la trattazione matematica che ha portato a stabilire il valore esatto dei coefficienti di Bessel e che però possiamo fornire a richiesta. Questi coefficienti corrispondono in pratica ai *differenti livelli* di segnale applicati agli altoparlanti del pannello.

Con riferimento alla *figura 2a* le lettere A, B, C, D e E indicano gli altoparlanti del pannello, 1 indica la distanza che deve intercorrere tra un altoparlante e l'altro; questa deve essere la più ridotta possibile compatibilmente con la cornice dell'altoparlante e lo spessore del pannello (baffle). I coefficienti richiesti da questi pannelli a 5 altoparlanti sono i seguenti:

$$A : B : C : D : E = 1 : 2 : 2 : -2 : 1 \quad 1)$$

Ciò significa che, posto 1 il livello del segnale che dovrà essere applicato agli altoparlanti A e E, il livello del segnale che dovrà essere applicato agli altoparlanti B e C dovrà essere doppio, e quello applicato all'altoparlante D dovrà anch'esso essere doppio ma con fase (o direzione) *invertita*. L'attuazione pratica dei coefficienti della 1) si può vedere nella *figura 2b*. I coefficienti 1 e 2 sono stati ottenuti mediante collegamento serie o parallelo degli altoparlanti; il coefficiente di segno negativo si è invece ottenuto *invertendo la polarità* del segnale applicato a questo altoparlante.

Le *figure 2b* e *2c* indicano inoltre che i coefficienti riportati possono essere realizzati mediante due tipi di collegamento degli altoparlanti. La scelta dell'uno piuttosto che dell'altro dipenderà esclusivamente dal valore dell'impedenza di uscita dell'amplificatore di potenza utilizzato.

**L**a General Instrument, Computer Products Division, comunica la disponibilità di una linea completa di tastiere standard a tecnologia allo stato solido ed elettromeccanica. Fanno parte di questa linea le tastiere compatibili al personal computer IBM 3278, VT 100, viewdata, editing.

Tastiere e varie opzioni di linguaggio sono disponibili da stock.

Questa linea moderna è caratterizzata da un design ergonomico con assenza di manutenzione. La ingegnerizzazione e la produzione è completamente europea. Cappucci a spazio multiplo non fissi con tasti a corsa lineare per 100 milioni di operazioni sono le caratteristiche della linea dello stato solido.



# LE VANTAGGIOSE PROPOSTE ABBONAMENTO.



Ogni rivista JCE è "leader" indiscusso nel settore specifico, grazie alla ultra venticinquennale tradizione di serietà editoriale.

**Sperimentare** è la più fantasiosa rivista italiana per gli amatori e gli specialisti di elettronica nei più svariati campi, la rivista presenta degli articoli dedicati al personal computer con particolare riguardo al più diffuso di essi: Il Sinclair. Una vera e propria miniera di "idee per chi ama far da sé".

**Selezione di Tecniche elettroniche** è da decenni la più apprezzata e diffusa rivista italiana di elettronica che risponde mensilmente alle esigenze di chi opera nei settori audio, video, digitale, strumentazione, microprocessori, comunicazioni. Dal 1984 si caratterizzerà di più come raccolta del meglio pubblicato sulla stampa tecnica internazionale.

**Electronic Games** l'ultima nata delle riviste JCE. È l'edizione italiana della prima e più diffusa rivista americana di Giochi Elettronici. La rivista a soli pochi mesi dall'uscita è già largamente affermata presso il folto pubblico di appassionati di "Videogames".

**Millecanali** la prima rivista italiana di broadcast, creò fin dal primo numero scalpore ed interesse. Oggi, grazie alla sua indiscussa professionalità, è la rivista che "fa opinione" nell'affascinante mondo delle radio e televisioni.

**Il Cinescopio** la rivista che tratta mensilmente i problemi dell'assistenza radio TV e dell'antennistica. Un vero strumento di lavoro per i radioteleparatori, dai quali è largamente apprezzata.

## Abbonamento annuo a SINGOLE riviste

<input type="checkbox"/> <b>SPERIMENTARE</b>	L. 28.000 anziché L. <del>35.000</del>
<input type="checkbox"/> <b>SELEZIONE</b>	L. 29.000 anziché L. <del>35.000</del>
<input type="checkbox"/> <b>CINESCOPIO</b>	L. 31.000 anziché L. <del>38.500</del>
<input type="checkbox"/> <b>MILLECANALI</b>	L. 32.000 anziché L. <del>38.500</del>
<input type="checkbox"/> <b>ELECTRONIC GAMES</b>	L. 24.000 anziché L. <del>30.000</del>

## Abbonamento annuo a DUE riviste

Ulteriore sconto di **L. 2.000** sulla somma dei prezzi di abbonamento delle singole riviste.

(es.: **SP\* + SE\***) L. 57.000 - L. 2.000 = L. 55.000

## Abbonamento annuo a TRE riviste

Ulteriore sconto di **L. 4.000** sulla somma dei prezzi di abbonamento sulle singole riviste.

(es.: **SP + SE + CN\***) L. 88.000 - L. 4.000 = L. 84.000

## Abbonamento annuo a QUATTRO riviste

Ulteriore sconto di **L. 8.000** sulla somma dei prezzi di abbonamento sulle singole riviste.

(es.: **SP + SE + CN + MC\***) L. 120.000 -  
L. 8.000 = L. 112.000

## Abbonamento annuo a tutte e CINQUE le riviste

Ulteriore sconto di **L. 10.000** sulla somma dei prezzi di abbonamento sulle singole riviste.

(es.: **SP + SE + CN + MC + EG\***) L. 144.000 -  
L. 10.000 = L. 134.000

## LEGENDA:

SP = SPERIMENTARE, SE = SELEZIONE, CN = CINESCOPIO,  
MC = MILLECANALI, EG = ELECTRONIC GAMES

Per abbonarsi, effettuare i versamenti sul ccp n. 315275 intestato a JCE, Via dei Lavoratori, 124 - 20092 Cinisello Balsamo (MI) oppure inviare un vaglia o assegno postale al nostro ufficio abbonamenti, indicando anche il mese da cui l'abbonamento dovrà decorrere.



# TESTER PER CIRCUITI INTEGRATI CMOS

di Friederich Bayer - Parte prima

Questo strumento permette di controllare il corretto funzionamento di quasi tutti i circuiti integrati CMOS e costituisce un'economica, ma valida, alternativa rispetto a molti tester per c.i. assai più complessi.

**P**er il controllo dei circuiti integrati esiste attualmente sul mercato un gran numero di apparecchiature; il loro prezzo però è troppo elevato e ne impedisce spesso un'applicazione generalizzata. Il tester presentato in questo articolo potrà essere costruito facilmente ed ha un prezzo contenuto, pur essendo in grado di eseguire quasi tutte le prove che occorre effettuare per controllare il corretto funzionamento dei circuiti integrati CMOS.

## Prova per confronto

Un circuito integrato di riferimento viene messo a confronto piedino per piedino con il campione in prova, in modo da verificare l'equivalenza tra i due componenti. In caso di uguaglianza, il circuito sottoporrà i campioni a configurazioni di prova sempre diverse, mentre in caso di disparità verrà indicata una situazione di errore ed anche, a seconda del tipo di funzionamento, la localizzazione dell'errore medesimo (numero del piedino). Viene inoltre misurata la corrente di entrambi i piedini di alimentazione: la corrente del campione in prova viene sottratta da quella del campione di riferimento e quando la differenza supera un valore limite prefissato, verrà data ancora un'indicazione di errore.

La figura 1 mostra il principio secondo il quale viene eseguita la prova di una porta NAND CMOS con due ingressi. La resistenza d'ingresso molto elevata delle porte CMOS non produce una caduta di tensione apprezzabile ai capi dei resistori di carico R, perciò sarà possibile considerare, con buona approssimazione, la configurazione di prova direttamente collegata agli ingressi delle porte OR-esclusivo 1 e 3. Le uscite del circuito integrato di riferimento e di quello in prova hanno tuttavia un'impedenza sufficientemente bassa e perciò il potenziale agli ingressi della porta OR-esclusivo non ha un

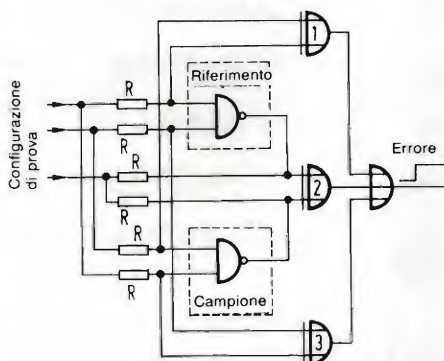


Fig. 1. Schema di principio del modo in cui avviene il controllo di un circuito integrato, che in questo caso è una porta NAND a due ingressi.

valore molto diverso da quello a circuito aperto, nonostante la presenza dei resistori di carico. Fintanto che esiste uguaglianza tra campione in prova e componente di riferimento, tutte le porte OR-esclusivo ed il risultato della somma effettuata nella porta OR sono a livello logico "basso" ("0") qualunque sia la configurazione di prova.

Poiché i circuiti d'ingresso sono uguali a quelli d'uscita, non sarà necessario fare una differenza tra i diversi circuiti integrati, per quanto riguarda i collegamenti ai piedini. Un ulteriore vantaggio dei CMOS consiste nel cosiddetto "corner pining": la tensione di alimentazione è sempre collegata a due piedini disposti secondo una diagonale; la tensione "V<sub>ss</sub>" sarà sempre applicata al piedino 7 (8) e la tensione "V<sub>DD</sub>" sarà applicata al piedino 14 (16). Da questa regola si scostano soltanto i buffer 4049, 4050 ed i loro predecessori 4009 e 4010, nei quali "V<sub>DD</sub>" è collegata al piedino 1. Il circuito di questo tester tiene conto di questa eccezione. Un'altra eccezione è il 4045, nel quale "V<sub>DD</sub>" è applicata al piedino 3 e "V<sub>ss</sub>" al piedino 14: questo circuito non potrà essere provato con il tester.

Il riconoscimento e la commutazione della tensione di alimentazione positi-

va tra i circuiti integrati a 14 piedini e quelli a 16 piedini avvengono automaticamente. Saranno perciò necessari soltanto due zoccoli a 16 piedini nei quali potranno essere inseriti circuiti integrati a 16 ed a 14 piedini.

## Come avviene la prova

Affinché possano essere soddisfatti tutti i requisiti, ogni piedino del campione in prova dovrà essere messo a confronto con ciascuno degli altri in qualsiasi combinazione. Il modo più semplice per ottenere ciò è di utilizzare un contatore binario, ma con frequenze differenti applicate ai diversi piedini.

Esperimenti hanno dimostrato che quasi tutti i circuiti integrati di tipo combinatorio (porte logiche, circuiti multiplex, sommatore, eccetera) possono essere controllati con una siffatta configurazione di prova; i circuiti integrati sequenziali (contatori, registri a scorrimento, eccetera) danno invece luogo a qualche difficoltà. Ciò è dovuto al fatto che un circuito di tipo sincrono varierà contemporaneamente lo stato di parecchi piedini e, se le sensibilità d'ingresso sono diverse (Cin collegato con il resistore di carico), i fianchi dei segnali agli ingressi di conteggio positivi e negativi potranno interferire tra loro in maniera talmente sfavorevole da non garantire il medesimo comportamento da parte di tutti i contatori.

Dovrà essere perciò generata una configurazione di prova che, analogamente a quanto avviene con il codice Gray, modifichi un solo bit ad ogni permutazione. Questo scopo viene ottenuto mediante un circuito "latch" indirizzabile con il quale, ad ogni impulso di clock, verranno fatti avanzare di un passo sia il registro a scorrimento che il contatore degli indirizzi.

Osservando il diagramma di figura 2 è possibile notare che la forma del segnale su ciascuna uscita del latch corrisponde al segnale d'ingresso prolungato di 4 volte, mentre l'impulso dell'uscita Q<sub>n</sub> è successivo a quello dell'uscita Q<sub>n+1</sub>.

Nel controllo di contatori a stadi multipli, o di registri a scorrimento, verrà emesso, nel caso più favorevole, un impulso di reset dopo n impulsi di clock (n = numero delle celle del registro a scorrimento); gli stadi a posizio-

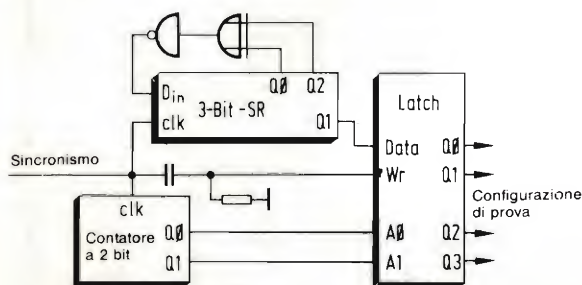


ne più elevata non potranno perciò essere controllati. Questo inconveniente può essere evitato collegando a massa i piedini di reset del circuito integrato di riferimento e di quello in prova. Un comparatore a 4 bit confronta gli indirizzi del latch con un numero programmabile (numero del piedino di reset) ed in caso di uguaglianza pone a "0" gli ingressi dei dati del latch.

### Un registro a scorrimento produce la configurazione di prova primaria

IC14 è un registro a scorrimento a 18 stadi (4006), con il quale viene prodotta la configurazione di prova primaria (figura 3). Come descritto in precedenza, il numero minimo di registri dovrà essere 15, in modo che sia possibile ottenere tutte le combinazioni necessarie. Nel registro a scorrimento sono tuttavia disponibili soltanto le uscite 4, 5, 8, 9, 10, 12, 13, 14, 16, 17 e 18 (secondo lo schema dei collegamenti). Il bit 15 manca e, nel caso di un registro a scorrimento a 16 stadi, la retroazione (1, 3, 12, 16) necessaria per la massima durata del ciclo sarebbe troppo complicata e comunque non completamente disponibile. Per un registro a scorrimento con 17 stadi, la retroazione è (5 12) 17, per 18 bit è (7 11) 18 e per 18 bit.

IC14 viene collegato come registro a scorrimento a 17 stadi con durata di ciclo pari a  $2^{17} - 1 = 131.071$  (retroazione 12 e 17).



In un ciclo completo, la combinazione di piedini "tutti alti" per i 14 punti di prova viene cioè prodotta 7 volte e qualsiasi altra combinazione viene prodotta 8 volte. Poiché il registro a scorrimento non ha un ingresso di reset, durante i primi 100 ms dopo il collegamento dell'alimentazione (circuito ritardatore RC da 100 kΩ/1 μF ed interruttore S1 in posizione "RUN"), viene posto a livello "0" l'ingresso dati seriali, producendo così l'azzeramento del circuito.

Il contatore IC11 viene fatto avanzare in sincronismo con il registro a scorrimento; questo contatore produce gli indirizzi 0...15 per i due latch indirizzabili da 8 bit (IC3 ed IC4). Viene contemporaneamente effettuato un confronto tra gli indirizzi contenuti nel comparatore da 2 x 4 bit (IC12) ed il numero binario impostato con il commutatore di preselezione. In caso di equivalenza, viene posto a livello "0" uno degli ingressi (piedino 4 di IC15) della porta NOR. All'altro ingresso di questa porta NOR verrà collegato l'ottavo bit del registro a scorrimento; questo ottavo bit, viene anche applicato al pilota del LED "prova". Se il registro a scorrimento dovesse assumere, a causa di un difetto, la configurazione "tutti i bit a livello alto", ossia se dovesse verificarsi un "inceppamento", il LED "prova" si spegnerebbe.

Nonostante siano necessari soltanto 14 indirizzi per i latch, per motivi di semplicità il contatore è collegato in modo asincrono, e ciò aumenta la dura-

ta della prova del 6,6 %. Il fronte di commutazione negativo del segnale di clock del registro a scorrimento viene differenziato in modo da formare l'impulso di scrittura (circa 600 ns). L'uscita di ciascun latch pilota, tramite resistori in serie (24 x 10 kΩ), uno dei piedini dell'integrato in prova ed uno dei piedini di quello di riferimento, ovviamente il medesimo piedino per entrambi. Il valore dei resistori dipende dalla frequenza di clock e dal "fan out" del latch, nonché dalla massima corrente d'uscita del campione in prova. I resistori formano, insieme con la capacità d'ingresso dell'integrato e quelle proprie del circuito, un filtro passa-basso che può provocare notevoli variazioni della fase.

L'addizione delle uscite delle porte OR-esclusivo avviene mediante i circuiti integrati multifunzione IC5 (collegato come porta OR ad 8 ingressi) ed IC6, che è collegato come OR/NAND/uscita a tre stati. Se l'uscita di una delle porte OR-esclusivo va a livello "1", cioè se il campione in esame è diverso da quello di riferimento, viene acceso il corrispondente LED, mentre l'uscita J di IC6 passa al livello logico "0". In questo modo viene provocata la commutazione del flip flop R/S, che pilota il LED di "errore" oppure viene fermato il funzionamento del generatore di clock (a seconda della posizione del commutatore RUN/STOP).

Il trigger di Schmitt IC10, collegato come oscillatore (piedini 4...6), oscilla a circa 400 kHz. Di conseguenza viene ottenuta una durata massima della prova che può essere calcolata con la seguente formula:

$$T_{Test} = \frac{1}{f_{clk}} \cdot (2^{17} - 1) \cdot 16 \approx 5,24 \text{ s}$$

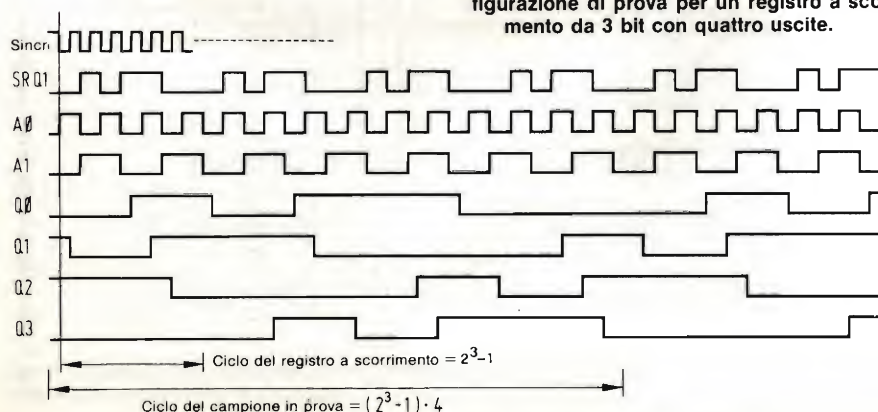
Durante questo tempo viene controllato completamente e con sicurezza (8 volte di seguito) un circuito integrato di tipo combinatorio. Nei circuiti integrati sequenziali, la frequenza di clock a ciascun piedino potrà essere calcolata con la seguente formula:

$$f_{Pin i} = \frac{2^{17-2}}{T_{Test}} \approx 6,25 \text{ kHz};$$

Un contatore binario a 14 stadi eseguirà, per esempio, un intero ciclo di conteggio in 2,6 s ( $2^{17-2}$ ) è il totale dei fronti di commutazione positivi e negativi durante un ciclo completo di conteggio).

Osservando il diagramma di figura 4, è possibile constatare che contatori e registri a scorrimento vengono fatti avanzare in sincronismo, mentre l'in-

Fig. 2. Come avviene la generazione della configurazione di prova per un registro a scorrimento da 3 bit con quattro uscite.





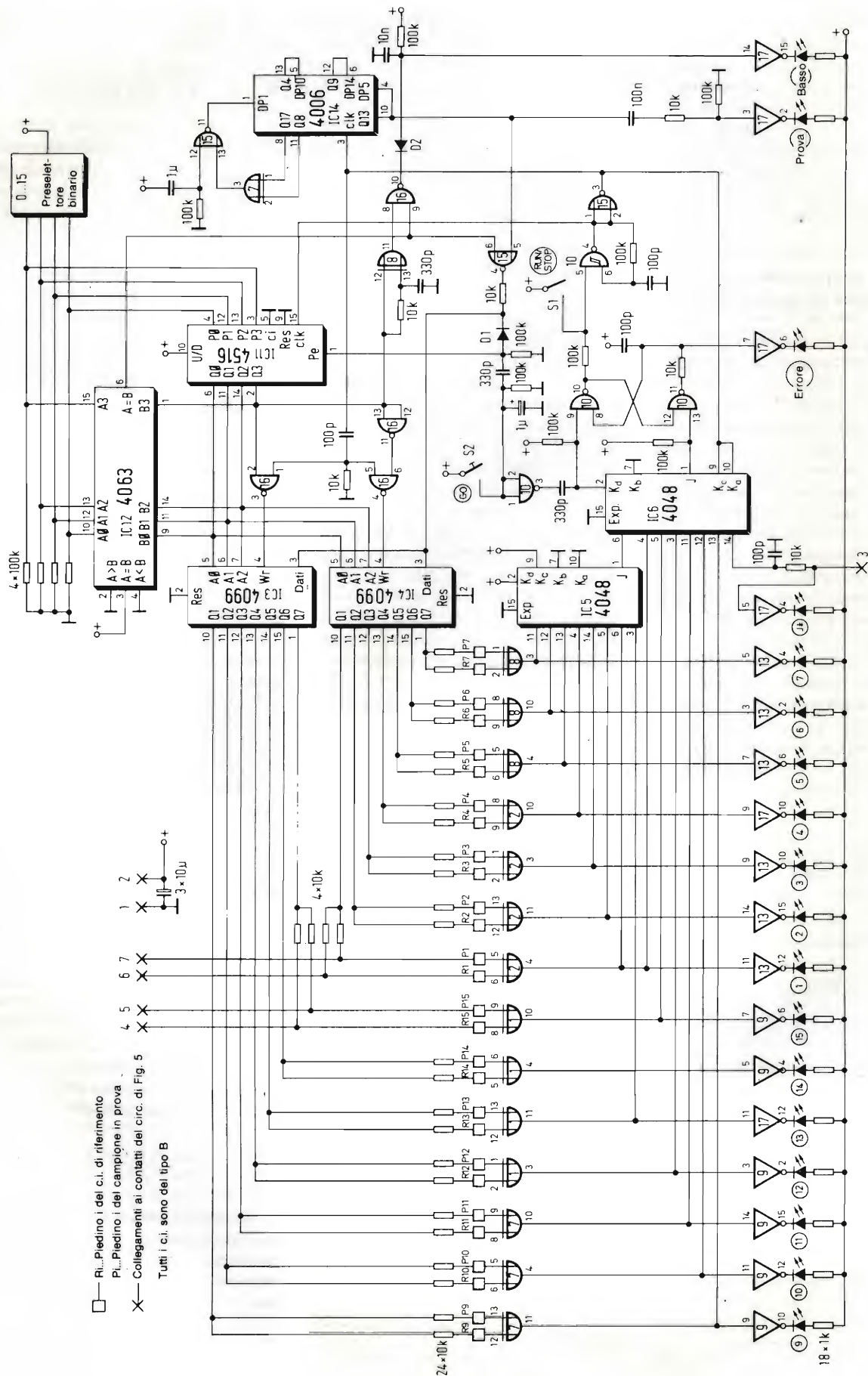
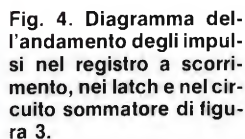


Fig. 3. Parte digitale del tester per circuiti integrati CMOS. I punti 1...7, contrassegnati da una crocetta, servono alla commutazione 14/16 piedini.



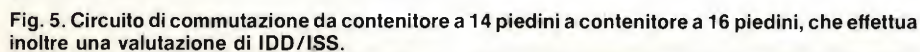


Quando l'interruttore "RUN/STOP" è aperto, viene interrotta la funzione di riconoscimento degli errori da parte dell'oscillatore, vengono bloccati il contatore ed il registro a scorrimento (il LED "prova" si spegne), mentre si accendono i LED relativi ai punti in cui i livelli del campione di riferimento e di quello in prova non corri-

Anche i fronti positivi applicati al pulsante "GO" vengono differenziati, in modo da produrre un impulso di preset per il contatore degli indirizzi; viene anche applicato, tramite il diodo D1, un livello "1" all'ingresso dati del latch. Ciò è necessario per il seguente motivo: quando dovranno essere confrontati tra loro due contatori, sarà necessario che entrambi partano dal medesimo stato iniziale. E' possibile ottenere questo scopo (se non è disponibile un ingresso di preset) soltanto tramite

L'amplificatore operazionale IC19 (piedini 8...10) di *figura 5* funziona come comparatore e confronta la caduta di tensione ai capi del resistore da 100 k $\Omega$  (collegato in parallelo ad un condensatore da 100 pF) con la tensione di riferimento ricavata dalla tensione di alimentazione ( $V_b$  - 5%). Se nel piedino 16 del circuito integrato di riferimento passano più di circa 7,5  $\mu$ A, l'uscita dell'amplificatore operazionale è a livello basso e scarica, tramite il diodo D3, il condensatore da 0,1  $\mu$ F. Di conseguenza, anche l'uscita del successivo operazionale andrà a livello basso e si accenderà il LED "16 piedini"; l'interruttore analogico IC18 chiuderà i contatti X - X0 ed Y - Y0.

(continua)





# MULTIMETRO DIGITALE

di Lutz Findeisen, Hans Wollner

Per utilizzare nel migliore dei modi uno dei millivoltmetri digitali con display LCD attualmente disponibili in commercio in forma di moduli premontati o da montare, questo articolo presenta un circuito di adattamento per la misura di cinque grandezze elettriche fondamentali: tensione continua ed alternata, corrente continua ed alternata e resistenza. Sono indicati i valori efficaci della corrente e della tensione alternata, anche se la forma d'onda non è sinusoidale. È anche possibile effettuare misure in dB.

**P**er la costruzione di questo strumento è possibile utilizzare un millivoltmetro digitale di qualsiasi tipo, che abbia una tensione a fondo scala di 200 mV, una resistenza d'ingresso di 1000 MΩ o più ed un display LCD. Questo millivoltmetro è disegnato nella parte superiore dello schema a blocchi di figura 1.

Mediante un opportuno contatto del commutatore di portata potrà essere variata la posizione del punto decimale. I segmenti del segno che precedono la prima cifra potranno essere utilizzati per indicare le tensioni positive, negative od alternate (mediante un doppio punto lampeggiante).

La caratteristica più interessante di questo strumento è la possibilità di misurare il valore efficace di tensioni alternate non sinusoidali, grazie al componente rettificatore a valore efficace AD 636.

## Misura delle tensioni e delle correnti continue

Le tensioni continue possono essere misurate con il millivoltmetro digitale semplicemente applicando ad esso la grandezza da misurare, tramite un partitore di tensione. Infatti, a causa dell'elevatissima resistenza d'ingresso dello strumento, non è possibile abbassare la sensibilità mediante resistori in serie come avviene per gli strumenti ad indice. Il partitore d'ingresso avrà quindi l'effetto opposto di quello dei resistori in serie: abbasserà l'impedenza d'ingresso anziché aumentarla. Nello schema parziale di figura 2 è rappresentato il partitore d'ingresso, collegato in parallelo alle due bocche d'ingresso dello strumento. La resistenza totale del partitore è di 10 MΩ (mentre la resistenza interna del millivoltmetro è, come già detto, di almeno 1000 MΩ): questa resistenza d'ingresso è però sufficientemente elevata per garantire che nella maggior parte delle misure il carico formato dallo strumento possa essere considerato trascurabile. Con un'impedenza d'ingresso maggiore, la misura risentirebbe delle correnti parassite nei resistori e perciò non sarebbe possibile garantire una sufficiente precisione.

Le correnti continue fino a 2 A posso-

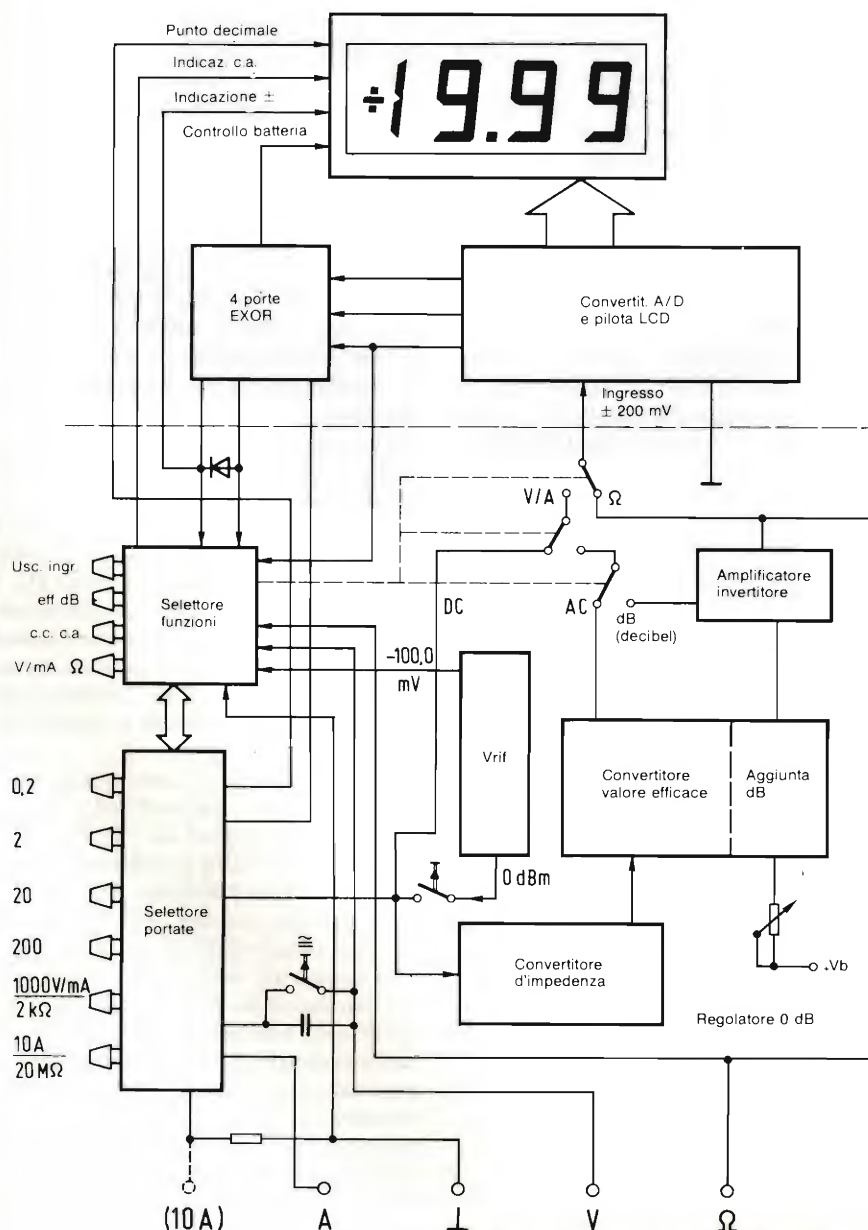
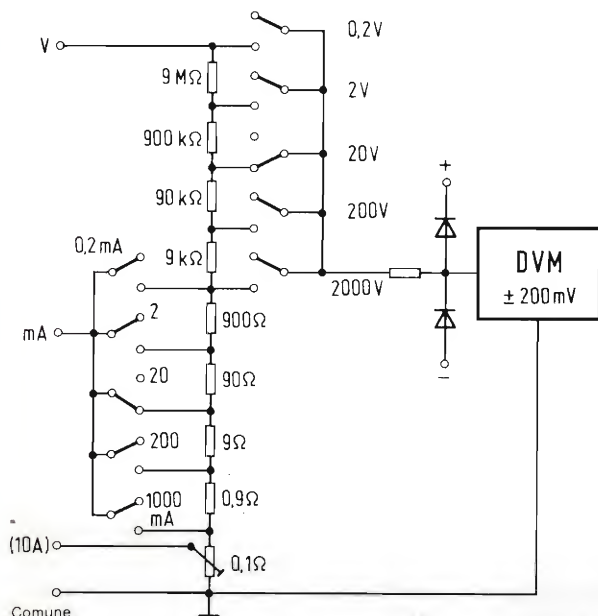


Fig. 1. Dal voltmetro digitale al multimetro: schema a blocchi dei gruppi funzionali necessari.





◀ Fig. 2. Partitore d'ingresso resistivo per la misura delle tensioni e delle correnti continue.

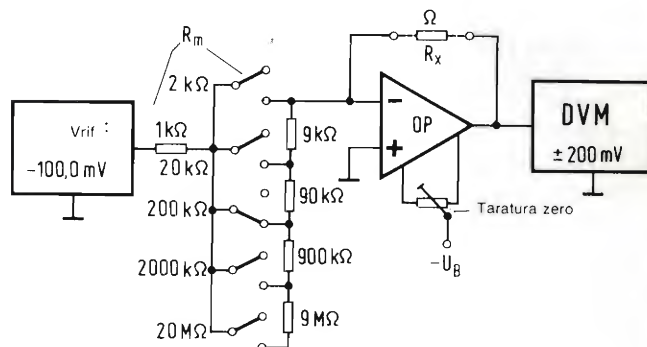


Fig. 3. La misura esatta delle resistenze viene garantita dal generatore di tensione costante e da un amplificatore operazionale.

no passare direttamente attraverso lo strumento, sviluppando la caduta di tensione occorrente per la misura ai capi dei quattro resistori di valore più basso del partitore. È possibile anche misurare correnti fino a 10 A, grazie al resistore shunt da 0,1  $\Omega$ , ultimo in basso della serie di resistori del partitore. Quando si debbano misurare tensioni superiori a 100 V, è necessario astenersi dal commutare sotto carico la portata dello strumento, per evitare la formazione di scintille ai contatti del commutatore.

### Misura delle resistenze

Per la misura delle resistenze, viene prodotta nel circuito una tensione di riferimento assolutamente costante. Per convertire il valore misurato in un livello in millivolt corrispondente alla resistenza e compreso nella portata di 200 mV dello strumento, esistono in realtà due diverse possibilità: utilizzare una corrente oppure una tensione costante. Un fattore che si oppone all'impiego di una corrente costante è la forte dipendenza dalla temperatura del generatore di corrente, che renderebbe necessario un complesso sistema di compensazione. Come è possibile osservare in figura 3, in questo strumento viene effettuata la misura della resistenza utilizzando un circuito di tipo ben collaudato ed in uso da molto tempo. Il valore resistivo viene ottenuto utilizzando la seguente formula:

$$V_A = V_{rif} \cdot \frac{R_x}{R_m}$$

che, applicata all'amplificatore operazionale invertente, permette di ottenere una tensione d'uscita  $V_A$  proporzionale alla resistenza  $R_x$  del resistore da misurare, che verrà indicata dal millivoltmetro digitale. Una caratteristica favorevole di questo circuito è che la tensione applicata ai capi del componente sotto misura non supera mai il valore massimo di 200 mV. Sarà perciò possibile misurare anche componenti collegati in un circuito senza dissaldarli, perchè la tensione di 200 mV è inferiore alla tensione di soglia di eventuali componenti a semiconduttore. Sono tecnicamente possibili anche portate ohmmetriche molto basse (200 m $\Omega$ ) o molto alte (20 M $\Omega$ ). In questo strumento sono state consapevolmente escluse entrambe queste due possibilità: la prima per non aumentare oltre il dovuto la corrente assorbita dal circuito e la seconda perchè cadrebbe nel campo delle

misure di isolamento piuttosto che in quello delle misure di resistenza.

### Misura del valore efficace delle tensioni alternate

In figura 4 è illustrato il funzionamento di massima di un circuito per la misura del valore efficace di tensioni alternate. Il componente AD 636, a causa della sua resistenza d'ingresso molto bassa, non può essere direttamente collegato al partitore d'ingresso, ma il collegamento dovrà essere fatto tramite un convertitore d'impedenza consistente nell'amplificatore operazionale che garantisce un'impedenza d'ingresso dell'ordine dei T $\Omega$  (tera = 10<sup>12</sup> elevato alla dodicesima potenza). Per comprendere i limiti di questo componente è necessario definire un importante concetto, cioè il fattore di cresta (C).

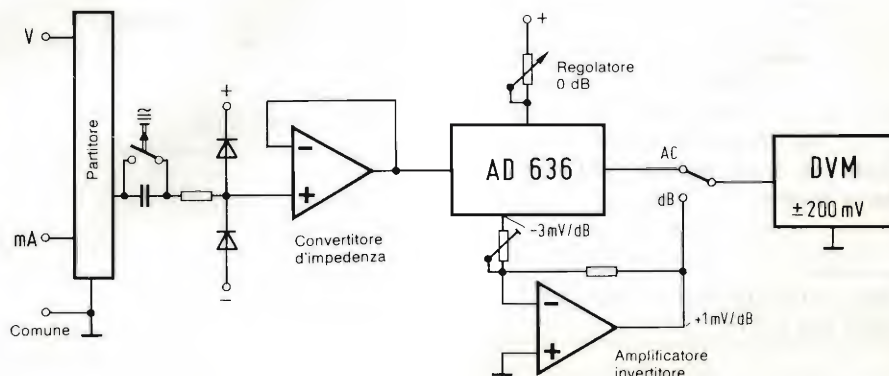


Fig. 4. Questo schema chiarisce il funzionamento della misura del valore efficace.



Viene definito fattore di cresta il rapporto tra il valore di picco ed il valore efficace di una grandezza periodica:

$$C = \frac{I_P}{I_{eff}} \quad \text{oppure} \quad C = \frac{V_P}{V_{eff}}$$

La maggior parte delle forme d'onda, come le tensioni sinusoidali o triangolari, hanno fattori di cresta relativamente piccoli. Onde di tipo impulsivo, come quelle presenti negli alimentatori a commutazione o nei circuiti digitali, hanno invece fattori di cresta molto elevati. Nel caso di onde ad impulsi rettangolari, esiste una semplice relazione tra rapporto impulso/pausa e fattore di cresta:

$$C = \frac{1}{\sqrt{\eta}}; \quad V_{eff} = V_P \cdot \sqrt{\eta}$$

$\eta$  (lettera greca "eta") è il rapporto impulso/pausa.

Il valore di  $\eta$  viene ottenuto dividendo la durata dell'impulso per la durata del periodo (durata dell'impulso più durata della pausa). Il convertitore d'impedenza illustrato in figura 4 potrà elaborare ottimamente impulsi positivi con ampiezza massima di 1,8 Vp. Il massimo fattore di cresta che sarà possibile misurare con l'indicazione di 200 mVeff sullo strumento digitale sarà perciò:

$$C = \frac{V_P}{V_{eff}} = \frac{1,8 \text{ V}}{0,2 \text{ V}} = 9$$

Questo è il valore massimo del fattore di cresta che può avere un'onda per poter essere misurata con questo circuito. Questa limitazione vale comunque soltanto per impulsi positivi, quando venga premuto il pulsante "~". In caso di rapporti impulso/pausa molto elevati, il disaccoppiamento capacitivo non potrebbe essere ulteriormente efficace: in questo caso, non sarà più nemmeno necessario premere questo pulsante. Il massimo fattore di cresta misurabile è limitato esclusivamente dall'aumento degli errori di misura dell'AD 636. Inoltre, quando viene premuto il pulsante "~", viene misurata anche la componente continua sovrapposta alla tensione alternata.

## Misura dei rapporti di tensioni alternate in dB

La misura in dB consiste nella definizione di un rapporto di tensioni, invece che di una tensione effettiva. Poiché l'AD 636 contiene anche un amplifica-

tore logaritmico, è possibile la misura di livelli in dB, con un campo di misura pari a 60 dB. Il valore di riferimento per il rapporto di tensione può essere liberamente predisposto, ma di solito questo valore è di 0,775 V, che corrisponde al livello di riferimento di 0 dBm. È necessario tenere presente che la misura in dB dipende dalla temperatura e dalla tensione di alimentazione, e perciò prima di ogni misura sarà necessario aggiustare il valore di riferimento mediante il potenziometro "0 dB".

## Schema completo dello strumento

Tutti gli elementi sinora descritti verranno uniti tra loro secondo lo schema illustrato in figura 5.

I resistori rappresentati con linee tratteggiate ed il fusibile da 16 A dovranno essere montati soltanto quando lo strumento dovrà essere predisposto anche per la portata di 10 A. Il ponticello tratteggiato, che unisce Ta2 ad S8 ha la seguente funzione: collegare direttamente, nelle portate di tensione

e corrente continua, il voltmetro digitale ad elevata resistenza d'ingresso al partitore d'ingresso; in questo modo avrà piena utilizzazione il circuito di azzeramento automatico dell'ICL 7106. Allo scopo di permettere una precisa compensazione dell'offset anche usando voltmetri di bassa resistenza interna, l'uscita (piedino 6) del convertitore d'impedenza (IC3), contraddistinta dalla sigla M1 sullo schema, dovrà essere collegata ad S8 mediante un ponticello separato.

I due resistori a strato metallico R21 ed R22, collegati al punto di misura M2, riducono il valore della tensione di riferimento (-100 mV) al livello necessario per la taratura a 0 dB (-77,5 mV). Con il pulsante Ta2 premuto, sarà possibile regolare la tensione a questo valore, mediante P7. Allo scopo potrà essere utilizzata anche una qualsiasi tensione d'ingresso. La funzione di IC7 garantisce che, nella misura in dB, venga sempre pilotato il terzo punto decimale, indipendentemente dalla posizione dei commutatori S1...S6. La massima precisione di misura che è possibile ottene-

### Caratteristiche tecniche dello strumento

Campo di variazione della tensione di alimentazione *:	da 7 a 12 V (valore tipico 6,5 V)
Corrente assorbita:	circa 3 mA
Campo di variazione della temperatura di esercizio:	da 5 a 35 °C
Display:	3 cifre e 1/2
Portata del millivoltmetro digitale:	da 0 a $\pm 199,9 \text{ mV}$

Misure possibili con il multimetro digitale	Errore massimo in % del valore misurato	Protezione sovraccarico	Resistenza d'ingresso d'ingresso
Tensione e corrente continua (6 portate) **:	$\pm 0,5\%$ + 1 cifra	1000 V	10 M $\Omega$
Tensione e corrente alternata (6 portate) ** Fino a 10 mV e 10 kHz Fino a 100 mV e 40 kHz Fino a 200 mV e 100 kHz Con fattore di cresta 6 ulteriore	$\pm 1\%$ + 5 cifre $\pm 0,5\%$	750 V	10 M $\Omega$
Decibel 7 mV - 300 mVeff Errore di temperatura Dipendenza dalla tensione di alimentazione	$\pm 0,5 \text{ dB}$ +0,5%°C ca. 1%V	750 V	10 M $\Omega$
Resistenza (5 portate)	$\pm 0,5\%$ + 1 cifra	100 V - (a circa 25 V interviene il fusibile da 32 mA!)	

\* Per migliorare la separazione galvanica con l'oggetto della misura, è consigliabile l'alimentazione a batteria. Il multimetro digitale dovrà funzionare alla normale temperatura ambiente (circa 20 °C). Se l'aria è molto umida, potranno aver luogo errori di misura di valore indefinito.

\*\* Nella misura delle correnti, la resistenza interna dello strumento corrisponde al valore dei resistori inseriti di volta in volta in parallelo (Rm).



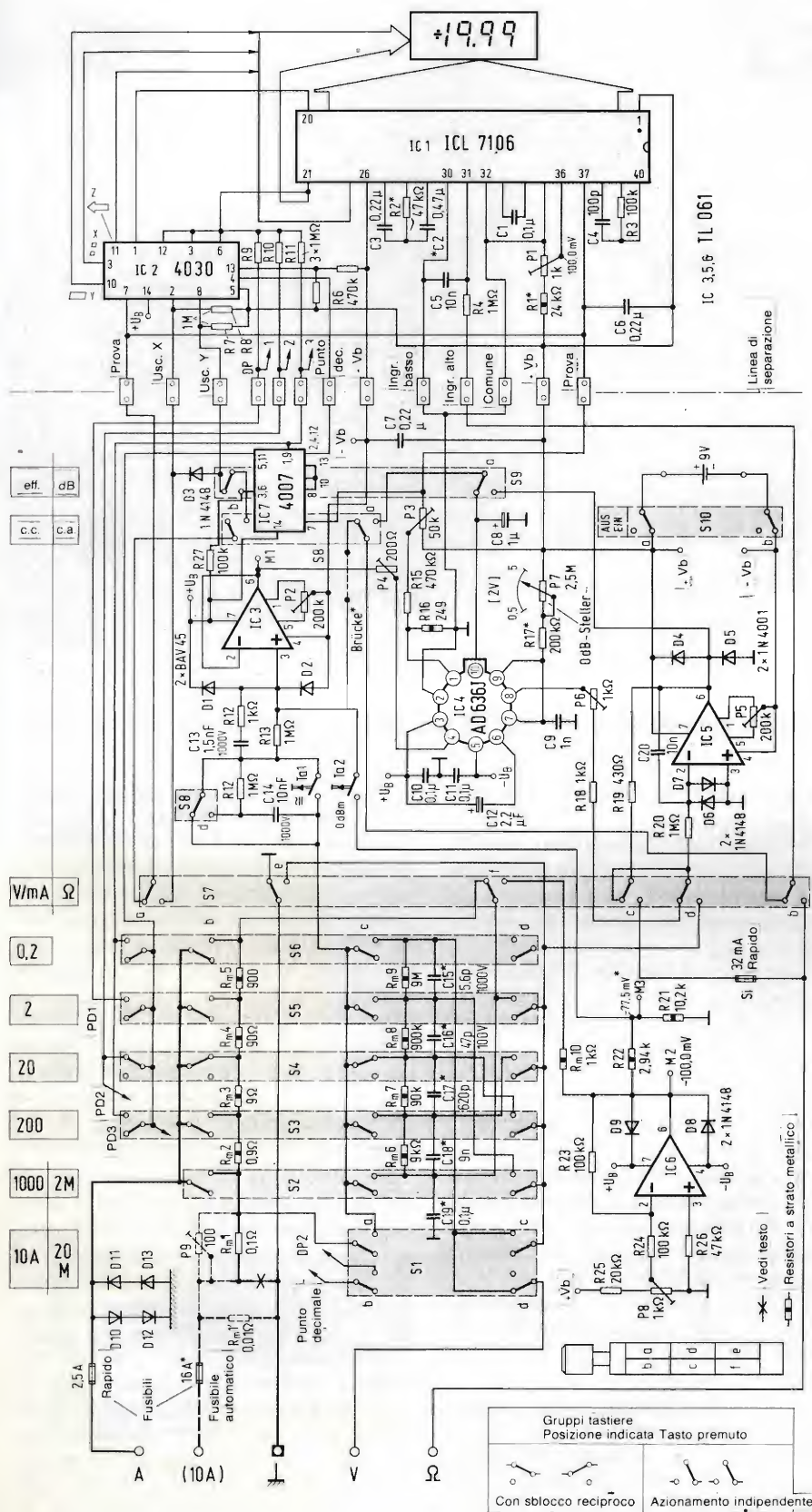


Fig. 5. Schema completo del multimetro digitale.

re nel campo dei dB, sarà di conseguenza pari a 0,1 dB.

## Costruzione dello strumento

Il multimetro digitale potrà essere montato sui due circuiti stampati la cui disposizione dei componenti è riportata in figura 6.

Sul lato rame del circuito stampato più grande (che contiene la maggior parte dei componenti) dovranno essere saldati sei ponticelli in treccia di rame isolata, che collegheranno tra loro i punti contrassegnati dalla medesima lettera (u...z). Questi ponticelli non sono visibili sul disegno di figura 6. Sempre sul lato rame dovranno essere montati i diodi D10 e D11 che fanno parte del circuito di protezione per le portate di misura delle correnti. Se nello strumento dovrà essere compresa la portata di 10 A, sarà necessario montare sul lato rame anche il fusibile automatico da 16 A. Per questa portata di misura, i cavi di collegamento ai puntali dovranno avere una sezione opportunamente maggiorata.

Sul disegno della disposizione dei componenti è possibile osservare che la tastiera del selettore d'ingresso è montata su un piccolo circuito stampato separato. Questa soluzione facilita i collegamenti ai commutatori e permette anche di mantenere le piste ad una distanza tale da non provocare scariche o scintille durante la misura di elevate correnti o tensioni. Questo circuito stampato dovrà essere montato con le piste di rame rivolte verso l'alto. Alle tre piazzole laterali di questa basetta dovrà essere saldata ad angolo retto una lastrina di sottile lamierino metallico che servirà da schermo contro l'induzione di disturbi durante le misure in c.a. Per avere la possibilità di sostituire in seguito i condensatori per la compensazione di frequenza (C16...C19), questi saranno montati all'esterno del lamierino di schermatura. Il lamierino servirà anche per il collegamento alla boccia d'ingresso "massa". Alle tre piazzole restanti sul lato frontale del circuito stampato dovranno essere saldati i fili per i collegamenti al circuito stampato principale. Sul circuito stampato piccolo dovranno essere montati anche quattro resistori del partitore d'ingresso.

Per evitare la formazione di correnti vaganti, che potrebbero rendere imprecisa la misura, il circuito stampato della sezione d'ingresso dovrà essere accuratamente ripulito dai residui di saldatura mediante un adatto solvente e poi



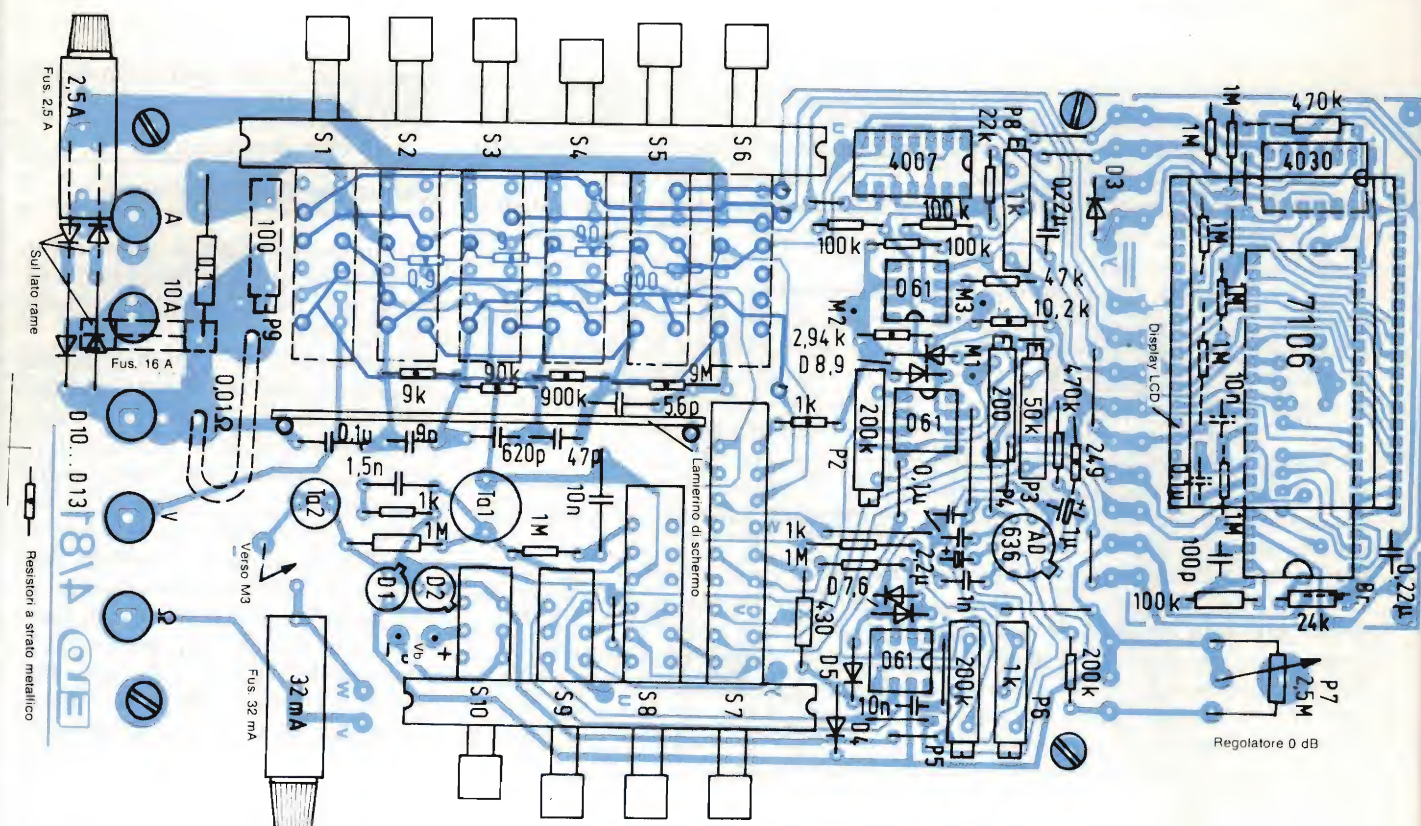


Fig. 6. Disposizione dei componenti sui circuiti stampati. Attenzione alla seconda basetta con il commutatore ed ai ponticelli sul lato non visibile.

verniciato con una lacca ad elevato isolamento.

### Taratura dello strumento

Prima di collegare la batteria di alimentazione, sarà opportuno effettuare un accurato controllo del montaggio.

Portare i cursori di tutti i potenziometri in posizione centrale ed infine collegare la batteria, misurando immediatamente la corrente assorbita, che dovrà essere di circa 3 mA. Per la taratura sarà necessario utilizzare uno strumento campione molto preciso. Con questo strumento dovrà essere misurata la tensione al piedino 36 di IC1 (100,0 mV esatti): questo valore verrà ottenuto regolando il potenziometro P1. Le successive operazioni di taratura dovranno seguire punto per punto il seguente ciclo, che dovrà essere ripetuto più volte fino ad ottenere i migliori risultati possibili:

1. Disporre S7 in posizione V/mA e cortocircuitare tra loro le bocche d'ingresso V e massa: il display dovrà indicare  $\pm$  zero.

2. Premere il tasto S6. Smontare il fusibile da 32 mA e posizionare S7 su "Ω". Collegare la boccola "V" al comune dell'alimentazione, per esempio ad S7 e collegare il punto di misura M1 alla boccola d'ingresso "Ω" e regolare P2

fino ad ottenere la cifra di 0 V sul display.

3. Premere il tasto S2 e regolare, con P8, l'indicazione a -100,0 mV. In questo caso, il segno “meno” non apparirà sul display; apparirà invece un doppio punto.

4. Rimontare il fusibile. Collegare un ponticello di cortocircuito tra le boccole "Ω" e massa. Portare l'indicazione del display a zero mediante P5.

5. Disporre S7 in posizione “V/mA”, S8 su “c.a.”, S9 su “eff.”. Regolare P3 fino ad ottenere un’indicazione di zero V, in modo che il doppio punto lampeggi.

6. All'ingresso per la misura delle tensioni (tra la boccola V e massa), collegare una pila (per esempio da 1,5 V) e

premere S5 (portata 2 V). Commutare ripetutamente S8 tra c.a. e c.c., regolando P4 fino ad ottenere la medesima indicazione nelle due posizioni. Durante questa operazione, il tasto Tal dovrà rimanere premuto, oppure i suoi contatti dovranno essere cortocircuitati mediante un ponticello.

7. Portare S9 in posizione “dB” (S8 su “c.a.”). Predisporre il livello di +0 dB mediante il regolatore “0 dB”. Premere

mediante il regolatore 0 dB. Premere il tasto S4 (portata 20 V) e regolare l'indicazione del display a -20,0 dB mediante P6.

8. Staccare la pila da 1,5 V e portare S9 in posizione "eff". Mantenere premuto il pulsante Ta2. Il display indicherà il

valore 775, indipendentemente dalla portata di misura o dalla posizione del punto decimale. Se l'indicazione dovesse differire di un paio di unità da questo valore (per esempio "777"), sarà quasi sempre sufficiente saldare un resistore da 100 kΩ (misurare con precisione questo valore) in parallelo ad R21 oppure ad R22.

Dopo circa 100 ore di funzionamento continuo, lo strumento dovrà essere nuovamente e completamente tarato.

## Compensazione di frequenza

Per verificare la compensazione di frequenza (precisione dell'indicazione con la variazione della frequenza), esistono due possibilità: misurare i valori necessari per C16...C19 mediante un capacimetro, oppure montare condensatori con valore approssimato e verificare l'andamento dell'indicazione sul display variando la frequenza con livello della tensione d'ingresso costante (mediante un generatore di segnali sinusoidali); la frequenza dovrà essere variata in continuità tra 10 Hz e 100 kHz. Sarà opportuno iniziare con la messa a punto della portata di 1000 V (S2), variando il valore di C19 fino ad ottenere una risposta lineare con la variazione della frequenza; proseguire con la portata immediatamente inferiore (S3 e C18) e così via.



# A voi la scelta:

**NOVITÀ**



## PM 5503 per un servizio a domicilio senza problemi

- Il generatore di barre ideale, compatto ed economico, per servizio a domicilio.
- Portanti RF da 189 a 205 oppure da 567 a 615 MHz.
- Cinque pattern di prova selezionabili da tastiera (rosso, scala dei grigi, reticolo, barre colore e bianco 100% con burst) per la messa a punto dei televisori.
- Uscita video per monitor.
- Nota da 1 KHz per controllo del suono.
- Dimensioni di un'autoradio.

## PM 5519 per un'eccellente assistenza in laboratorio

- Più di 20 combinazioni di pattern colore e bianco e nero.
- Uscita video regolabile da 0 a 1.5 V per sistemi CCTV.
- Range di frequenza: IF, bande I, III, IV e V.
- Sintonia elettronica con preselezione di sei canali.
- Versioni disponibili: G, I, M, N PAL e RTMA-NTSC.
- PM 5519 GX: versione stereo.



**Da Philips, naturalmente.**



Philips S.p.A. - Divisione S & I  
Strumentazione & Progetti Industriali  
Viale Elvezia, 2 - 20052 Monza  
Tel. (039) 3635.240/8/9  
Telex 333343

Filiali: **Bologna** (051) 493.046  
**Cagliari** (070) 666.740  
**Padova** (049) 632.766  
**Palermo** (091) 527.477  
**Roma** (06) 3302.344  
**Torino** (011) 21.64.121

**PHILIPS**



# GENERATORE DI SEGNALI VIDEO PER LABORATORIO ED ASSISTENZA TV

di Hubert Reelsen - Parte quarta

I resistori necessari per formare le componenti Y, U e V del segnale FBAS dovranno essere montati in posizione verticale sul circuito stampato. I terminali superiori verranno collegati tra loro mediante uno spezzone di filo nudo (figura 15). Fi1 ed Fi2 sono i filtri della frequenza portante da 10,7 MHz, con intervallo tra i piedini di 10 mm. Il contrassegno colorato di Fi1 è rosa, quello di Fi2 è blu. La loro frequenza di risonanza viene ridotta a 4,43 MHz mediante condensatori collegati esternamente in parallelo. Esiste la possibilità di montare per errore Fi1 invertito, in quanto il componente ha tre piedini simmetrici da ciascun lato. L'errore potrà essere rilevato mediante un ohmetro, in quanto in caso di collegamento errato il circuito risulterà chiuso da una parte soltanto.

Sul circuito stampato principale, parecchi componenti dovranno essere collegati tra loro mediante cavetti schermati: la calza di schermo di questi cavetti dovrà essere collegata a massa ad una sola delle due estremità (figura 16). L'impiego di conduttori non schermati potrebbe avere come conseguenza la captazione di segnali video.

La tastiera (disposizione dei componenti in figura 17 nella terza parte)

Nelle prime tre parti di questo articolo sono stati pubblicati gli schemi ed i circuiti stampati necessari per la costruzione dello strumento. Nella quarta parte verranno descritti i procedimenti di taratura ed un circuito supplementare generatore di segnale "multiburst".

dovrà essere opportunamente fissata, mediante distanziali, dietro al pannello frontale dello strumento, ad una distanza di 5 mm. I tasti ed i LED dovranno sporgere verso l'esterno attraverso adatte forature e cave praticate sul pannello.

## Taratura

Per eseguire la taratura del generatore di barre di colore sarà indispensabile utilizzare un oscilloscopio con larghezza di banda di almeno 10 MHz munito di puntale a capacità ridotta (1:10; 10 MΩ/10 pF). La misura, specialmente alla frequenza della portante colore, potrà dare risultati alterati anche del 50 %, a causa dell'elevata capacità del puntale 1:1. Nei semplici puntali autocostituiti, la somma delle capacità d'ingresso con la capacità del

cavo, raggiunge talvolta valori fino a 100 pF.

La frequenza dell'oscillatore di clock potrà essere misurata mediante un frequenzimetro digitale, regolando C5 in modo da ottenere una frequenza di 10.000 kHz precisi. Il frequenzimetro digitale dovrà essere collegato al piedino 1 di IC1. La frequenza esatta della portante colore (4,433619 MHz) potrà essere regolata mediante C17. In quest'ultimo caso, il frequenzimetro digitale dovrà essere collegato all'emettitore di T14 o di T13, dove è possibile anche misurare l'ampiezza della portante; quest'ultima potrà essere tarata al suo valore massimo mediante il nucleo regolabile di Fi1. Fi2 dovrà essere regolato in modo che la separazione tra le barre di colore sia più netta possibile. Questo verrà indicato anche dalla separazione senza interruzioni tra gli oscillogrammi dei segnali relativi alle singole barre di colore. Dovrà poi essere regolata la corretta ampiezza della componente colore, portando alla medesima ampiezza il livello del bianco ed il valore di picco del segnale della barra del colore giallo (figura 18).

P1 e P2 regolano la soppressione della portante colore. Poichè, a causa dell'impedenza di carico (Fi2) comune ad entrambi i modulatori, vengono sempre misurate entrambe le componenti V ed U del segnale, sarà per prima cosa necessario regolare, mediante un potenziometro, la portante al suo valore minimo in corrispondenza alla parte non colorata dell'immagine. Successivamente sarà possibile regolare il secondo potenziometro in modo da cancellare del tutto la portante nella parte non colorata dell'immagine. Quando lo strumento sarà in grado di emettere un segnale video utilizzabile, potrà essere collegato il modulatore. Il fatto che non venga eliminata una delle bande laterali, non arreca praticamente alcun

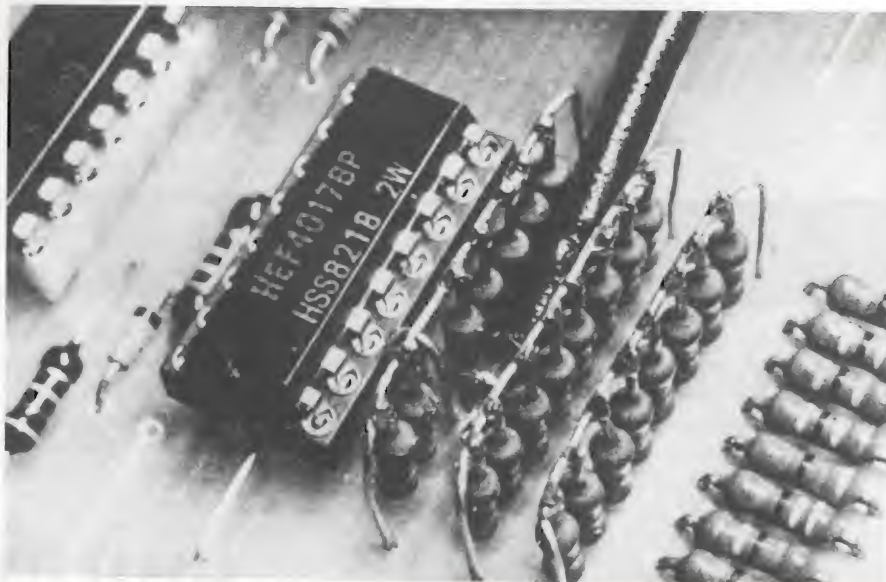


Fig. 15. Vista parziale del circuito stampato principale. Parte dei resistori dovranno essere montati in posizione verticale.



**Tabella 1: elenco dei componenti del generatore di barre di colore**

**Resistori da 0,25 W:**

1: 15 $\Omega$	1: 30 k $\Omega$
1: 33 $\Omega$	2: 33 k $\Omega$
1: 62 $\Omega$	3: 39 k $\Omega$
1: 100 $\Omega$	1: 43 k $\Omega$
1: 120 $\Omega$	4: 47 k $\Omega$
3: 180 $\Omega$	6: 56 k $\Omega$
2: 390 $\Omega$	3: 62 k $\Omega$
3: 470 $\Omega$	3: 68 k $\Omega$
2: 510 $\Omega$	4: 75 k $\Omega$
10: 560 $\Omega$	2: 82 k $\Omega$
1: 620 $\Omega$	2: 91 k $\Omega$
2: 680 $\Omega$	3: 100 k $\Omega$
6: 820 $\Omega$	2: 120 k $\Omega$
5: 1 k $\Omega$	2: 130 k $\Omega$
3: 1,2 k $\Omega$	1: 180 k $\Omega$
4: 1,6 k $\Omega$	2: 220 k $\Omega$
1: 1,8 k $\Omega$	2: 240 k $\Omega$
1: 2,2 k $\Omega$	2: 330 k $\Omega$
3: 2,4 k $\Omega$	1: 390 k $\Omega$
2: 2,7 k $\Omega$	
8: 3,3 k $\Omega$	<b>Trimmer:</b>
3: 3,9 k $\Omega$	3: 2,5 k $\Omega$
7: 4,7 k $\Omega$	1: 10 k $\Omega$
1: 5,6 k $\Omega$	
8: 6,8 k $\Omega$	<b>Potenziometri:</b>
3: 8,2 k $\Omega$	1: 100 $\Omega$
16: 10 k $\Omega$	
5: 12 k $\Omega$	
5: 15 k $\Omega$	<b>Quarzi:</b>
2: 16 k $\Omega$	1: 10 MHz
1: 18 k $\Omega$	1: 4,43 MHz
1: 27 k $\Omega$	

**Condensatori:**

2: 15 pF
1: 27 pF
2: 47 pF
2: 68 pF
1: 100 pF
2: 150 pF
3: 220 pF
1: 250 pF
2: 470 pF
1: 560 pF
1: 680 pF
2: 1,5 nF
1: 6,8 nF
1: 8,2 nF
3: 10 nF
15: 100 nF
1: 680 nF
1: 1 $\mu$ F (bipolare)
1: 3,3 $\mu$ F
1: 4,7 $\mu$ F
1: 100 $\mu$ F/25 V
2: 2200 $\mu$ F/25 V
2: Condensatori ceramici a disco, 10...60 pF

**Filtri:**

1: Filtro contrassegno rosa
1: Filtro contrassegno blu
1: Filtro a 10,7 MHz, colore distintivo blu, con C = 56 pF

**Semiconduttori:**

IC1: 1 CD 4024 B
IC2, 3, 4: 3 CD 4518 B
IC5, 7, 10: 3 CD 4017 B
IC6: 1 NE 555
IC8, 13 2: CD 4001 B
IC9: 1 CD 4070 B
IC11, 24: 2 TL 082
IC12: 1 CD 4027 B
IC14: 1 CD 4066
IC15, 16: 2 TCA 240
IC17...20: 4 CD 4013 B
IC21: 1 78 L 05
IC22: 1 $\mu$ A 7812
IC23: 1 $\mu$ A 7912
2: BC 177
1: BC 307 oppure BC 560
16: BC 547 oppure BC 237
4: BC 560
1: 2N1711 oppure BC 337
3: BF 199
1: BFX 89
41: 1N4148 o simili
4: 1N4001
2: BB 204

**Varie:**

1: Modulatore VHF, per esempio UM 1082E 3/4 (Astec)
1: Trasformatore 2 x 12 V/14 W
1: Deviatore unipolare
8: Tasti "Digitast" con LED
1: Fusibile di precisione da 0,1 A ritardato.

disturbo nell'utilizzo pratico dello strumento.

In questo circuito dovranno essere impiegati circuiti integrati CMOS muniti di buffer, che sono contrassegnati dalla sigla seguita da una lettera "B". Gli integrati non dovranno avere altri requisiti particolari, tranne l'assoluta eguaglianza tra IC3 ed IC4.

I transistori potranno essere senz'altro sostituiti da tipi equivalenti, purché questi ultimi siano in grado di soddisfare ai requisiti richiesti. Tutti i diodi per piccoli segnali sono del tipo universale al silicio (DUS), cioè 1N4148 o simili. I condensatori di disaccoppiamento contrassegnati con le lettere CAB dovranno essere del tipo a dielettrico ceramico, con capacità di almeno 100 nF. I resistori dovranno avere una dissipazione di 0,2 W, con dimensioni 0207. I resistori del circuito generatore di barre di colore dovranno preferibilmente essere del tipo a film metallico. Altri dati potranno essere ricavati dalla Tabella 1.

#### Segnale audio a modulazione di frequenza

Desiderando generare anche un segnale audio, sarà necessario collegare un modulatore FM. Il segnale audio

FM dovrà essere sommato al segnale FBAS. In figura 19 è illustrato un adattatore modulatore. Il segnale di uscita FM viene applicato all'ingresso del modulatore VHF tramite un condensatore da 10 nF (figura 7).

Desiderando effettuare misure sulla parte video dei televisori e dei videoregistratori, sarà necessario un segnale "multiburst". Questo circuito supplementare completerà il generatore di barre di colore.

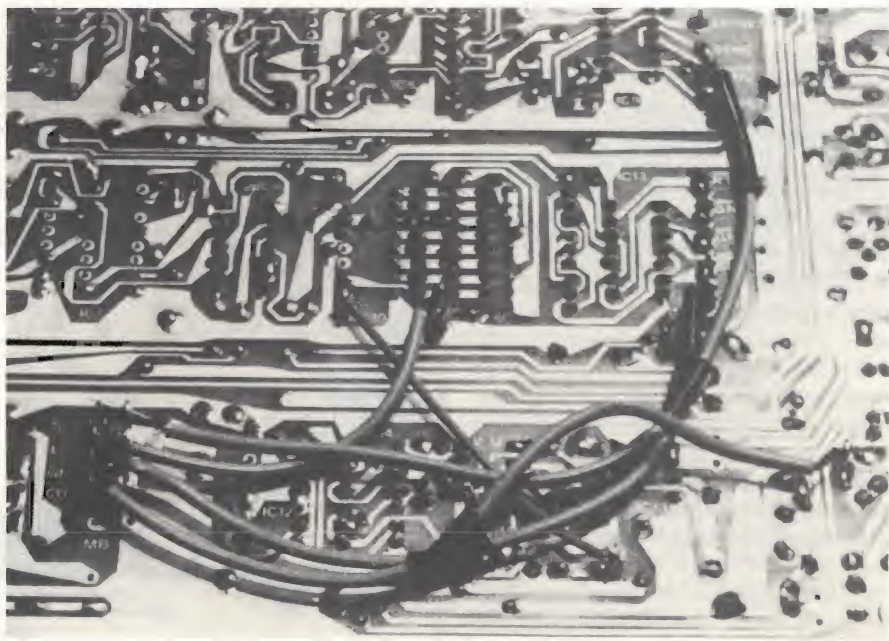


Fig. 16. Collegamenti schermati sulla faccia inferiore del c.s. principale.



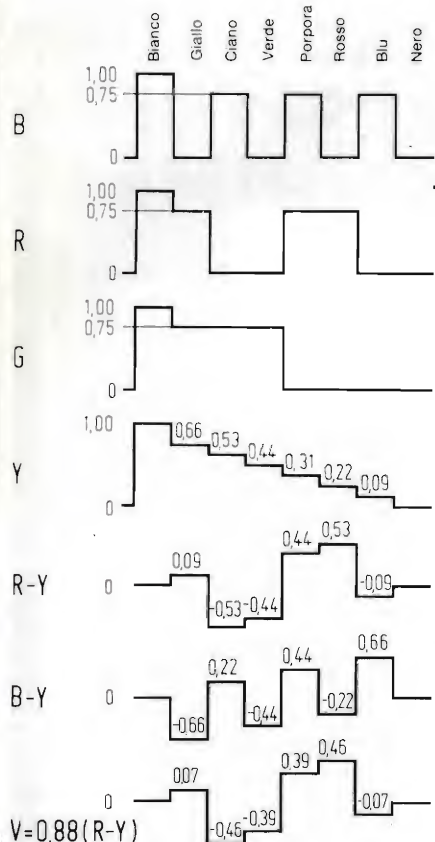


Fig. 18. Segnali video per le barre colorate, con 100 % di saturazione e 75 % di luminosità.

## Multiburst per il controllo della sezione video

Il circuito multiburst produce otto gruppi di frequenze (onde rettangolari alle frequenze di 0,5 - 1 - 1,5 - 2 - 2,5 - 3 - 3,5 e 4 MHz) che vengono commutate ad intervalli di 6,4  $\mu$ s; essi producono un'immagine a strisce verticali che occupa l'intero schermo TV (figura 20). Premendo invece il pulsante MBE (inserto multiburst) al posto del pulsante MB (multiburst), il multiburst verrà inserito al centro dell'immagine a barre colorate, occupando un terzo dell'altezza dello schermo (figura 21). La figura 22 mostra la normale immagine a barre colorate, senza multiburst.

L'elemento principale del circuito multiburst è l'oscillatore a frequenza commutabile, che deve soddisfare ai seguenti requisiti:

- Rapporto impulso/pausa dell'onda d'uscita: 50%
- Nessun fenomeno transitorio nella commutazione tra le diverse frequenze.
- Angolo di fase ben definito all'inizio di ciascuna riga, in modo che sul teleschermo possa apparire un'immagine statica. Ciò è particolarmente importante perché altrimenti l'esame dell'andamento delle frequenze video nell'apparecchio sul quale viene effettuata la misura sarebbe possibile esclusivamente con l'aiuto di un oscilloscopio. La messa a punto della focalizzazione e l'esame ottico del cinescopio saranno possibili solo se le barre saranno perfettamente immobili.

L'elemento principale dell'oscillatore è il trigger di Schmitt TTL (74LS13), formato da due porte NAND invertenti con quattro ingressi ciascuna. La figura 24 mostra la versione base dell'oscillatore. Gli ingressi sono collegati tra loro a due a due. Se all'ingresso di controllo KE è applicata una tensione di 0 V, la tabella della verità indica che l'uscita della porta logica rimane a livello "1", cioè ad una tensione di circa 4 V. C0 verrà quindi caricato a 4 V. Quando KE viene posto a livello "1", Q passerà a livello "0" e C0 si scaricherà, tramite Rr, fino a raggiungere la soglia inferiore di isteresi (0,8 V). Successivamente Q tornerà ad "1" e perciò C0 verrà caricato, sempre tramite Rr, fino alla soglia superiore di isteresi (1,6 V). questo ciclo continuerà a ripetersi e l'oscillatore sarà in grado di generare un segnale.

Il valore del resistore Rr è determinante per stabilire la durata del periodo con C0 costante. Il 74LS13 è un circuito integrato TTL e perciò il resistore di reazione non dovrà avere un valore troppo elevato, perché altrimenti la corrente d'ingresso dell'integrato (che ha un valore massimo di 0,18 mA,

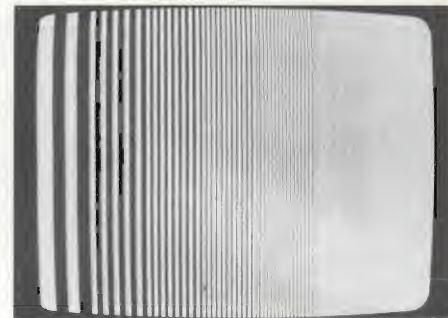


Fig. 20. Segnale multiburst che occupa l'intera altezza dello schermo.

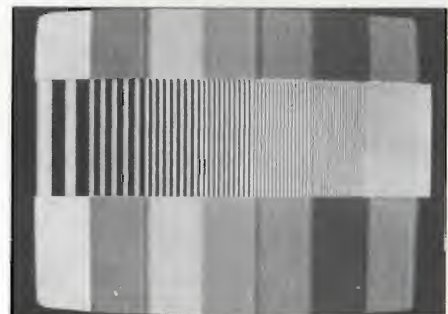


Fig. 21. Barre colorate con l'inserto multiburst (pulsante MBE premuto).

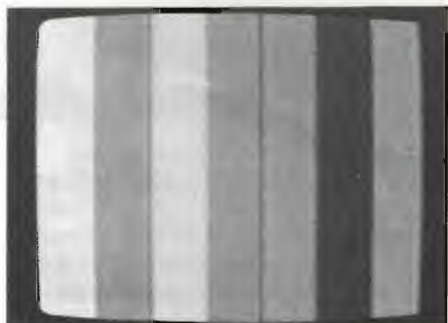


Fig. 22. Rappresentazione normale delle barre di colore, senza il circuito multiburst.

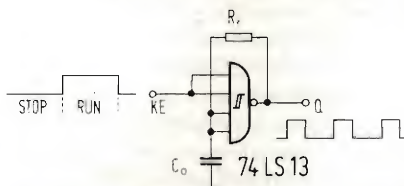


Fig. 23. Schema completo del generatore multiburst. I segnali necessari per il pilotaggio sono ricavati dai circuiti precedenti.

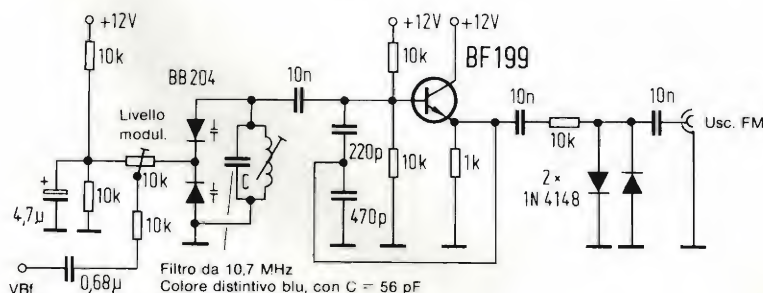


Fig. 19. Modulatore FM per la portante audio da 5,5 MHz.

e varia da un esemplare all'altro) eserciterebbe un'influenza troppo marcata sulla durata del periodo. Per ottenere un rapporto di frequenze di 1:8 (da 0,5 a 4 MHz), la resistenza d'ingresso dovrà essere molto elevata, in modo che sia possibile apportare la necessaria variazione alla resistenza di reazione. Gli inseguitori di emettitore T28 e T29 garantiscono una resistenza d'ingresso molto elevata e non permettono spostamenti della regolazione all'uscita, perché le tensioni base-emettitore sono



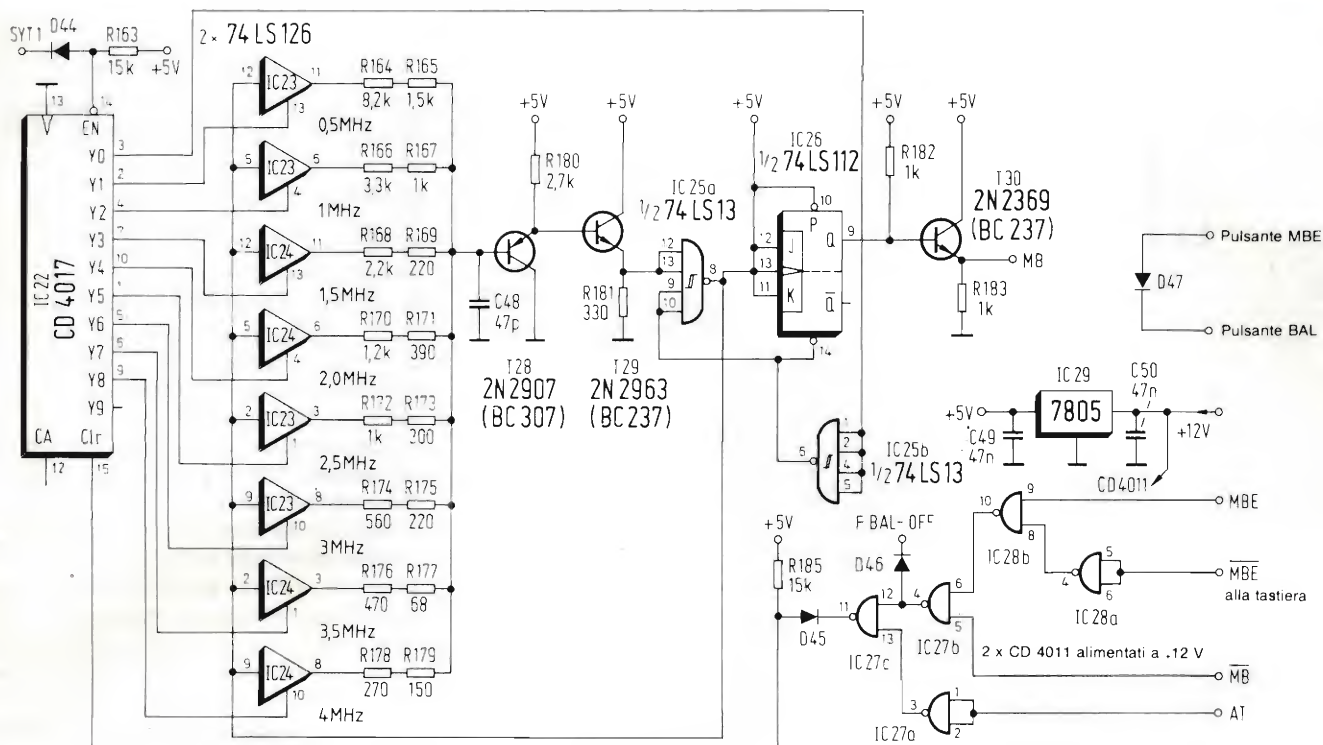


Fig. 24. Schema di principio dell'oscillatore multiburst.

compensate grazie all'impiego di transistori NPN e PNP.

T29 pilota il trigger di Schmitt IC25a. L'uscita di IC25 (piedino 8) viene applicata a tutti gli otto ingressi di due 74LS126 (buffer a tre stati). Non appena l'ingresso di controllo di uno degli otto buffer sarà a livello "1", il segnale applicato all'ingresso verrà trasferito all'uscita.

Gli ingressi di controllo dei due 74LS126 (IC3 ed IC24) vengono pilotati in successione tramite IC22, che è un

contatore decimale con decodificatore. I buffer a tre stati costituiscono il commutatore che collega i resistori R164...R179 tra l'uscita del trigger di Schmitt ed il suo ingresso, per determinare la frequenza dell'oscillatore. Il corretto valore della resistenza necessaria per ciascuna frequenza viene ottenuto collegando in serie due resistori.

Dato che la tensione d'uscita di IC25 non ha il giusto rapporto impulso/pausa di 1:1, è necessario collegare ancora un flip flop che possa correggere questo

rapporto. Poiché il flip flop esegue una divisione per due della frequenza, l'oscillatore dovrà generare frequenze doppie di quelle necessarie. L'inseguitore di emettitore T30 permette di ottenere un'uscita a bassa impedenza per l'accoppiamento con gli amplificatori video.

#### Il segnale di clock è il medesimo per le barre colore ed il multiburst

IC22 ha il compito di stabilire il percorso attraverso il quale il segnale di uscita del trigger di Schmitt viene applicato ai resistori che determinano la frequenza e che sono collegati all'uscita del 74LS126. Ciò avviene in quanto IC22 viene pilotato dagli impulsi di sincronismo SYT1 (che generano anche le barre di colore). Poiché vengono impiegati circuiti integrati digitali TTL, la tensione di alimentazione per la sezione principale del generatore multiburst è di 5 V e di conseguenza dovrà essere inserito tra la parte di circuito che funziona a 12 V e quella alimentata a 5 V un circuito d'interfaccia formato da un diodo e da un resistore.

All'ingresso di ciascun componente alimentato a 5 V è montato un diodo che, con l'anodo collegato all'ingresso, diventa conduttore solo quando la tensione di pilotaggio ha un livello inferiore a 5 V. L'ingresso del circuito integra-

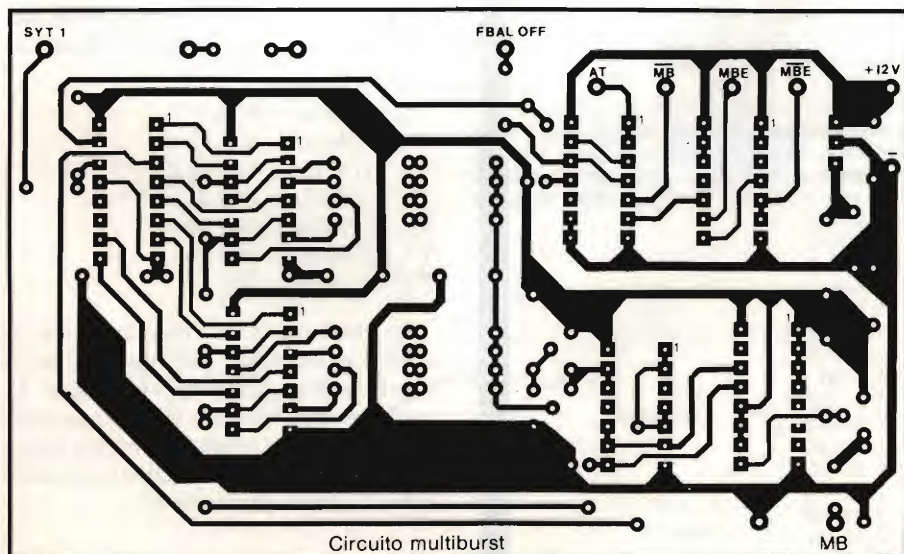


Fig. 25 Circuito stampato per l'accessorio multiburst.



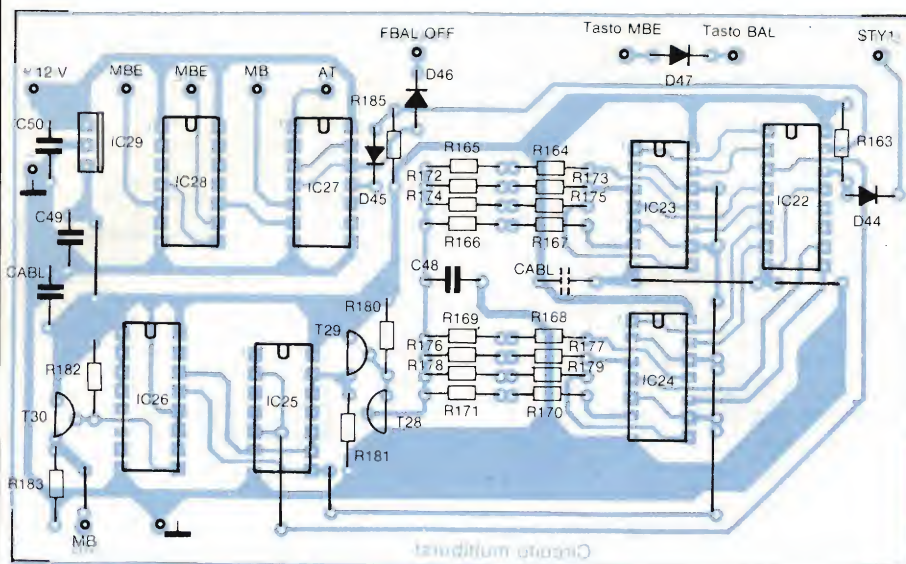


Fig. 26. Disposizione dei componenti

to assumerà pertanto il medesimo livello "basso" del segnale di pilotaggio. Se il livello di pilotaggio è di 12 V, il diodo va in blocco e, tramite il resistore, il livello all'ingresso dell'integrato sarà di 5 V. D44, D45 ed R163, R185 realizza questa funzione. IC27 ed IC28 sono alimentati a 12 V, in modo da garantire l'adattamento al circuito elettronico principale.

La parte elettronica principale mette a disposizione il segnale AT, che assume il livello "1" durante gli intervalli di cancellazione orizzontale e verticale. L'impulso AT, invertito mediante IC27a, raggiunge il piedino 13 di IC27c e produce, indipendentemente dal livello al piedino 12 di IC27c, un livello "1" all'uscita. Di conseguenza avverrà un reset di IC22 ed Y0 andrà a livello "1".

Y0 viene invertito dal secondo trigger di Schmitt (IC25b; figura 23 nella quarta parte) e poi applicato ai flip flop IC26 ed IC25a. Questo segnale provoca la fermata dell'oscillatore, mentre l'uscita di IC26 va a livello "0": di conseguenza cesserà l'emissione dei segnali video.

Dal piedino 5 del contatore IC4a, che genera il segnale di sincronismo verticale, viene prelevato il segnale MBE che compare nel terzo centrale dell'immagine, con un livello "1" attivo. MBE viene associato logicamente al segnale MBE invertito, che proviene dal pulsante di attivazione dell'inserito multiburst; a ciò provvedono i circuiti logici IC28a ed IC28b, in modo tale che, quando viene attivata l'inserzione del multiburst nel monoscopio a barre di colore, sia presente all'uscita di IC8b un livello "0": durante questo intervallo il multiburst sarà attivato. Questo

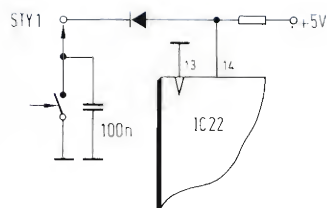


Fig. 27. Circuito ausiliario provvisorio per la taratura; il piedino 14 di IC22 potrà essere così comandato a mano.

Tabella 2: elenco dei componenti per il circuito multiburst

## Semiconduttori:

IC22: 1 CD 4017  
IC23, 24: 2 74LS126  
IC25: 1 74LS13  
IC26: 1 74LS112  
IC27, 28: 2 CD 4011  
IC29: 1 7805  
T28: 1 2N2907 (BC 307)  
T29: 1 2N2963 (BC 237)  
T30: 1 2N2369 (BC 547)  
D44...47: 4 1N4148

## Resistori da 0,25 W: Condensatori:

1: 68  $\Omega$   
1: 150  $\Omega$   
2: 220  $\Omega$   
1: 270  $\Omega$   
1: 300  $\Omega$   
1: 330  $\Omega$   
1: 390  $\Omega$   
1: 470  $\Omega$   
1: 560  $\Omega$   
4: 1 k $\Omega$   
1: 1,2 k $\Omega$   
1: 1,5 k $\Omega$   
1: 2,2 k $\Omega$   
1: 2,7 k $\Omega$   
1: 3,3 k $\Omega$   
1: 8,2 k $\Omega$   
2: 15 k $\Omega$

1: 47 pF  
2: 47 nF

segnale viene associato logicamente (in IC27b) con il segnale proveniente dal pulsante multiburst in modo che, durante il tempo in cui il generatore multiburst è attivo, l'uscita di IC27b (piedino 4) sia a livello "1", che corrisponde alla tensione di 12 V. Tramite D46, viene interrotta la generazione delle barre di colore, che in seguito verrà nuovamente attivata se verrà premuto il pulsante MBE. Mediante D47 viene effettuato il collegamento tra il tasto MBE ed il tasto BAL. La funzione MBE attiverà perciò automaticamente anche la funzione BAL.

Dopo che il circuito sarà stato completamente montato (piste di rame in figura 25 e disposizione dei componenti in figura 26) dovranno essere ancora inseriti gli elementi che determinano la frequenza (R164...R179), i cui valori potranno essere ricavati dalla Tabella 2. Allo scopo, è necessario collegare un pulsante all'ingresso SYT 1 della basetta multiburst, per far avanzare a mano il contatore IC22; il collegamento dovrà essere fatto come indicato in figura 27.

Per ridurre il prezzo e le dimensioni del circuito, non sono stati montati 8 costosi potenziometri a 10 giri, ma soltanto resistori fissi a film metallico. La pressione del pulsante provvisorio collegato per la taratura, attiverà dapprima Y1 di IC22. Dei due resistori R164/R165 verrà collegato per primo quello che ha il valore maggiore. Se, a causa delle tolleranze del componente, non viene raggiunta la frequenza prescritta, potrà essere variato il resistore di valore inferiore. Solo dopo aver trovato la frequenza esatta, sarà possibile eseguire la saldatura definitiva dei resistori. Ripetere le suddette operazioni per tutte le frequenze.

Le uscite di IC22, quando sono attivate, producono le seguenti frequenze:

Y1: 0,5 MHz = 2  $\mu$ s  
Y2: 1,0 MHz = 1  $\mu$ s  
Y3: 1,5 MHz = 600 ns  
Y4: 2,0 MHz = 500 ns  
Y5: 2,5 MHz = 400 ns  
Y6: 3,0 MHz = 330 ns  
Y7: 3,5 MHz = 285 ns  
Y8: 4,0 MHz = 250 ns

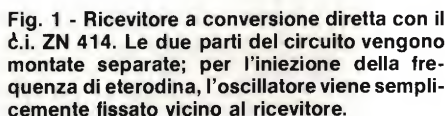
In questo elenco è riportata anche la durata del periodo, utile quando per la taratura sia disponibile soltanto un oscilloscopio. L'intero circuito (generatore di barre di colore e circuito multiburst) potrà essere inserito in un mobiletto di adatte dimensioni.



## di Christoph Simm

Su un rocchetto del diametro di 5 mm dovranno essere avvolte circa 85 spire. Il ricevitore ha una buona sensibilità e fornisce un segnale audio molto "pulito" ricavato da segnali CW ed SSB. Se la banda è molto affollata di emittenti, la sintonia potrebbe essere difficile perchè l'oscillatore eterodina demodula contemporaneamente entrambe le bande laterali del segnale ricevuto. Un semplice filo di rame lungo alcuni metri sarà in genere sufficiente come antenna. Un collegamento a terra (oltre a quello d'antenna) dell'ingresso di questo ricevitore potrà di regola migliorare la ricezione. La frequenza limite superiore dello ZN 414 è, secondo i dati forniti dal fabbricante, di 3 MHz (vedi la *figura 2*); tuttavia, la sensibilità alle frequenze superiori diminuisce gradualmente, cosicchè il componente potrà essere usato con successo anche nella banda degli 80 metri.

Per l'iniezione del segnale di eterodina, sarà sufficiente montare il circuito oscillatore vicino al ricevitore, senza stabilire un collegamento elettrico. L'irradiazione dell'oscillatore non dovrà tuttavia essere maggiore di quella strettamente necessaria per sopprimere completamente la ricezione diretta. Se la distanza dell'oscillatore dal ricevitore fosse troppo piccola, la sensibili-





# PIU' CHE UN SEMPLICE PROVATRANSISTORI

di Patrick Summ

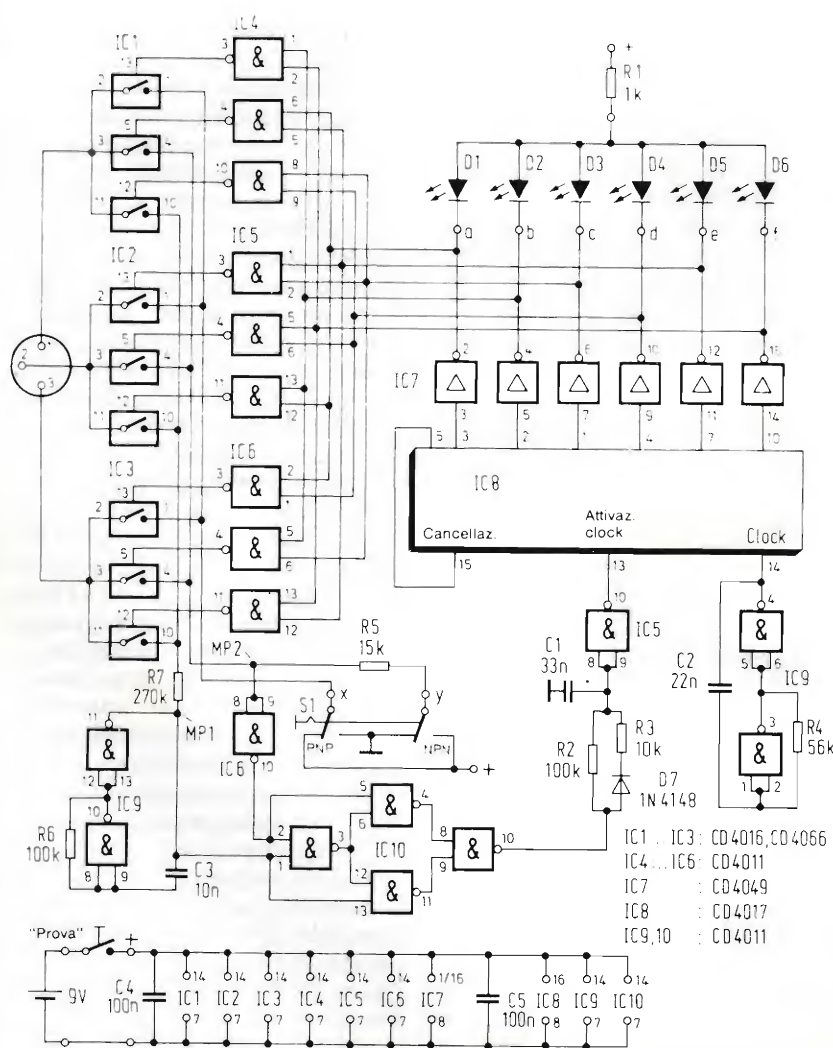
Con questo strumento è possibile individuare i collegamenti ai piedini dei transistori.

**C**on i normali provatransistori è possibile verificare soltanto la funzionalità di transistori dei quali si conoscano gli esatti collegamenti ai piedini. Se questi dati sono ignoti, il campione dovrà essere prima sottoposto a controlli minuziosi con grande dispendio di tempo. Lo strumento presentato in questo articolo non ha questo svantaggio, perchè è in grado di trovare automaticamente i giusti collegamenti ai piedini di un

transistore funzionante, visualizzando il risultato mediante LED. Potranno essere controllati transistori al silicio ed al germanio (anche di potenza). E' necessario ricordare che la corrente inversa dei transistori al germanio è molto superiore a quella dei transistori al silicio: questa caratteristica provoca talvolta lo scarto di un componente considerato difettoso.

Il circuito visibile in figura 1 "verifica" tutti i possibili schemi collegati,

mediante commutazione interna dei piedini del transistore nelle diverse configurazioni di prova. Di volta in volta, tre "interruttori" elettronici (IC1...IC3) collegano i tre piedini del transistore in prova al circuito di controllo, secondo schemi sempre diversi. Gli "interruttori" vengono pilotati mediante un circuito logico di distribuzione, formato da porte NAND. La sequenza di prova ed il pilotaggio dei LED vengono effettuati dal contatore IC8. In corrispondenza ad ogni impulso che perviene all'ingresso di clock, viene "controllata" una diversa configurazione dei piedini. Non appena viene trovata la configurazione giusta,



## Elenco dei componenti

### Resistori:

0,25 W/5 %  
R1 = 1 kΩ  
R2 = 100 kΩ  
R3 = 10 kΩ  
R4 = 56 kΩ  
R5 = 15 kΩ  
R6 = 100 kΩ  
R7 = 270 kΩ

### Condensatori:

C1 = 33 nF  
C2 = 22 nF  
C3 = 10 nF  
C4, C5 = 100 nF

### Diodi:

D1...D6 = LED  
D7 = 1N 4148

### Circuiti integrati:

IC1...IC3 = CD 4016, CD 4066  
IC4...IC6 = CD 4011  
IC7 = CD 4049  
IC8 = CD 4017  
IC9, IC10 = CD 4011

### Varie:

T = Pulsante (1 contatto in chiusura)  
S1 = Doppio deviatore  
Zoccoli per circuiti integrati  
Batteria da 9 V  
Clip per batteria  
Zoccolo per transistore  
Circuito stampato  
Astuccio

Fig. 1. Schema completo del provatransistori. I tre collegamenti al transistore in prova vengono effettuati mediante uno zoccolo oppure tre boccole.



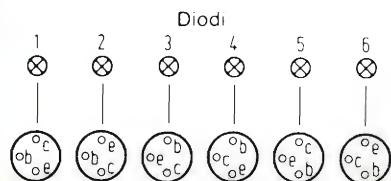


Fig. 2. Ciascun LED corrisponde ad una determinata configurazione dei collegamenti ai piedini. Se tutti i LED si accendono, il transistor è difettoso.

appare in MP 2 il segnale invertito di MP1, tramite il transistor in prova collegato ad emettitore comune. Questo segnale viene nuovamente invertito e lo stato di MP1 viene confrontato con quello di MP2 mediante IC10. Se esiste una corrispondenza precisa il contatore IC8 viene fermato tramite l'ingresso di attivazione del clock. Questa parte del circuito, che è formata da R2, R3, D7 e C1, è necessaria perché, fintanto che non sarà stata trovata la giusta configurazione dei piedini, all'uscita di IC10 sarà presente una tensione ad onda rettangolare, che non deve avere effetto sull'ingresso di attivazione del clock.

La selezione tra i transistori NPN e

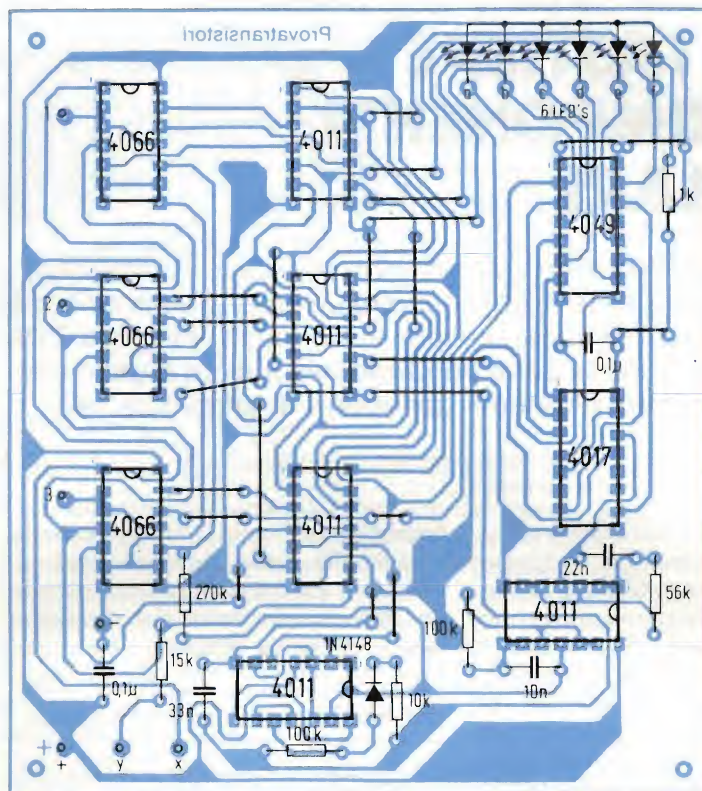


Fig. 4. Disposizione dei componenti sul circuito stampato

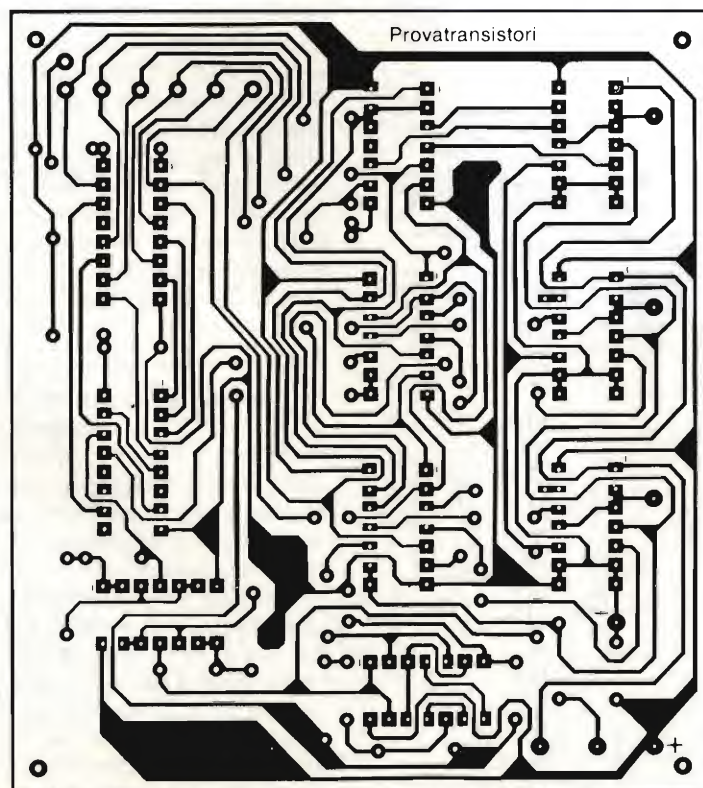


Fig. 3. Piste di rame del circuito stampato.

PNP viene effettuata mediante il commutatore S1. In figura 2 è possibile osservare la disposizione dei LED in corrispondenza ai diversi schemi di collegamenti ai piedini. Nell'applicazione pratica, è indispensabile che i simboli dei collegamenti siano disegnati sotto ciascun LED sul pannello dello strumento. Questo provatransistori potrà essere montato sul circuito stampato di figura 3. La disposizione dei componenti è illustrata in figura 4. Poiché la corrente assorbita è bassa, e la tensione di alimentazione può variare entro ampi limiti (circa 5...13 V), lo strumento potrà essere alimentato senza inconvenienti mediante una batteria da 9 V.



# ORGANO ELETTRONICO A DUE TASTIERE CON COMPONENTI MODULARI

Dr. H. Hintz, H. Struwe - Parte seconda

Nella prima parte di questo articolo sono stati descritti quasi tutti i gruppi funzionali necessari per costruire un organo elettronico ad una sola tastiera (manuale), basato sul circuito integrato TDA 1008. In questa seconda parte verranno descritti un organo elettronico a due tastiere ed alcuni generatori di effetti speciali.

l'effetto acustico è determinato esclusivamente dalla forma della spirale di riverbero.: è consigliabile impiegare una versione a tre spirali.

Le unità funzionali sinora descritte per un organo a due manuali sono raccolte nello schema a blocchi di figura 13, che comprende anche le due unità funzionali che verranno successivamente descritte in questo articolo (pedale e batteria), nonché uno o due amplificatori finali con altoparlanti. Questi ultimi non verranno descritti nei particolari perchè esistono in commercio numerosi tipi comprendenti apparecchi finiti, scatole di montaggio o progetti.

A motivo delle speciali esigenze musicali degli organi elettronici, la scelta degli altoparlanti è molto importante. In seguito verrà descritto l'altoparlante AD 12 100 M della Philips, che è stato appositamente progettato per l'impie-

**P**er lo schema dell'organo a due manuali presentato in questo articolo viene utilizzata la versione a due canali del circuito integrato TDA 1008. Lo schema di principio è analogo a quello di *figura 8*, ma in versione raddoppiata: vengono infatti utilizzati due manuali da quattro ottave ciascuno. Il cosiddetto "manuale superiore", sul quale viene suonata per lo più la melodia, contiene "corpi di canne" supplementari con suddivisioni di quinta e di terza, nonché gli ulteriori filtri di tonalità necessari per questi "corpi di canne". La derivazione dei corpi di quinta e di terza avviene mediante serie supplementari di divisori di frequenza ed interruttori di nota, come mostrato, per esempio, in *figura 10*. Mediante piccole modifiche ai ponticelli visibili nella fotografia di *figura 10*, sarà possibile produrre, in corrispondenza ai contatti dei tasti sul circuito stampato, un suono supplementare con intervallo di quinta o di terza.

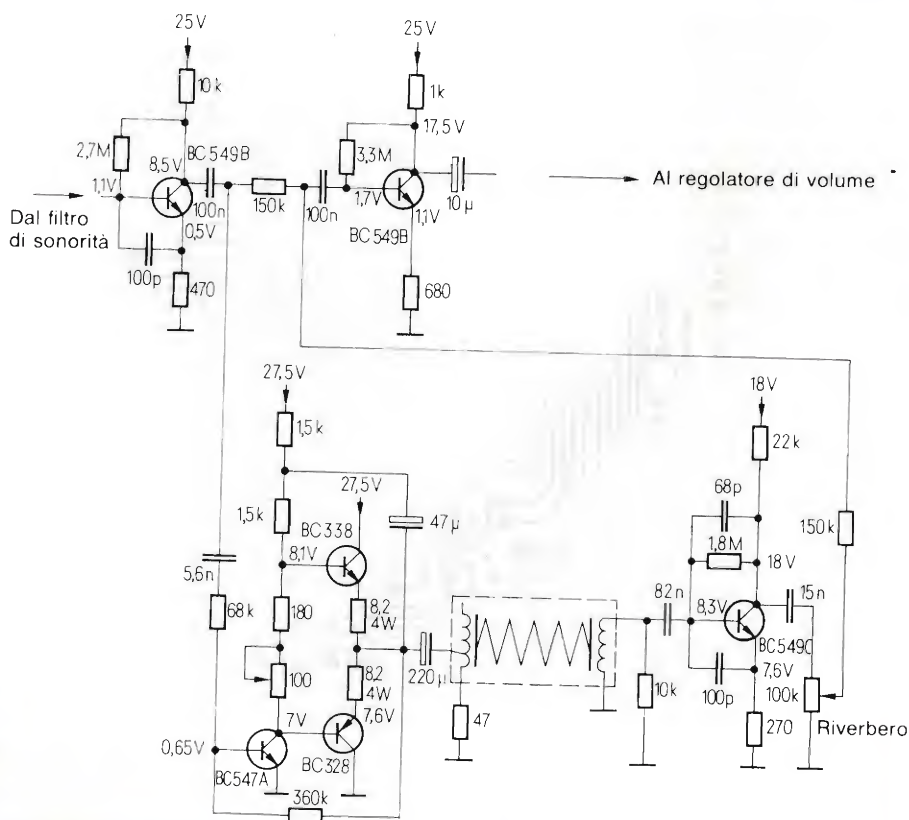
**Il "tremolo" agisce su entrambi i manuali**

Il regolatore di bilanciamento del circuito del pedale di espressione (*figura 11*) potrà essere anche utilizzato per la produzione di un ulteriore effetto musicale, che viene descritto in un altro articolo di questa rivista (circuito di "tremolo" per organi elettronici). Applicando una tensione sinusoidale di circa 1...10 Hz al piedino 12 del TCA730 A, sarà possibile variare periodicamente ed in opposizione di fase l'amplificazione del manuale superiore e di quello inferiore. I musicisti definiscono questa variazione periodica di ampiezza con il termine di "tremolo". Poichè ognuno dei due canali è pilotato dalla

frequenza di "tremolo", l'effetto sulla vivacità del suono può essere confrontabile con quello ottenuto commutando un apparecchio radio dal funzionamento "mono" a "stereo".

### Dispositivo di riverbero con spirale

Un ulteriore arricchimento musicale dell' organo potrà essere ottenuto aggiungendo un dispositivo di riverbero. La figura 12 mostra un circuito di produzione industriale ben collaudato:



**Fig. 12. Circuito di riverbero elettronico, costruito secondo uno schema ben collaudato.**





go negli organi elettronici, nei "juke-box", nei sintetizzatori e nei sistemi acustici da parete dei cinematografi. Per questa applicazione non è opportuno usare casse acustiche "hi-fi".

L'altoparlante a larga banda AD 12 100 M ha una membrana completata da un cono supplementare per toni acuti, che permette di ottenere la migliore irradiazione delle frequenze più elevate. Il fattore di accoppiamento tra membrana per i toni bassi e cono per i toni acuti garantisce una buona distribuzione ambientale del suono. Questo altoparlante a sospensione libera ha un diametro di 30 cm ed una potenza nominale di 30 W; la pressione acustica misurata alla distanza di 1 m, secondo le norme DIN 45 500 B1.7, ha un valore di 96 dB già ad una potenza di 650 mW. Un altoparlante normale di analoghe dimensioni richiederebbe, per le medesime prestazioni, potenze anche dieci volte superiori. Per applicazioni dell'organo in ambiente domestico, sarà sufficiente un amplificatore che abbia una potenza d'uscita di 20...30 W.

### Il circuito elettronico dei pedali completa l'organo

Per ottenere un organo a due manuali completo manca ancora una pedaliera dei bassi formata da 13 tasti (un'ottava da do a do) che emettono un suono monofonico, composto cioè da una sola nota. Le note basse per la pedaliera potranno essere prelevate, come già spiegato, dal piedino 14 del TDA 1008. I conduttori che collegano la parte superiore dell'organo ai pedali sono critici e richiedono esperienza e notevole impegno per la scelta del percorso e per la schermatura.

Una soluzione più elegante consiste nel rilevare lo stato dei contatti dei pe-

dali mediante un doppio contatore a 4 bit ed un decodificatore 1 da 16, che emette la nota corrispondente al pedale premuto tramite una matrice a diodi. La frequenza della nota fornita dal sintetizzatore di ottava superiore viene abbassata per divisione fino alla banda dei toni bassi con l'aiuto di un TDA 1008. Anche in questo caso è possibile l'attivazione di cinque "corpi di canne" mediante un impulso ricavato in seguito alla verifica dello stato logico del contatto.

Cinque registri passivi, un registro attivo ed un amplificatore audio d'uscita completano i circuiti elettronici di pedale della serie Philips-

Hobbytechnik, che dovranno essere montati su una scheda di circuito stampato delle dimensioni di 140 x 200 mm.

### Batteria elettronica per il ritmo

L'aggiunta di una batteria elettronica trasformerà l'organo in una vera e propria orchestra con un solo esecutore. La figura 14 mostra lo schema di principio di questo modulo. Il componente principale del circuito è il circuito integrato IC2 (M 253 B1AA), che produce dodici ritmi diversi, miscelabili tra loro. A seconda del ritmo scelto verranno emessi i segnali di un numero massimo di 7 tra i 10 strumenti a percussione disponibili, e questi segnali verranno applicati all'amplificatore stereo. L'unità di commutazione attiva il ritmo prescelto, tramite i tasti 1...12, mentre la batteria inizia a funzionare con la pressione del tasto A. Lo stadio di commutazione T1 attiva in questo istante l'oscillatore ed il piedino di reset (R) di IC2: gli impulsi di cadenza delle battute pervengono all'ingresso C di IC2.

A seconda della posizione del regolatore di tempo "manuale" potrà essere variata la frequenza di clock dell'oscillatore. Quando il potenziometro è al fine corsa sinistro, il commutatore del tempo viene collegato ad uno dei potenziometri trimmer relativi ai diversi rit-

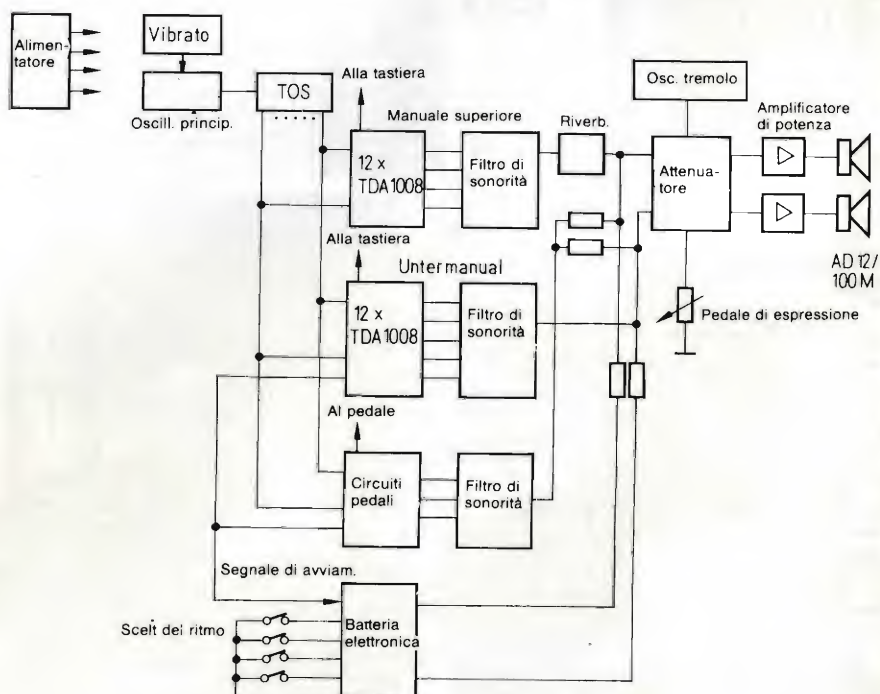


Fig. 13. Schema a blocchi di un organo a due tastiere (manuali). Per costruire uno strumento così complesso, sarà opportuno ricorrere a moduli premontati od a scatole di montaggio, perché altrimenti il tempo necessario alla costruzione sarebbe eccessivo.



mi (per esempio P12), con il quale è possibile predisporre il tempo.

All'inizio di ciascuna battuta, lampeggerà il LED del tasto A. Questo segnale pilota il monostabile mediante lo stadio di commutazione T2. Il primo ingresso del multivibratore monostabile riceve, ogni due battute, un breve impulso positivo, proveniente dal piedino R di IC2. Il secondo ingresso è collegato all'uscita del "contatore di assolo", composto da due divisori, che emette un segnale positivo ad ogni inizio di battuta. Entrambi questi impulsi vengono ridotti alla medesima lunghezza mediante un monostabile, e perciò il LED si accenderà periodicamente tramite T2.

L'avviamento della batteria può anche avvenire automaticamente all'ini-

zio del brano musicale. Premendo, oltre al tasto A, anche il tasto B, viene immediatamente attivato lo stadio "avviamento dell'organo", che consiste in un multivibratore bistabile.

Lo stadio di commutazione T1 rimane interdetto e la batteria non funziona; premendo un pedale od un tasto del manuale inferiore, l'"amplificatore di impulsi" produce un impulso positivo ricavato dall'informazione relativa ai tasti premuti, che è presente agli ingressi "UM" e rispettivamente "pedale". Questo impulso farà commutare, tramite i diodi D10 o D11, il multivibratore "avviamento dell'organo" nella sua seconda posizione stabile. Lo stadio di commutazione T1 viene mandato in conduzione ed inizia la prima battuta. Fintanto che verranno premuti

tasti di manuale e di pedale, la batteria continuerà a funzionare. Alla fine di una battuta su due, la batteria cesserà automaticamente di funzionare se al multivibratore non perverranno ulteriori informazioni relative alla pressione di un tasto.

Oltre al ritmo di accompagnamento, è possibile inserire nel pezzo, mediante il tasto D, anche un assolo di batteria, che consta di quattro percussioni per battuta (in tutti i tempi di 3/4, le percussioni sono tre) degli strumenti "bongo alto", "bongo basso", "tam-tam alto" e "tam-tam basso". Anche, il tasto D potrà essere premuto in un istante qualsiasi. All'inizio della successiva battuta, la batteria cesserà automaticamente di funzionare, perché il multivibratore bistabile "assolo", attivato tramite il diodo D9, bloccherà IC2. Contemporaneamente viene sbloccato il "decodificatore": il contatore di assolo ("divisore") potrà erogare la sequenza di impulsi corrispondente ai quattro strumenti. Per tutti i ritmi da 3/4, la cadenza del contatore dovrà essere ridotta da 1/16 ad 1/12 di battuta, mediante il commutatore T4 (da 4/4 a 3/4): in questa posizione il decodificatore emetterà quindi solo tre impulsi destinati allo strumento pilotato. Anche l'esclusione dell'assolo potrà avvenire in un istante qualsiasi. Alla fine della battuta in corso al momento dell'esclusione, viene escluso l'assolo e re-inserito il ritmo.

E' possibile ottenere una semplice batteria semiautomatica a tre strumenti premendo soltanto il tasto C. All'arrivo di ogni nuova informazione dai tasti, l'"amplificatore di impulsi" invierà fronti di commutazione positivi al convertitore d'impedenza attivato tramite lo stadio di commutazione T3. Questi fronti di commutazione attiveranno i corrispondenti strumenti: il segnale di pedale aziona la "grancassa" ed i "piatti", mentre quello del manuale inferiore aziona il "tamburello".

## La scatola di montaggio favorisce la costruzione del circuito

La descrizione degli schemi di principio può ingenerare la convinzione che sistemi di tale complessità siano superiori alle possibilità ed all'esperienza dell'elettronico dilettante. Il kit di montaggio Hobbytechnic della Philips, che ha le dimensioni d'ingombro di 150 x 180 x 60 mm, permette però di costruire senza difficoltà una batteria che, a motivo dell'ingombro ridotto e del basso assorbimento di corrente (12 V/30 mA e 6 V/45 mA), può anche servire a completare un organo già esistente.

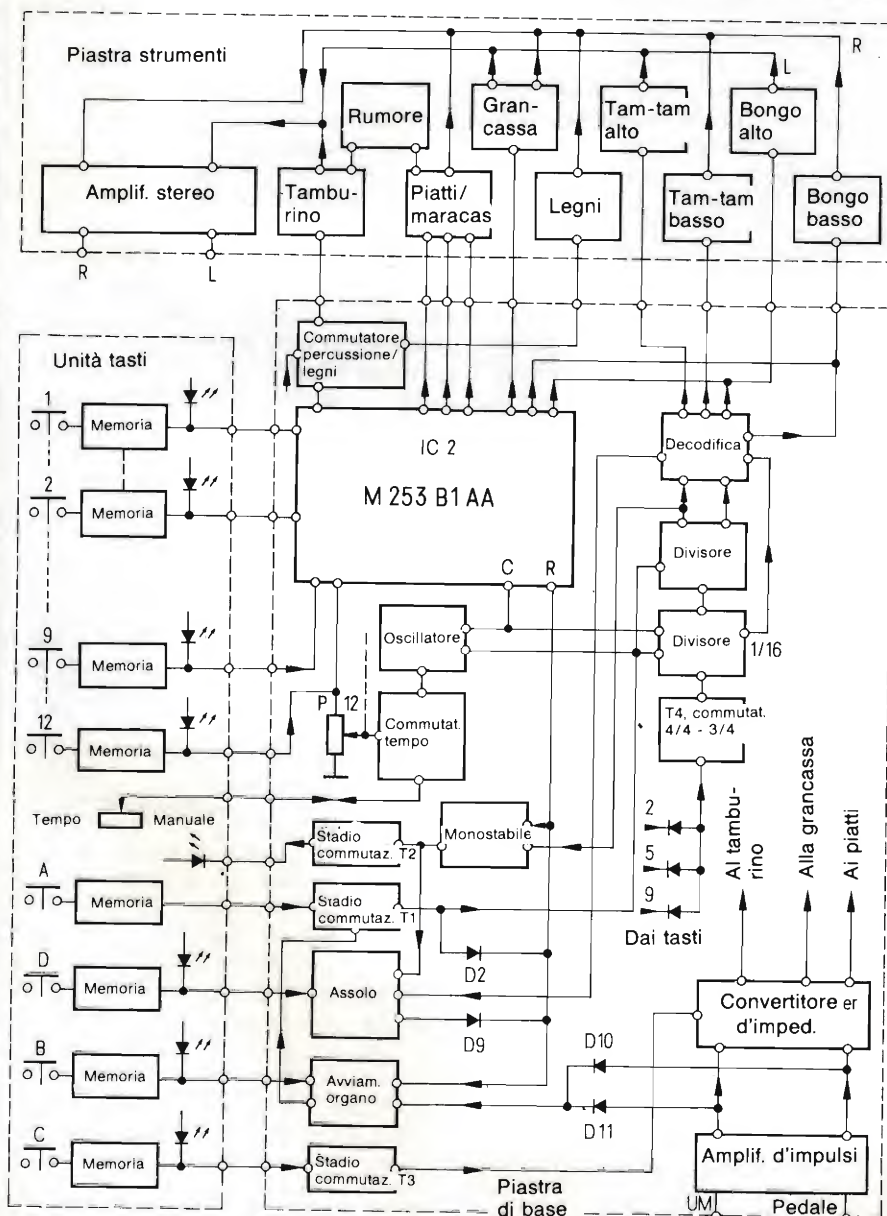
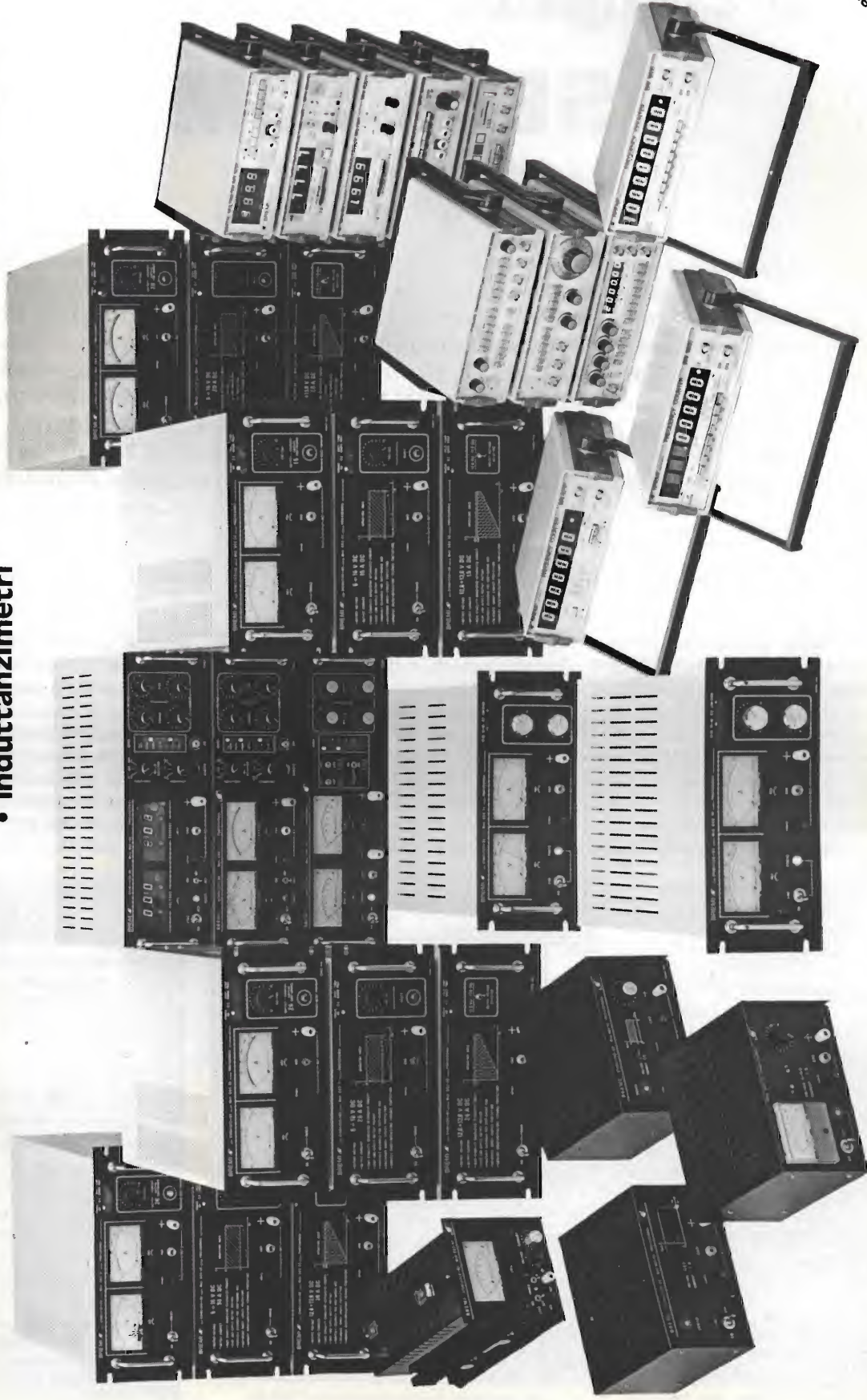


Fig. 14 - Schema di principio di una batteria elettronica: questo ampliamento trasforma l'organo in un'orchestra affidata ad un solo esecutore.



# professionalità & prezzo

- Alimentatori stabilizzati professionali • Generatori di barre a colori per TV • Frequenzimetri digitali • Generatori di funzioni • Generatori d'impulsi • Capacimetri • Multimetri digitali • Induttanzimetri



**BREMI®**

- Progettazione
- Controlli
- Laboratori
- Scuola
- Tecnici Riparatori
- Industria

BREMI ELETTRONICA - 43100 PARMA ITALIA - VIA BENEDETTA 155/A  
TELEFONI: 0521/72209-771533-75680-771284 - TELEX 531304 BREMI



nome \_\_\_\_\_  
indirizzo \_\_\_\_\_

desidero ricevere documentazione



## Il computer di Selezione

# SEL-COM CP/M

Questo è il secondo articolo della serie il computer di Selezione. La serie di articoli che pubblichiamo si propone di presentare un computer modulare con struttura a BUS e supportato dal ben noto sistema operativo CP/M. I singoli moduli sono realizzati con schede in formato "eurocard" (100 x 160 mm). Oggi descriviamo la scheda di Input/Output, che rappresenta il ponte di comunicazione fra l'unità centrale e la periferia (p. es. il terminale video e la stampante). Il monitor del sistema utilizza solamente i due canali seriali (SIO) presenti sulla scheda. I ports paralleli (PIO) restano a completa disposizione dell'utente.

ing. Ennio De Lorenzo - seconda parte

**L**a scheda utilizza due componenti periferici della "famiglia" Z80; il SIO (Serial Input Output) ed il PIO (Parallel Input Output). Il sistema utilizza sotto CP/M i due canali seriali del SIO e precisamente il canale A per il terminale video ed il canale B per la stampante.

La figura 1 mostra lo schema a blocchi della scheda. Il SIO ed il PIO sono

collegati al BUS tramite una logica di indirizzamento e di "bufferizzazione" dei dati. Il SIO riceve da un generatore di Baud la frequenza di trasmissione e di ricezione dei dati seriali.

Il circuito completo è visualizzato in figura 2. Il BUS dei dati (D0 ... D7) è separato dal BUS "interno" della scheda dal "driver" B1 (74LS245) in grado di pilotare le 8 linee in ambedue le dire-

zioni (lettura e scrittura dei dati). Non c'è bisogno di pilotare gli altri segnali utilizzati dalla scheda (indirizzi e controlli).

Utilizzando componenti del tipo "A" la scheda funziona con un clock di sistema di 4 MHz. Il prototipo ha funzionato con lo stesso tipo di componenti senza problemi anche a 6 MHz: a questa frequenza si consiglia lo stesso di

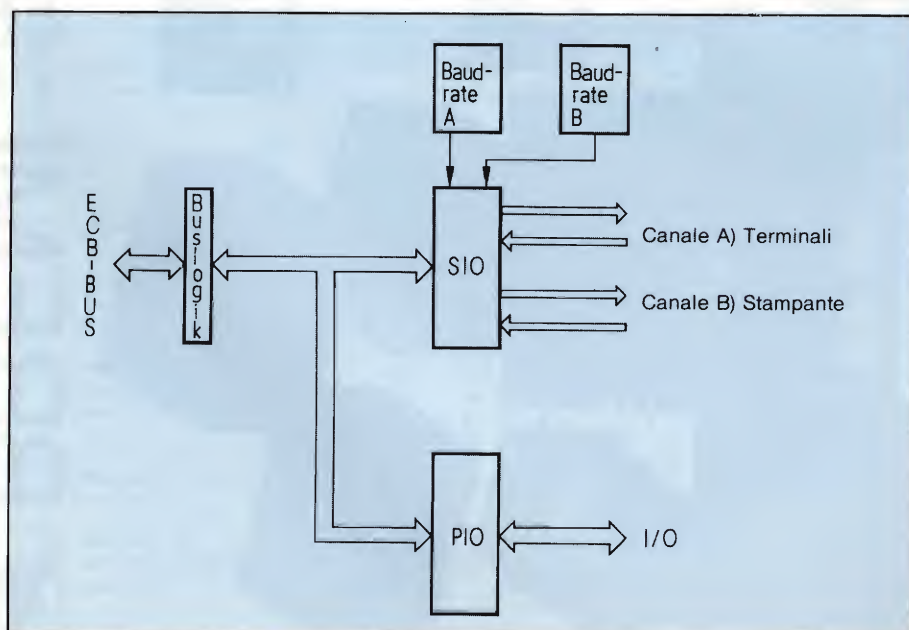


Fig. 1 - Lo schema a blocchi della scheda SIO/PIO.

Tabella 1 - Lista dei componenti della scheda SIO/PIO

- 1 - SIO -0A
- 1 - PIO -A opzionale
- 2 - 4702 BPC (Fairchild)
- 1 - 74LS00
- 1 - 74LS85
- 1 - 74LS138
- 1 - 74LS245
- 2 - 1489 (75189)
- 2 - 1488 (75188)
- 1 - 1 kΩ
- 1 - 10 MΩ
- 2 - 68 pF
- 1 - Quarzo 2,4576 MHz
- 1 - Interruttore DIL, 8 poli
- 1 - Connettore DIN 41612 a 64 poli colonne a + c
- 2 - Zoccoli 40 piedini
- 1 - Zoccolo 20 poli
- 5 - Zoccoli 24 poli
- 4 - Zoccoli 16 poli
- 1 - Zoccolo 14 poli
- 1-2 - Connettori a vaschetta 25 poli in forma angolare (opzionale: uno solo).



usare componenti (SIO e PIO) di tipo "B".

Gli indirizzi di I/O (Input/Output) sono selezionabili tramite i ponticelli J. Il monitor che pubblicheremo in un prossimo articolo non richiede alcun ponticellamento (tutti i ponticelli "aperti") e gli indirizzi dei componenti sono perciò ("H" per esadecimale):

SIO canale A	dati	F0H
	stato	F1H
SIO canale B	dati	F2H
	stato	F3H
PIO port A	dati	F4H
	contrl	F5H
PIO port B	dati	F6H
	contrl	F7H

Il circuito di selezione degli indirizzi è composto dal comparatore V1 (74LS85) e dal decodificatore D1 (74LS138) che abilitano il SIO ed il PIO portando a livello basso le rispettive entrate CE (Chip Enable = abilitazione dell'integrato), qualora dovesse apparire sul BUS uno degli indirizzi sopraelencati.

Contemporaneamente viene abilitato il "driver" (= pilota) dei dati B1 tramite le due porte N1 e I1. La direzione del flusso dei dati viene predisposta con il segnale di lettura: RD (Read).

Gli integrati B2 e B3 (TL188 e TL189) generano i segnali di entrata ed uscita seriali in conformità allo standard RS 232. Il layout della scheda è progettato in modo da poter disporre due connettori a vaschetta (Standard RS232) direttamente sul bordo opposto a quello del connettore del BUS.

Un unico quarzo pilota il generatore di Baud costituito dagli integrati BD1 e BD2 (4702). La frequenza di trasmissione e ricezione seriale può venire impostata separatamente per i due canali A e B tramite interruttori di tipo DIL (Dual In Line) visibili sulla piantina della disposizione dei componenti (DIL-SW).

Come già detto, i due canali seriali del SIO sono previsti per il terminale video (canale A) e per la stampante del sistema (canale B), mentre le linee parallele del PIO sono libere, a disposizione dell'utente e accessibili sullo zoccolo DIL a 24 piedini ben visibile sulla disposizione dei componenti. Il layout è progettato in modo che può venir usato anche un connettore per cavo piatto (vedi figura 4).

Il layout della scheda è riportato in figura 3 (lato saldature) e figura 4 (lato componenti). La figura 5 mostra la disposizione dei componenti. Tutti i circuiti integrati sono montati su appositi

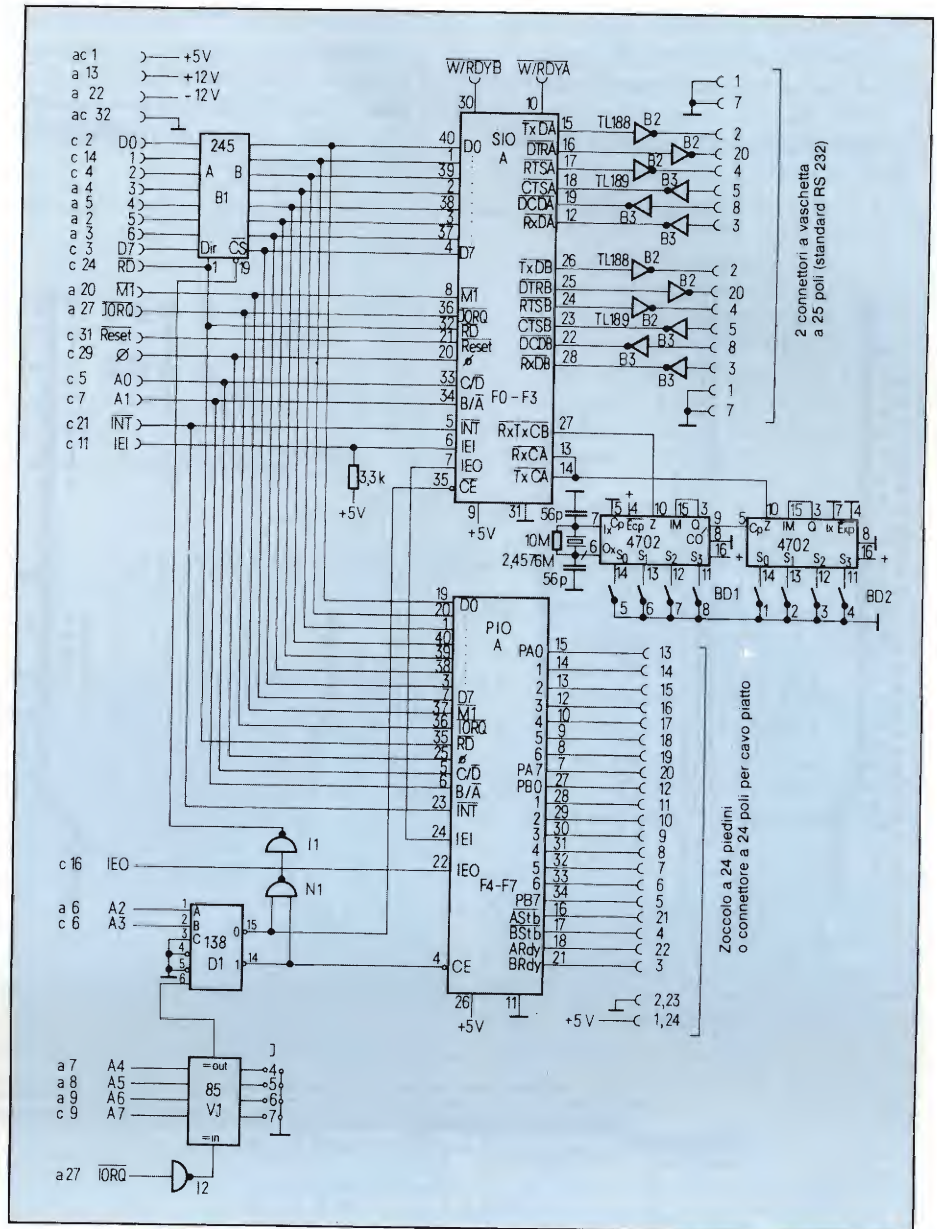


Fig. 2 - Il circuito completo della scheda SIO/PIO.

zocchi per facilitare la fase di collaudo e messa in funzione.

## Montaggio e test della scheda

1. Montaggio dei componenti passivi e degli zocchi.
2. Scelta della frequenza di Baud (vedi la tabella di figura 6).
3. Montaggio degli integrati eccetto il SIO il PIO ed il Pilota B1.
4. Applicazione della tensione di alimentazione e misura dei valori: il piedino 9 del SIO deve essere a +5 V, il piedino 31 a massa. Accertarsi della presenza delle tensioni di +12 V e -12 V (presenti sul connet-

tore del BUS ECB rispettivamente ai piedini a13 e a22).

5. Il piedino 26 del PIO porta +5 V, il piedino 11 è a massa.
6. Ai piedini 13, 14, 27 del SIO deve esservi presente una frequenza pari a 16 volte la frequenza di Baud prescelta.
7. I piedini 20 del SIO e 25 del PIO devono portare il segnale di clock presente alla CPU.
8. I piedini 15, 16, 17, 18, 19, 12, 26, 25, 24, 23, 22, 28 del SIO devono avere un segnale fra 0 V e +5 V: questo è un test per verificare gli integrati B2 e B3 per l'interfaccia RS 232.



9. Al piedino 35 del SIO deve essere presente la sequenza di *figura 7*.
10. Lo stesso vale anche per il pilota al BUS B1.
11. Montaggio degli ulteriori integrati.
12. Nel caso che la CPU funzioni sotto il controllo del monitor, dopo aver premuto il tasto di RESET, al piedino 15 del SIO deve essere presente un treno di impulsi visibili all'oscilloscopio.
13. Se il treno di impulsi è presente, si può collegare il terminale video. Sullo schermo apparirà il messaggio del monitor ed il sistema reagirà alla battuta di un tasto della tastiera.

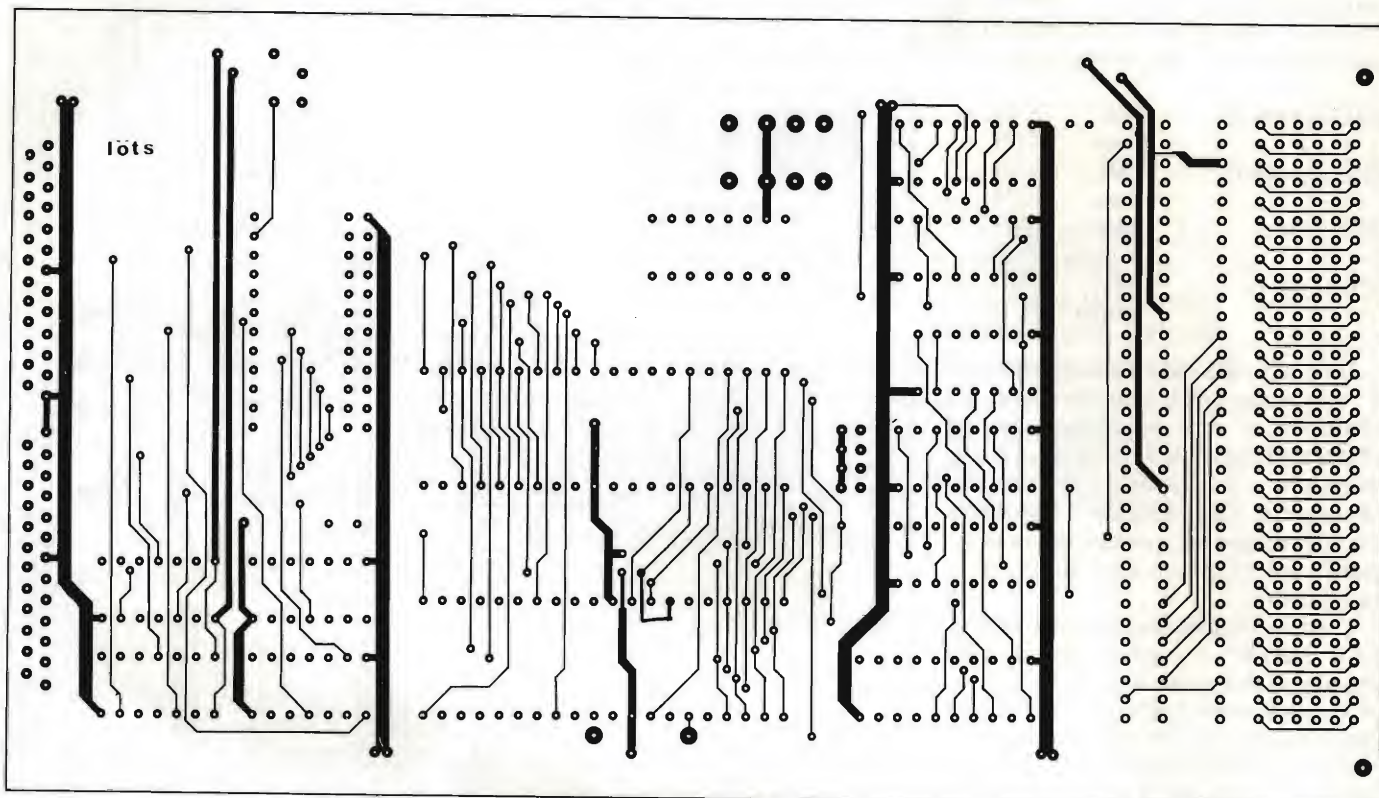


Fig. 3 - Il layout: lato saldature.

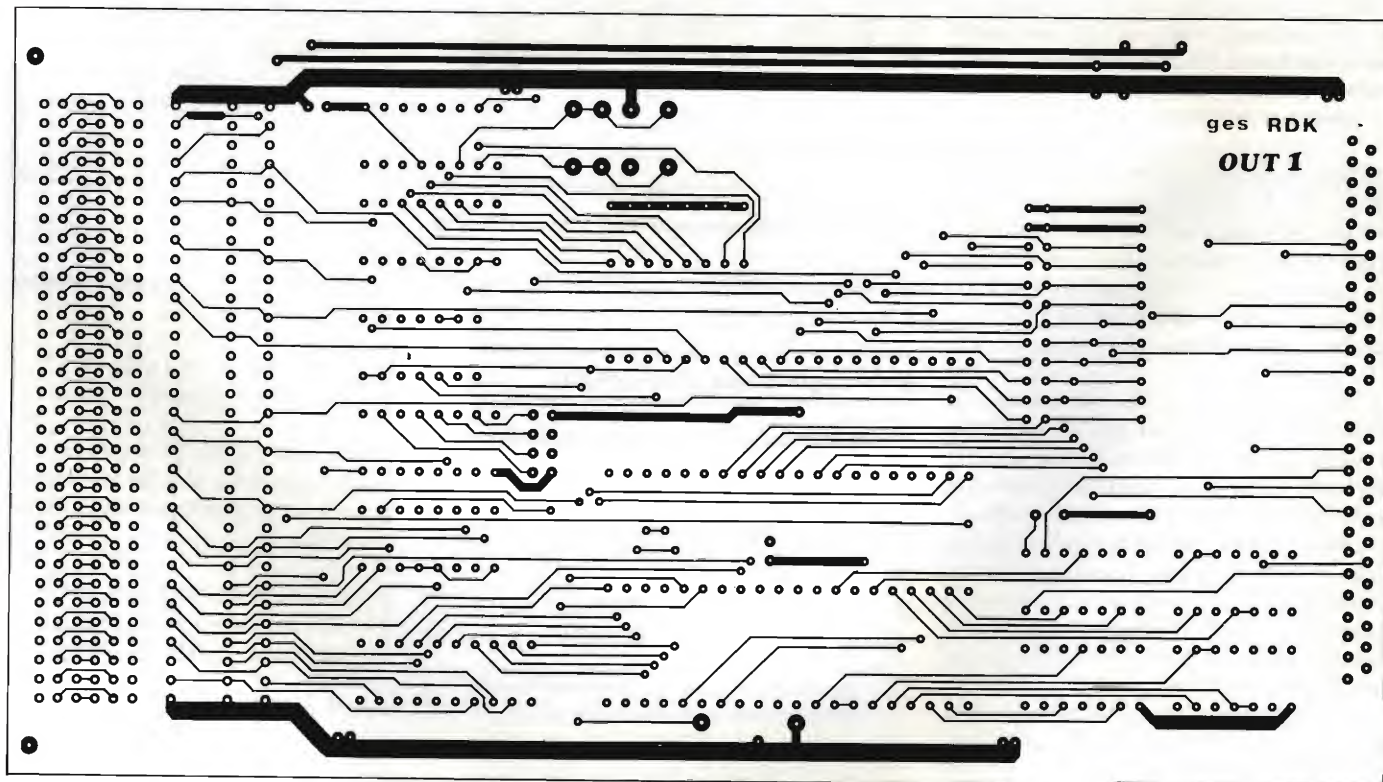


Fig. 4 - Il layout: lato componenti.



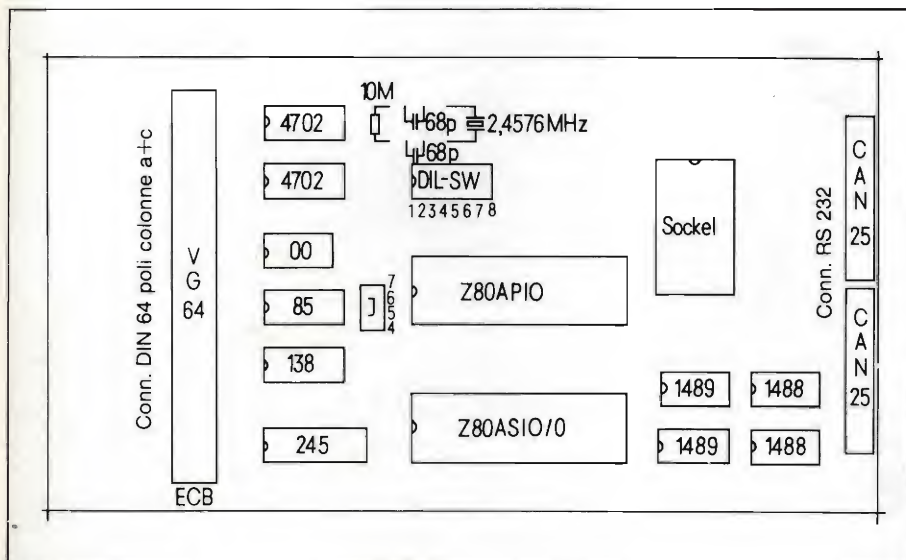


Fig. 5 - La disposizione dei componenti.

11	12	13	14	<- Pin
S 3	S 2	S 1	S 0	Baudrate
0	0	0	0	19200 (extn)
0	0	0	1	19200 (extn)
0	0	1	0	50
0	0	1	1	75
0	1	0	0	134.5
0	1	0	1	200
0	1	1	0	600
0	1	1	1	2400
1	0	0	0	9600
1	0	0	1	4800
1	0	1	0	1800
1	0	1	1	1200
1	1	0	0	2400
1	1	0	1	300
1	1	1	0	150
1	1	1	1	110

Fig. 6 - La tabella delle "Baud-rate".

14. Se la reazione alla tastiera non si verificasse (nonostante la presenza del treno di impulsi al piedino 15), verificare la presenza di un altro treno al piedino 12 che deve essere presente quando si preme un tasto della tastiera. Se il sistema non reagisce nonostante la presenza di ambedue i treni di impulsi, allora può darsi che non siano corretti o la frequenza di BAUD oppure il numero dei Bit di Stop. I treni di impulsi per ogni singolo carattere trasmesso e ricevuto deve presentare 8 Bit con uno Stop-Bit (senza parità).
15. Se i test precedenti risultassero negativi, bisogna proseguire con l'aiuto di una EPROM di test.
16. La figura 6 riporta un piccolo programma per il test della decodifica della scheda, e ne riporta l'oscillogramma alle entrate CS (Chip Select) del SIO e del PIO.
17. Non appena il terminale video funziona, si può procedere alla verifica del PIO. Ora si può inserire il

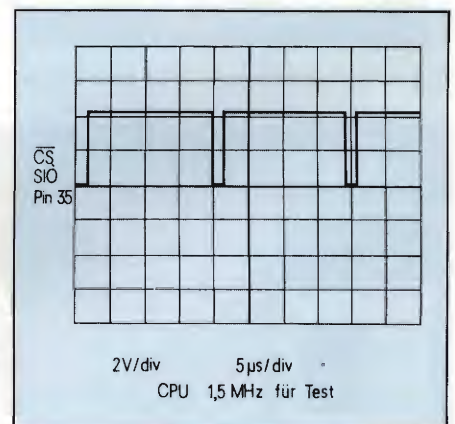
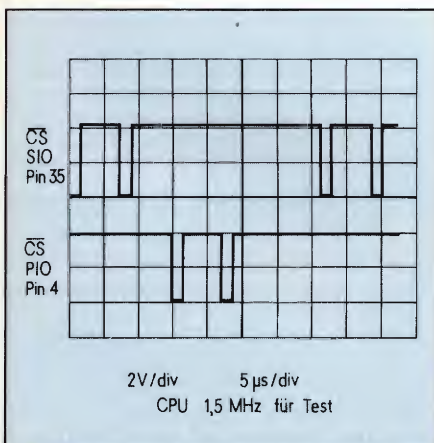


Fig. 9 - L'oscillogramma del test di decodifica.



```

*****
Test di decodifica per la scheda SIO/PIO
*****
;
;
;
lp:   in      0f0h    ;input sio
      out    0f0h    ;output sio
      in     0f4h    ;input pio
      out    0f4h    ;output pio
;
end

```

Fig. 7 - L'oscillogramma per il monitor standard. Fig. 8 - Il programma per il test di decodifica.



```

ld      a,00001111b      ;output mode
out     0f5h              ;port a
out     0f7h              ;port b
lp:     inr      a          ;dati
out     0f4h              ;sul port a
out     0f6h              ;e b
jp      lp
end
    
```

Fig. 10 - Il programma per il test del PIO.

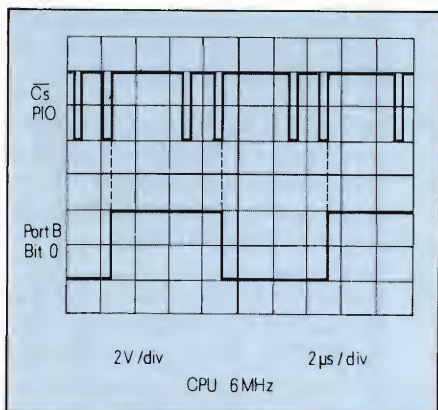


Fig. 11 - L'oscillogramma al Bit 0 del PIO A.

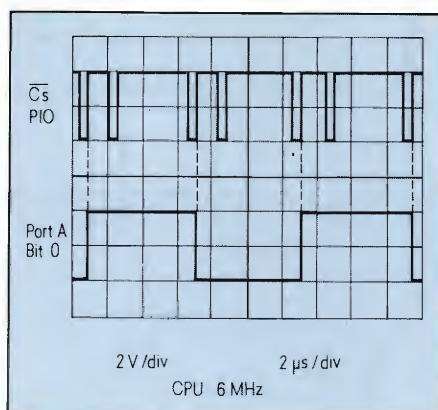


Fig. 12 - L'oscillogramma al Bit 0 del PIO B.

programma di test con l'aiuto del monitor del sistema. Il programma è riportato in figura 10.

18. Ambedue i ports del PIO vengono fatti "contare". Le figure 11 e 12 mostrano gli oscillogrammi dei rispettivi Bit 0 dei port A e B. I Bit più significativi avranno una frequenza pari alla metà dei Bit precedenti.

Il test è terminato e la scheda funzionante. Nella ricerca dei guasti bisogna prestare particolarmente attenzione ai cortocircuiti da saldatura che rappresentano la fonte di errori più frequente.

Con le due schede CPU e SIO/PIO il SELCOM è già in grado di eseguire modesti sviluppi di software (in linguaggio macchina con l'aiuto del monitor in EPROM).

Nei prossimi articoli pubblicheremo il programma di monitor e la scheda per il pilotaggio dei floppy-disc con la quale il SELCOM sarà in grado di girare sotto il controllo del noto sistema operativo CP/M.

Le schede del sistema SEL-COM sono reperibili presso la ASB-ELETTRONICA in Milano, Via Borgazzi, 2. Per ulteriori informazioni e chiarimenti sono naturalmente a vostra disposizione allo (02) 6592585.

## ABBONATI. UTILIZZATE QUESTO TAGLIANDO PER SCEGLIERE IL LIBRO DONO



Cod. 2300

Cod. 2301

Cod. 2302

Cod. 2303

Cod. 6011

Cod. 6008

Cod. 6015

Cod. TVC

Sono abbonato per il 1984 alla seguente rivista:

☐ Sperimentare

☐ Cinescopio

☐ Selezione

☐ Electronic Games

PER TALE RAGIONE SCELGO IL SEGUENTE LIBRO DONO

☐ Cod. .... ☐ Cod. ....

☐ Cod. .... ☐ Cod. ....

☐ Cod. .... ☐ Cod. ....

☐ Cod. .... ☐ Cod. ....

Nel caso detto libro fosse esaurito in alternativa scelgo il libro:

☐ .....

.....

.....

Nome .....

Cognome .....

Via .....

Cap. ....

Città .....

PER FAVORE SCRIVERE A MACCHINA O STAMPATELLO

RITAGLIARE E SPEDIRE IN BUSTA CHIUSA A: J.C.E. - Via dei Lavoratori, 124 - 20092 Cinisello Balsamo (MI)



## Ampia gamma di sensibilità verticali

Fattori di scala da 100 V div. (sonda x 10) a 2 mV div. (sonda x 1).  
Precisione  $\pm 3\%$ .  
Accoppiamento c.c. e c.a.

## Due canali ad alta sensibilità

Banda passante dalla c.c. a 60 MHz da 10 V div. a 20 mV div.; 2 mV div. dalla c.c. a 50 MHz.

## Velocità di scansione

Da 0,5 s a 50 ns. Fino a 5 ns div. con l'espansore x 10.

## Misure con scansione ritardata

Precisione  $\pm 3\%$  con la singola base tempi (mod. 2213);  $\pm 1,5\%$  con la doppia base tempi (mod. 2215).

## Completo sistema di trigger

Le modalità disponibili sono: quadro TV, normale, automatico, con selezione CH1, CH2 od entrambi. Sorgente interna, esterna e rete. Holdoff variabile.

## Sonde comprese

Due sonde x 10. L'intera banda passante di 60 MHz è disponibile sul puntale delle sonde stesse.



# pronto, Tektronix

## Basta una telefonata

Mai è stato così facile avere un oscilloscopio Tektronix. Basta infatti una semplice telefonata per ordinare un oscilloscopio TEK 2213 o 2215 e riceverlo direttamente al vostro domicilio completo di sonde, manuali di impiego e di servizio.

## Pronta consegna

Gli oscilloscopi TEK 2213 e 2215 non solo sono facili da ordinare ma anche rapidi da ottenere. Infatti, solo per questi modelli la Tektronix ha deciso di offrire la pronta disponibilità presso i suoi uffici commerciali in tutto il mondo.

## Affidabilità alta, prezzo basso

L'attenta progettazione e la razionalizzazione della produzione ha

permesso non solo di ottenere strumenti più affidabili, ma anche di contenere i costi. Questo ha portato un beneficio immediato ai clienti Tektronix: il basso prezzo. Gli oscilloscopi TEK serie 2200 sono infatti offerti ad un prezzo estremamente competitivo specie se valutato rispetto a quanto questi strumenti offrono in fatto di prestazioni, affidabilità e durata di garanzia.

**TEK 2213 - Lire 1.990.000\***  
Sweep ritardato

**TEK 2215 - Lire 2.400.000\***  
Doppia base tempi

\* Compresi il coperchio frontale e due sonde.  
IVA esclusa - Prezzi indicativi causa fluttuazione cambi.

## Garanzia totale di 3 anni

La realizzazione di questi oscilloscopi, particolarmente studiata sotto il profilo dell'affidabilità, ha permesso alla Tektronix di offrire, per la prima volta in questo settore industriale, una garanzia completa di tre anni comprensiva sia di parti (incluso il CRT) che di manodopera.

## TEKTRONIX S.p.A.

20141 MILANO  
Via Lampedusa 13 - Tel. (02) 8466446  
00141 ROMA  
P.za Antonio Baldini 45 - Tel. (06) 8278041  
10141 TORINO  
Via Card. M. Fossati 5 - Tel. (011) 3351143

**Tektronix®**  
COMMITTED TO EXCELLENCE



# TROVATO IL GUASTO IN UN SOFFIO.

Le lunghe ricerche del componente guasto sono entrate nel passato. Ora basta un getto di refrigerante RFG 101 BITRONIC e il componente sospettato non ha scampo, si mette in mostra da sè.

Il principio è basato sulla reazione al freddo dei condensatori, delle resistenze, dei diodi, dei semiconduttori.

Il RFG 101 con la rapidità e la sicurezza che offre, è indispensabile per l'immediata localizzazione dei guasti e trova applicazioni non solo nel campo delle riparazioni radio-TV e apparecchiature elettroniche, ma anche nelle fasi di ricerca e sviluppo dei semiconduttori, dei computers, dell'automazione.

Ingredienti: fluoro-cloro-carburi 100%

Punto di ebollizione:  $-30^{\circ}\text{C}$

Pressione collaudo bombola vuota: 14 Atm.

Temperatura collaudo bombola

piena:  $50^{\circ}\text{C}$

Pressione max bombola a  $50^{\circ}\text{C}$ : 11 Atm.

Non infiammabile

Confezionato a norme CEE



**BITRONIC®**  
electro chemical development **B**



## THE RITMAN COLLECTION OF WIRELESS EQUIPMENT

dal nostro inviato a Londra

CHRISTIE'S  
SOUTH KENSINGTON



**C**irca 150 modelli di primordiali radio-ricevitori di fattura europea facevano corona ad una moderna telecamera giapponese quando il 1° Marzo scorso gli operatori della BBC sono entrati nella Hangar Room di Christie's per riprendere i preziosi oggetti in vendita, che appartenevano alla Ritman Collection.

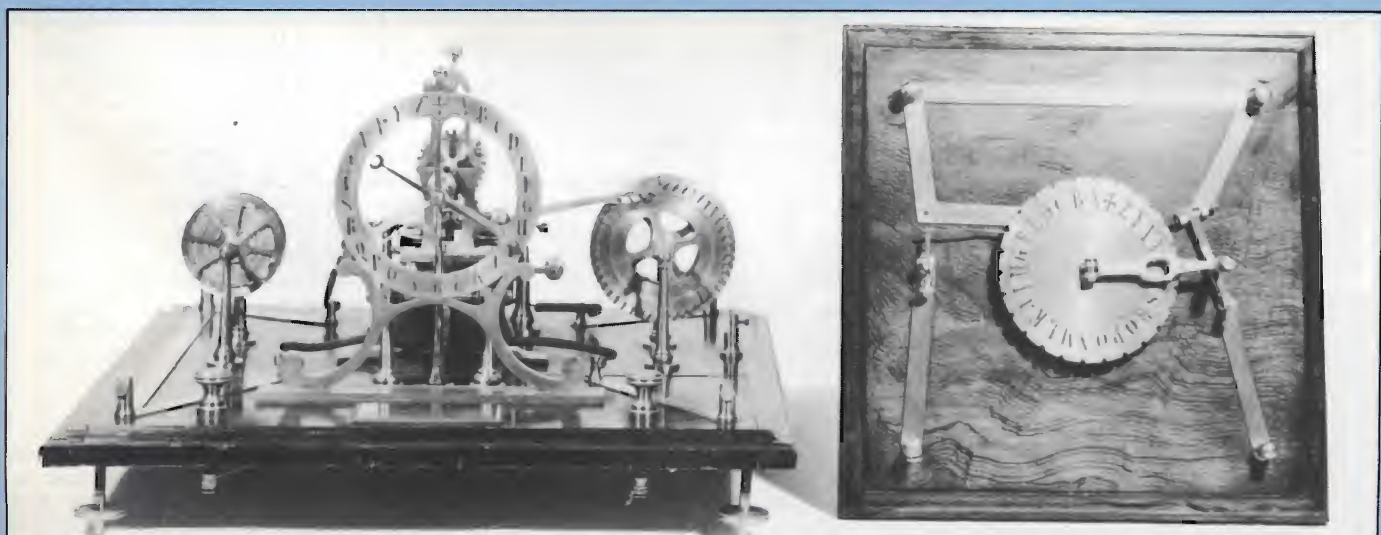
Christie's è soprattutto famoso per le sue aste di opere d'arte, porcellane, tappeti ma non disdegna la vendita di pezzi rari a qualunque campo essi appartengano.

Cosa è la Ritman Collection? Questa raccolta di centinaia di prototipi e parti di vecchi radiotelegrafi o televisori o più compiutamente

radioricevitori prende il nome da Tony Ritman Jr. un ricco commerciante olandese che pur dovendo le sue fortune alla lavorazione della plastica è stato un appassionato e dedicato collezionista di antiche costruzioni elettromeccaniche.

L'intera Collezione è stata smembrata in tre lotti: il primo riguardava apparecchiature alimentate direttamente dalla rete e quindi normalmente di fabbricazione negli anni 30.

Il secondo lotto è stato ceduto in questa occasione e proponeva radio-ricevitori di costruzione compresa tra il 1905 e il 1930 più di 2 modelli di telericevitori tra cui il famoso BAIRD TELEVISER. Mr. Ritman ha dichiarato che il rimanente non verrà posto in



Questo antenato del Telex, di fabbricazione francese composto da una base ricevente ed una trasmittente è stato venduto a 1600 sterline. La trasmissione tra le due basi avviene via cavo.



# THE RITMAN COLLECTION

vendita pubblica ma rimarrà presso la sua collezione privata. Ecco quindi che il 1° di marzo rappresentava un'occasione più che unica per i collezionisti di poter mettere le mani su pezzi che sono altrimenti esposti in musei come il famoso Wireless Museum nell'isola di White o il Chalk Pitts Museum vicino ad Arundel.

Infatti nella affollata sala di Christie's erano presenti australiani, olandesi, americani, italiani e persino giapponesi.

La presenza di questi ultimi non è certo motivata da intenzioni spionistiche bensì da un apparente desiderio di una completa vittoria sulla tecnologia occidentale.

Non a caso ben otto tra i più costosi apparecchi all'asta sono stati acquistati da compratori giapponesi.

## I PEZZI PIU' RARI

Al centro della sala splendeva, lucido come appena uscito dal genio che l'ha progettato l'antenato del moderno telex.

Genericamente definito come "Telegrafo Ricevente e Trasmettente" è composto da due basi in legno su cui si appoggia il meccanismo fatto di solido ottone. Una base è la parte trasmettente, dove lettera dopo lettera lo scrivente inviava il messaggio tramite impulsi che via cavo ovviamente raggiungevano la parte ricevente e stimolavano un disco stampante.

La preziosità di questo primordiale telex consiste nel fatto che questo pezzo in particolare non esce dalla piccolissima serie fabbricata a Lione alla fine del secolo scorso bensì è il prototipo funzionante creato dagli inventori: Benevillo e Coquais.

Non per nulla questa autentica meraviglia è stata venduta per 1600 sterline pari a 4 milioni tondi.

Di particolare interesse affettivo erano alcuni ricetrasmittenti usati durante la I Guerra Mondiale.

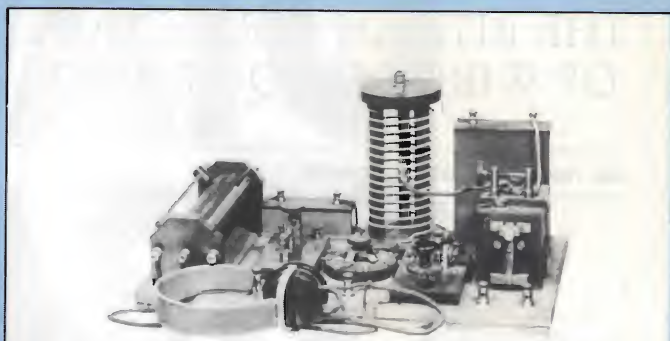
Quello che appariva nello stato migliore era un MARK II A/947 costruito nel 1916 dalla General Electric Co. Questo modello era in dotazione sui velivoli inglesi come pure l'altro G.E. A/325 dotato di 5 valvole V24 che però era solo ricevente.

L'A/947 è stato venduto a sole 150.000 Lire, molto al di sotto del suo valore, mentre sorprendentemente il ricevitore ha raggiunto le 300 Sterline (750.000 L.).

Per quanto riguarda le comunicazioni terrestri il più diffuso tra gli alleati era il modello MARK III un ricevente sulle OM prodotto dalla W/T Factory. I modelli presentati hanno quasi raggiunto il milione di Lire. Il modello MARK II, trasmettitore 20 WATT di uscita è stato aggiudicato a 220 Sterline (550.000 L.).

Un altro MARK III 3459, ricevitore ad onde corte, in perfette condizioni ha raggiunto le 350 Sterline (circa 900.000 L.).

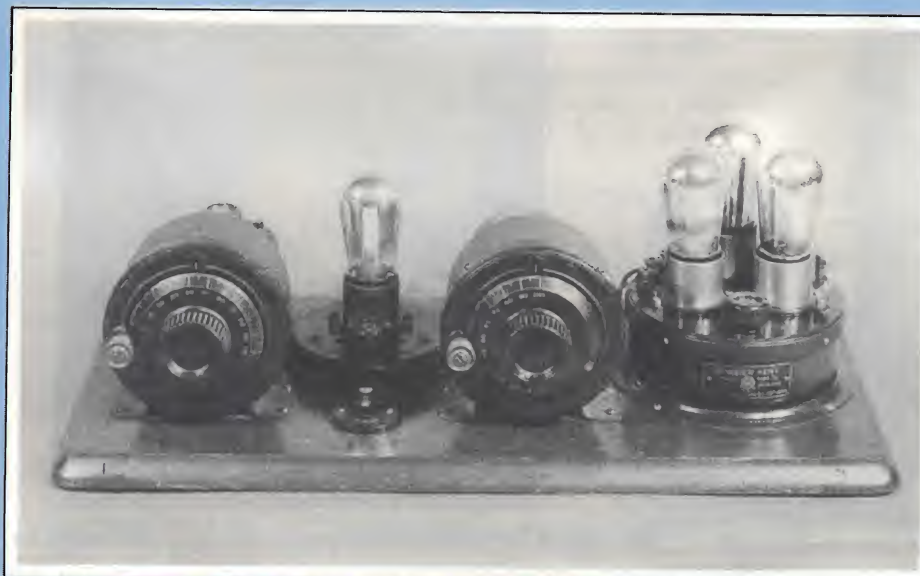
Naturalmente anche ricevitori in dotazione nelle trincee dell'Asse sul fronte Francese hanno raggiunto ottime quotazioni.



Ricetrasmittitore con tasto Morse. L'omologazione di questo apparecchio reca la data del 1907. Ha raggiunto il mezzo milione di lire che a nostro parere è un ottimo prezzo.



Ricevitore Marconi V2. Questo stupendo pezzo funzionante, dotato di 2 valvole reca il marchio d'omologazione della BBC. Il prezzo di vendita è stato 220 sterline.



Questo ricevitore a 4 valvole è un capolavoro di funzionalità e semplicità. Probabilmente costruito negli anni 1919/1920 dalla ATWATER KENT, ditta chiusa prima della seconda guerra mondiale, e stato venduto ad 1 milione e mezzo di lire.



Quanti apprezzatori di queste meraviglie della tecnica vorrebbero possedere un A.J.S. a sette valvole! Il mobile in lucido mogano comprendeva un compartimento che alloggiava sia l'accumulatore H.T. per l'anodo e sia l'accumulatore a 2 V per i filamenti.



Ad esempio un Ricevitore "prussiano" Loewe con una sola valvola e potenziometro regolabile è stato aggiudicato a 300 sterline.

Altri ricevitori che hanno superato il milione di lire erano dei BURNDY del 1922. Questa marca considerata la Rolls Royce degli anni 20 e 30 è ancora in attività a Erith, Kent ed ora è specializzata nei radioricevitori per la polizia e per il soccorso marino.

Un bellissimo ricevitore Gecophone del 1927 è stato acquistato da un compratore italiano. Gecophone era il vecchio marchio dell'odierna General Electric Company.

## I PROSSIMI APPUNTAMENTI PER I COLLEZIONISTI

Strumenti scientifici	Apparecchi fotografici	Strumenti meccanico-musicali
14 Giugno	21 Giugno	
16 Agosto	16 Agosto	9 Agosto
18 Ottobre	4 Ottobre	11 Ottobre
20 Dicembre	15 Novembre	15 Dicembre

Tutte le aste si svolgono di giovedì alle 14

Per ottenere i cataloghi di ogni manifestazione scrivete a Christie's 85 Old Brompton Road London SW7  
Att. Miss. Deborah Harman

## IL TELEVISORE BAIRD

Lo scozzese John Logie Baird (1888 - 1946) è uno dei pionieri delle trasmissioni video.

Trasferitosi giovanissimo ad Hastings nel Sussex già nel 1923 costruì un apparato TV con vecchie scatole di biscotti dando inizio alle prime rice-trasmissioni di immagini fisse.

La prima fu la Croce di Malta e la trasmissione non superò la distanza di 3 metri. Egli lavorava basandosi sul disco di Nipkow cioè un primitivo analizzatore meccanico di immagini.

A Londra nel 1926 ci fu la prima dimostrazione pubblica della ricomposizione elettro-meccanica di una pellicola cinematografica. Il risultato, a mezzi toni, era formato da 30 linee che si ripetevano 10 volte al secondo su un quadro di dimensioni 5 per 3 cm.

Nel 28 Baird compì i suoi progressi migliori.

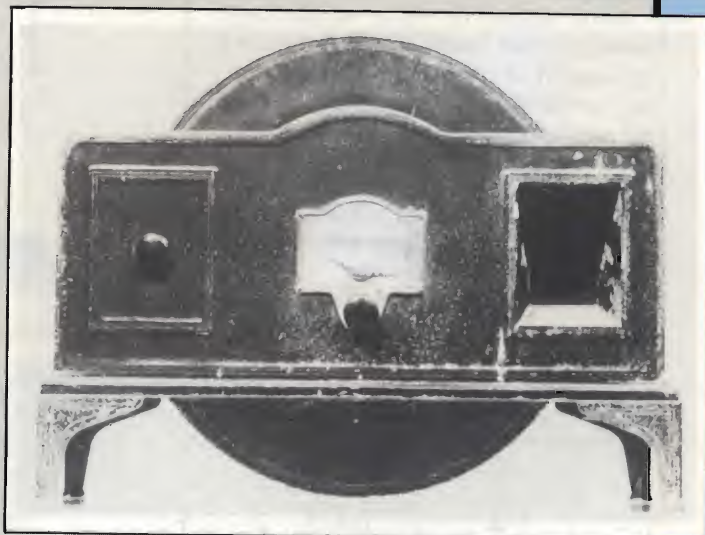
L'8 Febbraio riuscì ad effettuare la prima trasmissione intercontinentale tra Coulsdon, U.K. e Hartdale, U.S.A.

Baird effettuò dopo pochi mesi la prima dimostrazione pratica di un sistema radiovisivo cromatico impiegando ancora il disco di Nipkow con una serie di 3 spirali di 30 fori ciascuno: una spirale di fori per ogni colore primario.

L'immagine veniva ricostruita da due lampade a scarica di gas più una al neon. Una lampada a vapori di mercurio per il verde, una a vapori di elio per il blu mentre quella al neon per il rosso.

A maggio Baird iniziò a trasmettere sia informazioni video che audio.

Comunque Baird non fu l'inventore della televisione in assoluto in quanto nel periodo degli anni 20 decine di fisici e ingegneri lavoravano sulla trasmissione di immagini accavallando i risultati o migliorando scoperte di altri.



Tra gli altri: Alexanderson, De Forest (triode), Zworykin (iconoscopia) Fleming (diode Termionica), Jenkins, Ives e pure il nostro John Geloso che, come Baird, sviluppò il disco di Nipkow.

Certamente Baird fu uno dei pochi che iniziò una attività commerciale per sfruttare il suo genio e il risultato fu una piccola serie di TV che funzionavano con un disco posteriore.

Uno di questi antenati è stato venduto durante l'asta per quasi 7 milioni ad un museo australiano.



# BIPOLARI O POWERMOS IN INVERTER

a cura della Redazione

È nostra intenzione dare con queste brevi note una risposta univoca a questo interrogativo. I grafici e la tabella dovrebbero essere sufficienti a fare imboccare la strada giusta al progettista dei sistemi di potenza.

**G**li ultimi progressi effettuati nella tecnologia di costruzione dei semiconduttori di potenza, e l'introduzione di circuiti integrati LSI, appositamente studiati per realizzare sistemi di controllo a modulazione della larghezza dell'impulso (PWM), hanno permesso di semplificare notevolmente i sistemi di controllo della velocità dei motori a induzione. In questi sistemi, il motore trifase può essere alimentato sia mediante rete monofase che trifase; la scelta del tipo di "interruttore di potenza" da impiegare nell'inverter dipenderà in questi casi, in gran parte, dalla potenza del motore impiegato.

Molto spesso la scelta oscilla tra i convenzionali transistori *bipolari* e i transistori *ad effetto di campo di potenza*, introdotti da appena qualche anno sul mercato, e denominati commercialmente POWERMOS dalla Philips.

Ognuno di questi due tipi di transistori e cioè "bipolari e FET/MOS" ha i suoi particolari vantaggi (e svantaggi naturalmente).

Entrambi, per esempio, sono facilmente pilotabili e, a differenza dei tri-

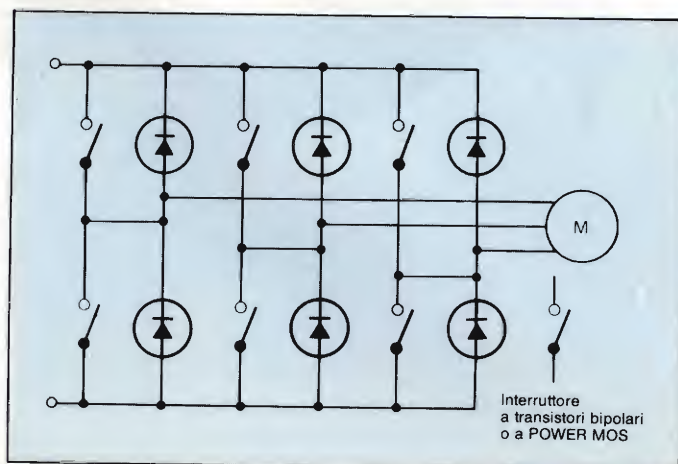
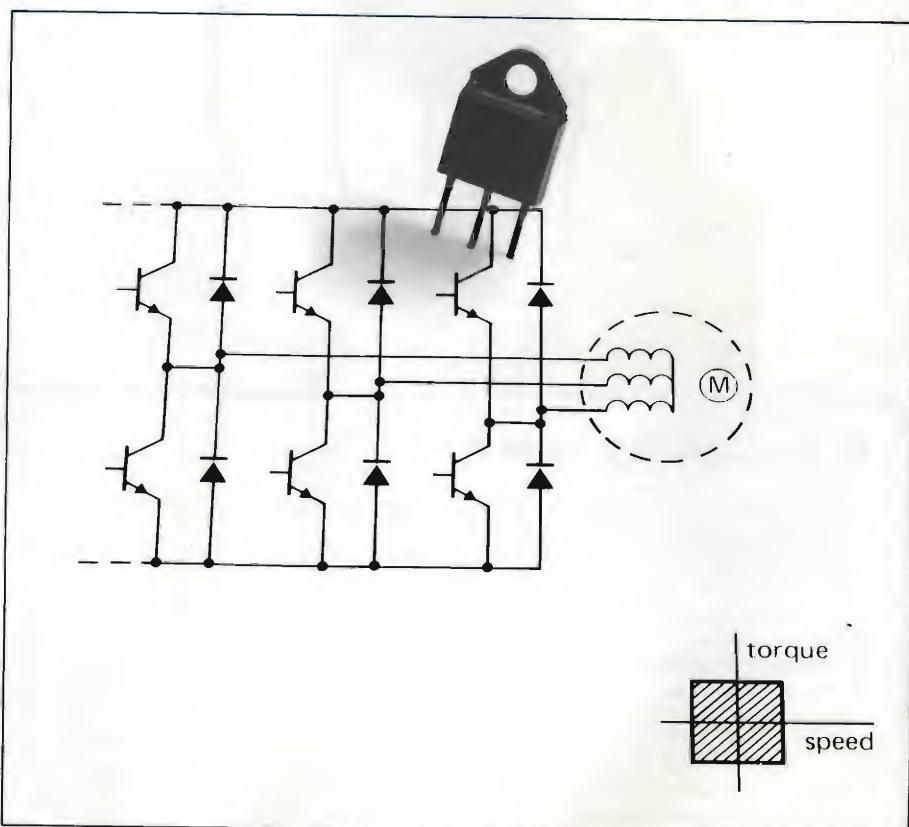


Fig. 1 - Schema semplificato di un inverter per motore ad induzione trifase.

stori e degli ASCR impiegati nei primi inverter PWM non richiedono i complessi circuiti di commutazione (ASCR = Asymmetric Silicon Controlled Rectifier). È noto che i tiristori, una volta portati in conduzione, non sono più bloccabili agendo sul gate. I circuiti di commutazione servono a bloccare un tiristore in conduzione, e sono assolutamente indispensabili negli inverter dove le fasi di "on" e di "off" si succedono a frequenze abbastanza elevate.

Questo articolo ha lo scopo di presentare al progettista i transistori di potenza (bipolari e MOS Philips) più adatti a soddisfare i vari livelli di potenza di un motore.



# PER MOTORI IN C.A.?

## POWERMOS oppure bipolare?

In un inverter destinato a comandare un motore mediante impulsi variabili in larghezza (PWM = Pulse Width Modulation) possono essere utilizzati i due tipi di transistori suddetti (figura 1).

I diagrammi riportati nelle figure 2 e 3 indicano i tipi di transistori bipolari o POWERMOS più adatti a soddisfare le esigenze di potenza richieste da una particolare applicazione. Viene inoltre fatta l'importante distinzione tra tensione di alimentazione di rete monofase oppure trifase. La tabella 1 elenca i parametri più importanti caratteristici di questi sistemi di regolazione della

Tabella 1 - Confronto delle prestazioni dei transistori POWERMOS e bipolari

Parametri	Transistori POWERMOS	Transistori bipolari di potenza
Velocità di commutazione	*****	***
Perdite dovute alla commutazione	*****	***
Perdite durante la fase di conduzione	***	*****
Tensione di bloccaggio	***	*****
Transitorio di corrente	****	***
Facilità di pilotaggio	*****	***
Area di funzionamento sicuro (SOAR)	*****	***
Facilità di collegamento in parallelo di più dispositivi	*****	****
Temperatura massima alla giunzione $T_{j\max}$	***	****
Prestazione:	***** molto buona	**** buona
		*** discreta



Fig. 2 - Transistori di potenza bipolari e POWERMOS per sistemi di controllo dei motori alimentati da tensione di rete monofase. Dei tipi BUT11, BUW11...13 e BUS11...14 sono disponibili anche versioni per alte tensioni. Una A aggiunta al numero del tipo indica questa possibilità.



velocità dei motori, e "assegna i voti" più o meno soddisfacenti che i due tipi di transistori (bipolari e FET) "si meritano" nel soddisfare ai parametri suddetti.

Il transistor *bipolare*, ovviamente, è il più conosciuto e quello maggiormente utilizzato come *interruttore statico*. Questo perché costa poco; quando conduce, possiede una bassa caduta di tensione tra emettitore e collettore (bassa tensione di saturazione) e infine sopporta alla giunzione ( $T_{j\max}$ ) valori elevati di temperatura.

Tra gli svantaggi occorre sottolineare quello di richiedere una potenza relativamente elevata per il suo pilotaggio, e di possedere un'area molto limitata entro la quale esso può funzionare senza creare problemi, (la cosiddetta caratteristica SOAR, Safe Operating Area).

Nella *figura 4* si può vedere un sistema di comando di un motore impiegante il transistor bipolare BUY 89.

I transistori *POWERMOS* sono una nuova famiglia di transistori di potenza realizzati in tecnologia MOS. I loro pregi sono: velocità di commutazione

(on/off) elevata, bassa potenza perduta in fase di commutazione, area di funzionamento (caratteristica SOAR) molto ampia, facilità estrema con cui possono essere portati in conduzione (on), oppure bloccati (off). Essendo essenzialmente dispositivi di potenza, essi sono molto robusti sia sotto il profilo termico che elettrico: occorre soltanto avere qualche particolare precauzione nel maneggiarli essendo dispositivi MOS (1).

### Costruzione e comportamento

Abbiamo più volte sottolineato che un transistor POWERMOS è formato in pratica da un gran numero di piccole celle di transistori MOS, tutte collegate in parallelo e fabbricate in un unico chip (3), (4). Nella *figura 5* viene mostrato in sezione un dispositivo POWERMOS con canale n, ad arricchimento. Qui vediamo come le sorgenti di ciascuna piccola cella (comprendente zone n e zone p) vengono impiantate su uno strato epitassiale drogato legger-

mente ( $n^-$ ), formato a sua volta su un substrato (che è poi il drain), drogato abbondantemente ( $n^+$ ). L'elettrodo del gate, in silicio policristallino fortemente drogato ( $n^+$ ) ricopre in forma di struttura a reticolo, tutta la superficie del chip, ed è isolato dalla sorgente delle singole celle mediante biossido di silicio.

Lo strato metallizzato depositato sulla parte superiore del chip viene messo a contatto con la sorgente di ciascuna cella sottostante mediante dei piccoli fori praticati nel reticolo isolato del gate di cui prima abbiamo parlato.

Ciascuna di queste *celle-sorgenti* funziona come un *singolo transistor indipendente*. A seconda della potenza trattata, il chip di un POWERMOS può essere più o meno grande; ciò vuol dire, in altre parole, che un transistor POWERMOS di potenza potrà avere un chip contenente un numero di singole celle collegate in parallelo, che potrà andare da molte centinaia fino ad arrivare a molte migliaia di celle.

Quando un dispositivo siffatto viene portato in conduzione (e ciò si verifica quando  $V_{GS}$  è positiva), nella regione p

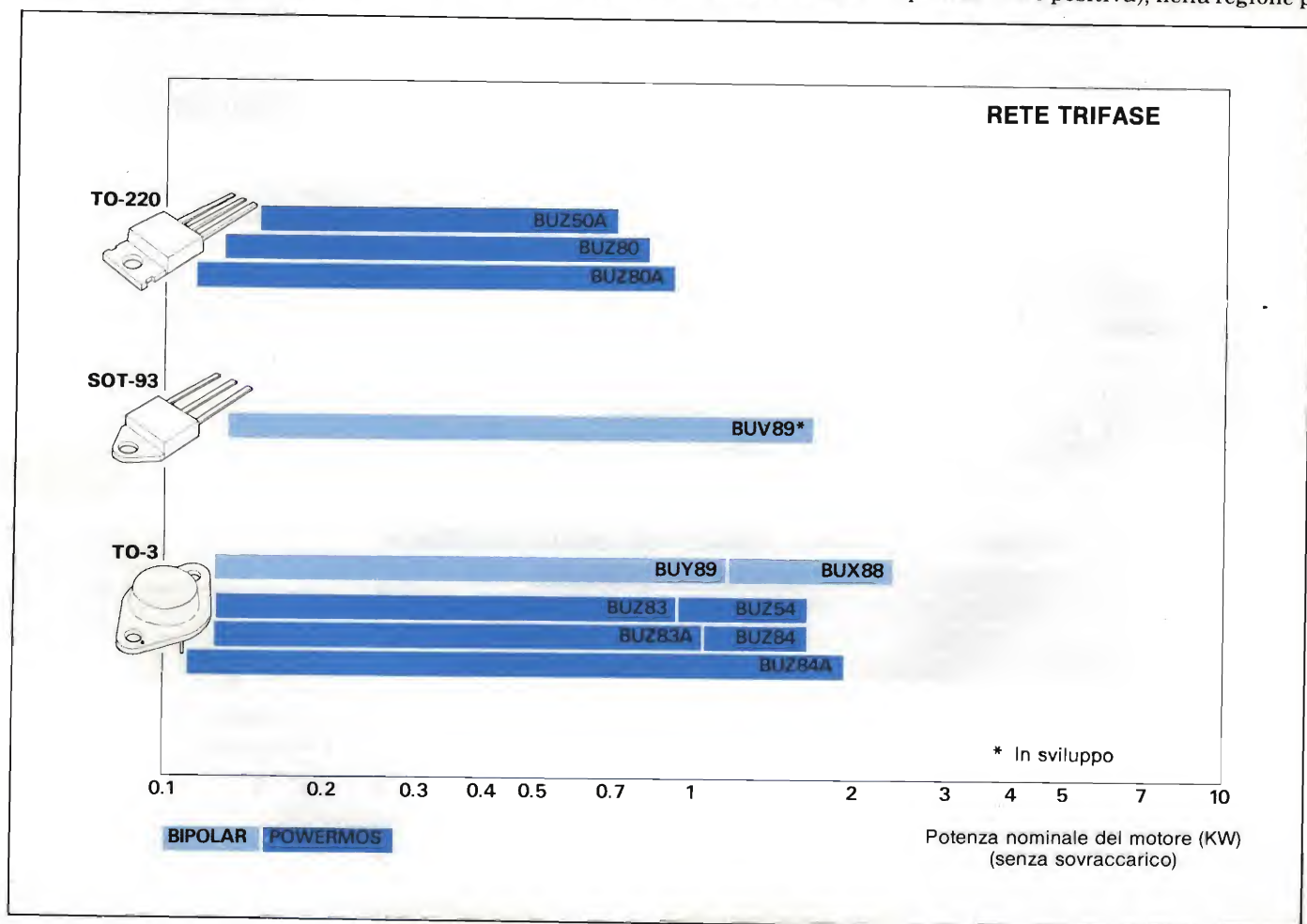


Fig. 3 - Transistori di potenza bipolari e POWERMOS per sistemi di controllo dei motori alimentati da tensione di rete trifase.



sotto il reticolo del gate, si forma uno strato di inversione che dà luogo ad una circolazione di corrente in senso verticale, che partendo dal drain, attraverserà tutto il "corpo" del chip, e orizzontalmente in direzione della sorgente. Questo flusso di corrente si distribuisce in ugual misura intorno al perimetro di ciascuna cella assicurando in questa maniera un completo sfruttamento del silicio del chip.

Una caratteristica interessante e non di poco conto dei FET/POWERMOS è il coefficiente positivo PC (PC = Positive Coefficient) che assume la resistenza presente tra source e drain quando il transistor viene portato in conduzione. Ciò significa che quando in una cella-sorgente la corrente tende ad aumentare, aumenterà ovviamente anche la sua temperatura, e a causa del coefficiente positivo della resistenza, aumenterà proporzionalmente anche il valore della resistenza del tratto source-drain. Ne consegue che una cella-sorgente che avesse la tendenza a far passare una quantità di corrente superiore a quella delle altre celle del chip, verrà ad avere un'azione autoli-

mitante che gli consentirà di liberarsi della corrente in sovrappiù e di ripartirla tra le altre celle del dispositivo. In questo modo sarà possibile realizzare una distribuzione autoregolata della corrente circolante nelle singole celle del transistor, e di conseguenza non avremo formazione dei cosiddetti "punti caldi" (hot-spot), dovuti a disuniformità di corrente. Gli hot-spot molto spesso fanno entrare il dispositivo in quel famoso anello termico (noto come *thermal runaway*) che alla fine porta alla distruzione del chip.

La proprietà delle singole celle-sorgenti di un chip POWERMOS di "donare" il loro sovrappiù di corrente alle celle limitrofe, può applicarsi ovviamente anche ai singoli POWERMOS discreti, ed è per questo motivo che di questi transistor di potenza se ne possono collegare in parallelo un gran numero, la seconda della potenza richiesta, senza andare incontro a particolari problemi (bisognerà ovviamente tener conto soltanto delle capacità d'ingresso e di uscita che, sommandosi, tendono a variare i tempi di salita degli impulsi) (2).

## I transistori bipolari

Nella figura 6 è riportata la struttura verticale di un transistor bipolare di potenza per alte tensioni in tecnologia mesavetro. Lo strato esterno fortemente drogato ( $n^+$ ), prodotto per diffusione è diventato ormai una fase tecnologica standard nei transistori bipolari a tripla diffusione. Esso serve infatti a produrre una transizione graduale tra le regioni  $n^+$  e  $n^-$ ; questa gradualità permette al transistor di avere un eccellente comportamento nei confronti del fenomeno della *seconda rottura* (second-break-down). Come è noto il fenomeno alla seconda rottura danneggia permanentemente il dispositivo in quanto rappresenta un corto tra emettitore e collettore.

Lo spessore e l'entità del drogaggio della regione  $n^-$  (collettore) determina la tensione di rottura collettore-emettitore nonché il guadagno di corrente a valori di corrente elevati.

I bordi dei cristalli sono ricoperti di vetro (passivazione in vetro); ciò serve ad abbassare il valore delle correnti

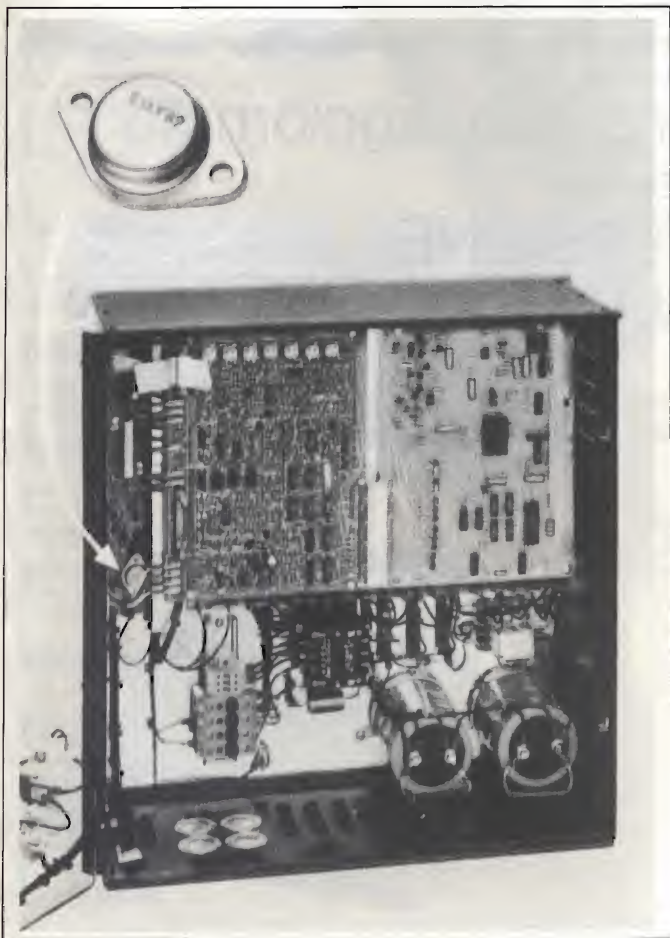


Fig. 4 - Sistema di regolazione della velocità di un motore trifase da 5 kVA. Nell'inverter sono stati impiegati i transistori bipolari BUY 89 (Foto GEC Ltd).

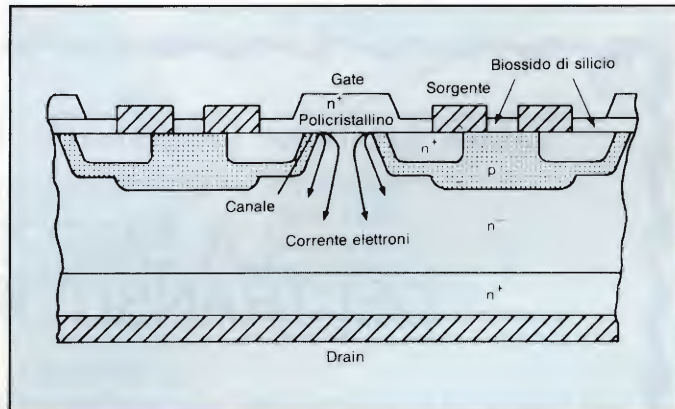


Fig. 5 - Sezione di un cristallo di un transistor POWERMOS con canale n, ad arricchimento. La corrente scorre verticalmente attraverso il chip e poi orizzontalmente attraverso il canale sotto il gate, dentro la sorgente.

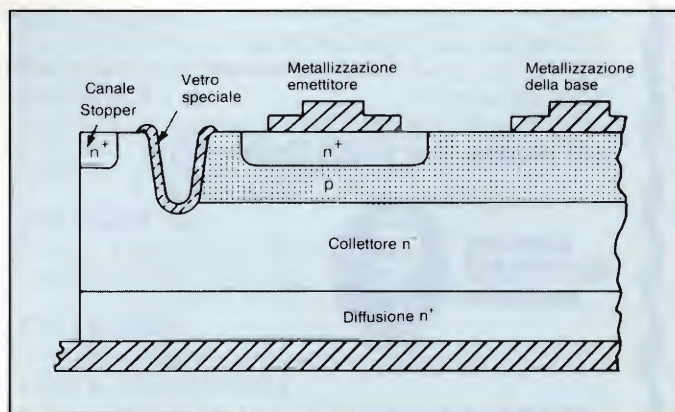


Fig. 6 - Sezione di un transistor di potenza bipolare ad alta tensione.



disperse e rendere stabile la giunzione base-collettore.

Tutt'intorno alla base viene effettuata mediante attacco chimico un solco. Per ridurre l'intensità del campo elettrico nelle vicinanze di questo solco, si provvede a ricoprire quest'ultimo con uno strato di vetro speciale.

I vantaggi ottenuti da questa ricopratura (passivazione) in vetro sono:

- maggiore stabilità della giunzione base-collettore rispetto a quella dei cristalli ricoperti con gomma-silicone; ciò è dovuto essenzialmen-

te al contatto più intimo che si stabilisce tra strato passivato e cristallo (vetro su silicio scavato);

- possibilità di incapsulare il cristallo entro contenitori di plastica senza correre il pericolo di degradare nel tempo il funzionamento del transistor. E questo, per il fatto che la giunzione base-collettore viene ad essere come "sigillata" dallo strato passivatore. Si sa infatti che i cristalli dei transistor per alte tensioni non possono essere incapsulati in contenitori di plastica senza neces-

sariamente andare incontro a problemi di sicurezza di funzionamento nel tempo.

Infine, per ottimizzare la distribuzione del potenziale viene aggiunto per diffusione un "channel stopper" fortemente drogato ( $n^+$ ).

## Conclusione

Le poche notizie riguardanti la struttura interna dei due tipi di transistori sono state date solo per far vedere come si è giunti a dare a questi MOS di potenza le caratteristiche particolari che essi presentano nei confronti dei bipolari.

Il progettista dovrà tener principalmente sott'occhio sia i diagrammi delle figure 2 e 3 sia la tabella 1. Con in mano i dati del suo problema, i dati da noi forniti e un buon circuito di un inverter, avrà molte probabilità di risolvere il suo problema in un tempo ragionevole senza dover mettere "fuori combattimento" qualche transistor bipolare o MOS.

## Bibliografia

- 1) B. Bohlburg - *Le scariche elettrostatiche e i dispositivi MOS* - **SELEZIONE di tecniche elettroniche** n. 10/1983, pagina 32.
- 2) A. Hauenstein - *Transistori SIPMOS e circuiti di commutazione* - **SELEZIONE di tecniche elettroniche** n. 10/1983, pagina 28.
- 3) L. Cascianini - *FET-MOS di potenza. Darlington e GTO a confronto* - **SELEZIONE di tecniche elettroniche** n. 12/1983, pagina 10.
- 4) Redazione - *Transistori SIPMOS: Tecnologia e caratteristiche* - **SELEZIONE di tecniche elettroniche** n. 1/1984, pagina 14.
- 5) H. Bichler - *SIPMOS per regolare la velocità di un motore in cc* - **SELEZIONE di tecniche elettroniche** n. 1/1984, pagina 18.
- 6) Redazione - *Interruttore statico di potenza con FET/MOS* - **SELEZIONE di tecniche elettroniche** n. 1/1984, pagina 93.

## Una guida pratica, preziosa, aggiornata

General Electric

## LA SOPPRESSIONE DEI TRANSITORI DI TENSIONE

Un libro che riassume i risultati delle pluriennali ricerche effettuate da una delle massime industrie mondiali sulle cause, gli effetti, la frequenza dei sovraccarichi di tensione derivanti dai disturbi atmosferici o da altri motivi. Un'opera eminentemente pratica che si propone di dare ai tecnici un contributo fattivo alla soluzione di questo annoso problema, anche attraverso l'indicazione della vasta gamma di dispositivi di protezione che la G.E. ha messo a punto sulla scorta dei suoi studi e delle esperienze.

216 pagine. Lire 12.000 Codice 611 A

**GRUPPO  
EDITORIALE  
JACKSON**





# multimetri digitali tascabili

DISPLAY A  
CRISTALLI LIQUIDI

3 1/2 digit

L. 90.700  
+IVA

**TS/3000-00**  
Mod. 5608  
"Super Slim"

Selezione delle portate con  
commutatore rotante  
8 funzioni - 28 portate  
Dimensioni: 150x82x26 mm  
Peso: 250 g

## TENSIONE c.c.

Portate: 200 mV - 2 V - 20 V - 200 V - 1000 V  
Risoluzione: 100  $\mu$ V sulla portata 200 mV  
Precisione:  $\pm 0,8\%$  della lettura + 1 cifra  
(su tutte le portate)

## TENSIONE c.a.

Portate: 200 mV - 2 V - 20 V - 200 V - 1000 V  
Precisione:  $\pm 1,5\%$  della lettura + 4 cifre (portate da 200 mV a 200V)  
 $\pm 2\%$  della lettura + 4 cifre (portata 1000 V)

## RESISTENZA

Portate: 200  $\Omega$  - 2 k $\Omega$  - 20 k $\Omega$  - 200 k $\Omega$  - 2 M $\Omega$  - 20 M $\Omega$   
Risoluzione: 0,1  $\Omega$  (portata 200  $\Omega$ )

## CONDUTTANZA

Portate: 2  $\mu$ S - 200 nS  
Risoluzione: 1 nS e 0,1 nS (secondo le portate)  
Precisione:  $\pm 2\%$  della lettura + 2 cifre (portata 2  $\mu$ S)  
 $\pm 4\%$  della lettura + 10 cifre (portata 200 nS)

## CORRENTE c.c.

Portate: 200  $\mu$ A - 2 mA - 20 mA - 200 mA - 10 A  
Risoluzione: 0,1  $\mu$ A (portata 200  $\mu$ A)  
Precisione:  $\pm 0,8\%$  della lettura + 1 cifra  
 $\pm 1\%$  della lettura + 1 cifra (portata 10 A)

## CORRENTE c.a.

Portate: 200  $\mu$ A - 2 mA - 20 mA - 200 mA - 10 A  
Precisione:  $\pm 0,8\%$  della lettura + 4 cifre  
 $\pm 1\%$  della lettura + 4 cifre (portata 10 A)

## PROVA DIODI

Prova di conduzione e non, prova di cortocircuito

## PROVA TRANSISTORI

Misura del valore HFE tra 0 e 1000 dei transistori PNP/NPN



Robusti e leggeri, sicuri e precisi,  
belli da vedere e facili da usare,  
protetti contro i sovraccarichi.  
Forniti con pratica borsa  
morbida per il trasporto,  
coppia di puntali e cavetti  
di sicurezza, fusibile e  
manuale d'istruzione in  
inglese.

Distribuiti dalla

**G.B.C.**  
italiana

L. 97.500  
+IVA

**TS/3010-00**  
Mod. 7608

Selezione delle portate con  
8 tasti disposti su una fila  
7 funzioni - 26 portate  
Dimensioni: 191x87x46 mm  
Peso: 350 g

## TENSIONE c.c.

Portate: 200 mV - 2 V - 20 V - 200 V - 1000 V  
Risoluzione: 100  $\mu$ V sulla portata 200 mV  
Precisione:  $\pm 0,8\%$  della lettura + 1 cifra (su tutte le portate)

## TENSIONE c.a.

Portate: 200 mV - 2 V - 20 V - 200 V - 750 V  
Precisione:  $\pm 1,2\%$  della lettura + 4 cifre (portate da 200 mV a 200 V)  
 $\pm 2,5\%$  della lettura + 4 cifre (portata 750 V)

## RESISTENZA

Portate: 200  $\Omega$  - 2 k $\Omega$  - 20 k $\Omega$  - 200 k $\Omega$  - 2 M $\Omega$  - 20 M $\Omega$   
Risoluzione: 0,1  $\Omega$  (portata 200  $\Omega$ )

## CORRENTE c.c.

Portate: 2 mA - 20 mA - 200 mA - 2000 mA - 10 A  
Risoluzione: 1  $\mu$ A (portata 2 mA)  
Precisione:  $\pm 0,8\%$  della lettura + 1 cifra  
 $\pm 1\%$  della lettura + 1 cifra (portata 10 A)

## CORRENTE c.a.

Portate: 2 mA - 20 mA - 200 mA - 2000 mA - 10 A  
Precisione:  $\pm 0,8\%$  della lettura + 4 cifre  
 $\pm 1\%$  della lettura + 4 cifre (portata 10 A)

## PROVA DIODI

Prova di conduzione e non, prova di cortocircuito

## PROVA TRANSISTORI

Misura del valore HFE tra 0 e 1000 dei transistori PNP/NPN

In vendita presso tutti i migliori rivenditori



# SINTETIZZATORE DI VOCE PROGRAMMABILE

I componenti per la sintesi vocale finora presenti sul mercato hanno - oltre al costo elevato - lo svantaggio che i testi devono venir programmati dal costruttore.

Un componente di questo tipo venne descritto nel numero 4/83 di SELEZIONE.

L'integrato SC-01 della Vortrax elimina questo svantaggio perchè esegue una sintesi di fonemi programmabile dall'utente e dispone di una gamma di 64 suoni diversi.

Ing. Ennio De Lorenzo

**I**n linea di massima esistono due metodi per la sintesi del linguaggio parlato. Con il primo vengono memorizzate parole intere il che comporta lo svantaggio di un vocabolario limitato. Il secondo metodo me-

morizza piccole unità sonore - i cosiddetti fonemi - con le quali compone parole e frasi di un linguaggio. Il vantaggio consiste nella ricchezza del vocabolario che risulta pressochè illimitato, a discapito di una lieve perdita nella

qualità della riproduzione fonica.

Il componente citato in questo articolo lavora con il secondo metodo: forma le parole dalla combinazione di fonemi seguendo in algoritmo definibile dall'utente.

Il circuito integrato è prodotto dalla Vortrax ed è distribuito dalla ditta americana Micromint Inc. 915 Midway, Woodmere, N.Y. 11598, USA che lo vende al prezzo di 70 dollari inclusi data sheet e vocabolario dei fonemi.

## Il generatore di fonemi

Come già detto, l'SC-01 funziona secondo il principio della sintesi fonica. Esso genera i singoli fonemi con i quali possono venir formate parole e frasi. Un fonema è la più piccola unità distintiva di un sistema fonico come p. es. un linguaggio. Nell'integrato sono memorizzati 64 fonemi della lingua inglese con alcuni parametri come tonalità durata, accentuazione, vocalizzazione ecc. Questo è il vantaggio della sintesi fonica: il componente può riprodurre tutti (o quasi tutti) i suoni principali di un linguaggio e dispone perciò in pratica di tutto il vocabolario di una lingua.

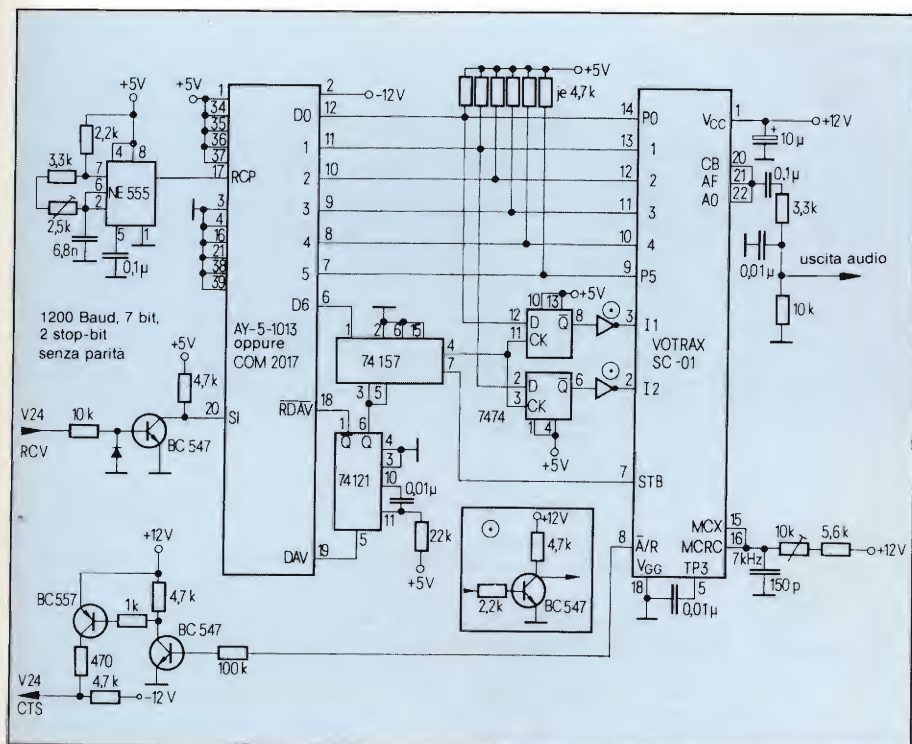
Il numero dei fonemi di una lingua è chiaramente maggiore del numero del-

Codice dei fonemi	Simboli dei fonemi	Durata (ms)	Parola d'esempio
00	EH3	59	jacket
01	EH2	71	enlist
02	EH1	121	heavy
03	PA0	47	no sound
04	DT	47	butter
05	A2	71	made
06	A1	103	made
07	ZH	90	azure
08	AH2	71	honest
09	I3	55	inhibit
0A	I2	80	inhibit
0B	I1	121	inhibit
0C	M	103	mat
0D	N	80	sun
0E	B	71	bag
0F	V	71	van
10	CH	71	chip
11	SH	121	shop
12	Z	71	zoo
13	AW1	146	lawful
14	NG	121	thing
15	AH1	146	father
16	OO1	103	looking
17	OO	185	book
18	L	103	land
19	K	80	trick
1A	J	47	judge
1B	H	71	hello
1C	G	71	get
1D	F	103	fast
1E	D	55	paid
1F	S	90	pass

Codice dei fonemi	Simboli dei fonemi	Durata (ms)	Parola d'esempio
20	A	185	day
21	AY	65	day
22	Y1	80	yard
23	UH3	47	mission
24	AH	250	map
25	P	103	past
26	O	185	cold
27	I	185	pin
28	U	185	move
29	Y	103	any
2A	T	71	tap
2B	R	90	red
2C	E	185	meet
2D	W	80	win
2E	AE	185	dad
2F	AE1	103	after
30	AW2	90	salty
31	UH2	71	about
32	UH1	103	uncle
33	UH	185	cup
34	O2	80	for
35	O1	121	aboard
36	IU	59	you
37	U1	90	you
38	THV	80	the
39	TH	71	thin
3A	ER	146	bird
3B	EH	185	get
3C	E1	121	be
3D	AW	250	call
3E	PA1	185	no sound
3F	STOP	47	no sound

Fig. 1 - I simboli dei fonemi per l'SC-01.





**Fig. 2 - Il circuito del sintetizzatore di voce. La comunicazione con un computer avviene tramite un UART (AY-5-1013 o CM2017) e relativa interfaccia seriale RS 232.**

le lettere dell'alfabeto, ma rappresenta pur sempre una quantità limitata. L'SC-01 ne genera 64 con risultati soddisfacenti.

L'SC-01 permette inoltre di scegliere 4 differenti tonalità.

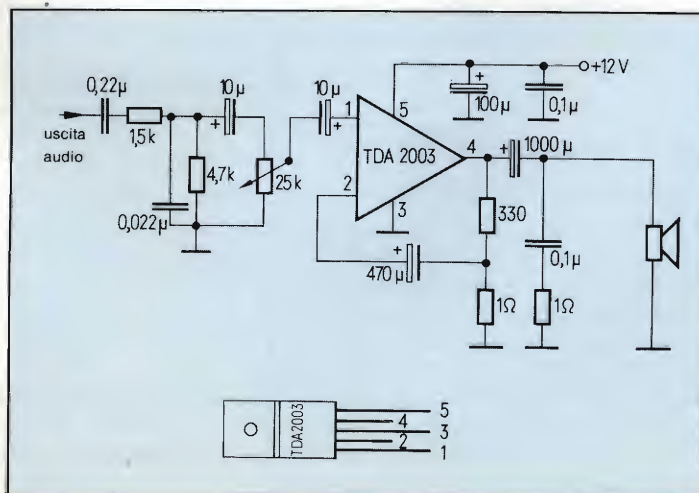
Il vocabolario del componente non è perciò composto di sequenze di parole, ma di articolazioni fonetiche.

La parola "HALLO" p. es. viene programmata dalla sequenza "H, EH1, UH3, L, L, UH3, 01, U1". Il principio di funzionamento dell'SC-01 è il seguente: il fonema prescelto - attraverso una ROM, che contiene l'algoritmo per la formazione dei suoni - pilota i generatori di suoni e gli appositi filtri fornendo la voce desiderata.

Un vantaggio del componente è rappresentato dal suo basso costo e dall'economicità del circuito necessario al suo funzionamento. Notevole anche la parsimonia di memoria: circa 1 kbyte per 12-15 secondi di testo parlato (circa 70 bytes per secondo di testo parlato).

Il sintetizzatore descritto in questo articolo rappresenta un'applicazione sia per il SEL-COM (il computer con sistema operativo CP/M che viene attualmente pubblicato in una serie di articoli su SELEZIONE) che per l'ECC-80 (il computer su singola scheda descritto nel numero 9/83 di SELEZIONE).

Dobbiamo ammettere che il linguaggio generato dall'SC-01 ha un suono un



**Fig. 3 - Proposta di un amplificatore audio per il sintetizzatore (applicazioni Siemens): può venir usato qualsiasi altro amplificatore audio.**

po' "sintetico" con un leggero accento americano. D'altro canto la comprensibilità è soddisfacente.

## L'hardware

L'SC-01 è un integrato in un contenitore DIL (Dual In Line) con 22 piedini. Sei piedini sono riservati per la codifica dei 64 fonemi, altri due per la scelta della tonalità (pitch). Altri due piedini servono alla comunicazione con l'elaboratore: STB (Strobe) avvia l'emissione di un suono, mentre A/R ne comunica l'avvenuta esecuzione e viene usato nella nostra applicazione per generare il segnale CTS (Clear To Send) dell'interfaccia RS 232. L'uscita dell'SC-01 viene collegata direttamente ad un'amplificatore audio (circuito di *figura 3*). Il clock interno viene generato da un circuito RC. Eccezione fatta per le due entrate I1 e I2 (pitch), tutte le altre entrate dell'integrato sono compatibili TTL.

Il circuito completo per il collegamento del dispositivo del sintetizzatore all'elaboratore è riportato in *figura 2*. Come elaboratore può venir usato qualsiasi computer che disponga di un'interfaccia RS 232 (p. es. il SEL-COM: utilizzando l'interfaccia per la stampante). Siccome la maggior parte delle stampanti utilizza generalmente solo 7 Bit, nel circuito, la scelta della tonalità viene multiplessata. Bit 7 = 0, significa che i primi 6 Bit contengono l'indirizzo del fonema desiderato. Bit 7 = 1 significa che i primi due Bit (P0 e P1) determinano la tonalità del suono emesso.

Se si desidera utilizzare il sintetizzatore con l'ECC-80 (computer su singola scheda di SELEZIONE), si può omettere l'UART (Universal Asynchronous Receiver Transmitter) del circuito (AY-5-1013 o COM 2017) e pilotare l'SC-01 con il port parallelo (PIO); la programmazione in questo caso viene eseguita in linguaggio assembler e programmata direttamente in EPROM.

Il circuito di figura 3 è composto di due parti distinte: l'interfaccia seriale di collegamento con l'elaboratore ed il circuito del sintetizzatore vero e proprio. L'UART provvede alla conversione seriale/parallela dei dati che giungono dall'elaboratore. Il timer NE555 genera una frequenza per 1200 baud. Il monostabile SN74121 allunga l'impulso di STROBE per venire incontro alle esigenze dell'SC-01.

Il multiplexer SN74157 decide fra l'impostazione di un fonema e quella di una tonalità in dipendenza dal livello del Bit 7. I valori per la scelta della



Fig. 4 - Il listato del programma di EDITOR dei fonemi.

```

10 REM
20 REM
30 REM          EDITOR di FONEMI
40 REM  programma per lo sviluppo di testi co il
50 REM  sintetizzatore SC-01
60 REM
62 REM comandi dell' editore: N, L, S, E, P, B, Z
64 REM
70 PRINT: PRINT SPC(15); "*** editore di fonemi ***":PRINT
80 GOSUB 1000
90 INPUT "comando: ";C$
100 FOR I = 1 TO 7: IF C$ = CC$(I) THEN 140
110 NEXT I
120 PRINT:PRINT "*** comando errato ***"
130 GOTO 100
140 ON I GOSUB 200, 300, 400, 500, 600, 700, 900
150 GOTO 100
160 REM
170 REM
180 REM
190 REM
200 REM          NEW
210 PRINT
220 PRINT "inserisci nuova riga di testo"
230 PRINT "fine = ?."
240 PRINT
250 GOSUB 5000
260 PRINT:PRINT
270 RETURN
280 REM
290 REM
300 REM          LIST
310 PRINT:PRINT
320 FOR I = 1 TO AZ
330   PRINT I; " "; E$(I)
340 NEXT I
350 PRINT:PRINT
360 RETURN
370 REM
380 REM
390 REM
400 REM          SOUND
410 INPUT "quante volte";N
420 Y(1)=64+F1+2*P2: REM PITCH
430 FOR I = 1 TO N
440   GOSUB 4000
450   REM PAUSA
460   IF I < > N THEN FOR F=1 TO 2000: NEXT F
470 PRINT:PRINT
480 NEXT I
490 RETURN
500 REM          EDIT
510 REM
520 PRINT: INPUT "riga, opzion. (fine=0,0)"; LN, CM$
530 IF LN=0 THEN PRINT: RETURN
540 IF (LN<1) OR (LN>AZ) THEN 580
550 GOSUB 6000
560 PRINT
570 GOTO 520
580 PRINT "*** numero di riga errato ***"
590 GOTO 520
600          PITCH
610 REM
620 INPUT "pitch i1(0/1)";P1
630 INPUT "pitch i2(0/1)";P2
640 P1=P1 AND 1
650 P2=P2 AND 1
660 PRINT
670 RETURN
680 REM
690 REM
700 REM          BUILD
710 REM
720 I=2: FOR CT=1 TO AZ
730 PRINT:PRINT "data";
740 PD=1
750 IF PD < > 1 THEN PRINT ", ";
760 GOSUB 3000
770 GOSUB 2000
780 Y(I)=X: I=I+1: ZZ$=STR$(X)
790 PRINT MID$(ZZ$,2,LEN(ZZ$)-2);
800 IF PD < > 0 THEN 725
810 NEXT CT
820 PRINT: PRINT
830 RETURN
840 REM
850 REM
860 REM
870 REM
880 REM
890 REM
900 REM          FINE
910 REM
920 PRINT
930 PRINT "ciao"
940 PRINT
950 END
960 REM
970 REM
980 REM
990 REM
1000 REM          PREMESSE
1010 REM
1020 REM PH$: SIMBOLI DEI FONEMI
1030 REM Y: CODICI DEI FONEMI
1040 REM P1,P2: TONALITA' (PITCHES)
1050 REM CC$ COMANDI DELL' EDITOR
1060 REM LOCAL: ZZ
1070 REM GLOBAL: PH$,Y,P1,P2,CC$
1080 REM
1090 REM
1100 DIM PH$(63),E$(30),Y(1000),CC$(7)
1110 FOR ZZ=0 TO 63
1120 READ PH$(ZZ)
1130 NEXT ZZ
1140 FOR ZZ=1 TO 1000
1150 Y(ZZ)=63
1160 NEXT ZZ
1170 P1=0:P2=0: REM PITCH
1180 FOR ZZ=1 TO 7: READ CC$(ZZ): NEXT ZZ
1190 RETURN
1200 DATA EH3,EH2,EH1,PA0,DT,A2,A1,ZH,AH",I3,I2,I1
1210 DATA M,N,B,V,CH,SH,Z,AW1,NG,AH1,DD1,00,L,K,J
1220 DATA H,G,F,D,S,A,AY,Y1,UH3,AH,P,O,I,U,Y,T,R
1230 DATA E,W,AE,AE',AW2,UH",UH1,UH,O2,O1,IU,U1
1240 DATA THV,TH,ER,EH,E1,AW,PA1,STOP
1250 DATA N,L,S,E,P,B,z
1260 REM
2000 REM          CERCA IL FONEMA
2010 REM
2020 REM emissione: X CODICE DEL FONEMA
2030 REM SE X$ ERRATO: X = 63(STOP),
2040 REM MESSAGGIO DI ERRORE
2050 REM LOCAL ZZ
2060 REM GLOBAL:PH$,X$,X
2070 REM
2080 FOR ZZ=0 TO 63
2090 IF X$=PH$(ZZ) THEN X=ZZ: RETURN
2100 NEXT ZZ
2110 X=63
2120 PRINT:PRINT "*** codice errato: ";X$:PRINT
2130 RETURN
2140 REM
3000 REM          PROSSIMO FONEMA
3010 REM
3020 REM genera il prossimo fonema da E$
3030 REM la nuova posizione del puntatore e' in P0
3040 REM fine riga --> PD=0
3050 REM LOCAL: ZZ$
3060 REM GLOBAL: E$,PD,X$,CT
3070 REM
3080 X$=""
3090 ZZ$=MID$(E$(CT),PD,1): PD=PD+1
3100 IF ZZ$< ">," THEN X$=X$+ZZ$
3110 IF PD>LEN(E$(CT)) THEN PD=0
3120 IF ZZ$="," OR PD=0 THEN RETURN
3130 GOTO 3100
3140 REM
4000 REM          SOUND
4010 REM
4020 REM EMISSIONE DEL FONEMA ALLA PORTA SERIALE
4030 REM
4040 REM
4050 REM QUESTA PARTE DEL PROGRAMMA E' DIPENDENTE DAL HARDWARE
4060 REM USATO (COMPUTER) E DEVE VENIR SCRITTO DALL' UTENTE IN
4070 REM FORMA DI SOTTOPROGRAMMA (SUBROUTINE)
4080 REM
4090 REM IL FONEMA VIENE EMESSO IN CONTINUAZIONE FINO ALL'
4100 REM APPARIRE DELLO "STOP"
4110 REM
4120 REM LOCAL: ZZ,AC
4130 REM GLOBAL: Y
4140 REM
4150 REM
5000 REM          INPUT
5010 REM
5020 REM inserzione di 30 righe (max) di fonemi
5030 REM genera il fonema "STOP"
5040 REM il numero di righe in AZ
5050 REM LOCAL: -
5060 REM GLOBAL: E$,AZ
5070 REM
5080 AZ=1
5090 PRINT AZ;
5100 INPUT LINE E$(AZ)
5110 IF AZ=30 THEN E$(AZ)=E$(AZ)+"stop":RETURN
5120 IF IF RIGHT$(E$(AZ),1)< ">," THEN AZ=AZ+1
5130 GOTO 5000
5140 E$(AZ)=LEFT$(E$(AZ),LEN(E$(AZ))-1)+"."
5150 RETURN

```



```

5160 REM
5170 REM
6000 REM          EDITOR
6010 REM
6020 REM
6030 REM  composizione della riga E$(LN)
6040 REM  LOCAL: A$,B$,A,S,ZZ
6050 REM  GLOBAL: E$,LN,CM$
6060 REM
6100 IF CM$ < > "R" THEN 6400
6110 PRINT "cerco stringa": INPUT LINE A$: A:=LEN(A$)
6120 PRINT "stringa sostitutiva"
6130 INPUT LINE B$
6140 REM cerco A$ in E$
6150 S= LEN (E$(LN))-A
6160 IF S < 0 THEN 6200
6170 FOR ZZ=1 TO S+1
6180 ZZ$=MID$(E$(LN),ZZ,A)
6185 IF ZZ$=A$ THEN 6300
6190 NEXT ZZ
6200 PRINT "*** ";A$;" non trovato"
6210 PRINT

```

```

6220 RETURN
6300 ZZ$=MID$(E$(LN),ZZ+A)
6310 E$(LN)=LEFT$(E$(LN),ZZ-1)+B$+ZZ$
6320 PRINT E$(LN): PRINT
6330 RETURN
6400 IF CM$ < > "d" THEN 6500
6410 FOR ZZ=LN TO AZ-1
6420 E$(ZZ)=E$(ZZ+1)
6430 NEXT ZZ
6440 AZ=AZ-1
6450 RETURN
6500 IF CM$ < > "i" THEN 6600
6510 FOR ZZ=AZ TO LN STEP -1
6520 E$(ZZ+1)=E$(ZZ)
6530 NEXT ZZ
6540 AZ=AZ+1
6550 PRINT "inserire nuova riga":LN
6560 INPUT LINE E$(LN)
6570 PRINT: RETURN
6600 PRINT "*** opzione sbagliata ***": PRINT
6610 RETURN

```

tonalità vengono memorizzati nei due flip-flop SN7474.

L'adattamento dei livelli delle uscite dei flip-flop all'entrata pitch dell'SC-01 avviene tramite due transistori BC547. Il clock interno dell'SC-01 viene regolato su 7 kHz con il trimmer da 10 k: la taratura non è critica e può venir eseguita ad orecchio.

#### Il software

L'SC-01 viene fornito con un piccolo vocabolario dei fonemi con i simboli in lingua inglese. Poiché è abbastanza faticoso rilevare i valori numerici dai simboli, presentiamo un piccolo editor scritto in BASIC con il quale si possono sviluppare e provare dei testi.

L'editor e la piastra del sintetizzatore assieme al computer che lo pilota, formano un piccolo "sistema di sviluppo" linguistico.

Il programma è scritto in BASIC e può girare su qualsiasi computer che sia in grado di interpretare questo linguaggio. L'utente deve inserire solamente la routine necessaria per il pilotaggio dell'interfaccia RS 232 sul suo computer inserendo una subroutine di pilotaggio "personalizzata" incominciando dalla linea 4000 del programma in figura 4.

Riportiamo in breve una descrizione dei comandi implementati nell'EDITOR di figura 4.

#### N (NEW)

Possono venir generate fino a 30 righe di simboli di fonemi. I simboli devono venir suddivisi dalla virgola e l'ultima riga deve essere terminata con un punto. Il punto genera automaticamente il simbolo "STOP".

Esempio: H,EH1,UH3,L,L,  
UH3,o1,U1,PA1  
02,02,L,L,D,PAO,P,  
AE1,EH3,L.

#### L (LIST)

Con L (ist) vengono elencate le righe con i loro numeri.

#### P (PITCH)

Comando per la scelta della tonalità.

#### N (BUILD)

Dai simboli vengono generati e memorizzati i codici dei fonemi. I codici vengono visualizzati sul video in forma di righe di "dati".

#### S (SOUND)

I fonemi generati con il comando "B" vengono emessi tramite l'interfaccia seriale. Il programma chiede quante volte deve venir ripetuta l'emissione.

#### E (EDIT)

Questo comando serve a correggere i simboli fonemici. La sequenza chiede il numero di riga da generare o correggere fino al raggiungimento di 0,0.

#### Z (FINE)

Termine dell'operazione di EDIT.

#### Bibliografia

- 1) Redazione. *Chip LSI sintetizzatori della voce umana* - SELEZIONE di tecniche elettroniche n. 6/1982, pag. 14.
- 2) Pipitone/Cattaneo. *Sintetizzatore di voce: 136 parole* - SELEZIONE di tecniche elettroniche

## Harris Microwave sviluppa integrati al gallio

**L**a Harris Microwave Semiconductors ha recentemente presentato dei prototipi di c.i. che sostituiscono al silicio l'arseniuro di gallio.

Questo cambiamento consente agli integrati di essere almeno cinque volte più rapidi rispetto ai chips tradizionali.

La notizia giunge dopo che per mesi svariati fabbricanti di semiconduttori giapponesi avevano annunciato di avere concluso degli studi nel settore, ma senza produrre mai risultati concreti.

I primi due circuiti disponibili a livello commerciale riguardano un contatore binario e un registro a scorrimento e avranno notevoli applicazioni nel campo delle telecomunicazioni e negli strumenti da laboratorio.

## Giappone: 15,2 milioni di VTR e 12,4 milioni di TVC nel 1983

**D**urante il 1983 il Giappone ha esportato 15,2 milioni di videoregistratori a cassetta, con un incremento del 43% rispetto all'anno prima. L'apice è stato raggiunto in dicembre con 1,7 milioni di unità vendute (+ 72% rispetto allo stesso mese del 1982). La Cee ha importato 4,6 milioni di VTR, con una flessione del 6,1 da un anno all'altro. La produzione nipponica di videoregistratori è stata nel 1983 di 18,2 milioni di unità (+ 39%). I dati sono della locale associazione delle industrie elettroniche che ha pure comunicato la produzione di TVC in 12,4 milioni di apparecchi nello scorso anno (+ 6,1%), di cui 4,6 milioni di unità (+ 4,2%) collocate al di fuori del Giappone.



In questa nuova rubrica  
Selezione presenterà in ogni  
numero in maniera concisa  
ed essenziale le caratteristiche,  
la costruzione e l'impiego  
dei componenti elettronici  
più significativi sia analogici  
che digitali.

# VARISTORI

## PRINCIPIO DI FUNZIONAMENTO E APPLICAZIONI

Per Varistore (Variable resistor) s'intende in generale un componente passivo che possiede una caratteristica tensione/corrente ( $V/I$ ) non lineare, come per esempio quella di un diodo Zener. Attualmente però vengono denominati varistori o anche resistori VDR (Voltage Dependent Resistor) quei resistori che presentano una caratteristica  $V/I$  simmetrica ma la cui resistenza tende a diminuire all'aumentare della tensione ad essi applicata.

### Definizioni e formule

La curva caratteristica tensione/corrente ( $V/I$ ) di un varistore viene, in termini generali, definita dalla seguente relazione esponenziale:

$$i = K v^\alpha \quad (1)$$

nella quale

$i$  = corrente circolante attraverso il varistore

$v$  = tensione ai capi del varistore

$K$  = costante dipendente dalla particolare costruzione del varistore e dalle sue dimensioni geometriche

$\alpha$  = esponente di non linearità.

Pertanto, il valore della resistenza di un varistore che, come già detto, dipende dal particolare valore della tensione ad esso applicata sarà dato da:

$$R_{var} = \frac{v}{i} = \frac{v}{K v^\alpha} = \frac{1}{K} v^{1-\alpha} \quad (2)$$

La figura 1 riporta la curva caratteristica di un varistore, e indica come varia la sua resistenza in funzione della tensione applicata, ed inoltre, siccome questa curva è

simmetrica (ha cioè lo stesso andamento sia per tensioni positive che negative), è stato riportato nella figura soltanto la curva relativa al quadrante positivo.

### Perché il varistore protegge un circuito

Qualsiasi sorgente di tensione e pertanto qualsiasi sorgente di sovratensioni possiede una resistenza interna  $Z$  (che dipende

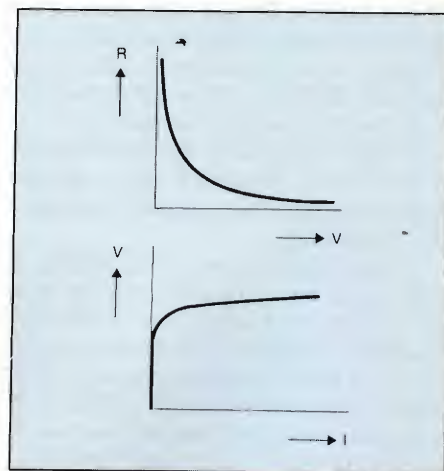


Fig. 1 - Come varia la resistenza in funzione della tensione in un varistore (è riportato un solo quadrante dato che il comportamento è simmetrico).

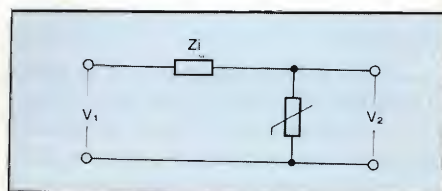
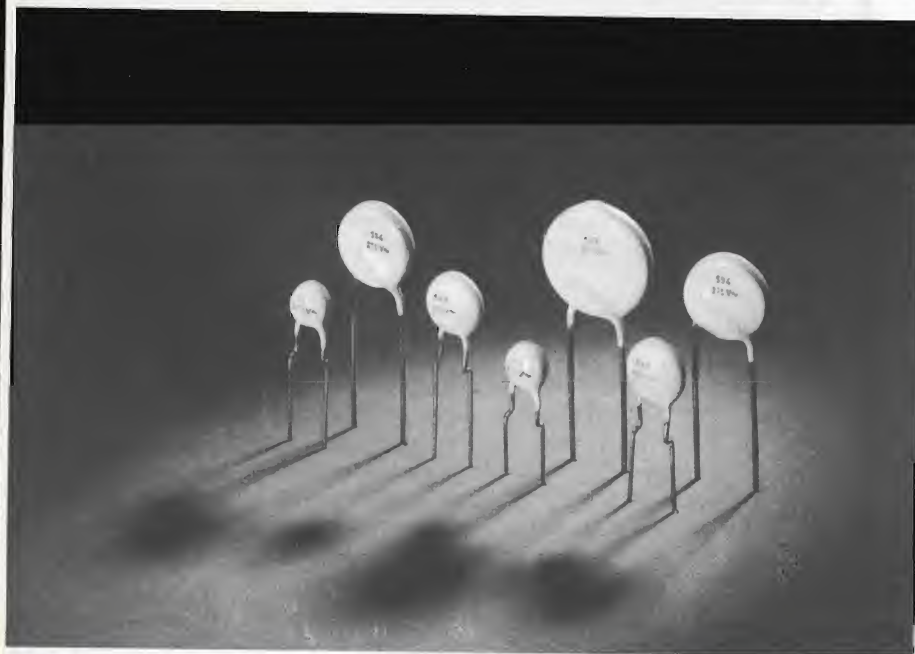
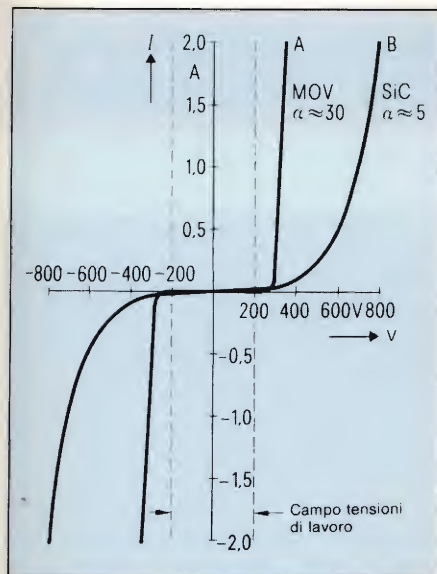


Fig. 2 - Circuito di principio in cui un varistore viene utilizzato per mantenere costante la tensione di uscita  $v_2$  al variare della tensione d'ingresso  $v_1$ .

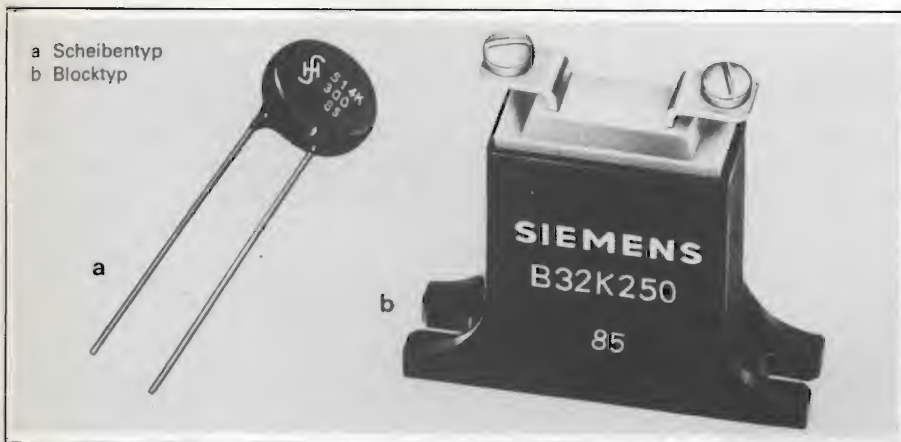


Varistori (VDR) all'ossido di zinco. (Foto, Philips).





**Fig. 3 - Confronto tra le curve caratteristiche tipiche di "vecchi" e moderni varistori. A = Attuali varistori ad ossido di metallo; B = Varistore convenzionale al carburo di silicio.**



**Fig. 4 - Come si presentano gli attuali varistori, a = tipo a disco; b) = tipo di potenza.**

dalla tensione), e che è sempre superiore a zero. Con riferimento alla figura 2, si nota che se la tensione d'ingresso  $v$  tende ad aumentare, la resistenza del varistore tenderà a diminuire, mentre l'impedenza  $Z$  manterrà invariato il suo valore. Il rapporto del partitore di tensione  $Z : Z_{var}$  può assumere i valori più svariati, siccome però  $Z_{var}$  si mantiene inalterata all'aumentare della tensione della sorgente, il sovrappiù della

tensione di quest'ultima (la cosiddetta sovratensione) si localizzerà ai capi di  $Z$ , e di conseguenza la tensione di uscita  $v_2$  rimarrà bassa, e il circuito che quest'ultima alimenta continuerà ad essere alimentato dalla tensione prevista anche in presenza di una sovratensione prodotta dalla sorgente  $v$ .

Questo sistema estremamente semplice di stabilizzazione della tensione sarà tanto più efficace quanto maggiore sarà l'esponente di non linearità  $\alpha$ , relativo al particolare varistore utilizzato.

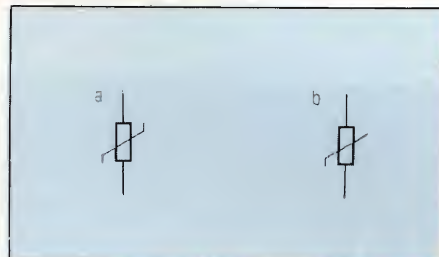
## Varistori al carburo di silicio (SiC) e all'ossido di zinco (ZnO)

I "primi" varistori al carburo di silicio avevano un esponente con valore di circa 5 e non sempre davano un grado di sufficiente protezione ai circuiti. Questo per il fatto che in presenza di "colpi di corrente" anche di non grande valore, il valore di tensione assunto dal varistore (tensione protetta) risultava ancora troppo elevato. È questo il mo-

tivo per cui a partire dagli anni '70 si sono decisamente affermati i varistori all'ossido di zinco capaci di mantenere il livello della tensione protetta su valori bassi (posseggono infatti un  $\alpha \approx 30$ ) anche in presenza di colpi di corrente elevata. Questo miglioramento appare evidente osservando la figura 3 nella quale entrambi i tipi di varistori vengono fatti lavorare con lo stesso valore di tensione.

## Bibliografia

- 1) Feustel, O., Schmidt, W.: *Sensori a semiconduttore e elementi di protezione*. Vogel-Verlag ISBN3-8023-0626-0.
- 2) *Handbook Siemens 1978/79; Varistori a ossido di metallo SIOV N. W19010-Z1058.*
- 3) Schmidt, O.P.: *Sistemi moderni di protezione contro le sovratensioni*. Rapporto 17 (1979). Parte 4; da pag. 169 a pag. 173.



**Fig. 5 - Simboli caratteristici utilizzati per individuare i varistori.**

## Varistori all'ossido di metallo

Questo tipo di varistore (abbreviato in MOV) è formato in massima parte da ossido di zinco. Per questo motivo vengono chiamati anche varistori all'ossido di zinco, o più semplicemente varistori ZnO.

## Aspetto esterno

Negli impieghi normali si è affermato il tipo di varistore a disco (figura 4a). I varistori di potenza all'ossido di zinco si presentano in esecuzione pressofusa, fissabili mediante viti (figura 4b). L'esecuzione assiale di questi componenti non ha avuto seguito a causa dell'impossibilità di supportare elevati picchi di corrente.

## Parametri tipici

- Livelli di tensione protetta assicurati da 16 a 2000 V
- Picchi di corrente sopportati fino a 50 kA
- Assorbimento di energia fino a 10 kJ
- Tempo di risposta fino a  $\Delta 25$  ns

Nella figura 5 sono riportati i simboli utilizzati per indicare negli schemi elettrici questi componenti. Quello indicato in figura 5a è quello più utilizzato in campo internazionale; quello di figura 5b è quello raccomandato dalle norme DIN40712.



# REGOLE PER L'IMPIEGO

L'interesse destato da un precedente articolo sul GTO ci ha spinto a riprendere l'argomento e ad approfondirlo nell'intento di fornire dei criteri-guida che ne consentano l'impiego corretto e la massima sfruttabilità.

L. Cascianini, A. Woodworth, F. Burgum - Philips S.p.A.

In un precedente lavoro, il GTO, e cioè il nuovo dispositivo di potenza, stretto "parente" del transistor e del tiristore, è stato messo a confronto con i MOS di potenza (SIPMOS-Siemens e POWERMOS-Philips) e i darlington di potenza (1). Il confronto delle caratteristiche di questi dispositivi di potenza è servito a dare un primo orientamento al progettista che lavora nel campo dei sistemi di regolazione e di commutazione di potenza. Una volta però scelto il dispositivo adatto alla sua applicazione, il progettista deve sapere come deve impiegarlo, come deve dimensionare i circuiti d'ingresso e d'uscita, per poter fare lavorare correttamente il dispositivo e

ricavare da esso tutta la potenza che il costruttore afferma che il dispositivo è in grado di fornire.

Supponendo quindi che il progettista si sia orientato sul GTO, vediamo di dare alcuni criteri-base perchè esso possa utilizzarlo correttamente.

## Generalità sul GTO

Il GTO (GTO = Gate Turn-off Switch) è riportato assieme al suo simbolo nella figura 1. È un "interruttore bistabile" di potenza a tre giunzioni. Possiede alcune caratteristiche proprie del transistor e altre proprie del tiristore: come tiristore, può bloccare,

quando è "aperto" (turn-off), tensioni dirette molto elevate; come transistor può lasciar passare quando è "chiuso" (turn-on), picchi di corrente diretta molto più elevati del valore medio ammesso. Come transistor può essere aperto oppure chiuso (on/off), a velocità di commutazione elevate mediante semplice controllo di una piccola corrente circolante dentro o fuori dal gate.

Alcune caratteristiche presentate nei data sheet dei GTO possono però apparire poco familiari al progettista abituato a lavorare con i transistori e i tiristori. Scopo di questo lavoro è renderle familiari, e per fare ciò divideremo tutta la discussione in quattro parti:

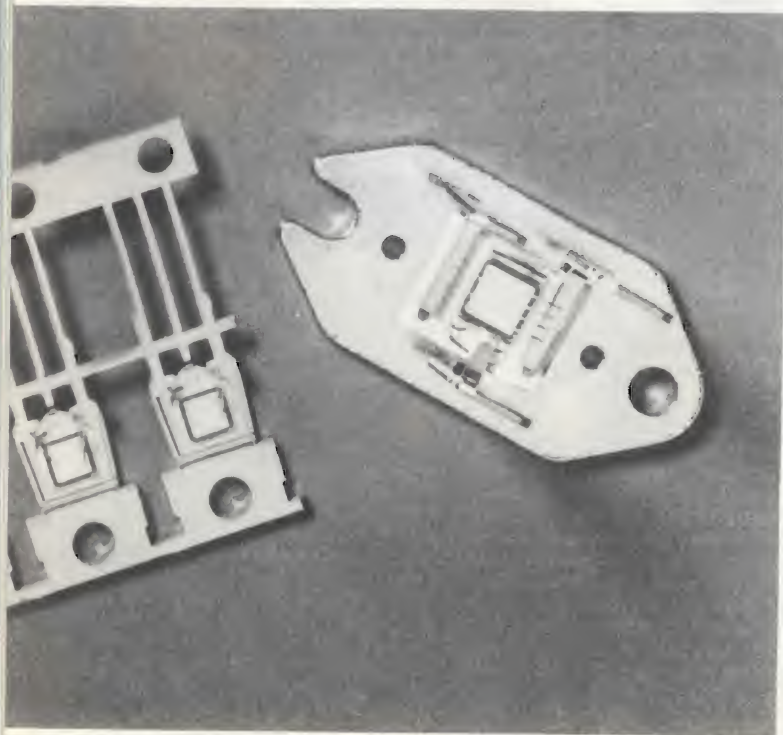


Fig. 1 - Struttura interdigitata del chip del GTO e relativo simbolo.

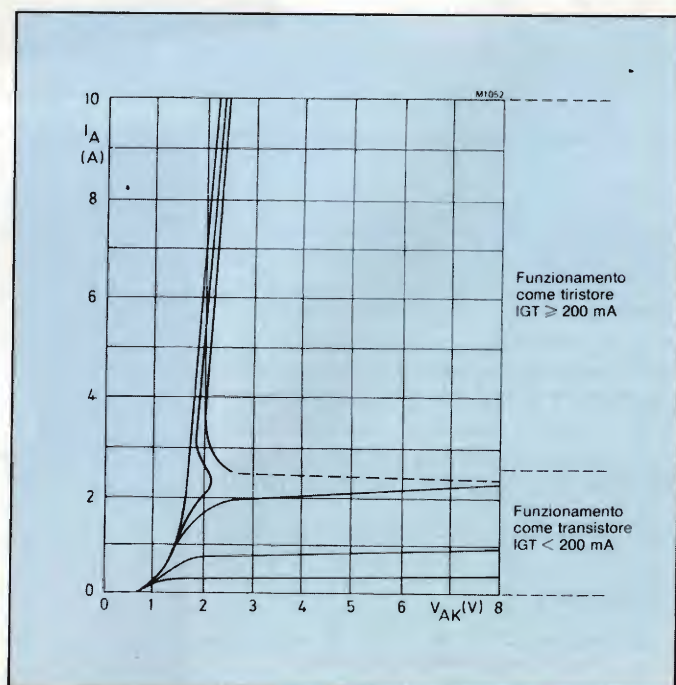
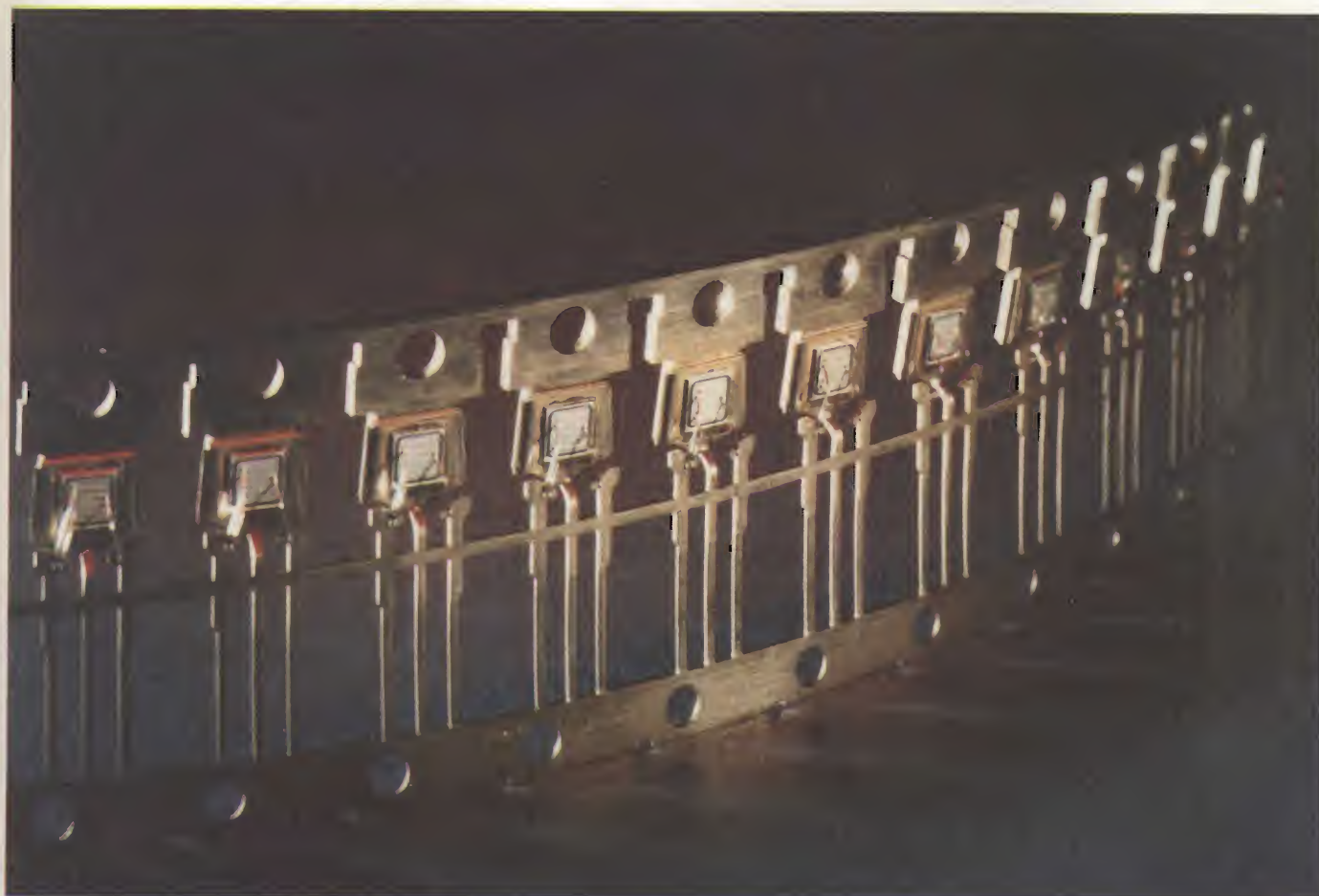


Fig. 2 - Corrente di conduzione del GTO in funzione della tensione tra anodo e catodo; come parametro è utilizzato la corrente di gate. Il GTO è il BTV 59.



# CORRETTO DEL GTO



- valutazione dei picchi di tensione
- valutazione dei picchi di corrente (tenendo presente anche la velocità a cui avviene la commutazione)
- valutazione di tutte le perdite

Un attento esame dei suddetti elementi permetterà di scegliere il GTO più adatto ad una data applicazione nonché di dimensionare correttamente il circuito di comando richiesto.

## Caratteristica diretta del GTO

La figura 2 continua l'analogia tiristore/transistore del GTO in quanto indica che quando la corrente circolante nel GTO è inferiore alla corrente di aggancio (latching)  $I_L$ , il GTO si com-

porta come un transistor ad alta tensione avente un fattore di amplificazione di corrente gate-anodo ( $I_A/I_G$ ) che tende ad aumentare all'aumentare della corrente anodica. Se la corrente di gate rimane al di sotto di quella richiesta per portarlo in conduzione, e cioè

inferiore a  $I_{GT}$ , il GTO rimane bloccato (off-state), e ha solo una trascurabile corrente di dispersione circolante tra catodo e anodo. Quando invece la corrente di gate diventa uguale o superiore a  $I_{GT}$ , il GTO passa a condurre (on-state) presentando una bassa caduta di

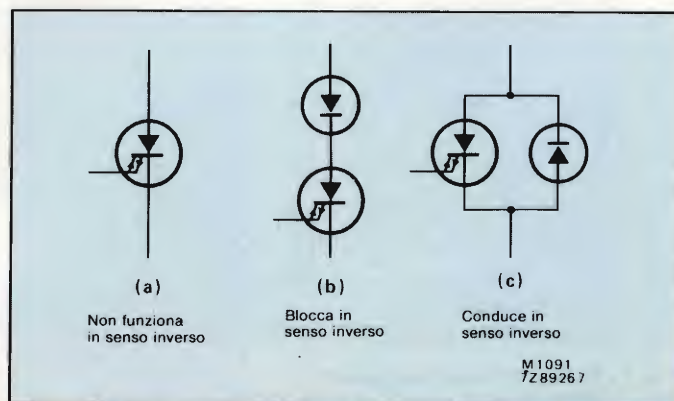


Fig. 3 - Diodi utilizzati per alterare la caratteristica inversa del GTO.



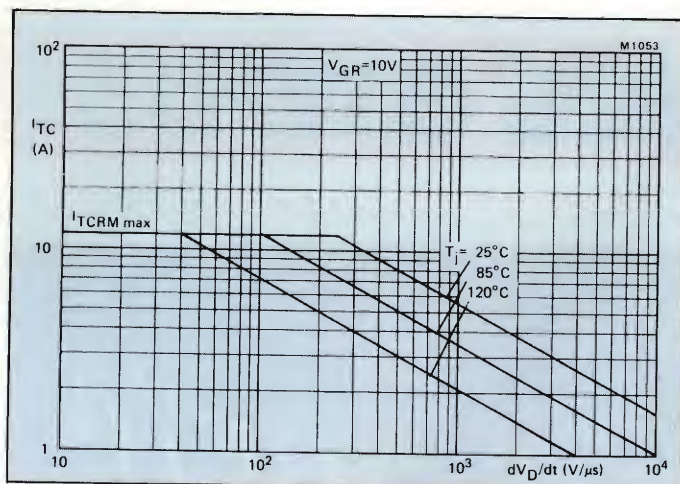


Fig. 4 - Valori di corrente anodica bloccabili in funzione della velocità di variazione della tensione applicata tra anodo e catodo, nel caso di carichi induttivi e  $V_{GR} = 10$  V. Le curve valgono per il GTO BT157.

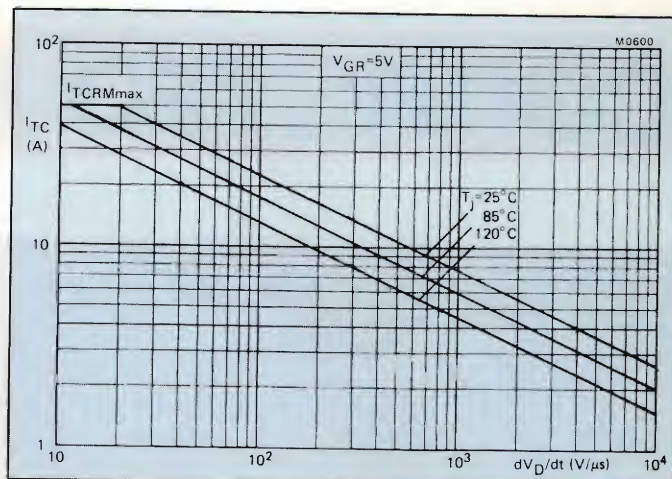


Fig. 5 - Valori di corrente anodica bloccabili, in funzione della velocità di variazioni della tensione applicata tra anodo e catodo, nel caso di carichi induttivi, e  $V_{GR} = 10$  V. Le curve valgono per i GTO BT59/BTW59.

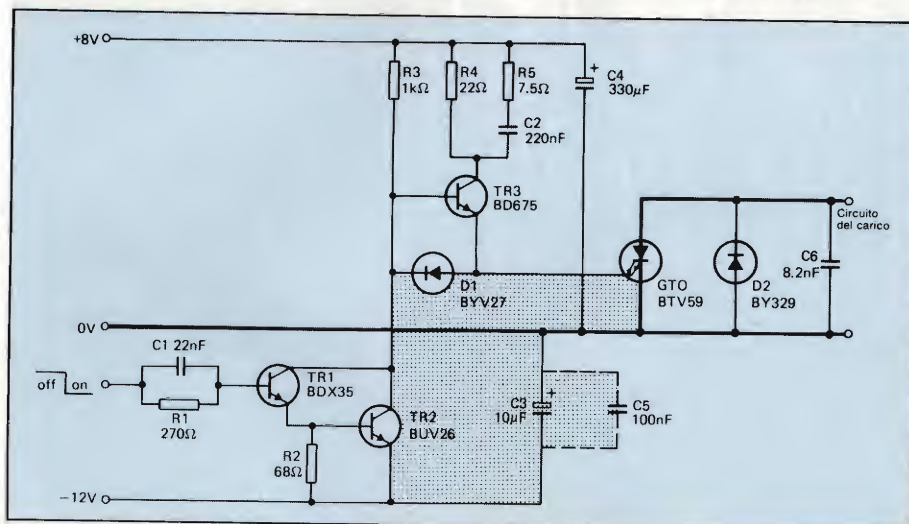


Fig. 6 - Realizzazione pratica del circuito di pilotaggio del GTO BT59. Il circuito di bloccaggio (loop), indicato in grigio, deve avere una induttanza più bassa possibile e il piccolo condensatore di disaccoppiamento, (indicato in tratteggio), se viene usato, dovrà essere cablatto più vicino possibile al condensatore elettrolitico.

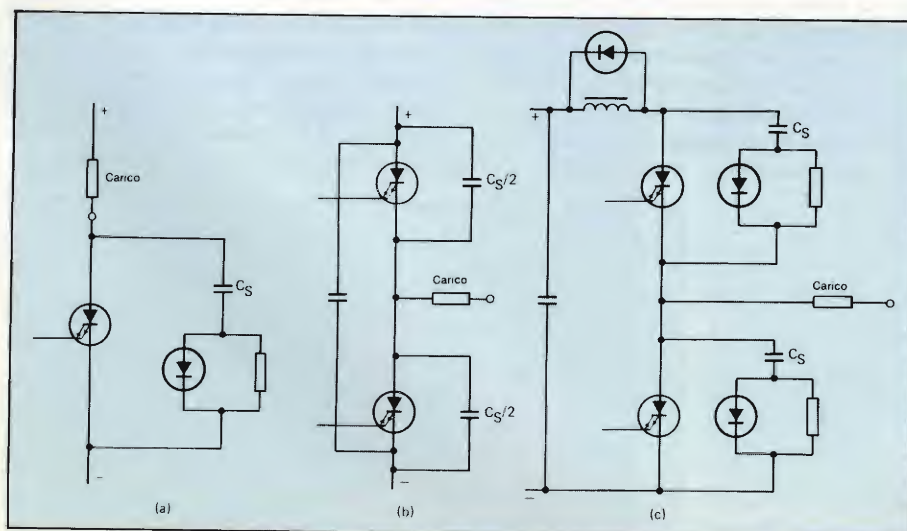


Fig. 7 - Esempi di circuiti rallentatori.  
 $C_s = I_{TC} / (dV/dt)$  nella quale  $C_s$  è in  $\mu F$ ,  $I_{TC}$  è in A e  $dV/dt$  in  $V/\mu s$ .

tensione fra catodo e anodo. Attenzione, però, fino a quando questa corrente anodica si manterrà al di sotto del livello della corrente di aggancio (latching) c'è sempre la possibilità che il GTO possa ritornare nella condizione di blocco (off-state) qualora la corrente di gate dovesse diventare inferiore a  $I_{GT}$ . Se invece la corrente anodica del GTO si mantenesse al di sopra del livello della corrente di aggancio, il GTO, alla stregua di un normale tiristore, continuerebbe a mantenere la conduzione anche se la corrente di gate dovesse venire a cessare del tutto.

A differenza però del tiristore che, una volta entrato in forte conduzione non può bloccarla con nessun segnale di gate, il GTO può interrompere la sua conduzione semplicemente invertendo la polarità del segnale d'innescio applicato al gate.

## Caratteristica inversa del GTO

La caratteristica inversa del GTO è equivalente a quella di una resistenza; questa, com'è noto, non è in grado di bloccare una data tensione e neppure di condurre una corrente significativa (figura 3).

Nel caso di una commutazione in continua (d.c. switching), questo non è un problema. Viceversa, se come nel caso di una commutazione in alternata (a.c. switching) si richiede il bloccaggio anche in senso inverso, occorrerà inserire in serie all'anodo del GTO, un diodo con la polarità come indicato in figura 3b. Se poi una particolare applicazione dovesse richiedere lo scorrimento anche in senso inverso di un certo valore di corrente, bisognerebbe collegare in antiparallelo, tra catodo e anodo, un





# TOSHIBA

## OPTOELETTRONICA



### LED

I led della gamma TOSHIBA, di elevata qualità ed affidabilità, sono fornibili nei colori di base rosso, verde, giallo, arancio e puro, spaziando dimensionalmente dai tipici Ø3 e Ø5 a molte altre forme di notevole interesse e applicazione. STANDARD - ULTRA - SUPER - PURE bright rappresentano le quattro fasce di intensità luminosa che unite a differenti ampiezze d'angolo visivo, formano binomi adeguati per coprire le più dispa-

rate esigenze dell'utilizzatore. Quanto detto si traduce con possibilità di scelta da 0,3 mcd a 200 mcd e da 10° a 80°, con luce sia diffusa che puntiforme. Il tutto a basso consumo.

### DISPLAY

La perfetta intercambiabilità dei display TOSHIBA con i più comuni tipi oggi utilizzati, offre sicuramente un nuovo valido punto d'appoggio. L'alta intensità luminosa, variabile da 0,7 mcd a 1 mcd per

segmento con basso assorbimento di corrente (5 mA), colloca tutta la gamma nella fascia dei display ad alta efficienza. L'altezza delle cifre, da 0,25" a 1,8" ed il numero di digit, da 1 a 4 mettono ulteriormente in risalto la completezza della serie.

Disponibilità nelle versioni a 7 segmenti, alfanumerici con pilotaggio statico e multiplex.

### FOTOACCOPIATORI

I fotoaccoppiatori rappresentano uno degli innumerevoli punti di forza TOSHIBA. L'ampia scelta ricade su: tipi standard, con uscita a transistore e darlington, CTR da 20 a 500, tempo di risposta da 2 a 5,100 µs, tensione di isolamento sino a 2500 V; dispositivi ad alta velocità (6N135 - 6N136 - 6N137) con più di 1 Mbit/s, CTR 1000 e tensione di isolamento di 3500 V; elementi di potenza, dal TLP546G (AC1A) al TLP573 (DC1A).

### FOTOELEMENTI

Diodi all'infrarosso, fototransistor e fotodiodi per impieghi professionali chiudono lo spettro dell'optoelettronica TOSHIBA.



## REDIST

A DIVISION OF GBC

Viale Matteotti, 66  
20092 Cinisello Balsamo  
Milano - ITALIA  
Tel. 02/6123351 (5 linee)  
Telex: GBCMIL 330028

**ROMA**  
Via Boldini, 29 Telef. 06/6056143

**FIRENZE**  
Via Giovanni Pian dei Carpi, 1/3/5  
Telef. 055/4379442-4379577

**CASTELFIDARDO**  
Via Della Stazione, 28 Telef. 071/782057

**TORINO**

**LONGARONE**  
Via Fae, 36 Telef. 0437/771129





# DANAVOX

## stetomike HMT 808

CUFFIA CON MICROFONO  
estremamente leggera  
( $< 30$  g senza cavo)  
e dalla linea moderna.  
Fornita con accessori che la  
rendono versatile,  
confortevole e facile da usare.  
PUÒ ESSERE UTILIZZATA  
in diversi modi:  
- Versione sottomento (ascolto  
mono o binauricolare)  
- Versione sopra testa (ascolto  
monoauricolare)

### IMPIEGHI

- Operatrici di centralini  
telefonici pubblici e privati
- Radiocomunicazioni  
civili e militari
- Controllo Radar
- Uffici informazioni  
aeroportuali -  
agenzie di viaggio...)
- Uffici ordini telefonici
- Traduttori simultanei con  
possibilità d'intervento  
(convegni - conferenze -  
studi linguistici...)

**REDIST**  
S.p.A. - 20139 Milano

Modello HMT 808  
Cavo a 3 fili  
Cavo a 4 fili  
Cavo a 5 fili  
Cavo a 6 fili  
Cavo a 7 fili  
Cavo a 8 fili  
Cavo a 9 fili  
Cavo a 10 fili  
Cavo a 11 fili  
Cavo a 12 fili  
Cavo a 13 fili  
Cavo a 14 fili  
Cavo a 15 fili

ST. EBELLE

APPROVAZIONE A.S.S.T.  
AZ N. 708732/1659/IGG  
11 Ottobre 1982



diodo come appunto indicato in figura 3c.

Esistono diodi particolarmente adatti per le suddette funzioni. Così, il BY329 lavora molto bene con i GTO BTV58 e 59 mentre il BY359 è più adatto a lavorare con i GTO BTW58 e 59.

### Corrente anodica massima controllabile

Il cristallo del GTO è molto piccolo; ciononostante, esso può lasciar passare o interrompere valori di corrente anodica molto superiori al valore normale. Per esempio, il BTW59 è da 15 A; bene, può interrompere impulsi di corrente con intensità fino a 50 A! L'unica condizione richiesta è che la velocità di aumento della tensione tra catodo e anodo ( $dV/dt$ ) rientri nel caso di carichi induttivi, entro i valori fissati dai grafici delle figure 4 e 5. Dai quali si vede che tanto più grande è la corrente che deve essere interrotta tanto minore deve essere il rapporto  $dV/dt$ . Sempre da questi grafici appare anche evidente che, a parità di  $dV/dt$  e di temperatura, la corrente bloccabile tende ad aumentare via via che aumenta la polarizzazione negativa applicata al gate.

È di estrema importanza che questa polarizzazione negativa debba essere applicata tramite un'impedenza più bassa possibile (in figura 6 è riportato un circuito tipico). In particolare, dovrà essere ridotta al minimo l'induttanza del circuito di blocco (turn-off loop) che, in figura 6, è stato evidenziato con un'area a puntini.

I condensatori elettrolitici dell'alimentatore dovranno, per esempio, essere disaccoppiati mediante condensatori di basso valore cablati molto vicini agli elettrolitici.

Nelle applicazioni che secondo le fi-

gure 4 e 5 richiedono un circuito rallentatore (un circuito cioè che riduca il rapporto  $dV/dt$ ), potrà essere impiegato uno di quelli indicati nella figura 7. In particolare, il circuito rallentatore riportato in figura 7a, è adatto quando si usa un solo GTO, quello della figura 7b, va usato con GTO collegati in un circuito a ponte.

Nei circuiti con GTO non può essere impiegato un circuito snubber RC standard identico a quello impiegato nei circuiti a tiristori (o a ASCR) per il semplice fatto nel GTO la corrente viene interrotta all'interno del GTO, mentre nel tiristore, l'interruzione (o commutazione) della corrente è attuata all'esterno del dispositivo ed è realizzata da appositi circuiti in corrispondenza di un valore  $dI/dt$  controllato. Snubber polarizzati, come quello che si può vedere in figura 7a, potranno essere efficaci soltanto nei circuiti a ponte, e solo nel caso in cui nella linea sia presente un induttore di disaccoppiamento (figura 7c). Di regola, perché uno snubber sia veramente efficace occorre che l'induttanza in serie (compresa l'induttanza dei terminali) sia più ridotta possibile. La figura 8 fa vedere l'effetto prodotto dall'induttanza dispersa dello snubber sulla corrente da controllare.

### Area di funzionamento sicuro per il GTO (SOAR)

Il GTO è un interruttore che può trovarsi in due condizioni di funzionamento ben definite e stabili e cioè on-off; ne consegue che non può verificarsi una terza condizione che potrebbe definirsi di "quasi saturazione", e che potrebbe aver luogo nella fase di passaggio dalla condizione di bloccaggio (off) alla condizione di conduzione (on) e viceversa. Non esiste pertanto una limi-

tazione SOAR (SOAR = Safe Operating Area) quando il gate viene polarizzato in senso diretto. Il SOAR, per un GTO con gate polarizzato in senso inverso, assumerà pertanto la forma di un rettangolo come appunto indicato in figura 9.

### Comportamento del GTO quando esso passa in conduzione (fase di turn-on)

Elenchiamo qui sotto le precauzioni da prendere nel caso in cui il comando del GTO avvenga ad opera di impulso, prodotto per esempio, mediante scarica di un condensatore.

Quando il GTO viene portato in conduzione occorre fare in modo che sia sempre disponibile un adeguato valore di corrente di gate da utilizzare nel caso in cui il valore della corrente anodica

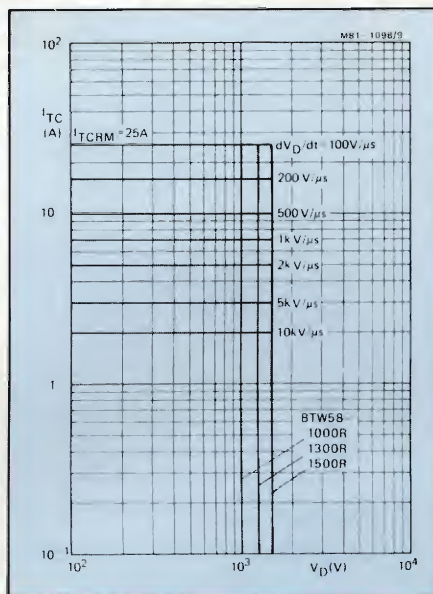
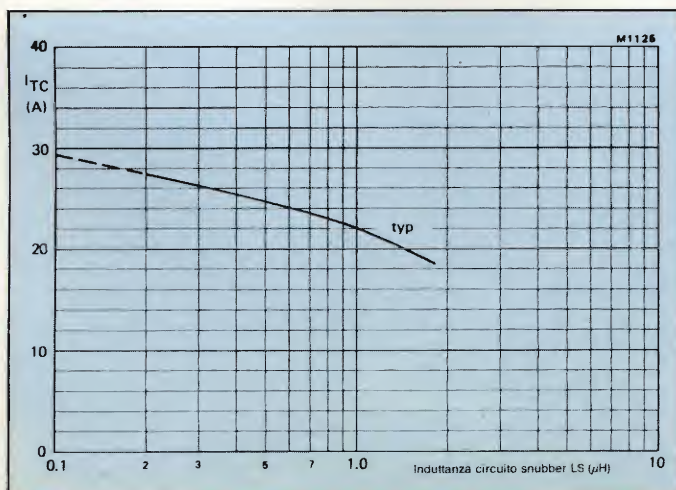


Fig. 9 - Curve SOAR per il BTW58 con gate polarizzato in senso inverso.

Fig. 8 - Valori tipici di corrente anodica bloccabili in funzione dell'induttanza dell'anello snubber per il GTO BTV59 ( $C_s = 20 \mu F$ ,  $T_{mb} = 25^\circ C$ ).



dovesse scendere al disotto del livello di aggancio.

Per esempio, figura 10, se l'entrata in conduzione di un GTO con carico induttivo è realizzata mediante un condensatore che scarica la sua corrente nel gate del GTO, può succedere che, se la costante di tempo della scarica del condensatore è troppo breve, la corrente di gate può fare in tempo a scendere al di sotto di  $I_{GT}$  prima che la corrente anodica abbia avuto il tempo di portarsi al di sopra del livello di aggancio. Questa situazione può produrre una certa incertezza nel comando del GTO. Analoga incertezza di comando potrebbe anche essere causata da alcuni tipi



di carico che tendono a variare il loro valore durante il tempo in cui il GTO entra in conduzione.

Si è potuto inoltre osservare che se la corrente anodica è di poco superiore al livello di aggancio (figura 11, in basso), il fianco posteriore ripido di un impulso positivo d'innescio (figura 11, in alto) può fare in modo che il GTO perda l'aggancio e la conduzione. In questi casi bisognerà prolungare il tempo di caduta dell'impulso di comando.

Conclusione: se si vuole che il GTO entri in conduzione nell'istante desiderato occorrerà tener sempre presente i comportamenti ai quali prima abbiamo accennato. Fortunatamente, gli at-

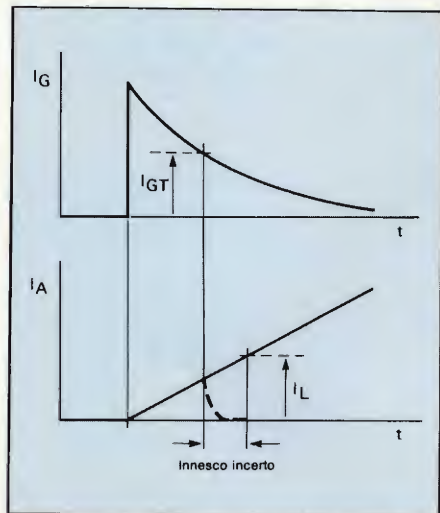


Fig. 10 - Per assicurare al GTO un innescio sicuro bisogna che la corrente anodica raggiunga un valore superiore alla corrente di aggancio ( $I_L$ ) prima che la corrente di gate ( $I_G$ ) scenda al di sotto del livello minimo ( $I_{GT}$ ) richiesto per assicurare l'innescio.

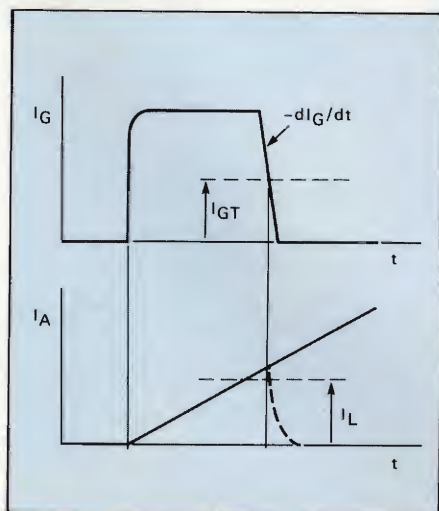


Fig. 11 - Perdita di aggancio potrebbe verificarsi anche nel caso in cui la corrente anodica ( $I_A$ ) risultasse leggermente superiore al livello di aggancio ( $I_L$ ) durante una rapida diminuzione della corrente di gate.

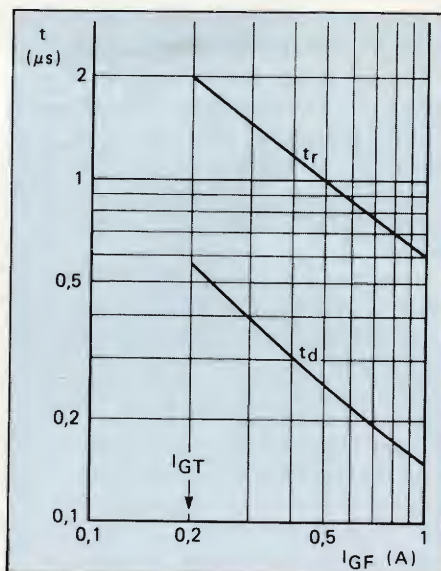


Fig. 12 - Componenti  $t_r$  e  $t_d$  del tempo di entrata in conduzione (turn-on) in funzione della corrente diretta di gate (BTW58).  $t_r$  = tempo di salita;  $t_s$  = tempo di immagazzinamento delle cariche;  $t_f$  = tempo di caduta;  $t_d$  = tempo di ritardo.

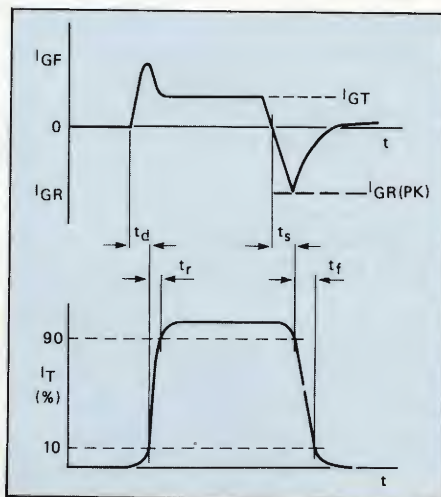


Fig. 13 - Forme d'onda ideali di turn-on e di turn-off in un GTO.

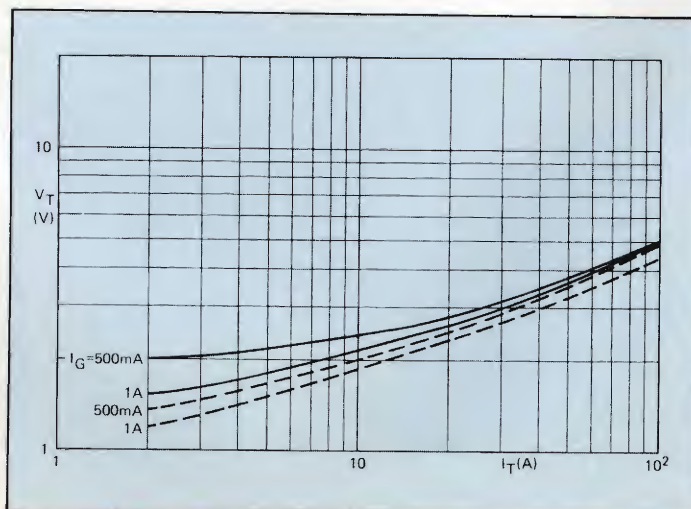


Fig. 14 - Caduta di tensione ai capi del GTO in funzione della corrente anodica. Come parametro viene presa la corrente continua di comando di gate. Vale per il BTW59.

tuali GTO hanno un'ottima sensibilità d'innescio. Per esempio, per i tipi BT157, BTV58, BTW58 e BTV59, abbiamo un  $I_{GT} = 200$  mA e per il BTW59, una  $I_{GT} = 300$  mA.

## Riduzione delle perdite che si verificano in fase di commutazione del GTO

Per ridurre queste perdite occorre cercare di rendere più breve possibile il tempo occorrente per portare il GTO in conduzione.

Dalla figura 12 si vede che questo tempo di turn-on è formato in pratica da due componenti: e precisamente dal tempo di ritardo  $t_d$  e dal tempo di salita  $t_r$ . Il tempo di turn-on tende a diminuire via via che aumenta la corrente diretta del gate. Di conseguenza, la forma ideale della corrente di comando di gate dovrà essere quella indicata in figura 13. Qui si vede che la corrente di comando dovrà assumere inizialmente un valore da 2 a 5 volte superiore alla corrente richiesta per avere un innescio sicuro (e cioè  $I_{GT}$ ), e mantenersi su questo valore (e cioè un valore superiore a  $I_{GT}$ ) per tutto il tempo che la corrente anodica richiederà per portarsi su un livello molto più elevato della corrente di aggancio ( $I_L$ ).

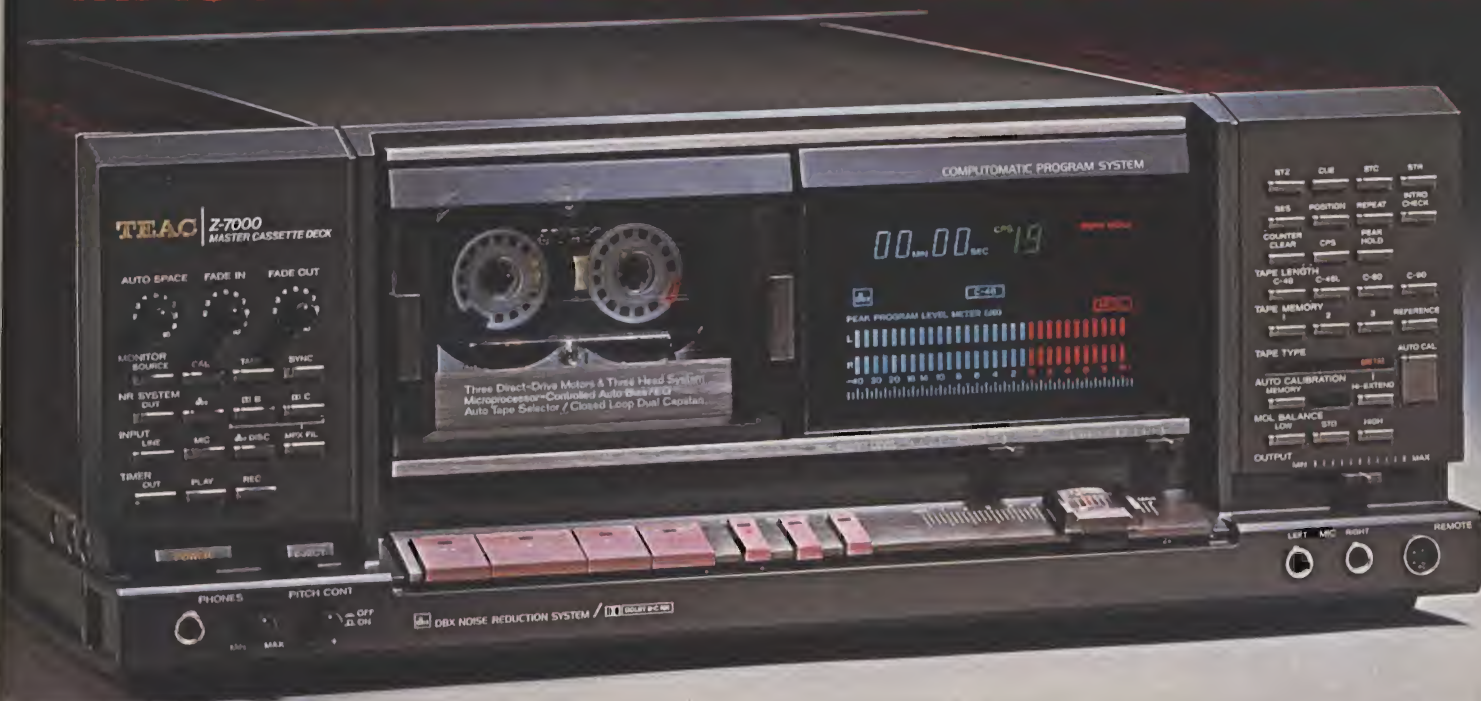
Questa condizione potrà essere ottenuta inserendo una rete RC nel circuito di comando di gate, per esempio C2R5 nel circuito di figura 6.

Nei tiristori convenzionali, il rapido aumento della corrente anodica che si verifica nella fase di turn-on del dispositivo produce, di regola, nel chip aree a forte dissipazione (i famosi punti caldi-hot spots).

La struttura interdigitata data al chip del GTO (figura 1) fa sì che esso possa sopportare bene lo "stress" al quale il dispositivo viene associato



# MASTER CASSETTE DECKS SERIE Z



Solo il fenomenale KNOW-HOW tecnologico della TEAC poteva consentire la realizzazione di questa nuova serie di registratori master a cassetta. La Serie Z è indubbiamente la migliore serie di registratori a cassetta

che la TEAC abbia mai costruito. Ciascuno di questi apparecchi è uno strumento di precisione dotato di impressionanti tecnologie d'avanguardia e di caratteristiche non riscontrabili in nessun altro registratore a cassetta oggi sul mercato. Tre motori a trazione diretta - Tre testine - Tre sistemi di riduzione del rumore: dBx, Dolby B e Dolby C - Telaio monoblocco in pressofusione. Controllo completamente automatico della taratura di bias, livello (S/D) ed equalizzazione con impostazione di riferimento. Ricerca del punto zero, del Cue prefissato, e del punto d'inizio di registrazione - Sistema di cancellazione di porzioni di nastro previa selezione - Funzione Intro Check per l'ascolto dei primi

10 secondi di ogni brano: facilitando la ricerca del brano desiderato. Unità di comando a distanza fornita in dotazione. Funzione di dissolvenza automatica - Espulsione della cassetta motorizzata - Contatti dorati e tantissime altre esclusive qualità. Questa è la nuova Serie Z della TEAC.

# TEAC®



# **99** **RIPARAZIONI TV** **ILLUSTRATE** **E COMMENTATE**

Sulla falsariga del precedente volume "100 Riparazioni TV illustrate e commentate" prodotto dalla JCE due anni fa, viene ora pubblicato questo libro che ne vorrebbe rappresentare il seguito. Si tratta di 99 schede di riparazioni effettuate su televisori in bianco e nero e a colori. Sono tutti casi reali verificatisi

in laboratorio scelti fra i più interessanti dal punto di vista tecnico e didattico. È un libro che non deve mancare sul banco di lavoro dei tecnici TV, specialmente dei più giovani per i quali esso rappresenta una specie di integrazione alla loro ancor fragile esperienza nella pratica di laboratorio.

**Offerta  
speciale!  
L.80000**

**99 RIPARAZIONI TV  
ILLUSTRATE  
E COMMENTATE**

  
JACOPO  
CASTELFRANCHI  
EDITORE

**AMADIO GOZZI**

Cod. 7003



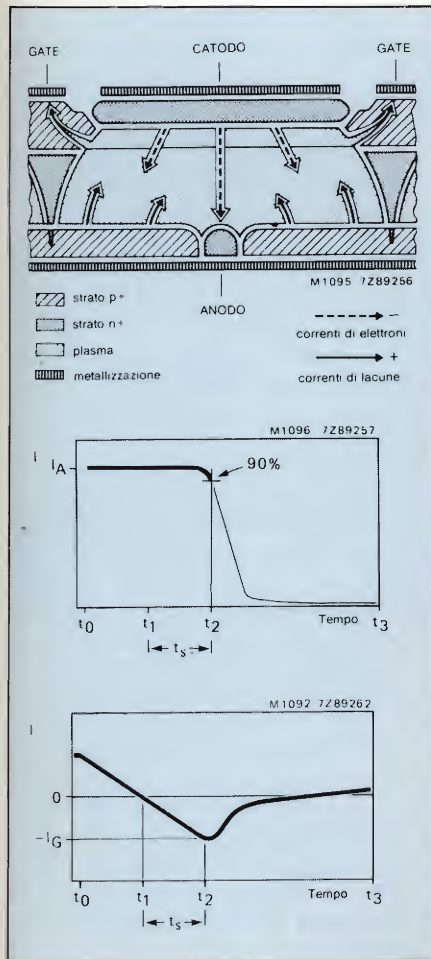


Fig. 15 - Stato della conduzione all'interno del cristallo del GTO al momento dell'inizio del bloccaggio (e cioè del tempo di immagazzinamento  $t_s$ ) quando cioè dal gate comincia ad essere estratta corrente.

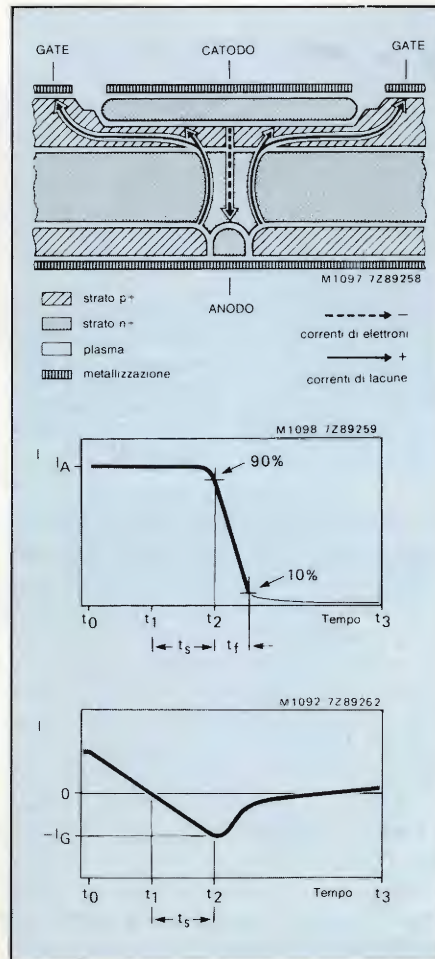


Fig. 16 - Stato della conduzione all'interno del cristallo del GTO durante la seconda fase del bloccaggio, corrispondente al tempo di caduta  $t_f$ . Durante questa fase la conduzione è ridotta ad un minuscolo canale di cariche che alla fine si interrompe.

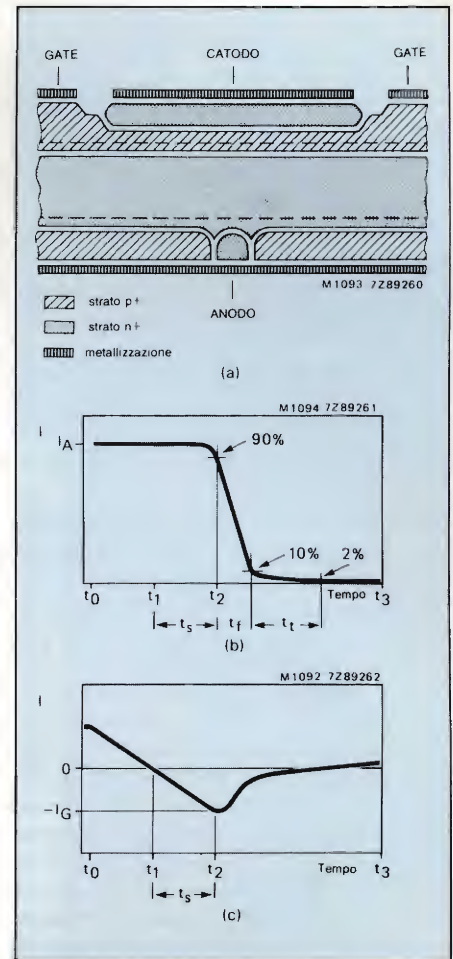


Fig. 18 - Stato della conduzione all'interno del cristallo del GTO durante la fase finale del bloccaggio durante la quale si forma uno strato di svuotamento e le cariche si ricombinano in una zona di tipo n lontana.

durante la fase di turn-on.

Nei circuiti sprovvisti di snubber, la dissipazione che si ha in fase di turn-on normalmente è bassa. In quelli in cui lo snubber è presente bisognerà tener conto della scarica del condensatore dello snubber, specialmente se questo non ha un resistore in serie. In questo caso infatti, tutta l'energia immagazzinata nel condensatore viene dissipata, ad ogni ciclo di funzionamento, all'interno del GTO, contribuendo in questo modo ad aumentare le perdite di turn-on del dispositivo.

#### Vantaggi di un pilotaggio di gate in continua

Il GTO come un normale transistor, può essere portato in conduzione, ad opera di una corrente continua di gate avente un valore superiore a  $I_{GT}$ . Questo sistema di comando, come indicano chiaramente i grafici della figura 14 ha inoltre il vantaggio di ridurre la caduta

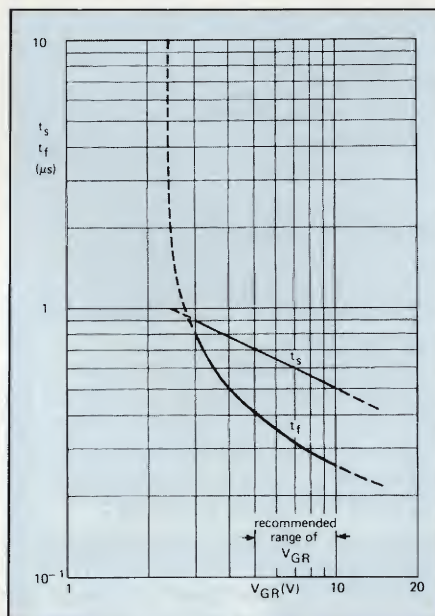


Fig. 17 - Influenza della tensione negativa di gate sulle due componenti del tempo di turn-off e cioè sul tempo di immagazzinamento  $t_s$  e sul tempo di caduta  $t_f$ .

di tensione fra catodo e anodo del GTO anche quando la corrente anodica assume valori molto superiori alla corrente di aggancio.

#### Comportamento del GTO quando cessa di condurre (fase di turn-off)

Per capire bene il meccanismo di bloccaggio del GTO sarà utile vedere che cosa succede all'interno del cristallo quando il GTO si trova in conduzione. La figura 15 riporta uno spettacolo del cristallo del GTO in fase di conduzione (fase-on). In particolare possiamo vedere quello che succede all'interno del cristallo quando si ha conduzione tra catodo e anodo. Vediamo così che la regione centrale viene riempita da un gran numero di elettroni-lacune (plasma) che consentono al GTO di essere percorso da una corrente elevata nonostante tra anodo e catodo sia presente una differenza di potenziale estremamente bassa.



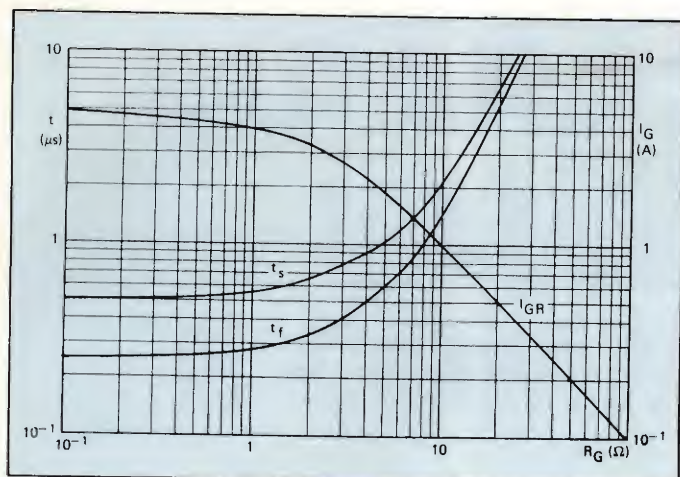


Fig. 19 - Corrente inversa di gate e le due componenti del tempo di turn-off in funzione della resistenza esterna  $R_G$  in serie al gate (BTW58).

Per bloccare il GTO occorrerà pertanto interrompere il fluire di questo "plasma", e ciò si otterrà, come già detto, applicando sul gate una tensione negativa di polarizzazione. Ciò farà sì che il "plasma" venga ridotto ad uno stretto "canaletto", come appunto indicato in figura 16. Il tempo intercorrente fino alla rottura definitiva di questo piccolo canale di corrente costituisce la fase di immagazzinamento del tempo di bloccaggio del dispositivo. Questa fase di immagazzinamento deve durare il meno possibile; e ciò si ottiene applicando tra gate e catodo un campo elettrico di sufficiente intensità (da  $-5$  V a  $-10$  V).

La zona del gate del cristallo è strutturata in maniera da lavorare, per tempi brevi (circa  $20 \mu s$ ), anche in condizioni di valanga inversa. L'applicazione di una tensione inversa di polarizzazione superiore al livello di rottura inversa non tende però ad agevolare l'operazione di bloccaggio del dispositivo. In figura 17 è riportata la relazione intercorrente tra la tensione inversa di gate e le due componenti che contribuiscono a formare il ritardo nello spegnimento del GTO.

Quando lo stretto canaletto di "plasma" illustrato in figura 16 si interrompe definitivamente, evidentemente non esisterà più la corrente anodica, e

la tensione sull'anodo tenderà ad aumentare in funzione della natura del carico applicato. Il tempo occorrente all'interruzione della corrente anodica dipenderà dalla quantità di corrente estratta dal gate.

Facciamo un esempio: volendo bloccare nel BTW 58 una corrente anodica di 5 A sottraendo dal gate una corrente di 1 A, i tempi di immagazzinamento e di caduta potranno durare rispettivamente  $2 \mu s$  e  $1,5 \mu s$ .

Gli elevati picchi di corrente inversa di gate occorrenti, come abbiamo visto, per assicurare un veloce bloccaggio del dispositivo, sono resi possibili grazie ad una zona a bassa impedenza situata al disotto del catodo. Punti caldi (hot-spots) che potrebbero formarsi qua e là nel chip in fase di bloccaggio non potranno verificarsi in quanto, come già accennato, alla zona del catodo è stata data una struttura interdigitata.

Dalla figura 18 si rileva inoltre che la fase finale di turn-off è costituita da una "coda" di corrente anodica di piccola entità dovuta a cariche intrappolate nelle regioni più lontane del cristallo. Il rivestimento in oro del chip e una struttura accorciata dell'anodo fanno sì che queste cariche possano ricombinarsi molto rapidamente, e di conseguenza non aumenteranno la dissipazione in fase di turn-off.

#### Bibliografia

- 1) L. Cascianini - FET-MOS di potenza, Darlington e GTO a confronto - **SELEZIONE di tecniche elettroniche** n. 12/1983, pag. 10.
- 2) Parametri più importanti per una corretta progettazione di circuiti con GTO (in inglese, disponibile a richiesta).
- 3) Esempio di impiego del GTO in un inverter trifase da 1,5 kW comandato da impulsi modulati in ampiezza (in inglese, disponibile a richiesta).

## L'A.M.D. a gonfie vele!

**I**l 1983 è stato per l'A.M.D. un anno molto positivo e le sue vendite sono aumentate del 69% rispetto all'anno precedente.

Fra tutti i produttori di semiconduttori, l'A.M.D. è l'azienda che nei periodi di recessione economica non ha mai licenziato un dipendente ed ha convogliato i suoi sforzi nella ricerca ottenendo invidiabili risultati. Inoltre l'A.M.D. non ha mai diminuito i suoi investimenti pubblicitari anche nei periodi di mercato fiacco a differenza di altre aziende che alle prime difficoltà di mercato, tagliano subito il budget di pubblicità, come se la pubblicità fosse una spesa superflua.

La pubblicità dell'A.M.D. in Italia è curata dallo studio C.P.M. il cui titolare dott. Carlo Pignagnoli ha incontrato il Presidente dell'A.M.D. Mr. J.W. Sanders III in un party alla Torre Eiffel di Parigi organizzato dall'A.M.D. per i suoi dipendenti e clienti europei.

#### Perdite in fase di turn-off

A frequenze di lavoro basse ( $< 2$  kHz), le perdite prodotte in fase di bloccaggio (turn-off) del GTO sono trascurabili. A frequenze di lavoro più elevate bisognerà tenerle invece in considerazione. È evidente che riducendo  $dV/dt$  si potranno ridurre anche queste perdite. Questo però significherebbe aumentare la capacità del condensatore snubber, e questo aumento mentre da una parte consentirebbe di avere valori di  $I_{TCM}$  più elevati, dall'altra avrebbe lo svantaggio di aumentare le perdite che si registrano in fase di turn-on del dispositivo.

Le perdite di turn-off possono evidentemente essere ridotte abbassando la temperatura alla giunzione del GTO. Questo però comporterebbe un radiatore di maggiori dimensioni.

Come si vede, per ottenere determinati scopi occorre fare dei compromessi, e solo il progettista, tenendo d'occhio l'applicazione alla quale sta lavorando, potrà decidere quale parametro dovrà essere sacrificato a beneficio dell'altro.



# Mini Coordinato Hi-Fi SONY®

# 120 W



## FH-7

### AMPLIFICATORE INTEGRATO 120 MUSICALI

Equalizzatore grafico a cinque bande (100 Hz; 400 Hz; 1 KHz; 4 KHz; 12 KHz)  
Ingressi PHONO-TUNER-TAPE  
Ingresso per Compact Disc/AUX  
Cursori per bilanciamento volume  
Indicatore di livello a 5 LED

### TUNER FM STEREO/FM-AM

Digitale  
Sintetizzatore al quarzo  
Indicatore a cristalli liquidi

### REGISTRATORE A CASSETTA STEREO

Auto-reverse in funzione playback  
Selettore automatico del tipo di nastro  
A.M.S. (Automatic Music Sensor)  
Tastiera delle funzioni a tasti microsensibili (Feather-touch)  
Sistema di registrazione automatico  
Sistema riduttore di fruscio Dolby B

### SISTEMA DI ALTOPARLANTI

Due vie per canale, un woofer di 10 cm e un tweeter di 5 cm.

### UNITA DI ALIMENTAZIONE

Comando di accensione unico  
Presa per cuffia  
Connettori per casse acustiche



## EBP-78

### BOX DI PILE

Studiato per il mini coordinato FH-7



## PS-Q 7

### GIRADISCHI

Completamente automatico  
Trazione diretta  
Motore BSL a coppia lineare con controllo velocità a magnedisc  
Amplificatore incorporato per l'ascolto in cuffia senza l'ausilio del principale della catena HI-FI  
Espressamente concepito per il mini coordinato Sony FH-7



In questa nuova rubrica verranno presentati e illustrati mensilmente gli ultimi progressi tecnologici e le ultime realizzazioni portate avanti nei laboratori di sviluppo e di ricerca dei più importanti complessi elettronici mondiali. Queste tecnologie avanzate copriranno tutta l'area della componentistica elettronica, e cioè, i materiali, i componenti passivi, i tubi, i dispositivi a semiconduttore sia discreti che integrati.

## STAMPANTE OTTICA VELOCE, SILENZIOSA ED A ELEVATA DEFINIZIONE

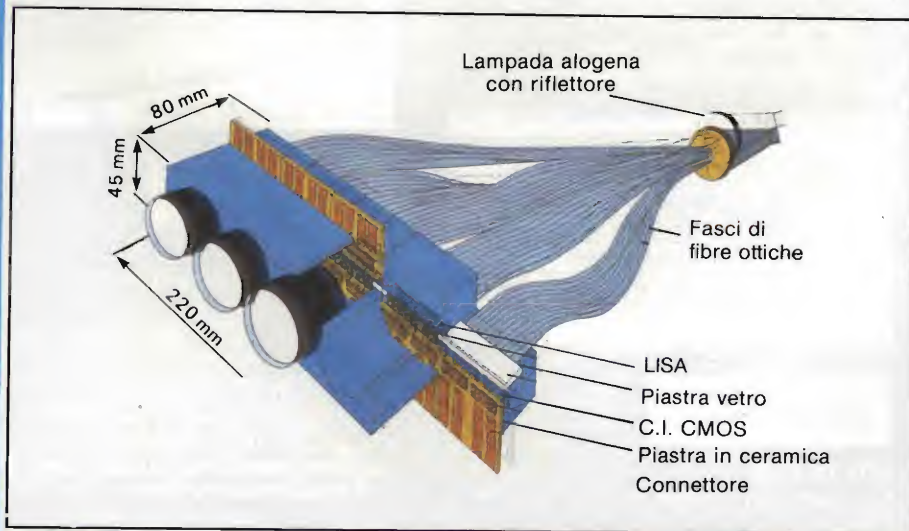
**Q**uesto sistema ottico, capace di produrre strutture (segni alfanumerici e altre immagini), ad elevata definizione, viene chiamato *LiSA 512*. Il termine *LiSA* è derivato da *Light-Switching Array* e significa appunto "insieme di interruttori (o meglio valvole) capaci di aprirsi e di chiudersi velocemente lasciando passare o meno un raggio di luce" (figura 1). La velocità di apertura e di chiusura di queste valvole della luce, viene controllata mediante sistemi elettronici. Attualmente questo sistema viene impiegato per produrre immagini o strutture ad elevata definizione quali quelle prodotte dalle stampanti di riga ottiche (elettrofotografie).

Questo nuovo sistema possiede tutti i vantaggi e le caratteristiche delle stampanti ottiche, e cioè: risoluzione spaziale elevata, velocità elevata, funzionamento non rumoroso. Oltre a questi pregi, il nuovo sistema *LiSA 512* ne possiede altri che lo portano all'avanguardia nel campo di tutti gli attuali sistemi di stampa ottica.

Prendiamo, per esempio, le stampanti basate sul *laser* che sono attualmente le stampanti ottiche maggiormente impiegate. Proprio per essere basate sul principio del *laser*, queste stampanti ottiche presentano severe limitazioni. Eccone alcune: si sa che i *laser* allo stato solido emettono la loro radiazione predominante nella regio-

ne dell'infrarosso, vicino cioè al rosso. D'altra parte è noto che il tamburo fotoconduttore sul quale in una stampante ottica viene formata l'immagine "latente", risponde invece meglio ad una luce blu/verde. Questo, naturalmente, non sarebbe un problema per i *laser* a gas, i quali, come è noto, sono in grado di produrre anche una luce blu/verde. Ma l'impiego di questi tipi di *laser* in queste stampanti ottiche oltre che a comportare una notevole complessità, ne farebbe aumentare notevolmente il costo. Oltre a questo inconveniente, le stampanti a *laser* richiedono un sistema di deflessione meccanico, fattore anche questo che contribuisce ad aumentarne ulteriormente la complessità e il costo.

Anche le stampanti ottiche impieganti come sorgente di luce i *LED* presentano l'inconveniente suddetto in quanto anche i *LED* emettono una radiazione luminosa spostata principalmente nella regione del rosso/infrarosso. Se non altro però hanno il vantaggio di non richiedere un sistema meccanico per deflettere queste radiazioni. Le sorgenti di luce a *LED* hanno inoltre il vantaggio di essere compatibili con le attuali famiglie di circuiti integrati. Anche i *LED* però, come le sorgenti a *laser*, hanno inconvenienti derivanti proprio dalla loro stessa natura, e cioè da essere sorgenti luminose a *LED*.



**Fig. 1 - LiSA (Light Switching Array)** "è un sistema di valvole" che lascia/non lascia passare la luce. Viene usato per produrre immagini ad elevata risoluzione. Non possiede alcuna parte in movimento e può funzionare utilizzando una sorgente di luce standard.



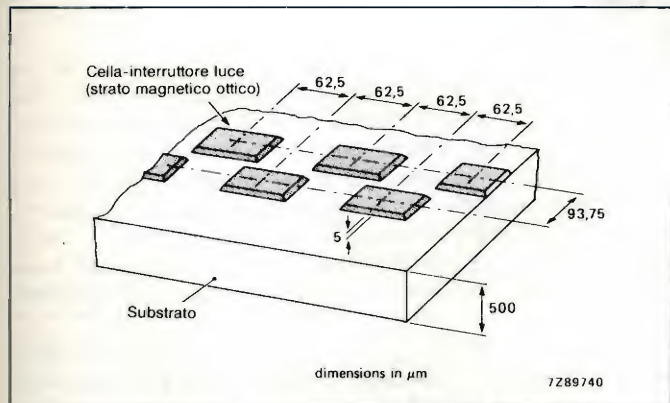


Fig. 2 - Il chip LiSA è formato da uno strato di bismuto/ferro fatto crescere in maniera epitassiale su un substrato costituito da gallio/gadolinio. Questo substrato viene successivamente suddiviso mediante i soliti sistemi fotolitografici in minuscole celle che provvederanno a ruotare il piano della luce polarizzata. Ciascuna cella misura  $65 \times 65 \mu\text{m}^2$ , ed è pertanto più piccola del più piccolo dominio magnetico possibile (circa  $100 \dots 200 \mu\text{m}$  in diametro). Uno strato metallico opaco ricopre lo spazio esistente fra le celle.

Così per esempio, un tipico sistema a LED potrà avere 2000 e anche più elementi attivi molto vicini gli uni agli altri che richiedono di essere commutati (accesi e spenti) ad elevata velocità. In conseguenza di ciò, il sistema viene a dissipare una considerevole quantità di calore, supponiamo 20 W o anche di più, fattore questo che, per sistemi di piccole dimensioni come appunto sono le stampanti ottiche, rende estremamente complicato e ingombrante, un adeguato sistema di raffreddamento. Oltre a ciò, lo "stato dell'arte" della tecnologia di realizzazione dei LED non consente di integrare più di 100 elementi per chip, per cui i sistemi di stampanti ottiche basati su sorgenti luminose a LED attualmente sono molto costosi.

La nuova stampante ottica LiSA non possiede nessuno dei suddetti svantaggi. Essa infatti non ha nessuna parte in movimento, può funzionare con qualsiasi sorgente di luce standard, ed infine non ha problemi di raffreddamento. Inoltre, nella stampante ottica LiSA si è raggiunto un grado di integrazione che ormai è cinque volte superiore a quello consentito dalla tecnologia LED, ed inoltre gli sviluppi futuri di queste tecnologie fanno prevedere un ulteriore aumento di questo margine.

## Principio di funzionamento

Il chip LiSA è costituito da un sottile strato di ferro e bismuto avente proprietà ottiche e magnetiche. Questo strato viene ottenuto con il solito sistema di crescita epitassiale su un substrato di gallio/gadolinio. Successivamente viene suddiviso mediante il solito sistema fotolitografico in tante piccole celle separate (figura 2). Questo sottile strato di ferro/bismuto possiede la "strana" caratteristica di magnetizzarsi spontaneamente lungo un asse normale (a  $90^\circ$ ), rispetto al piano del sottostante substrato. Ogni cella, una volta fatta, si troverà automaticamente ad essere magnetizzata in questa direzione.

Queste piccole celle rettangolari oltre a risultare magnetizzate nella maniera suddetta presentano anche l'effetto Faraday. Questo effetto dice che se un raggio di luce polarizzata attraversa una di queste celle, esso verrà ruotato, e il senso di rotazione (sinistro o destrorso) dipenderà dalla particolare direzione di magnetizzazione della cella.

Ecco quindi che, ponendo davanti alla cella un filtro polarizzatore, e dietro alla cella un secondo filtro polarizzatore (figura 3), sarà possibile trasformare la cella in una vera e propria valvola di luce, che potrà essere controllata e comandata dalla direzione della magnetizzazione conferita alla cella.

## Perché una cella diventa una valvola di luce

Abbiamo visto che ciascuna cella a causa del materiale di cui è fatta, e della maniera in cui viene formata viene a trovarsi automaticamente magnetizzata, e che inoltre, variando il senso di questa magnetizzazione è possibile variare il piano di polarizzazione di un

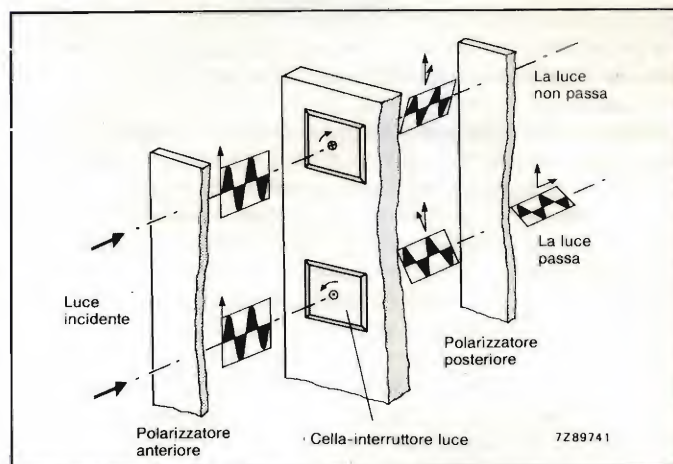


Fig. 3 - È la differente direzione di magnetizzazione a cui viene associata la cella che fa ruotare in due differenti direzioni il piano della luce polarizzata proveniente dal filtro polarizzatore d'ingresso. Il filtro polarizzatore d'uscita (analizzatore), lasciando passare soltanto la luce polarizzata ruotata in una determinata direzione, consente alla rispettiva cella di comportarsi come una "valvola di luce", e cioè, come un dispositivo che lascia o non lascia passare un raggio di luce alla velocità di cambiamento di direzione del campo magnetico.

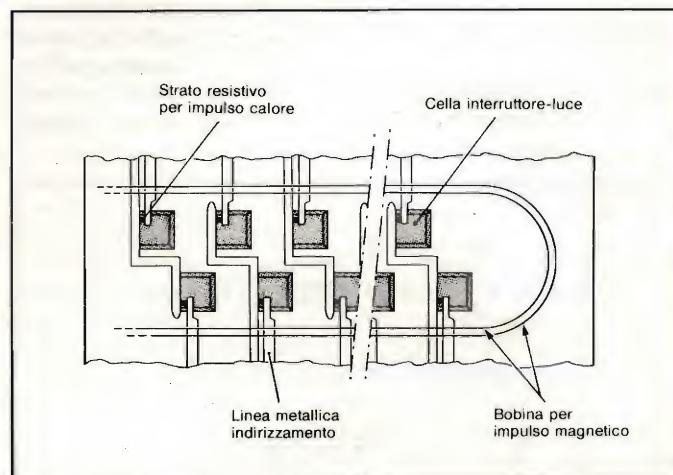
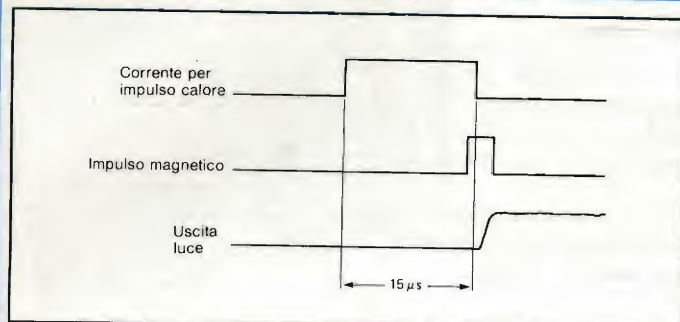


Fig. 4 - Realizzazione pratica di una cella di commutazione della luce. L'impulso di calore necessario perché la cella possa essere magnetizzata in senso opposto viene fornito ad essa da un sottile strato resistivo disposto al disopra della cella medesima. Questo impulso di calore porta un angolo di cella alla temperatura di  $100^\circ\text{C}$ . A questa temperatura, le proprietà magnetiche della cella diventano instabili, e di conseguenza, potranno essere invertite facilmente mediante applicazione di un campo magnetico esterno.





**Fig. 5 - Sequenza degli impulsi richiesti da una cella perché essa possa comportarsi come una "valvola di luce".**

fascetto di luce che entra nella cella dal davanti. Da ciò si conclude che per variare il piano di polarizzazione del raggio che colpisce la cella, occorrerà variare il senso di direzione della magnetizzazione.

A questo punto occorre però precisare che la cella da sola anche con il filtro polarizzatore anteriore non è in grado di comportarsi come interruttore o valvola di luce. La vera valvola di luce (passaggio/bloccaggio del raggio luminoso) si ottiene ponendo dietro la cella un secondo filtro polarizzatore, il quale farà passare la luce *soltanto* quando questa si presenterà con un piano di polarizzazione ben definito. In definitiva, la cella al bismuto-ferro, provvede soltanto a ruotare il piano di polarizzazione del fascio di luce che la investe e non a bloccarlo o lasciarlo passare.

Per variare la direzione di magnetizzazione di una cella si ricorre ad una combinazione di impulsi di calore e di campo magnetico. Per comprendere perché si utilizzi questa tecnica per poter variare la direzione della magnetizzazione di una cella, occorre vedere più da vicino il comportamento magnetico del film bismuto/ferro.

Abbiamo più volte ripetuto che questo film o strato assume spontaneamente una magnetizzazione le cui linee di forza risultano normali al piano del substrato sul quale viene formato il suddetto film. In questo strato, prima che esso sia stato suddiviso in tante piccole celle, i *domini magnetici* assumeranno una direzione o parallela o antiparallela rispetto alla normale inoltre, a seconda quale campo magnetico sarà prevalente, questo loro allineamento potrà mutare direzione continuamente senza una regola precisa. Lo strato quindi verrà a possedere una disposizione casuale di domini rispettivamente paralleli e antiparalleli. Quando però il film di ferro-bismuto viene suddiviso con i soliti sistemi fotolitografici in celle le cui dimensioni risultano inferiori al più piccolo dominio possibile, succederà che ciascuna cella potrà contenere soltanto

un tipo di dominio, e di conseguenza, la sua magnetizzazione risulterà uniforme.

Il fatto più importante è che questa magnetizzazione uniforme che viene ad assumere la cella a causa delle sue ridottissime dimensioni, si manterrà tale anche nel caso in cui la cella assuma temperature fino a circa 70 °C. Fino a questa temperatura, infatti, la magnetizzazione della cella rimarrà inalterata anche in presenza di elevati campi magnetici. Pertanto, per variare la magnetizzazione della cella, occorrerà portare la sua temperatura su un valore superiore a 70 °C; a questo punto la sua magnetizzazione potrà essere cambiata mediante applicazione di un campo magnetico intenso.

Ecco quindi trovato un sistema abbastanza semplice per poter variare la direzione di magnetizzazione della cella. Basterà infatti applicare alle celle (oppure ad una porzione delle celle) un *impulso di calore*, e fare seguire a questo impulso di calore, un impulso di *campo magnetico* e le celle cambieranno i loro domini da paralleli in antiparalleli (e viceversa), e potranno quindi cambiare il piano di polarizzazione della luce che le colpisce.

La figura 4 indica come in pratica viene strutturata una cella. Tale strutturazione prevede *prima* il riscaldamento delle celle, e *successivamente* l'applicazione di un campo magnetico a impulsi, e ciò per fare in maniera che ogni cella possa cambiare la direzione della sua magnetizzazione, e di conseguenza, possa ruotare il piano di luce polarizzata che la colpisce dal davanti.

In particolare, vediamo che a fornire l'impulso di calore provvede un sottile strato resistivo depositato sulla parte superiore di ciascuna cella, mentre a fornire l'impulso magnetico provvede una spirale separata che racchiude tutte le celle.

**Tabella 1 - Dati caratteristici dell'unità LiSA 512**

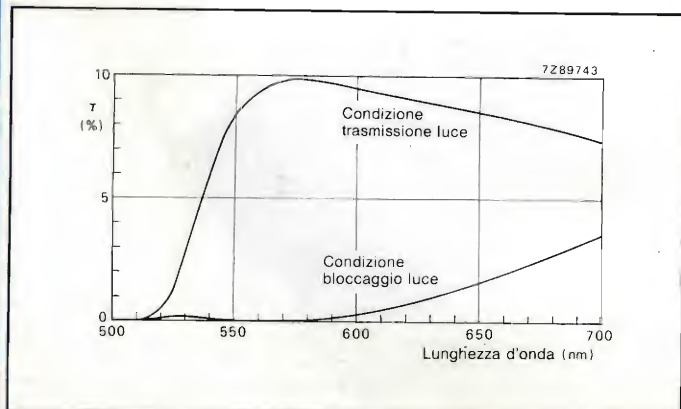
Numero delle "valvole della luce"	512
Apertura ottica di una valvola della luce	65 x 65 μm <sup>2</sup>
Distanza tra una valvola-luce e l'altra	62,5 μm
Lunghezza "ottica"	32 mm
Lunghezza totale	42 mm
Tempo di commutazione ottica	< 2 μs
Ritardo nella commutazione termoelettrica	18 μs
Tempo di ciclo (tipico)	500 μs
Velocità dei dati elettronici d'ingresso (tipico)	1 Mbit/s
Tensione di comando	12 V/30 V
Potenza assorbita per 2000 immagini al secondo	circa 5 W

In figura 5, si può vedere come si susseguono rispettivamente l'impulso della corrente di riscaldamento e quello del campo magnetizzante nonché il passaggio/bloccaggio della luce all'uscita del sistema completo e cioè, della cella completata dal filtro polarizzatore posteriore (figura 3).

In particolare, l'impulso di calore provvede a riscaldare un angolo della cella fino ad una temperatura oltre i 100 °C; ciò creerà una ragione di instabilità magnetica che tenderà a propagarsi attraverso tutta la superficie della cella consentendo quindi all'impulso del campo magnetico di portare la cella in una nuova direzione di magnetizzazione. Entro circa 100 μs dalla scomparsa dell'impulso di calore, la cella si raffredderà e si stabilizzerà su una nuova direzione di campo magnetico.

## Caratteristiche di trasmissione

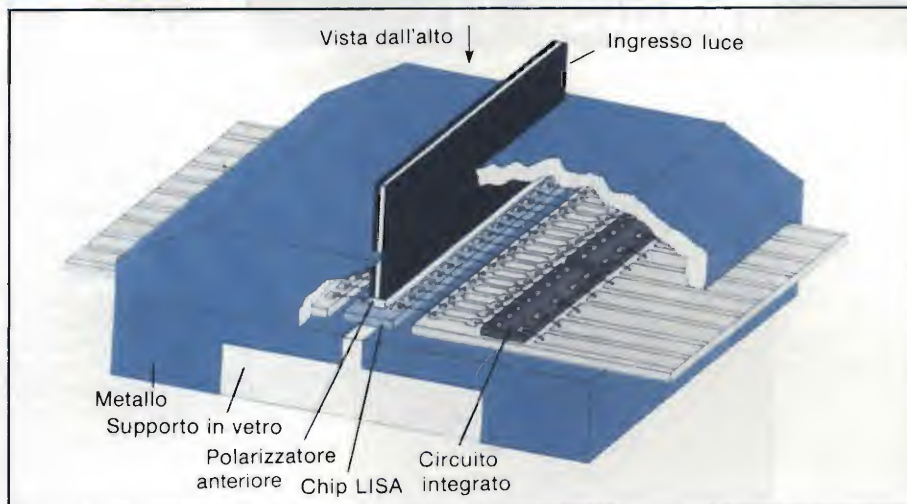
Il coefficiente di trasmissione dell'unità LiSA dipende dal valore dell'angolo con cui risulta ruotato il piano della luce polarizzata. Per una luce con lunghezza d'onda di 550 nm, questo angolo è circa ± 20° e tende a diminuire qualora la lunghezza d'onda della luce impiegata aumenti di valore tendendo verso il rosso.



**Fig. 6 - Coefficiente di trasmissione della luce (τ) di un'unità LiSA in funzione della lunghezza d'onda (i filtri polarizzatori rispettivamente anteriore e posteriore risultano inclinati l'uno rispetto all'altro di 15°).**



**Fig. 7 - Spaccato di un'unità LiSA 512.** L'unità contiene 512 celle commutatrici di luce, disposte in una struttura a meandro, e 4 registri a scorrimento CMOS a 64 bit. La luce entra attraverso la finestra d'ingresso che si trova nella parte superiore dell'unità, ed esce attraverso il supporto vetro che si trova in basso. Il filtro polarizzatore d'uscita di figura 3 (analizzatore), non è indicato in questa figura e viene cementato sulla parete esterna del supporto di vetro in basso.



A parte l'effetto magneto-ottico, lo strato ferro/bismuto effettua anche un assorbimento ottico che tende a diminuire verso il rosso. La figura 6 indica come varia il coefficiente complessivo di trasmissione al variare della lunghezza d'onda della luce sia per la condizione di trasmissione sia per quelle di bloccaggio.

Occorre tener presente che il coefficiente di trasmissione varia al variare della lunghezza d'onda per i due stati di magnetizzazione e che il bloccaggio totale è possibile soltanto per una luce monocromatica di una data lunghezza d'onda.

## Struttura dell'unità LiSA 512

È riportata in figura 7. "Il cuore" di questa unità è formato da chip LiSA contenente 512 celle commutatrici disposte in una struttura a meandro. Il chip viene cementato su un supporto di vetro a sua volta incastrato tra due blocchi metallici che funzionano anche da radiatori di calore del chip. La luce perviene alle celle del chip attraverso due lastre di vetro perpendicolari al chip disposte a sandwich. Tra l'estremità inferiore di queste due piastre di vetro e il chip si trova il filtro polarizzatore della luce d'ingresso e la bobina magnetizzatrice. Di solito, l'unità viene fornita senza il filtro polariz-

zatore di uscita (filtro analizzatore) che ovviamente dovrà essere cementato sul supporto di vetro. Il filtro polarizzatore d'uscita può essere fornito assieme all'unità solo nel caso in cui venga specificata la particolare applicazione dell'unità.

La disposizione a meandro delle celle presenti nel chip LiSA tende a migliorare la definizione del carattere e facilita la realizzazione delle funzioni logiche richieste. Il chip viene in pratica suddiviso in *banchi di celle* rispettivamente superiori e inferiori, che non funzionano contemporaneamente ma in maniera alternata nel senso che in un determinato istante lavora un solo banco alla volta. Ne consegue pertanto che quando l'unità LiSA viene installata su una stampante ottica, la velocità di commutazione dei banchi di celle dovrà essere adattata alla velocità del tamburo fotoconduttore in maniera da formare sul tamburo immagini lineari *interlacciate*. Tali immagini si sovrapporranno in parte allo scopo di minimizzare eventuali discontinuità nella linea stampata.

Oltre a questa struttura ottica (hardware ottico), l'unità LiSA 512 contiene anche 5 circuiti integrati di registri a scorrimento MOS a 64 bit, sistemati su ciascun lato del chip.

Le uscite di ciascuno di questi registri a scorrimento sono collegate con due celle di commutazione, una presente nel banco di celle superiore e l'altra nel banco di celle inferiore, e siccome come già detto, viene selezionato in ogni istante un solo banco, il totale dei 256 bit disponibili nei registri a scorrimento sarà proprio del tutto sufficiente a far funzionare i 512 elementi presenti nel chip LiSA.

Nella tabella 1 sono riportate le caratteristiche principali di una unità LiSA 512. In figura 8 si può invece vedere un esempio di immagini fornite da una unità LiSA 512. Questa unità può accettare dati di ingresso alla velocità di 1 Mbit/s.

Questo ritmo di trasmissione di bit consente, a sua volta, di ottenere una velocità massima di formazione di immagini di circa 2000 al secondo. Valore quest'ultimo paragonabile alla velocità delle ultime stampanti di linea per computer, con la differenza però che nel caso di utilizzo dell'unità LiSA 512 la qualità delle immagini è molto superiore.

In pratica in un sistema di stampa, dovrebbero essere installate l'una a fianco all'altra molte unità LiSA 512. Il loro numero esatto dipenderebbe naturalmente dallo spessore della linea desiderato. Queste unità richiederebbero una sorgente di luce accoppiata mediante fibre ottiche ed un sistema di lenti (figura 1) in grado di focalizzare l'immagine sul tamburo fotoconduttore.

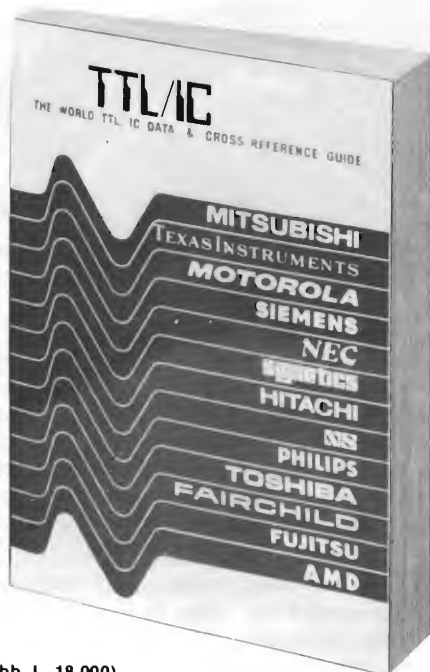
Nel sistema LiSA, tutte le operazioni di commutazione vengono controllate da circuiti integrati ibridi esterni all'unità LiSA per cui il raffreddamento non rappresenta affatto in questo caso un problema.



**Fig. 8 - Immagini prodotte da una singola unità LiSA sperimentale capace di produrre 12 punti/mm.**



# Guida mondiale dei circuiti integrati TTL



Cod. 6010  
L. 20.000 (Abb. L. 18.000)

Il prontuario fornisce le equivalenze, le caratteristiche elettriche e meccaniche di pressoché tutti gli integrati TTL sinora prodotti dalle principali case europee, americane e giapponesi.

I dispositivi Texas, Fairchild, Motorola, National, Philips, Signetics, Siemens, Fujitsu, Hitachi, Mitsubishi, Nec, Toshiba, Advanced Micro Deviced, sono confrontati tra loro all'interno di ogni famiglia proposta.

Per facilitare la ricerca o la sostituzione del dispositivo in esame, è possibile anche, dopo aver appreso ad integrarne la nomenclatura degli IC, consultare il manuale a seconda delle funzioni svolte nei circuiti applicativi.

Rappresenta, quindi, un indispensabile strumento di lavoro per tutti coloro che lavorano con i TTL.

Da Inviare a JCE  
Via dei Lavoratori, 124 - 20092 Cinisello Balsamo (MI)

Nome Cognome

Indirizzo

Cap.

Città

Provincia

Codice Fiscale (indispensabile per le aziende)

Inviatemi i seguenti libri:

☐ Pagherò al postino il prezzo indicato + L. 2000 per contributo fisso spese di spedizione

Codice Libro	Quantità	Codice Libro	Quantità	Codice Libro	Quantità

☐ Non Abbonato ☐ Abbonato

Potrebbero essere "strumenti di spionaggio"

## Sequestrati nel Comasco 100 telefoni "senza fili"

COMO — Un centinaio di telefoni "senza filo" sono stati sequestrati nella provincia di Como a commercianti e privati su ordine della Procura della città. I magistrati lombardi hanno delegato agli organi di polizia giudiziaria il compito di sequestrare i telefoni in osservanza a un provvedimento deciso a Roma, che considera appunto fuorilegge questo tipo di apparecchio.

Sulla sua utilità non sembrano esserci molti dubbi e nessuno, viene da pensare, può aver immaginato finora di avere fra le mani uno strumento idoneo a operare intercettazioni di comunicazioni telefoniche. Qualcosa, insomma, da poter paragonare a strumenti utili per lo spionaggio. Eppure il suo uso e il suo possesso sono in contrasto con l'articolo 9 della legge dell'8 aprile '74 numero 98. Tutto questo secondo un pretore di Roma. Ma cos'è questo strumento utile, usato alla luce del sole, che consentirebbe di intercettare comunicazioni telefoniche? Il telefono "senza filo", tecnicamente chiamato "telefono senza cordone di borchia", è un dispositivo, entrato nell'uso comune da qualche anno, che, collegato all'apparecchio telefonico principale, consente di ricevere o di effettuare comunicazioni spostandosi per la casa o, tanto per fare un esempio, dal tavolo di un ristorante (è una delle sue utilizzazioni principali)

senza doversi alzare dalla sedia.

Alcuni di questi telefoni "senza filo" hanno una portata limitata a cento metri, altri, più sofisticati e costosi, hanno un raggio d'azione sino a due chilometri. Ora è vero che alzando l'apparecchio telefonico principale è possibile ascoltare quanto viene detto, ma solitamente si tratta pur sempre di telefonate che possono essere definite "casalinghe".

Comunque sia, il pretore di Roma ha disposto con una ordinanza il sequestro su tutto il territorio nazionale dei televisori "senza filo". Per la verità questa ordinanza è abbastanza remota, in quanto risale al marzo dello scorso anno. Se venisse affermata la responsabilità penale delle persone coinvolte in questa vicenda, cioè coloro che sono stati trovati in possesso di telefoni "senza filo", i reati commessi prevedrebbero pene variabili fra uno e quattro anni di reclusione e multe da uno a cinque milioni di lire.

Perché la notizia di questa ordinanza esce da Como e solo ora? Perché si è appreso che sui tavoli dei magistrati comaschi sono già arrivati un centinaio di rapporti, mentre in una stanza del nucleo di polizia giudiziaria del palazzo di giustizia di Como sono stati ammassati un centinaio di telefoni "senza filo" sequestrati in tutta questa provincia a commercianti e privati.

G.P.



Un modello di "telefono senza fili".



# DOCCIA SCOZZESE SENZA FILO

Notizia e smentita della notizia è un'altalena non infrequente nei giornali. Questa volta l'avventura giornalistica è toccata ai telefoni senza filo, dei quali il pubblico ha appreso l'ostracismo e poi la riabilitazione a pochi giorni di distanza. La prima notizia aveva recato non poco sconcerto agli operatori economici, e una forte delusione agli utenti. Poi il solito alt, scusate, ci eravamo sbagliati. Non saremo noi a discutere sulla libertà di stampa, alla quale siamo direttamente interessati. Ma, chiediamo, è conveniente dare come certa una notizia che certa non è?

Riportiamo, pari pari, due articoli apparsi nel Corriere della Sera il giorno 11 e il giorno 15 marzo 1984. Quattro giorni per capovolgere un'informazione.

**Magistrato romano ha firmato il decreto di dissequestro in tutta Italia**

## Via libera ai telefoni "senza fili"

COMO - Non sono fuori legge i telefoni "senza fili". Migliaia di persone possono finalmente tirare un sospiro di sollievo dopo che il sostituto procuratore della Repubblica di Roma, Angelo Gargani, ha firmato il decreto di dissequestro su tutto il territorio nazionale. Per il giudice, dunque, contrariamente a quanto era stato stabilito con una precedente ordinanza, non è reato tenere in casa quello che tecnicamente viene chiamato "telefono senza cordone di borchia" purché venga rispettata la frequenza di 900 megacicli.

Analogamente non possono essere messi sotto accusa né i produttori degli apparecchi né i negozianti. I telefoni "senza fili", in sostanza, non possono essere ritenuti apparecchi di intercettazione di comunicazioni o di conversazioni telefoniche, il sospetto all'origine dell'intera vicenda.

La decisione del giudice romano, resa nota in questi giorni, conferma nella sostanza due analoghe sentenze emesse tempo fa dai tribunali di Monza e di Bologna, secondo le quali "è da escludere che per i

telefoni "senza fili" si possa parlare di microspie".

Del resto la linea adottata dal magistrato romano aderisce alla normativa tecnica decisa dal ministero delle Poste e Telecomunicazioni e pubblicata nell'agosto scorso sulla Gazzetta Ufficiale. Secondo le disposizioni ministeriali i telefoni senza cordone non possono essere utilizzati a più di 50 metri di distanza al chiuso e di 200 all'aperto dall'impianto "normale" installato dalla Sip. Inoltre questi apparecchi non possono essere usati come interferitori. Tali limiti permettono dunque l'utilizzazione soltanto in connessione di tradizionale apparecchio già installato nell'abitazione.

Se la decisione del magistrato romano ha portato un cauto ottimismo rimane tuttavia una certa confusione tra i rivenditori. Molti non espongono più il prodotto, altri l'hanno ritirato dal commercio. Tutti hanno paura di una multa o dell'arresto.

"Non c'è nulla da temere - dicono i responsabili dell'Andec (Associazione nazionale distributori elettronica civile)



- perché da molti giorni l'importazione di telefoni senza fili, che era stata sospesa, è ridiventata libera. I sequestri erano stati ordinati mesi fa dal dottor Gargani della procura di Roma ma poi, con ordinanza dello stesso magistrato, ne

era stato disposto il dissequestro. Per opporsi alla primitiva ordinanza di blocco la nostra associazione, assistita dall'avvocato Corso Bovio, ha dovuto impegnarsi in un lungo lavoro durato diversi mesi.

Il caso era salito alla ribalta nei giorni scorsi, dopo la notizia che alla procura della Repubblica di Como erano in atto le pratiche per il sequestro di un centinaio di questi apparecchi, molto usati soprattutto nei ristoranti e nelle grosse aziende. È come si è detto uno strumento molto comodo e del quale si prevede una diffusione su vasta scala. "Il gruppo Face Standard nel laboratorio di Pomezia - dice Alberto Boenio Brocchieri direttore delle relazioni esterne, del gruppo stesso - sta sviluppando un nuovo tipo di telefono senza fili completamente aderente alla legge italiana che lavorerà a 900 megacicli, escludendo quindi i possibili problemi di interferenze. L'apparecchio sarà dotato di una serie di dispositivi per consentire la sicurezza sia delle telefonate sia dell'addebito".

Giuseppe Gallizzi



## COMPONENTI

### Commutatore di codifica completo

Una nuova concezione dei contatti consente al commutatore RTB presentato dalla Isitalia di realizzare tutti i codici: BCD standard, esadecimale, binario diretto e complementare, Gray o gli stessi codici specifici dei clienti. Disponibile in versione da 1 o 4 moduli, l'RTB è in grado di assicurare le stesse funzioni dei commutatori rotativi classici come, ad esempio, un circuito a 24 posizioni con 4 moduli. L'RTB è un componente elettromeccanico che ha un interessante rapporto prezzo/prestazioni. Ciò è dovuto al ridotto numero di componenti base e alla loro semplicità di assemblaggio. Inseribile su circuito stampato, l'RTB offre una ermeticità totale ai flussanti di saldatura e alle operazioni di pulizia (prove di immersione conformi alle norme NFC 20261/QF e MIL R 22097 F).

**ISITALIA**  
V.le Milanofiori, 1/4  
Assago (MI)



Commutatore di codifica di nuova concezione presentato dalla Isitalia denominato RTB.

### Termistori per alimentatori switching

La Siemens propone di sostituire la resistenza di avviamento degli alimentatori switched mode con un termistore (J 29), in grado di esercitare la propria funzione 6 - 8 s dopo aver inserito l'alimentatore. In questo caso, rispetto alla resistenza tradizionale, la corrente viene soppressa quando il funzionamento è continuativo.

Il termistore, montato in una custodia in plastica ignifuga, dispone di contatti di serraggio che consentono di ottenere una frequenza di commutazioni praticamente infinita.

La tensione massima di esercizio può arrivare a 350 Veff a 60 °C.

La custodia quadrata (7 mm di lato), con un'altezza di 10 mm, risulta di minimo ingombro.

Il J 29 trova applicazione tipica nei televisori, dove consente di ottenere una riduzione del consumo di 2 W.

**SIEMENS ELETTRA**  
Via F. Filzi, 25/A  
Milano

### Raddrizzatore a bassa caduta

La Germanium Power Devices ha annunciato un raddrizzatore DO-8, basato sulla tecnologia al germanio, caratterizzato da una caduta di tensione diretta eccezionalmente bassa.

Le sue caratteristiche tipiche sono infatti una  $V_F = 0,45$  V con una  $I_F$  di 100 A a 100 °C e di soli 0,8 V con una  $I_F$  di 300 A.

Il contenitore DO-8 è sigillato ermeticamente ed è disponibile con terminali intrecciati o capocorda.

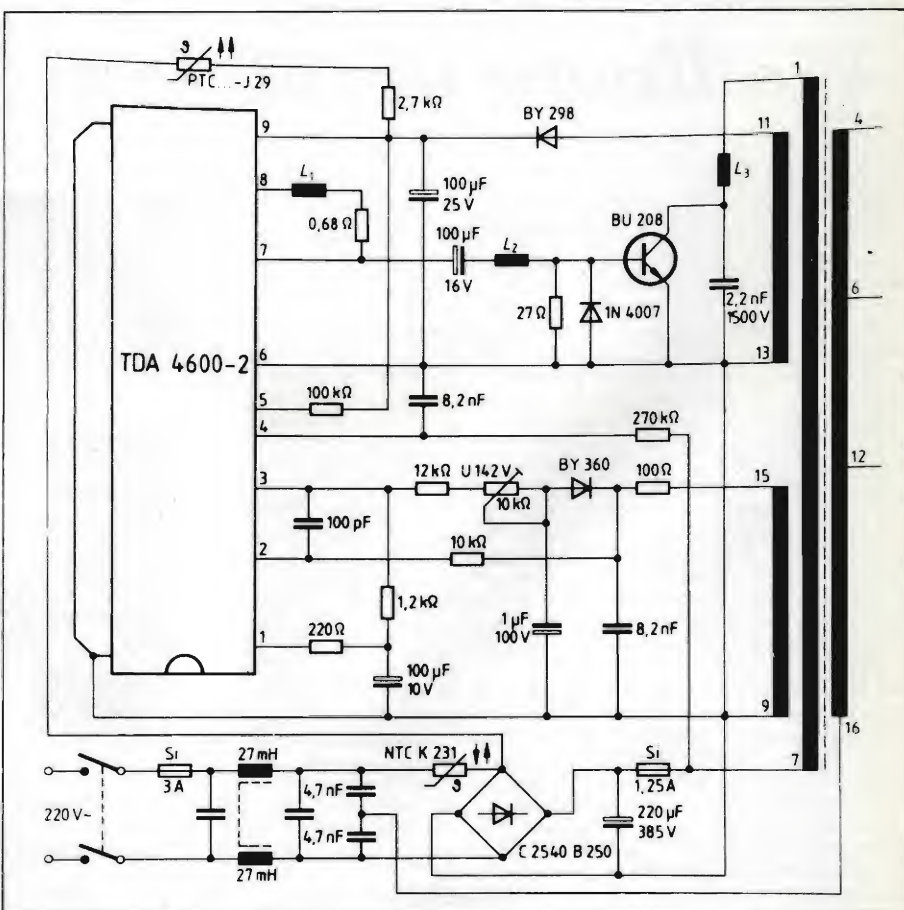
**SYSCOM**  
Via Gran Sasso, 35  
Cinisello B. (MI)

### Regolatori di tensione positiva da 3 A

I regolatori di tensione fissa MC78T00 della Motorola sono circuiti integrati monolitici in grado di pilotare carichi superiori a 3 A.

Disponibili in contenitori standard a 3 terminali (T0220 e T03), i regolatori della famiglia offrono tensioni da 5 V a 24 V, con una precisione del 4% nei campi di temperatura militare ( $-55 \div 150$  °C) e commerciale ( $0 \div 125$  °C).

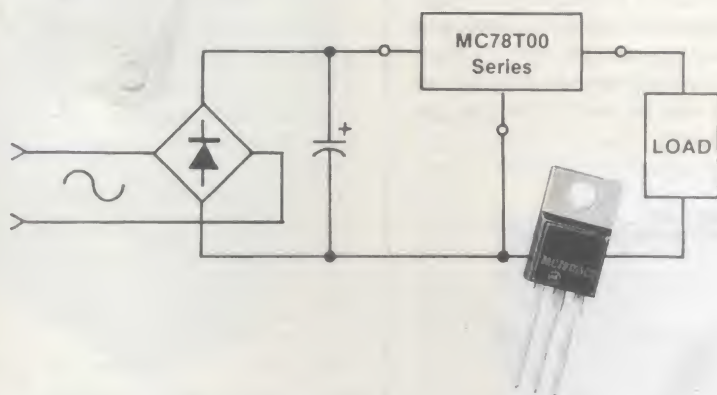
Questi regolatori a 3 terminali impiegano



Termistori per alimentatori switching.



## COMPONENTI



Regolatori di tensione disponibili in contenitori standard a 3 terminali (T0220 e T03).

un limitatore interno della corrente di corto circuito, protezione termica contro i sovraccarichi e compensazione della fase area del transistor di uscita.

**MOTOROLA**  
V.le Milanofiori, C2  
Assago (MI)

### Decoder FM stereo

Il TEA 1330 della SGS è un decoder monolitico per trasmissioni FM stereo. Esso non necessita di alcun induttore e richiede un numero minimo di componenti esterni.

Per il suo funzionamento è solo necessario regolare la frequenza dell'oscillatore. Il dispositivo è dotato di switch interno stereo/mono. Le altre caratteristiche comprendono un'eccellente separazione dei canali mantenuta in tutto il campo della frequenza audio, una distorsione di solo 0,3% con un segnale di ingresso composito di 150 mV (RMS) e una reiezione SCA di 76 dB.

Il TEA 1330 necessita di una tensione di alimentazione che può variare da 3 a 14 V. Il decoder viene fornito in package DIP a 16 pin.

**SGS-ATES Componenti Elettronici**  
Via C. Olivetti, 2  
Agrate Br. (MI)

### Moduli universali per alimentazione

La Corcon annuncia la Serie M di moduli universali per alimentazione, che permettono ai fabbricanti di apparecchiature, i cui prodotti sono commercializzati in tutto il mondo, di fornire un ingresso semplice e normalizzato per l'alimentazione.

Questo componente offre la possibilità di



Moduli universali per alimentazione dotati di connettore IEC, che può essere usato con una grande varietà di cavi.

interfacciare senza modifiche l'alimentazione a diverse tensioni in base agli schemi più comuni di tensione o di fusibili.

Il modulo incorpora un connettore IEC, che può essere usato con una grande varietà di cavi. Inoltre questi connettori incorporano un portafusibili multi standard, che permette l'uso di fusibili singoli o doppi europei o di fusibile singolo nordamericano.

Alcuni modelli comprendono un interruttore on/off DPST.

È previsto come opzione un selettore di tensione, disponibile per le configurazioni a 2 o 4 tensioni.

I moduli sono tutti conformi alle principali normative internazionali.

**C & K COMPONENTS**  
Via Frapolli, 21  
Milano

### Preamplificatore IF a larghezza di banda variabile

Identificati con le sigle ICFG16035 e ICFK16035, i due nuovi preamplificatori IF con larghezza di banda variabile elettronicamente della RHG Electronics Laboratory funzionano con una frequenza centrale di 160 MHz.

I due dispositivi trovano applicazione nei ricevitori EW, ECM, ELINT.

Le loro caratteristiche principali sono: range della larghezza di banda da 5 a 35 MHz, guadagno di 10 dB (fisso) per il tipo ICFG16035 e da 12 a 4 dB (variabile con la larghezza di banda) per l'ICFK16035, tensione di controllo da 0 a -4 V, cifra di rumore di 10 dB, tensione di alimentazione di  $\pm 12$  o  $\pm 15$  Vcc.

**MOTORDIESEL**  
Via Manzoni, 5  
La Spezia

### Trasduttore di temperatura monolitico

L'AD592 è un circuito integrato monolitico prodotto dalla Analog Devices che fornisce una corrente di uscita proporzionale alla temperatura assoluta nel range da -25 a 105 °C.

Incapsulato in un package plastico a 3 pin TO-92 a basso costo, l'AD592 offre un'alternativa ai sensori di temperatura tradizionali nel settore automobilistico, nel controllo energetico, nell'industria e nel monitoraggio delle apparecchiature.



## STRUMENTAZIONE

### Distorsiometro automatico

Il modello 6900 della Krohn-Hite è un analizzatore di distorsione completamente automatico, che copre il campo di frequenza da 5 Hz a 1 MHz con annullamento automatico della frequenza fondamentale.

L'ampiezza del segnale di ingresso può variare da 0,1 Veff a 130 Veff in quanto un'apposita funzione provvede al livellamento senza introdurre distorsione apprezzabile.

Il livello minimo di distorsione apprezzabile con questo strumento è 0,005% e fornisce un'uscita ausiliare con segnale sinusoidale di 1 kHz e distorsione inferiore allo 0,003% che può essere utilizzato quale segnale di ingresso dell'apparato in prova senza ricorrere ad altri generatori esterni. È sufficiente un segnale di ingresso ed immediatamente il display a 3 cifre mostra il valore totale della distorsione armonica.

Infatti oltre all'annullamento automatico della portante ed al controllo automatico di guadagno, lo strumento si pone immediatamente sulle scale più opportune.

Si possono inserire 3 filtri: un 400 Hz passa alto per ridurre gli effetti di eventuali spurie di rete ed un 30 kHz o 89 kHz per ridurre eventuali effetti del rumore bianco. L'apparecchio può essere utilizzato come voltmetro a larga banda ( $3 \text{ Hz} \div 1 \text{ MHz}$ ) con errore sulle misure contenuto nel 2%. La risoluzione è di 1 mV e la massima sensibilità di lettura è di 10 mV. Il 6900 fornisce anche un'uscita di segnale con soppressione della fondamentale, utile per analizzare il contenuto armonico con un analizzatore di spettro, ed un'uscita BCD per eventuale registrazione dei dati o impiego in un banco automatico di collaudo.

**VIANELLO**  
Via T. da Cazzaniga, 9/6  
Milano



Analizzatore di distorsione mod. 6900 della Krohn-Hite in grado di coprire il campo di frequenza da 5 Hz ad 1 MHz con annullamento automatico della frequenza fondamentale.

## COMPONENTI

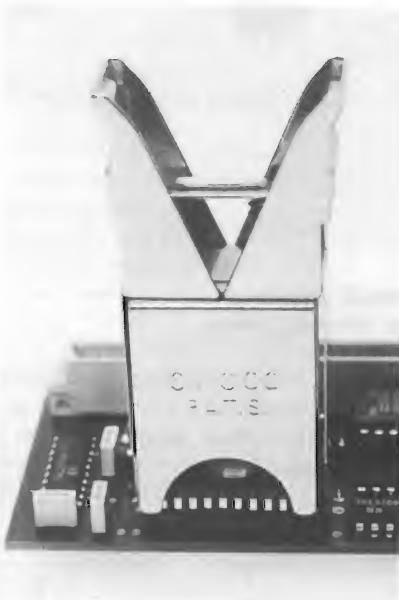
### Estrattore di circuiti integrati

La Owoco ha realizzato un attrezzo particolarmente utile per l'estrazione dei circuiti integrati, e soprattutto delle PROM, dagli zoccoli.

Comodo da usare, il "PROM OUT" consente di estrarre le memorie senza il rischio di danneggiare i pin.

L'attrezzo è disponibile in due tipi, uno per gli integrati con 24 terminali e uno per quelli con 40 pin.

**OWOCO AB**  
Kvarnbergsvägen, 25  
S-141 45 Huddinge-Stockholm (Svezia)



Attrezzo particolarmente utile per l'estrazione dei CS, e soprattutto delle PROM, dagli zoccoli.

### Cinescopi da 110°

La ITT Componenti introduce due cinescopi da 110°, che non richiedono alcuna correzione del cuscinetto est-ovest.

Si tratta di un ulteriore sviluppo dei cinescopi da 67 e 56 cm.

Per i produttori di televisioni l'impiego di questi cinescopi significa maggiore affidabilità degli stessi grazie alla semplificazione del sistema circuitale. L'abolizione della correzione cuscinetto est-ovest finora necessaria rende inoltre superfluo qualsiasi operazione di regolazione nella produzione degli apparecchi.

**ITT**  
Centro Commerciale - Via Milanofiori, E5  
Assago (MI)

### Amplificatore di potenza RF

La ENI presenta il modulo amplificatore A 300-40 PA, adatto per applicazioni in segnali per la navigazione marinara, rilievi geologici RF, impieghi NTR, sistemi laser a-switch, trasmettitori HP, ecc.

L'amplificatore, che ha una gamma di frequenza da 0,3 a 3,5 MHz, ha un guadagno di  $54 \text{ dB} \pm 1 \text{ dB}$  e può essere pilotato da qualsiasi tipo di segnale, compresi oscillatori al quarzo, generatori di segnali e sweepers.

La potenza massima lineare è di 40 W; mentre raggiunge i 6 CW max per segnali CW ed impulsi. La linearità della forma d'onda è mantenuta grazie ai transistor di potenza di classe A e al circuito di feedback negativo.

L'A 300-40 PA è protetto e si mantiene incondizionatamente stabile e senza oscillazioni, per ogni combinazione di sorgente o di impedenza di carico, compresi il circuito aperto ed il corto circuito. L'unità può essere utilizzata in combinazioni ibride con altre unità similari per ottenere potenze più alte.

**VIANELLO**  
Via T. da Cazzaniga, 9/6  
Milano

### Amplificatore operazionale a basso costo

Proposto dalla Analog Devices come alternativa all'OP-27, l'amplificatore operazionale AD OP-27 combina un rumore di ingresso massimo di 0,18  $\mu\text{V}$  picco-picco con una tensione di offset di 25  $\mu\text{V}$  e una deriva della tensione di offset di 0,6  $\mu\text{V}/^\circ\text{C}$ .

Inoltre il prodotto guadagno-larghezza di banda di 5 MHz assicura ottime prestazioni dinamiche.

Compensato internamente, l'AD OP-27 offre uno slew rate di 1,7  $\text{V}/\mu\text{s}$  e una stabilità a lungo termine di 0,2  $\mu\text{V}/\text{mese}$ . Le massime correnti di polarizzazione e di offset di ingresso sono rispettivamente 35 nA e 40 nA.

Queste caratteristiche si combinano con un CMRR di 114 dB e un guadagno a loop aperto di 1.000.000.

L'amplificatore è disponibile in due versioni, per i range di temperatura da  $-25$  a  $85^\circ\text{C}$  e da  $-55$  a  $125^\circ\text{C}$ .

**ANALOG DEVICES**  
Via M. Rosso, 18  
Milano



COMPONENTI



Altoparlanti Hi-Fi, con sistema a camera doppia, prodotti dalla Straubing.

**Altoparlanti HiFi per televisori stereo**

Si tratta di un prodotto a 3 vie, con un sistema a camera doppia, prodotto dalla Straubing della ITT. Il componente si distingue per la qualità HiFi, l'irradiazione di tutto lo spettro di basse frequenze sul lato anteriore, l'ottima riproduzione dei toni bassi mediante altoparlante supplementare per le basse frequenze da 130 mm, la larghezza dello schermo frontale di soli 80 mm.

ITT  
V.le Milanofiori, E5  
Assago (MI)

**Potenzimetri a plastica conduttrice**

Una nuova classe di trasduttori lineari e rotativi è stata presentata dalla Colvern, sussidiaria del Gruppo Welwyn Electronics.

I modelli, particolarmente adatti per l'industria automobilistica, per il controllo e il comando elettronico dei motori, sono stati realizzati con il polimero conduttivo sviluppato dalla Welwyn, che consente di avere costi ridotti e una lunga durata di vita.

La tecnologia di applicazione di questo polimero ha ridotto infatti la produzione di questi tipi di potenziometri ad un semplice processo serigrafico.

Ciò consente di combinare piste resistive, sia rettilinee che rotative, con funzioni di commutazione e/o di encoder.

WELWYN ELECTRONICS  
Via V. Monti, 8  
Milano

**Microcomputer HCMOS ad 8 bit**

La Motorola Semiconduttori annuncia una MCU ad 8 bit in tecnologia HCMOS ad alte prestazioni, con sofisticate funzioni presenti sul chip: l'MC68HC11, che ha un potente set di istruzioni completamente compatibile con gli altri dispositivi della famiglia M6801.

L'MC68HC11 ha 4 Kbyte di ROM, 512 byte di EEPROM, 256 byte di RAM con possibilità di standby e frequenza nominale di bus di 2,1 MHz.

La presenza di 3 registri di input-capture e di 5 registri di output-compare, più altre avanzate funzioni, rendono la struttura del timer di sistema una delle più complete e versatili.

L'MC68HC11 implementa sul chip un'interfaccia per comunicazioni seriali (SCI) più un'interfaccia seriale periferica (SPI). Il dispositivo comprende anche un convertitore A/D ad 8 canali, un circuito accumulatore di impulsi a 8 bit, un circuito di interrupt in tempo reale e un sistema di autocontrollo con watchdog.

Il microcomputer viene fornito in due tipi di contenitori, il primo di tipo plastico quad-pack a 52 pin ed il secondo di tipo DIP standard con 4 canali soltanto di A/D.

MOTOROLA  
V.le Milanofiori, C2  
Assago (MI)

**Amplificatore operazionale per strumentazione**

Una famiglia di amplificatori operazionali BiMOS della RCA offre basse tensioni di offset di ingresso (tipicamente 40  $\mu$ V) e basse correnti di offset di ingresso (tipicamente 1 nA).

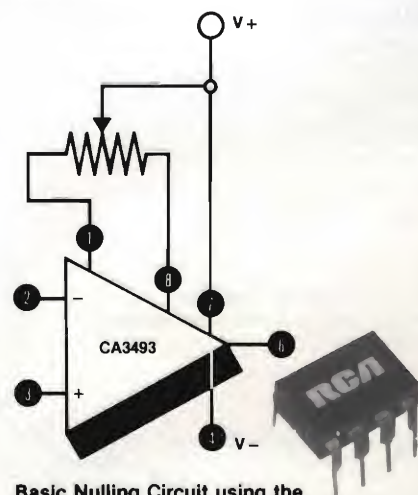
Il nuovo CA3493 è un rimpiazzo pin-compatibile per dispositivi quali i 725, OP-5, OP-7 ed LM714 in applicazioni che richiedono la capacità "positive nulling". Le alte prestazioni offerte dal CA3493 derivano dall'impiego della tecnologia BiMOS, che combina transistor PMOS e bipolari nello stesso chip.

I 3 tipi di amplificatori - CA3493, 3493A e 3493B - sono compensati in fase internamente, con prodotti guadagno-larghezza di banda di 1,2 MHz.

Tutte e 3 le versioni offrono un guadagno elevato: 120 dB per la versione B, 110 dB per la versione A e 100 dB per il CA3493. La deriva dello stadio di ingresso ha un valore massimo di 2  $\mu$ V/ $^{\circ}$ C per il CA3493B. Inoltre questo tipo può essere incorporato in sistemi che usano tensioni di alimentazione fino a  $\pm 22$  V (le altre versioni possono lavorare con tensioni di alimentazione fino a  $\pm 18$  V).

I dispositivi della famiglia CA3493 sono disponibili in 3 tipi di package: standard TO-5 metallico ad 8 terminali, dual-in-line TO-5 ad 8 terminali e dual-in line plastico ad 8 terminali.

RCA  
V.le Milanofiori, L1  
Rozzano (MI)



Basic Nulling Circuit using the RCA CA3493 Precision Op Amp.

Amplificatore operazionale per strumentazione prodotto dalla RCA.



## COMPONENTI

Il segnale di uscita lineare di  $1 \mu A/^{\circ}K$  elimina la necessità di circuiti di linearizzazione, di compensazione della giunzione fredda, di riferimenti di tensione e di componenti ibridi normalmente necessari con sensori quali termistori, termocopie ed RTD.

La corrente di uscita ad alta impedenza elimina inoltre gli errori dovuti alle cadute di tensione e al rumore sui terminali lunghi.

Con un cavetto a due fili attorcigliati, l'AD592 può trasmettere un segnale di temperatura a centinaia di metri.

Il trasduttore funziona con un'alimentazione singola da  $+4$  a  $+30$  V ed è disponibile nelle 3 versioni AN, BN e CN, caratterizzate da una precisione assoluta di 3, 1,5 e  $0,8^{\circ}C$  rispettivamente.

**ANALOG DEVICES**  
Via M. Rosso, 18  
Milano

### RAM statica ad alta velocità

L'Advanced Micro Devices ha reso disponibile l'Am 2167-35, una RAM statica da 35 ns, con organizzazione 16 Kbit x 1. Inoltre l'Am 2167 è disponibile nelle versioni da 45, 55 e 70 ns.

L'Am 2167-35 assorbe soltanto 660 mW nello stato attivo; quando è deselezionata, entra automaticamente in un modo power-down che consente la riduzione del consumo a 110 mW.

L'architettura di questa memoria ad alta velocità si presta per applicazioni in mainframe computer, oltre che in sistemi per elaborazione di immagini e di segnali. Tutti i livelli di interfaccia coincidono con le specifiche TTL, forniscono una buona immunità al rumore e semplificano il progetto del sistema.

La RAM è disponibile in contenitore plastico con 20 pin, oltre che in contenitore CERDIP e nella versione militare da 45 ns.

**ADVANCED MICRO DEVICES**  
Palazzo Vasari - Centro Direz. Milano 2  
Segrate (MI)

### Relé miniaturizzato per auto

La Siemens ha miniaturizzato il relé di commutazione K, già da tempo impiegato nelle automobili. Il relé V23072 per corrente continua, neutrale e monostabile,



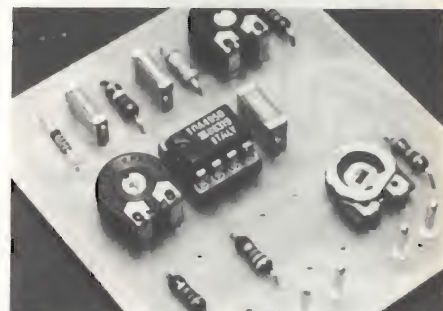
Relé di commutazione K in esecuzione miniatura per adeguarsi all'attuale tendenza di ridurre le dimensioni dei componenti elettronici impiegati nelle auto. Il volume del nuovo relé è ridotto di circa il 60% rispetto a quello del "fratello maggiore", già largamente impiegato nel settore automobilistico.

misura appena  $15,5 \times 13 \times 18$  mm, quindi il suo volume risulta ridotto del 60% rispetto al "fratello maggiore", ha terminali adatti per circuiti stampati (reticolo  $1,17$  mm) e può essere fornito con contatto di lavoro, contatto di lavoro a ponte, contatto di riposo o contatto di commutazione. Sono disponibili inoltre contatti di materiale diverso, a seconda degli impieghi. Il relé K trova applicazione sia nel settore automobilistico sia in quello elettronico in generale. La tensione nominale di eccitazione è di 6 V-, 12 V- o 24 V-, la temperatura massima può superare i  $110^{\circ}C$ . I contatti sono in grado di commutare tensioni fino a 75 V-/60 e correnti fino a 10 A. La potenza massima di commutazione è di 40-120 W/500 VA.

**SIEMENS ELETTRA**  
Via F. Filzi, 25/A  
Milano

### Dispositivo per la correzione est-ovest in TV

Il TDA4950 in contenitore Minidip a 8 piedini prodotto dalla SGS sostituisce i circuiti a componenti discreti nella correzione est-ovest in televisori e monitor con tubi a  $110^{\circ}$  a grande schermo. Operando in tecnica switching, il TDA4950 riduce la potenza dissipata,



Dispositivo che genera un segnale di correzione della parabola in fase con la rampa verticale.

semplifica l'allineamento e riduce il numero dei componenti esterni.

Per correggere la distorsione est-ovest, il TDA4950 genera un segnale di correzione della parabola in fase con la rampa verticale.

In aggiunta può modificare dinamicamente le variazioni di ampiezza della deflessione causate dalla corrente di beam e può sopprimere la parabola parassita durante il flyback.

Resistori esterni permettono di agire sulla larghezza statica dello schermo, sull'entità della correzione e sulla simmetria della parabola.

**SGS-ATES COMPONENTI ELETTRONICI**  
Via C. Olivetti, 2  
Agrate Br. (MI)



# ALAN 61

## L'EMERGENZA



Ricetrasmittitore  
C.B. portatile in AM,  
frequenza  
26.965 ÷ 27.255 MHz  
N° canali 23  
Punto 7-8 del C.P.

ALIMENTAZIONE DALL'ACCENDISIGARI,  
OPPURE CON PILE A STILO.  
ANTENNA MAGNETICA.  
IL TUTTO IN UNA  
COMODA CUSTODIA  
PORTATILE



CTE INTERNATIONAL®

Via R. Sevardi, 7 (Zona Ind. Mancasale) - Reggio E.  
Tel. (0522) 47441 r.a. - Tlx 530156 CTE I

PER RICEVERE IL NOSTRO  
CATALOGO INVIARE  
IL TAGLIANDO AL  
N° INDIRIZZO  
ALLEGANDO  
L. 500 ITL  
FRANCOBOLLI

NOME \_\_\_\_\_  
COGNOME \_\_\_\_\_  
INDIRIZZO \_\_\_\_\_



# I CONTATORI "BRILLANTI"

**PM 6667  
120 MHz**



**PM 6668  
1 GHz**



- Controllo con microprocessore
- Conteggio reciproco di frequenza
- Auto-triggering su tutte le forme d'onda

Questi nuovi contatori conglobano tutte le caratteristiche suddette. Il progetto basato su microcalcolatore a chip singolo consente di ottenere elevata risoluzione ed accuratezza più un funzionamento semplice ed una costruzione compatta ... tutto ad un basso costo.

L'elevata risoluzione deriva dall'impiego del conteggio di frequenza di tipo reciproco, che fornisce una risoluzione intrinsecamente elevata senza l'errore di  $\pm 1$  ciclo. Per esempio, una risoluzione completa su sette cifre è ottenuta in solo un secondo. Questo procedimento evita la

- Display a cristalli liquidi ad elevato contrasto
- TCXO ad elevata stabilità:  $10^{-7}$ /mese

necessità di lunghi tempi di gate o di dover effettuare la misura del periodo e non presenta le limitazioni proprie dei sistemi con moltiplicatore di frequenza ad aggancio di fase.

Altri grossi benefici che comporta il progetto basato su microprocessore sono la facilità di funzionamento e la minimizzazione dei controlli, in quanto l'intelligenza built-in fornisce triggering e commutazione di range automatiche.

Un ulteriore miglioramento di precisione si può ottenere per mezzo del TCXO ad elevata stabilità, disponibile su opzione, mentre accessori quali la batteria e la

- Sottoprogramma di autodiagnosi
- Dimensioni: 160 x 77 x 180 mm

custodia per il trasporto estendono le possibilità di impiego nel servizio esterno.

I prezzi sono molto più bassi di quelli dei modelli tradizionali da 250 e 500 MHz; il PM 6668 da 1 GHz fa le stesse cose e molto di più, e costa meno!. Ordinatene uno oggi stesso:



## PHILIPS